

PROCESSING COPY
13

D507933

CENTRAL INTELLIGENCE AGENCY
INFORMATION REPORT

This material contains information affecting the National Defense of the United States within the meaning of the Espionage Laws, Title 18, U.S.C. Secs. 793 and 794, the transmission or revelation of which in any manner to an unauthorized person is prohibited by law.

25X1

S-E-C-R-E-T

COUNTRY	USSR	REPORT	
SUBJECT	34 Technical Reports Published by the Soviet Academy of Sciences	DATE DISTR.	8 June 1956
DATE OF INFO.		NO. OF PAGES	3
PLACE ACQUIRED		REFERENCE NO.	RD
		REFERENCES	25X1

This is UNEVALUATED Information

THE SOURCE EVALUATIONS IN THIS REPORT ARE DEFINITIVE.
THE APPRAISAL OF CONTENT IS TENTATIVE.
(FOR KEY SEE REVERSE)

25X1

Description of Attachments:

25X1

1. Drainage of Hydrotechnical Tunnels by G. M. Lomize and V. M. Nasberg.
2. Filtration of a Canal with the Aid of Double Drainage Dams by G. N. Pykhteyev.
3. Inflow into Pores of Stratum with Variable Pressure on Contour of Feeding Pump (parameter of strata and inflow to be determined by use of isobar chart) by I. A. Charnyy.
4. Flow of Subsoil Waters in Dams, Locks, and Canals by N. N. Verigin.
5. About the Selection of the Degree of Computed Speed of Air in Axial Compressors, Conveyances, and Gas Turbine Power Plants by B. M. Likhterov.
6. Vortical (vortex) Energy-divider of the Flow by M. G. Dubinsky.
7. Theory of Stabilization of the Course of a Robot Airplane Assisted by an Automatic Pilot, with the Constant Speed of a Servo-motor by A. A. Andronov and N. N. Bautin.
8. About the Movement of a Material Point within a Rapidly Revolving Crane by E. M. Goldin. 25X1
9. Geometrical Presentations of the Theory of Communications (Geometrisheskiye Predstavleniya v Teorii Svyazi) by E. L. Blokh and A. A. Karkevich.

S-E-C-R-E-T

CLASSIFICATION(S) _____ NOT
MICROFILMED - POOR COPY

STATE	X	ARMY	X	NAVY	X	AIR	X	FBI		AEC	OST/Ex	x				
-------	---	------	---	------	---	-----	---	-----	--	-----	--------	---	--	--	--	--

NOTE: Washington distribution indicated by "X"; Field distribution by "#".

13

S-E-C-R-E-T

25X1

-2-

10. On the Question of the Nature and Movement of Unexpected Ejections of Coal and Gases by V. S. Kravchenko. 25X1
11. Electric Conductivity and Heat Conductivity of Several Copper-Nickel Sulphide Alloys by D. M. Chizhikov, Z. F. Gulyanitskaya, and N. N. Bogovarova.
12. About the Kinetics of Isothermic Formation of Austenite by A. P. Gulyayev and V. M. Zalkin.
13. Properties of Durability and Plasticity of the Alloy Construction of Steel by M. P. Braun and Ye. Ye. Maystrenko.
14. The Influence of Pressure on the Variability of Soaked Minerals in Oil Collectors by M. A. Geyman, V. B. Shneyerson, and A. G. Mamikonov.
15. Kinetics of Regeneration in Dust-detecting Catalizators by K. P. Lavrovskiy and A. L. Rosental.
16. About the Periodic Downfall of Solid Solutions by V. I. Prosvirin.
17. Study of Wear and Tear during Dry Friction and Increased Temperatures by P. Ye. Dyachenko, O. Ye. Kestner, and L. A. Chatynyan. Remarks by M. M. Karabeynik.
18. Gamma-Radiation and the Disintegration Process of La140 by E. V. Arkhangelskiy, B. S. Dzhelepov, N. N. Zhukovskiy, V. P. Prikhodtseva, and Yu. V. Kholnov.
19. Gamma-Radiation of Am198 by B. S. Dzhelepov, N. N. Zhukovskiy, V. P. Prikhodtseva, and Yu. V. Kholnov.
20. Comparative Study of Light Atoms Through Methods of Magnetic Analysis (Issledovaniye Urovney Legkikh Yader Metodom Magnitnogo Analiza) by L. M. Khromchenko.
21. Gamma-Spectre of Ir192 by M. P. Glazunov, B. S. Dzhelepov, and Ya. V. Kholnov.
22. Gamma-Radiation of Eu152 - 154 by B. S. Dzhelepov, N. N. Zhukovskiy, and V. G. Medvedev.
23. Study of Several Instances of Angular Correlation by A. P. Grinberg and I. Kh. Lemberg.
24. Study of Angular Correlation of the Electrons of Interior Conversion of Br80/35 (Issledovaniye Uglovoy Korrelyatsii Elektronov Vnutrenney Konversii Br80/35) by B. A. Shakhbazyan and L. I. Rusinov.
25. Study towards Improving Tl60 through Methods of Coincidence (alignment), I. P. Stepanenko, L. Ya. Shavtvalov.
26. Study of Nuclear Isomerism of Zn69, Se79, Se81, Nb95, Rh103, and Ba137 by G. M. Drabkin, V. I. Orlov, and L. I. Rusinov.
27. Detection of Short-period Isomers by O. I. Leypunskiy, M. Ya. Gen, A. M. Tikhomirov, and P. A. Yampolskiy.
28. Life Duration of Certain Atom Particles in an Activated State by E. Ye. Berlovich.
29. On the Differentiating Capacities of Scintillating Spetrometers by I. F. Barchuk, Ye. M. Galkin, M. V. Pasechnik, and N. N. Pucherov.
30. On the Question of the Measurement of Deformation of Nuclear Surfaces by L. A. Sliv and L. K. Peker.
31. Structures of the Second Level of Activation of He5 and Li5 (Struktura Vtorogo Vozbuzhdenного Urovnya He5 i Li5) by A. I. Baz.
32. Outward Appearance during the Intermediate Interval and the Beta Disintegration of He6 (Onlozheniye Model s Promezhutochnoy Svyazyu i Beta-raspad He6) by A. I. Baz.
33. The Theory of Secondary Beta-Disintegration by L. A. Maksimov and Ya. A. Smorodinskiy.

S-E-C-R-E-T

25X1

S-E-C-R-E-T



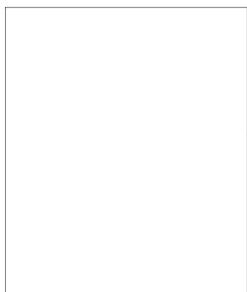
-3-

34. New Data on the Comparison of Binding Energy with Neutral Particles
(Novyye Dannye po Sopostavleniyu Energiy Svyazi Srednikh Yader) by
V.A. Kravtsov.



25X1

25X1



25X1

25X1

S-E-C-R-E-T



25X1

Approved For Release 2007/11/08 : CIA-RDP83-00418R004600130001-5

Page Denied

Approved For Release 2007/11/08 : CIA-RDP83-00418R004600130001-5

ИЗВЕСТИЯ АКАДЕМИИ НАУК СССР
ОТДЕЛЕНИЕ ТЕХНИЧЕСКИХ НАУК

№ 6

1988

ДРЕНИРОВАНИЕ БЕЗНАПОРНЫХ ГИДРОТЕХНИЧЕСКИХ
ТУННЕЛЕЙ

Г. М. ЛОМИБЕ и В. М. НАСБЕРТ

(Москва, ГИИИИ)

В работе дренажные обделки туннелей рассмотрены в технической литературе не достаточно. Изюмом лишь оценивал отдельных осуществленных конструкций, не соответствующих в полной мере современным требованиям туннелестроения. К тому же в литературе разговора о дренажировании и ссылаясь на случаи неудачно осуществленного дренажа, допускает неправильные обобщения и оценивает дренажирование как меру крайне неприемлемую или же сомнительное. Эта оценка мотивируется наблюдением фактами вредного действия дренажирования на горные породы, окружающие туннель, и на их естественные гидрогеологические условия [1].

Такая точка зрения толкает к отказу от дренажных устройств и тем самым является чуждым мероприятием, которое в отдельных случаях гидротехнического строительства при погружении туннелей глубоко под уровень грунтовых вод может дать существенный техникоэкономический эффект, способствующий удешевлению и ускорению строительства.

В технических условиях и нормах проектирования гидротехнических туннелей гидроэлектростанций (ТУ-11-51) нет ясных указаний по дренажным устройствам и расчету их действия [2]. В § 78 ТУ-11-51 говорится о необходимости учета действия грунтовых вод при нарушении нормальной работы дренажных устройств. Однако это относится к категории дестабилизирующих сил и нагрузок, на которые при проектировании не следует считать туннельные обделки.

Приведенное указание ТУ можно рассматривать как косвенное упреждение в применении дренажирования в гидротехнических туннелях.

Методы расчета дренажных устройств туннельных обделок освещены слабо. Первые рекомендации по количественному учету дренажирования подземных сооружений изложены в работе [3].

Между тем опыт научной работы, связанной со строительством ГЭС, привел к тому, что дренажирование обделок гидротехнических безнапорных туннелей является рациональным решением во многих случаях строительства. К этому решению побуждал дренажирование гидротехнических сооружений приложимым обобщением дренажных устройств как эффективного мероприятия, без которого невозможно строительство крупных гидротуннелей.

Обобщение позволило принципиально количественно оценить вредное действие дренажирования на окружающую среду при проектировании подземных сооружений. Однако в литературе нет методов расчета дренажных устройств, позволяющих количественно оценить вредное действие дренажирования на окружающую среду при проектировании сооружений, строительство которых не является целью.

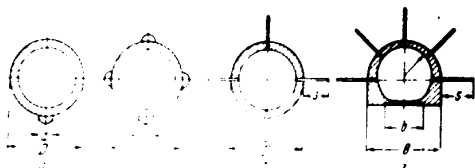
§ 1. Рассмотренные случаи дренажирования, исходя из положений и предельных фильтрационных расчетов [4], разделим на две группы: первая группа — случаи дренажирования, когда дренажирование является необходимым мероприятием для обеспечения безопасности строительства; вторая группа — случаи дренажирования, когда дренажирование является мероприятием, способствующим удешевлению и ускорению строительства.

Р. М. Ф...

верхней породы, окружающая туннель, дренажная система, обеспечивающая водоотвод из туннеля, — комбинация обоих процессов дренажа.

Подверглись изучению следующие схемы дренажа:

- 1) точечное дренажное поверхностное дренажное в нижней части сечения туннеля (фиг. 1, а);
- 2) дренажное четырьмя лентами поверхностного дренажа сечением на четыре квадранта (фиг. 1, б);
- 3) глубинное дренажное при помощи четырех шпуров, скрепленных в породу (фиг. 1, в);



Фиг. 1. Различные схемы дренажа туннеля

- 4) глубинное дренажное при помощи пяти шпуров и ленточный поверхностный дренаж в нижней части сечения (фиг. 1, г).

Работа дренажа по первой схеме исследована теоретически методом конформных отображений и изучена экспериментально методом ЭГДА на частном примере. Для дренажа по второй схеме дано теоретическое решение методом конформных отображений. Третий и четвертый случаи изучены экспериментально методом электрогидродинамических аналогов (ЭГДА) на частном примере применительно к задачам строительства одной из ГЭС.

Теоретическое решение задачи для круглой формы туннеля при однородной бетонной облицовке рассмотрено в настоящей статье. Экспериментальные исследования в третьем случае выполнены при круглой, а в четвертом при подковообразной форме туннеля.

Во всех случаях дренажа:

$$t > D \quad (1)$$

где t — толщина бетонной облицовки туннеля под зеркало грунтовых вод, а D — внутренний диаметр облицовки туннеля.

Многочисленные опыты исполненных исследований, в фильтрационных дренажных устройствах туннелей с достаточным приближением любую форму сечения заменить круглой, если соблюдено условие (1). Так, например, подковообразный профиль успешно заменен круглым с окружностью, имеющей длину, равную периметру подковообразного профиля. Ленточную плоскую дренажную систему сечением профиля, имеющую ширину B , с достаточным приближением можно считать расчетной дренажной, очерченной по полуокружности радиуса r , равной половине из равенства $B \approx \pi r$.

Во всех расчетах и опытах исходили из следующих основных предположений:

1) Система дренажа туннеля, обеспечивающая водоотвод из туннеля, — комбинация обоих процессов дренажа.

2) Водяной пар представляет собой горизонтально движущийся тонкий слой, движущийся по направлению к этой плоскости.

3) Водяной пар представляет собой горизонтально движущийся тонкий слой, движущийся по направлению к этой плоскости.

4) Водяной пар представляет собой горизонтально движущийся тонкий слой, движущийся по направлению к этой плоскости.

5) Водяной пар представляет собой горизонтально движущийся тонкий слой, движущийся по направлению к этой плоскости.

6) Водяной пар представляет собой горизонтально движущийся тонкий слой, движущийся по направлению к этой плоскости.

7) Водяной пар представляет собой горизонтально движущийся тонкий слой, движущийся по направлению к этой плоскости.

8) Водяной пар представляет собой горизонтально движущийся тонкий слой, движущийся по направлению к этой плоскости.

9) Водяной пар представляет собой горизонтально движущийся тонкий слой, движущийся по направлению к этой плоскости.

10) Водяной пар представляет собой горизонтально движущийся тонкий слой, движущийся по направлению к этой плоскости.

11) Водяной пар представляет собой горизонтально движущийся тонкий слой, движущийся по направлению к этой плоскости.

12) Водяной пар представляет собой горизонтально движущийся тонкий слой, движущийся по направлению к этой плоскости.

13) Водяной пар представляет собой горизонтально движущийся тонкий слой, движущийся по направлению к этой плоскости.

14) Водяной пар представляет собой горизонтально движущийся тонкий слой, движущийся по направлению к этой плоскости.

15) Водяной пар представляет собой горизонтально движущийся тонкий слой, движущийся по направлению к этой плоскости.

16) Водяной пар представляет собой горизонтально движущийся тонкий слой, движущийся по направлению к этой плоскости.

17) Водяной пар представляет собой горизонтально движущийся тонкий слой, движущийся по направлению к этой плоскости.

18) Водяной пар представляет собой горизонтально движущийся тонкий слой, движущийся по направлению к этой плоскости.

19) Водяной пар представляет собой горизонтально движущийся тонкий слой, движущийся по направлению к этой плоскости.

20) Водяной пар представляет собой горизонтально движущийся тонкий слой, движущийся по направлению к этой плоскости.

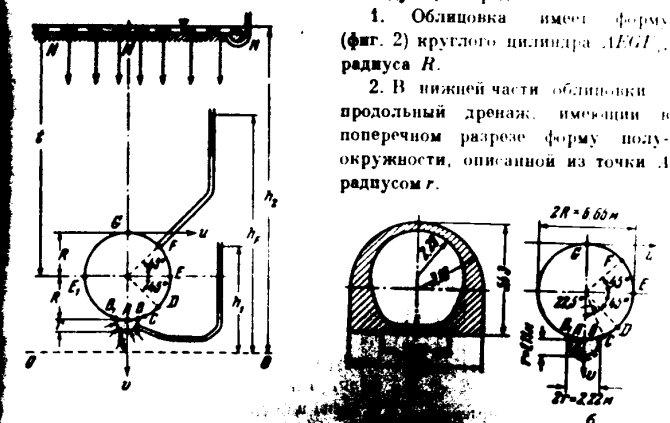
21) Водяной пар представляет собой горизонтально движущийся тонкий слой, движущийся по направлению к этой плоскости.

22) Водяной пар представляет собой горизонтально движущийся тонкий слой, движущийся по направлению к этой плоскости.

23) Водяной пар представляет собой горизонтально движущийся тонкий слой, движущийся по направлению к этой плоскости.

24) Водяной пар представляет собой горизонтально движущийся тонкий слой, движущийся по направлению к этой плоскости.

25) Водяной пар представляет собой горизонтально движущийся тонкий слой, движущийся по направлению к этой плоскости.



Фиг. 2. Схема фильтрации туннеля с дренажной системой

3. Напор грунтовых вод в туннеле при сравнении $O-O$ обозначен A_1 , он же A_2 в расчетной схеме.

В результате решения задачи водный потенциал φ зависит от:

Для любой точки с координатами x и y

$$\varphi = \frac{1}{1g} \frac{(x^2 + y^2) [1 + (b/d)^2]}{[x^2 + (b-y)^2][x^2 + (b+y)^2]} \cdot 100\% \quad (2.1)$$

где φ — относительный фильтрационный напор, равный

$$\varphi = \frac{A - A_1}{A_2 - A_1} \cdot 100\% \quad (2.2)$$

1. Вывод формул для рассматриваемого дренажирования, а также описание методики в работе [1].

Г. М. Ломов и В. М. Носов

В формуле (2.1)

$$Q = \frac{1}{2} \pi R^2 \frac{v}{u^2 + v^2}$$

Здесь u и v — координаты точки, для которой вычисляется Q , радиусы R и r — выражены в по формулам

$$R = \frac{1}{2(t-R)} \quad (2.4)$$

где u_0 и v_0 — координаты центра туннеля, t — радиус туннеля, R — радиус эквивалентного профиля.

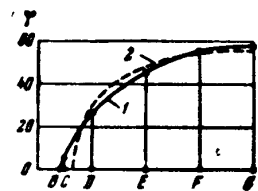
Если $t = R$, то $R = \frac{1}{2}$, следовательно, относительного фильтрационного расхода Q следует упрощать равным

$$Q = 100\% \quad (2.5)$$

Приведенная формула (2.5) справедлива по формуле

$$Q = \frac{1}{2} \pi R^2 \frac{v}{u^2 + v^2} \quad (2.6)$$

Применим полученные формулы к случаю туннель имеет подковообразный профиль



Фиг. 4. Запись фильтрационных напоров ϕ в процентах от действующего при $t=100$ м; кривая 1 — расчетная; кривая 2 — опытная; по оси абсцисс — расчетный радиус туннеля (обозначены в соответствии с фиг. 3, 6)

Заменим подковообразный профиль эквивалентным по периметру с очерченным по окружности, принимая длину окружности равной периметру внешнего контура обделки подковообразного профиля. Плоский дренажный лоток приводим к дренаю в форме подокружности с радиусом r , имеющей тот же периметр по контакту с поверхностью B . Расчетные формы туннеля и дренажа показаны на фиг. 3.

Величину Q для различных значений r и R в разрезе EF (фиг. 5) и в развертке (фиг. 4) показаны на фиг. 4; там же показаны экспериментальные данные.

Определение фильтрационного расхода по формуле (2.6) дано для дренажа с радиусом r и радиусом туннеля R .

Приближенно для задачи фильтрации можно считать, что радиус дренажа r равен радиусу туннеля R .

Приближенно для задачи фильтрации можно считать, что радиус дренажа r равен радиусу туннеля R .

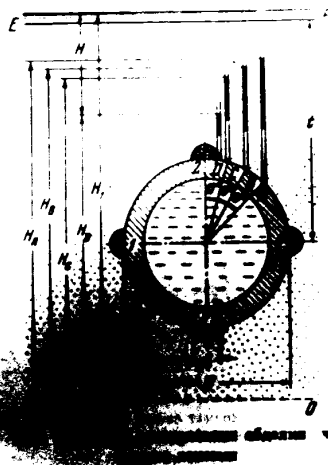
Здесь u и v — координаты точки, для которой вычисляется Q , радиусы R и r — выражены в по формулам

Здесь u и v — координаты точки, для которой вычисляется Q , радиусы R и r — выражены в по формулам

Отводящий коллектор дренажа в процессе строительства обычно служит для отвода фильтрующихся вод, а затем входит в конструкцию дренажных устройств лотка туннеля.

§ 3. Плоская задача дренирования обделки туннеля четырьмя дренажами. Схема дренирования дана на фиг. 5. Принятые обозначения показаны на чертеже; кроме того, K_1 — коэффициент фильтрации грунта, K_2 — коэффициент фильтрации бетона обделки туннеля.

Для упрощения расчетов заменим верхнюю прямолинейную границу области фильтрации EF с напором H_1 (фиг. 5) круговым граничным контуром, описанным радиусом, равным $2r$, из центра сечения туннеля (фиг. 6). Напор на этой круговой границе области фильтрации прием равным H_1 . Тогда в качестве расчетной будем иметь эквивалентную схему, показанную на фиг. 6. Заметим, что она дает, при условии (1), интересующие нас величины (расход воды, фильтрующейся в дренаж, и напоры на внешнем контуре обделки), практически не отличающиеся от таковых для исходной схемы (фиг. 5). Последнее подтверждается общими соображениями, основанными на элементарных положениях теории потенциальных полей и, в частности, подтверждается опытными данными, относящимися к исследованию методом ЭГДА некоторых плоских задач по дренированию туннелей [3] (стр. 50).



Будем полагать, что напоры на контурах всех дренажей одинаковы и равны H_D , что дренажи имеют одинаковые размеры и расположены на одинаковых расстояниях друг от друга. При таких условиях по симметрии расходы воды, поступающей в каждую из дренажей, будут одинаковы.

Обозначим через Q_1 (м) приведенный расход каждой дренажи, под которым условием понимать расход, притекающий в отсек дренажа длиной 1 м, деленный на K_1 . Чтобы получить фактический расход Q_1 (м³/сут) от

¹ Применяемый ниже способ расчета пригоден и эффективен и для случая несимметричного расположения произвольного числа дренажей различных размеров и неодинаковых напоров в дренажах. Однако расчетные соотношения в более общем случае несколько усложняются, а число уравнений возрастает.

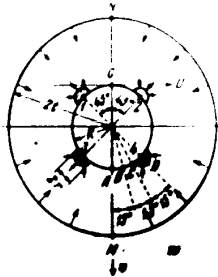
в точках дрен K_1 и L (рис. 6) — K_1 и L .

В случае стока расход уменьшается, расход источника будет возрастать.

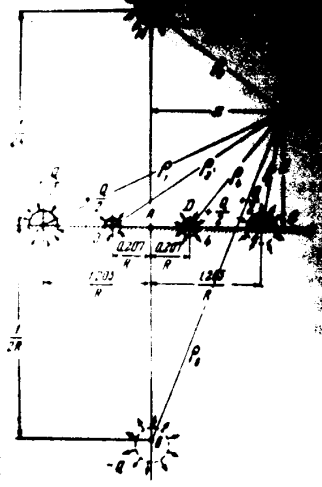
Пусть число симметрично расположенных дрен будем предполагать, что радиус дрены много меньше радиуса туннели $r \ll R$.

Задача состоит в определении фильтрационного напора h , как функции координат (x, y) и полного приведенного расхода, который для всех четырех дрен будет равен $Q/4$.

Для решения поставленной



Фиг. 6. Исходная схема фильтрации с симметричными (кругами) контурами стоков



Фиг. 7. Отображенная схема фильтрации

задачи применим метод конформного отображения. Отобразим точки плоскости w на плоскость z . Принимая отображающую функцию в виде

$$z = \frac{1}{w}, \quad w = u + iv, \quad z = x + iy, \quad (3.1)$$

будем иметь

$$u = \frac{x^2 + y^2 - 1}{2x}, \quad v = \frac{y}{x}$$

$$x = \frac{1 - u^2 - v^2}{2u}, \quad y = \frac{v(1 - u^2 - v^2)}{2u}$$

Расположение осей u, v на плоскости w показано на фиг. 6, а осей x, y на плоскости z — показано на фиг. 7.

Такой выбор осей, при условии (3.1), превращает задачу в простую для решения формам граничных значений на плоскости z . Так, контур входа фильтрационного

стока $A_1B_1C_1D_1$ отобразилась в виде дуг окружностей $A_2B_2C_2D_2$ этой окружности. Контур стока $A_2B_2C_2D_2$ в левой половине — дуга окружности $A_3B_3C_3D_3$. Контур дрены $A_4B_4C_4D_4$ отобразилась в виде дуг окружностей, они лежат в плоскости z . Центры последних — O_1, O_2, O_3, O_4 . Однако величина смещения центров O_1, O_2, O_3, O_4 не одинакова с соответствующими радиусами r_1, r_2, r_3, r_4 в силу условия $r \ll R$. Поэтому, не учитывая малости r/R в конечные формулы (что подтверждено специальными численными расчетами), приближенно считаем, что эти дуг лежат на оси x соответственно $0, 0, 0, 0$ и $0, 0, 0, 0$ соответственно. Указанные дуги в пределах верхней и нижней полуокружностей являются дугами окружностей.

Таблица 1

Пункт	Область w		Область z	
	u	v	x	y
M				$\frac{1}{2R} - \frac{1}{2i+R}$
N				$\frac{1}{2R} - \frac{1}{2i-R}$
A				0
B				0
1	-0.707 R			0
2	0.707 R	0.207 R		0
3	-0.707 R	1.707 R		0
4	0.707 R	1.707 R		0
5	0.207 R	1.707 R		0
6	0.207 R	1.000 R		0
7	0.207 R	1.207 R		0
8	0.207 R	1.207 R		0
9	0.207 R	1.207 R		0
10	0.207 R	1.207 R		0
11	0.207 R	1.207 R		0
12	0.207 R	1.207 R		0
13	0.207 R	1.207 R		0
14	0.207 R	1.207 R		0
15	0.207 R	1.207 R		0
16	0.207 R	1.207 R		0
17	0.207 R	1.207 R		0
18	0.207 R	1.207 R		0
19	0.207 R	1.207 R		0
20	0.207 R	1.207 R		0
21	0.207 R	1.207 R		0
22	0.207 R	1.207 R		0
23	0.207 R	1.207 R		0
24	0.207 R	1.207 R		0
25	0.207 R	1.207 R		0
26	0.207 R	1.207 R		0
27	0.207 R	1.207 R		0
28	0.207 R	1.207 R		0
29	0.207 R	1.207 R		0
30	0.207 R	1.207 R		0
31	0.207 R	1.207 R		0
32	0.207 R	1.207 R		0
33	0.207 R	1.207 R		0
34	0.207 R	1.207 R		0
35	0.207 R	1.207 R		0
36	0.207 R	1.207 R		0
37	0.207 R	1.207 R		0
38	0.207 R	1.207 R		0
39	0.207 R	1.207 R		0
40	0.207 R	1.207 R		0
41	0.207 R	1.207 R		0
42	0.207 R	1.207 R		0
43	0.207 R	1.207 R		0
44	0.207 R	1.207 R		0
45	0.207 R	1.207 R		0
46	0.207 R	1.207 R		0
47	0.207 R	1.207 R		0
48	0.207 R	1.207 R		0
49	0.207 R	1.207 R		0
50	0.207 R	1.207 R		0

Г. М. Давыдов

В этой таблице значения x и y считаем
координаты x и y вычислялись по формулам (3.6).

Приближенные значения x_D и y_D получены
после некоторых преобразований и упрощений; при этом
членами с r^2 , которые благодаря условию $r \ll R$ оказываются
по сравнению с другими слагаемыми.

Обратимся к фиг. 7. Переходим от полуплоскости в области $x \geq 0$
той плоскости. Для этого дополним контуры дрен 1, 2, 3, 4 и
источника MN их зеркальными изображениями, показанными пунктиром.
В результате получаем на плоскости систему, состоящую из двух
источников, каждый из которых имеет расход воды $(-Q)$, и четырех
стоков — дрен, в каждой из которых притекает расход $(+0.5Q)$.
Заметим, что в фактически дрену, составляющую половину от зер-
кально дополненной, притекает расход, в два раза меньший, т. е.
 $0.5 \times 0.5Q = 0.25Q$. Таким образом, суммарный приведенный расход
воды, притекающей во все четыре фактически дрену, изображенные на
фиг. 5, выражается величиной Q , как это уже было оговорено выраже-
нием $Q = 4Q_1$.

Следя распространяемому в гидромеханике приему, для упрощения
расчета будем полагать, что введенные источники и стоки являются
точечными. При этом стоки, заменяющие действительные дрен, приемем нахо-
дящимися в точках 1, 2, 3, 4, а источники, заменяющие действительный
контур MN и его зеркального изображения, приемем находящимися
на оси x в точках 5 и 6 с ординатами, соответственно равными $0.5R^2$
и $-0.5R^2$.

Пусть произвольная точка в плоскости x имеет координаты x, y ,
а приемем r_1, \dots, r_6 — расстояния от этой точки, соответственно, до точеч-
ных стоков 1, 2, 3, 4 и источников 5, 6. На фиг. 7 имеем

$$\begin{aligned} r_1^2 &= \left(x + \frac{1.205}{R}\right)^2 + y^2, & r_6^2 &= \left(x - \frac{0.207}{R}\right)^2 + y^2 \\ r_2^2 &= \left(x - \frac{1.205}{R}\right)^2 + y^2, & r_5^2 &= x^2 + \left(\frac{0.5}{R} - y\right)^2 \\ r_3^2 &= \left(x + \frac{0.207}{R}\right)^2 + y^2, & r_4^2 &= x^2 + \left(\frac{0.5}{R} + y\right)^2 \end{aligned} \quad (3.4)$$

Воспользуемся известным из теории потенциала общим выражением
напорной функции для точечного стока (или источника), имеющим вид,
в случае плоской задачи и однородной среды,

$$h_n = \frac{Q_n}{4\pi} \ln \frac{C}{r_n} \quad (3.5)$$

где h_n — напор, обусловленный стоком (или источником) с приведен-
ным расходом Q_n , в произвольной точке, находящейся на расстоянии r_n
от центра стока. C — произвольная постоянная, зависящая от граничных
условий.

Обозначим через h напор в точке (x, y) плоскости x . Пользуясь
известным положением потенциалов (суперпозиция), последовательно применим
формулу (3.5) к стокам 1, 2, 3, 4 и источникам 5, 6 (фиг. 7) и применим
известное выше правило знаков для расходов (сток имеет знак $-$, источник $+$).

(3.6)

$$\begin{aligned} h &= H_D - \frac{Q}{4\pi} \ln \frac{C}{r_1} - \frac{Q}{4\pi} \ln \frac{C}{r_2} - \frac{Q}{4\pi} \ln \frac{C}{r_3} - \frac{Q}{4\pi} \ln \frac{C}{r_4} + \frac{Q}{4\pi} \ln \frac{C}{r_5} + \frac{Q}{4\pi} \ln \frac{C}{r_6} \\ &= H_D - \frac{Q}{4\pi} \ln \frac{r_1 r_2 r_3 r_4}{r_5 r_6} + C \end{aligned} \quad (3.7)$$

Для определения Q и постоянной C воспользуемся граничными услови-
ями. Первое условие: в точке D напор известен и равен H_D , т. е.

$$h = H_D \text{ при } x = x_D = \frac{0.207}{R}, \quad y = y_D = \frac{0.207}{R} \quad (3.8)$$

Тогда, используя (3.7) и (3.8), пренебрегая, без заметного ущерба
для точности практических расчетов, величинами y_D^2 и y_D^4 во всех
квадратных скобках, содержащих после подстановки двучлен, и применяя
простейшие преобразования, получим

$$H_D = \frac{Q}{4\pi} \ln \frac{1.99r}{R+r} + C \quad (3.9)$$

Второе условие: в точке M (фиг. 7) контура источника напор
известен и равен H_1 , т. е.

$$h = H_1 \text{ при } x = x_M = 0, \quad y = y_M = \frac{1}{R} - \frac{1}{R+r} \quad (3.10)$$

Подставив в (3.7) значения x_M и y_M и приняв условие $h = H_1$,
в полученном выражении без заметного ущерба для точности практических
расчетов пренебрежем величинами y_M^2 и y_M^4 в тех случаях, где
они окажутся малой по сравнению с другими слагаемыми, что возможно
по условию (1). Тогда после преобразований получим

$$H_1 = \frac{Q}{4\pi} \ln \frac{0.4265(R+r)}{r^2} + C \quad (3.11)$$

Затем, вычитая уравнение (3.9) из (3.11), выводим окончательную
зависимость между действующим напором H и приведенным расходом Q :

$$H = H_1 - H_D = \frac{Q}{4\pi} \ln \left[0.0625 \left(1 + \frac{R}{r}\right) \left(\frac{R}{r}\right)^2 \left(1 + \frac{2r}{R}\right) \right] \quad (3.12)$$

Вычитая уравнение (3.9) из (3.7), получаем выражение, определяющее
зависимость напора в точке (x, y) над напором в дренах

$$\begin{aligned} h - H_D &= \frac{Q}{4\pi} \ln \left\{ \frac{(R+r)^2 \left[\left(x + \frac{1.205}{R}\right)^2 + y^2 \right] \left[\left(x - \frac{1.205}{R}\right)^2 + y^2 \right]}{3.96r^2 \left[x^2 + \left(\frac{0.5}{R} - y\right)^2 \right]} \right. \\ &\quad \left. \times \frac{\left[\left(x + \frac{0.207}{R}\right)^2 + y^2 \right] \left[\left(x - \frac{0.207}{R}\right)^2 + y^2 \right]}{\left[x^2 + \left(\frac{0.5}{R} + y\right)^2 \right]} \right\} \end{aligned} \quad (3.13)$$

Чтобы найти распределение напора в контуре обделки с шириной $2r$ и к А при этом индекс x для максимального напора в получаемой формуле соотносится с осью x отображения на плоскости x . Получим

$$h_x = H_D \frac{Q}{4\pi} \ln \frac{(R+r) \sqrt{1.452 - x^2 R^2} + 0.025 - x^2 R^2}{1.99 (x^2 R^2 + 0.250^2)}$$

Вместо h_x и H_D выражением относительного фильтрационного напора $\frac{h_x}{H_D} \cdot 100\%$ и $\frac{h_x - H_D}{H} \cdot 100\%$ выражая h_x в процентах от полного перепада напора H и H_D напора в дрену H_D напором в трене. Тогда из (3.12), (3.15) и (3.16) получим

$$\frac{h_x}{H_D} \cdot 100\% = \frac{Q}{4\pi} \ln \frac{(R+r) \sqrt{1.452 - x^2 R^2} + 0.025 - x^2 R^2}{1.99 (x^2 R^2 + 0.250^2)} \cdot 100\% \quad (3.17)$$

Эта формула позволяет построить эволюцию относительных напоров, действующих по наружной поверхности обделки туннеля. Для этого следует выбрать несколько характерных точек внешнего контура обделки, определить их координаты x и y , найти по формуле (3.3) соответствующие этим координатам значения абсциссы x и подставить последние в (3.17). В результате получим искомые относительные напоры в этих точках.

Учитывая особенность туннеля, для ее построения выбрать характерные точки внешнего контура обделки. В качестве таковых для эволюции напора в трене B и C (фиг. 6 и 5). Координаты x и y в B и C для $r=1$ м даны в табл. 1. Подставляя соответствующие значения x и y в формулу (3.17) получим следующие выражения для значений относительных напоров $\varphi_A, \varphi_B, \varphi_C$ в точках A, B, C :

$$\varphi_A = \frac{100}{\pi} \lg \left[0.500 \left(1 + \frac{R}{r} \right) \right] \% \quad (3.18)$$

$$\varphi_B = \frac{100}{\pi} \lg \left[0.435 \left(1 + \frac{R}{r} \right) \right] \% \quad (3.19)$$

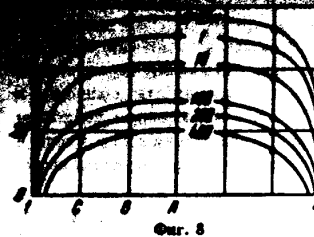
$$\varphi_C = \frac{100}{\pi} \lg \left[0.250 \left(1 + \frac{R}{r} \right) \right] \% \quad (3.20)$$

$$e = \lg \left[0.0625 \left(1 + \frac{R}{r} \right) \left(\frac{R}{r} \right)^2 \left(1 + \frac{2}{R} \right)^4 \right] \quad (3.21)$$

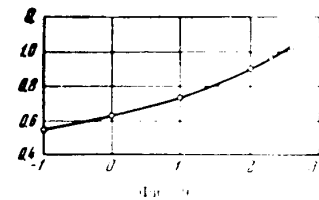
в (3.12) и (3.21), имея в виду, что для перехода от приведенного расхода Q и действительному расходу Q_0 , поступающему по все длине туннеля, следует первый помножить на коэффициент фильтрации грунта k и получить:

$$Q_0 = \frac{4\pi k H}{2.303}$$

эволюция напора в трене туннеля. По формуле (3.22) для туннели на различных диаметрах d и для различных значений R приведены в табл. 2. По данным табл. 2 построены эволюции напоров для одного квадранта обделки (фиг. 8).



Фиг. 8. Эволюция напоров при дренировании туннельной обделки. γ — фильтрационный напор в процентах от действующего; по оси абсцисс — развертка по наружному контуру обделки; диаметр туннеля $D = 6$ м, глубина $t = 100$ м



Фиг. 9. Зависимость фильтрационного расхода Q от диаметра d дрена (мм)

В остальных квадрантах, как вытекает из сказанного выше (по причине того, что $R \ll t$), эволюции получаются такими же.

Таблица 2

d , мм	φ_A , %	φ_B , %	φ_C , %	$\frac{Q_0}{\text{л/сек}}$
0.1	57.0	43.4	21.1	0.0554
1	50.9	38.4	19.1	0.0635
10	43.4	30.6	15.1	0.0744
100	30.6	25.0	11.1	0.0896
200	25.0	21.1	10.1	0.0952
400	21.1	19.1	9.1	0.1015
—	0	—	—	0.119

На фиг. 9 в полуметрических координатах изображен график зависимости расхода от диаметра дрена. График построен по данным второго столбца табл. 2.

Заметим, что формула (3.22) представляет интерес и для анализа вопроса о порядке величин возможных потерь воды из напорных гидротехнических сооружений через продольные трещины (или щели в швах очислительной установки бетона) в обделки. В этом случае следует еще учесть потерю напора H^* , вызванную гидравлическим сопротивлением движению воды между трещинами, и в формулу (3.22) подставить вместо H величину $H - H^*$. Если трещины рассматривать как полые (незаполненные) каналы, можно вычислить величину H^* по формулам и графикам, имеющимся в литературе.

3.4. Дренажные устройства

личаемо по ширине, по сравнению с традиционными дренажными устройствами, расположенными в нижней трети сечения. Их применение в горючей породе является существенно затруднено и входит в противоречие с основной задачей, заключающейся в том, чтобы более с высокой скоростью в горючую породу поступала вода.

Рамки этой статьи не позволяют остановиться на подробной характеристике как заслонной, так и глубинной; отметим лишь, что такая конструкция существенно улучшает статические условия работы обводнения и приобретает возможность успешной борьбы с агрессивными действиями грунтовых вод. Последнее достигается за счет уменьшения доступа воды и специальным подбором инфильтруемых растворов, нейтрализующих агрессивность фильтрующейся воды.

В связи с этим немалым интерес представляет шнуровой дренаж, в свое время предложенный нами для обводнения из строительства ГЭС и специально исследованный экспериментальным методом ЗГДА. Его основные преимущества: 1) возможность устройства после инъекции раствора не только в породе, 2) легкая приспособляемость к местным изменениям гидрогеологических условий путем изменения расположения, направления, длины и количества шнуров. Шнуровой дренаж легко комбинируется с дренажными поверхностными устройствами.

Подробный материал, характеризующий работу шнурового дренажа, дан в работе [4].

Выводы. Приведенные результаты исследований показывают прежде всего высокую эффективность дренажных устройств в туннелях и возможность расчета дренажных устройств при определении их работы модельными методами ЗГДА. В заключение, тем и второй способ оценки дренажа вполне доступен для практической организации.

Рассмотренные способы лишь начали разработку возможных приемов дренажирования. Последнее могут получить во многих случаях конструктивные решения, не представляющие значительных затруднений при их осуществлении.

Простейшее дренажирование дотка туннели уже обеспечивает снижение действующего напора грунтовых вод на 50-60%, т.е. кругло в два раза.

Как показывает расчет четырех дренажных линий и некоторые дополнительные теоретические исследования, не приведенные в этой статье, узкие дренажи, расположенные параллельно одна другой на поверхности контакта обделки с грунтом параллельно или же перпендикулярно и продольной оси туннели, а также комбинация таких продольных и поперечных дренажей, образующих прямоугольную дренажную сетку, позволяют снизить давление в 4-5 раз.

Составление данных о работе дренажных устройств, расположенных на поверхности контакта обделки с породой, со шнуровым дренажом в горючую породу и глубину, показывает, что поверхностный дренаж имеет по своим возможностям дренажу глубинному. Это существенно расширяет возможности дренажирования путем комбинации использования обоих методов в порознь или совместно.

...указании того для много гидротехнического туннели с учетом особенностей его конструкции и условий эксплуатации.

Данные, приведенные в табл. 2 и показанные на фиг. 8 и 9, позволяют сделать еще некоторые выводы, представляющие практический и теоретический интерес. Как показывает расчет γ для дрен различного диаметра d , даже при весьма малых величинах d давление грунтовых вод падает значительно. Так, при наличии четырех продольных дрен шириной каждой всего лишь по 0,1 м давление грунтовых вод на расстоянии 1 м от дрен приблизительно вдвое по сравнению со случаем отсутствия дренажа. Подобные узкие дренажи могут образоваться естественным путем, так как вода даст четыре продольные трещины, например, при образовании трещины от грунтовых вод при проектировании и сооружении туннелей. Следовательно, трещинообразование обделки означает саморазвитие дренажа по отношению к давлению грунтовых вод.

Сравнение значений величины $Q_0 / \gamma K H$ (вертикаль оси в 1 и в 7 м строчках табл. 2 (0,055 и 0,119)), показывает, что фильтрационный расход Q_0 является значительно слабее, чем поперечный размер дрен.

Эти выводы и данные полностью согласуются с результатами теоретических и экспериментальных исследований влияния тонких щелей на противодренажную эффективность водонепроницаемых шпунтовых язовов [6,9]. Еще ранее (1939 г.) к таким же выводам (о малой эффективности противодренажных преград при наличии в них даже весьма тонких щелей) мы пришли при выполнении научно-исследовательских работ для Мингачурского гидроузла.

Таким образом можно заключить, что фильтрационные сопротивления дренажных труб незначительны, особенно при значительном изменении степени перфорации их поверхности. Следовательно, всякого рода подвесные трубы, служащие для отвода воды из грунта нефти и подземных вод (с целью осушения, для охлаждения и т. д.), можно применять с незначительной степенью перфорации их поверхности, считая степень перфорации до предела, не превосходящую допустимую по соф-фолной устойчивости данного грунта или возможных по условиям исполнения перфорации.

ЛИТЕРАТУРА

Поступило в редакцию 10/11/64

1. Мелевский В. Л. Туннели. Изд. Академии архитектуры СССР, 1947.
2. Технологические условия и нормы проектирования гидротехнических сооружений. Гидротехнические туннели (в т.ч. дренажные). Гидротехнический институт, 1954.
3. Лопин Г. М. и Насберг В. М. Проектирование гидротехнических сооружений. Изд. ГИИИТО строител. Академии наук СССР, 1954.
4. Лопин Г. М. Фильтрация в дренажах. В сб. "Гидротехника", т. 1, стр. 10-15, 1954.
5. Чугаева Е. А. Роль шпунтовых язовов в осушении. В сб. "Гидротехника", т. 1, стр. 16-19, 1954.
6. Федрига В. П. и Халилова Г. И. Исследования по влиянию перфорации дренажных стенок на эффективность их работы. В сб. "Гидротехника", т. 1, стр. 20-23, 1954.

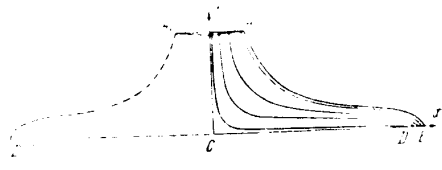
Вопрос фильтрационных расчетов гидротехнических сооружений. Сб. статей под ред. проф. К. А. Михайлова. ГИИИТО, М., 1948.

ФИЛЬТРАЦИЯ ИЗ КАНАЛА ПРИ НАЛИЧИИ ДВУХ ДРЕВ
НА ВОДОУНОРЕ

Г. П. ПЫЛТЭЕВ

(М. КБД)

§ 1. Постановка задачи. Рассмотрим задачу о плоской симметричной фильтрации в скважине, расположенной в центре канала, расположенного на границе водоносного горизонта, в котором имеются два пласта: водоносный и водонепроницаемый. Пусть канал имеет две приближенные дрены (рис. 1). Пусть канал имеет две дрены, расположенные в песчаной плотине. Будем считать, что дрены имеют одинаковую длину и одинаковую ширину. Будем считать, что дрены имеют одинаковую длину и одинаковую ширину. Будем считать, что дрены имеют одинаковую длину и одинаковую ширину.



Фиг. 1

длины $2L$, длину водоупора $2L_1$ и на расстоянии l от оси канала над каналом BC обозначим соответствующие точки A, C, D, E и F .

Пусть давление в скважине равно p_0 , а в дренах равно p_1 . Тогда граничные условия задачи можно записать так:

$$p = p_0 \quad \text{на } AB, \quad p = p_1 \quad \text{на } CD, \quad p = p_1 \quad \text{на } EF. \quad (1.1)$$

В области $BCDE$ потенциал u удовлетворяет уравнению Лапласа:

$$\Delta u = 0 \quad \text{в области } BCDE. \quad (1.2)$$

В области AD и DE потенциал u удовлетворяет уравнению Лапласа:

$$\Delta u = 0 \quad \text{в области } AD \text{ и } DE. \quad (1.3)$$

В области AD и DE потенциал u удовлетворяет уравнению Лапласа:

$$\Delta u = 0 \quad \text{в области } AD \text{ и } DE. \quad (1.4)$$

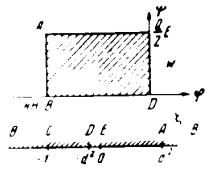
В области AD и DE потенциал u удовлетворяет уравнению Лапласа:

$$u = 0 \quad \text{на } DE, \quad z = 0 \quad \text{на } DE. \quad (1.5)$$

§ 2. Построение общего решения. Область течения в плоскости W , как легко видеть, будет соответствовать внутренности прямоугольника $ABCD$, изображенного на фиг. 2. Отобразим этот прямоугольник на вспомогательную верхнюю полуплоскость ζ так, чтобы его точки B, C и E перешли в точки $\zeta = \infty, \zeta = -1, \zeta = 0$:

$$W = -\frac{Q}{2K(k)} \int_0^x \frac{dt}{V(t^2-1)(1-k^2t^2)} \quad (2.1)$$

$$\zeta = \frac{V\zeta + a^2}{d}, \quad x = \frac{d}{V a^2 + d^2} \quad (2.2)$$



Фиг. 2

Здесь $K(k)$ — полный эллиптический интеграл 1-го рода, $a^2 = a^2$ — координаты точек D и A в плоскости ζ . Введем функцию

$$f(\zeta) = u + iv = z - \frac{Q}{2K(k)} \int_0^{\zeta} \frac{dt}{V(t^2-1)(1-k^2t^2)} \quad (2.3)$$

На участке $(-\infty, -1)$ известна действительная часть этой функции $u = 0$, а на участке $(-1, 0)$ известна ее мнимая часть:

$$v = -\frac{Q}{2K(k)} F\left(\arctg \frac{V\zeta + a^2}{d}; k'\right) \quad (-1 < \zeta < 0) \quad (2.4)$$

$$v = 0 \quad (-a^2 \leq \zeta < \infty)$$

где $k' = \sqrt{1-k^2} = \frac{a}{V a^2 + d^2}$

Решение полученной обычной смешанной задачи имеет вид:

$$f(\zeta) = -\frac{Q\sqrt{1-k^2}}{2K(k)\pi} \int_{-1}^{\zeta} F\left(\arctg \frac{Vt + a^2}{d}; k'\right) \frac{dt}{V(1-t^2)(1-k^2t^2)} \quad (2.5)$$

Из соотношений (2.3) и (2.5) находим функцию

$$Z(\zeta) = \frac{Q\sqrt{1-k^2}}{2K(k)\pi} \int_0^{\zeta} F\left(\arctg \frac{Vt + a^2}{d}; k'\right) \frac{dt}{V(1-t^2)(1-k^2t^2)} \quad (2.6)$$

отображающую верхнюю полуплоскость ζ на область фильтрации. Формулы (2.1) и (2.7) дают решение поставленной задачи.

Положим в (2.7) $\zeta = \xi$ ($0 \leq \xi \leq a^2$), $\xi = 0$, $\xi = a^2$ и отделим действительную часть от мнимой, получим уравнение свободной поверхности

2 отн. к z

$$x = \frac{Q\sqrt{t+\xi}}{2kK(x)\pi} \int_0^{\arcsin \sqrt{\frac{t-d^2}{t}}} \frac{F(\arcsin \sqrt{\frac{t-d^2}{t}}; \alpha)}{\sqrt{1-t(t+\xi)}} dt + \dots$$

$$y = \frac{Q}{2kK(x)} F\left(\arcsin \sqrt{\frac{t-d^2}{t}}; \alpha\right) \quad (0 < t < \xi)$$

а также основные размеры области фильтрации как функции параметров d и a .

$$L = \frac{Q}{2k} \int_0^{\arcsin \sqrt{\frac{t-d^2}{t}}} \frac{\sin \theta \sqrt{\frac{t-d^2}{t}}}{1-t(t+\xi)} dt + \frac{Q}{2k} \dots$$

$$B = \frac{Q}{2k} \int_0^{\arcsin \sqrt{\frac{t-d^2}{t}}} \frac{\cos \theta \sqrt{\frac{t-d^2}{t}}}{1-t(t+\xi)} dt \dots$$

Преобразуем уравнение (2.9) в уравнение эллиптического интеграла второго рода

при помощи замены $t = \frac{A \sin^2 \theta}{1 - \sin^2 \alpha \sin^2 \theta}$, $dt = \frac{2A \sin \theta \cos \theta d\theta}{1 - \sin^2 \alpha \sin^2 \theta}$ и $\xi = \frac{A \cos^2 \beta}{1 - \sin^2 \alpha \sin^2 \beta}$ в виде:

$$L = \frac{Q}{2k} \int_0^{\arcsin \sqrt{\frac{t-d^2}{t}}} \frac{\sin \theta \sqrt{\frac{t-d^2}{t}}}{1 - \sin^2 \alpha \sin^2 \theta} dt + \frac{Q}{2k} \dots$$

$$L = \frac{Q}{2k} \int_0^{\arcsin \sqrt{\frac{t-d^2}{t}}} \frac{\sin \theta \sqrt{\frac{t-d^2}{t}}}{1 - \sin^2 \alpha \sin^2 \theta} dt + \frac{Q}{2k} \dots$$

$$L = \frac{Q}{2k} \int_0^{\arcsin \sqrt{\frac{t-d^2}{t}}} \frac{\sin \theta \sqrt{\frac{t-d^2}{t}}}{1 - \sin^2 \alpha \sin^2 \theta} dt + \frac{Q}{2k} \dots$$

$$L = \frac{Q}{2k} \int_0^{\arcsin \sqrt{\frac{t-d^2}{t}}} \frac{\sin \theta \sqrt{\frac{t-d^2}{t}}}{1 - \sin^2 \alpha \sin^2 \theta} dt + \frac{Q}{2k} \dots$$

Если нам известна ширина водоупора $2L$ и высота H , то после того как найдены параметры α и β из уравнения (2.12), координаты точек свободной поверхности легко найти по формулам (2.11), так как координата y выражается через элементарные функции, а интеграл, стоящий в правой части, вычисляется методом численного интегрирования.

§ 3. Фильтрация из бесконечности к водоупору с двумя дренажами. Рассмотрим фильтрацию в плоскопараллельном симметричной фильтрации потока грунтовых вод из бесконечности к горизонтальному водоупору, на уровне которого расположены два дренажа. Нетрудно видеть, что рассматриваемая задача является тем частным случаем предыдущей задачи, когда канал находится в бесконечно удаленной (от водоупора) точке.

... для решения поставленной задачи. ... (2.7), (2.11) и (2.12) положить $H = \infty$

$$\lim_{H \rightarrow \infty} \frac{H}{K(\sin \beta)} = \frac{1}{2} \pi \text{ при } \beta = \frac{1}{2} \pi. \quad \lim_{H \rightarrow \infty} \frac{H}{K(\sin \beta)} = \frac{Q}{k\pi} \text{ при } H \rightarrow \infty \text{ и } \beta = \frac{1}{2} \pi$$

$$W(\zeta) = -\frac{Q}{\pi} \ln \left(\frac{V\zeta + d^2 + V\zeta^2}{d} \right) \dots$$

$$Z(\zeta) = \frac{Q\sqrt{t+\xi}}{k\pi^2} \int_0^{\arcsin \sqrt{\frac{t-d^2}{t}}} \frac{\ln |(V\zeta^2 + t + V\zeta)|}{V\zeta - t(t+\xi)} dt + \dots$$

$$x = \frac{Q \sin \alpha \cos \theta \sqrt{1 - \sin^2 \alpha \sin^2 \theta}}{k\pi^2} \int_0^{\arcsin \sqrt{\frac{t-d^2}{t}}} \frac{\ln \left(\frac{1 + \sin \theta \sin \varphi}{1 - \sin \theta \sin \varphi} \right)}{(1 - \sin^2 \alpha \sin^2 \theta \sin^2 \varphi) \sqrt{1 - \sin^2 \alpha \sin^2 \theta}} d\theta \dots$$

$$y = \frac{Q}{2k\pi} \ln \left(\frac{1 + \sin \theta}{1 - \sin \theta} \right) \dots$$

$$L^2 = \frac{L}{B_\infty} = \frac{2 \sin \alpha}{\pi^2} \int_0^{\arcsin \sqrt{\frac{t-d^2}{t}}} \ln \frac{1 + \sin \alpha \sin \varphi}{1 - \sin \alpha \sin \varphi} \frac{\sin \varphi d\varphi}{\sqrt{1 - \sin^2 \alpha \sin^2 \varphi}} \dots$$

где $2B_\infty = Q/k$ ширина потока грунтовых вод на бесконечности. Если известна длина водоупора $2L$, то после определения параметра α из уравнения (3.4), координаты точек свободной поверхности легко найти по формулам (3.3), так как координата y выражается через элементарные функции, а интеграл, стоящий в правой части выражения для x , можно вычислить методом численного интегрирования. Таким образом, основная трудность при решении данной задачи заключается в определении параметра α по заданной величине L^2 из уравнения (3.4), которое можно представить в виде:

$$L^2 = 1 + \frac{4}{\pi^2} I(\alpha) \dots$$

$$I(\alpha) = \sin \alpha \int_0^{\arcsin \sqrt{\frac{t-d^2}{t}}} \frac{1}{2} \ln \frac{1 + \sin \alpha \sin \varphi}{1 - \sin \alpha \sin \varphi} \frac{\sin \varphi d\varphi}{\sqrt{1 - \sin^2 \alpha \sin^2 \varphi}} \dots$$

Так как интеграл $I(\alpha)$ не выражается через элементарные или так или иначе известные функции, то мы не можем найти зависимость $x(L)$ непосредственно из уравнения (3.5). Следовательно, нам необходимо дать эффективный метод вычисления $I(\alpha)$ для того, чтобы составить таблицу или построить график искомой зависимости.

§ 4. Метод вычисления интеграла (3.6). Приближенная формула для определения формы свободной поверхности. 1. Нетрудно проверить справедливость следующего разложения:

$$\frac{(1-u^2)^2}{2} \ln \frac{1+u}{1-u} = u - \frac{4}{3} u^3 + \frac{8}{5} u^5 - \dots$$

$$\text{Положив здесь } u = \sin \alpha \sin \varphi, \text{ получим}$$

$$\frac{1}{2} \ln \left(\frac{1 + \sin \alpha \sin \varphi}{1 - \sin \alpha \sin \varphi} \right) = \sin \alpha \sin \varphi - \frac{4}{3} \sin^3 \alpha \sin^3 \varphi + \dots$$

$$+ \frac{11}{5} (\sin \alpha \sin \varphi)^5 - 48 \sum_{n=2}^{\infty} \frac{(\sin \alpha \sin \varphi)^{4n+1}}{(4n+1)6n^2-5n-2}$$

Если теперь подставим (4.2) в (3.6), то

$$I(x) = \frac{1}{\cos^2 \alpha} \left[a_2 - \frac{1}{3} a_4 + \frac{11}{5} a_6 - 48 \sum_{n=2}^{\infty} \frac{a_{2n}}{(4n^2-1)(4n^2-9)} \right] + \frac{1}{2} \sin^2 \alpha \int_0^{\pi} \frac{\sin^{2n} \varphi d\varphi}{(1 - \sin^2 \alpha \sin^2 \varphi)^{1/2}} \quad (4.3)$$

и, следовательно,

$$I(x) = \frac{1}{\cos^2 \alpha} \left[a_2 - \frac{1}{3} a_4 + \frac{11}{5} a_6 - 48 \sum_{n=2}^{\infty} \frac{a_{2(n+2)}}{(4n^2-1)(4n^2-9)} \right] \quad (4.4)$$

Согласно (4.4) коэффициенты a_n убывают быстро, и поэтому при вычислении $I(x)$ можно ограничиться небольшим числом членов. Можно показать, что для $x \rightarrow 0$ справедливо соотношение:

$$a_{2n} - \cos^2 \alpha a_{2(n+2)} + (2n+5) a_{2(n+2)} = 0 \quad (4.5)$$

Согласно (4.5) коэффициенты a_n и a_{2n} последовательно, как и коэффициенты b_n и b_{2n} в (4.1), удовлетворяют соотношению:

$$b_{2n} - \cos^2 \alpha b_{2(n+2)} + (2n+5) b_{2(n+2)} = 0 \quad (4.6)$$

Согласно (4.6) коэффициенты b_n убывают для любого α . При $\alpha \rightarrow 0$ коэффициенты b_n и a_n совпадают, как уже указывалось выше. При $\alpha \rightarrow \pi/2$ коэффициенты, содержащиеся в интеграле (4.3) и в (4.4) имеют вид $\int_0^{\pi} \sin^{2n} \varphi d\varphi$. Поэтому же интеграл можно представить в виде быстрого ряда, если воспользоваться разложением (4.2). Действительно, подставив (4.2) в (3.6), получим:

$$I(x) = \frac{1}{\cos^2 \alpha} \left[b_2 - \frac{1}{3} b_4 + \frac{11}{5} b_6 - 48 \sum_{n=2}^{\infty} \frac{b_{2(n+2)}}{(4n^2-1)(4n^2-9)} \right] + \frac{1}{2} \sin^2 \alpha \int_0^{\pi} \frac{\sin^{2n} \varphi d\varphi}{(1 - \sin^2 \alpha \sin^2 \varphi)^{1/2}} \quad (4.7)$$

В коэффициенты b_{2n} легко определить рекуррентное соотношение

$$b_{2n} - \sin^2 \theta b_{2(n+2)} + (2n+5) b_{2(n+2)} = 0 \quad (4.8)$$

после того как найдем коэффициенты b_n для второго имеем:

$$b_0 = \frac{(\cos \alpha \sin \alpha \cos \theta)^2}{3} \left[\frac{1}{3} K(\sin \alpha) - \frac{\cos^2 \alpha}{3} K(\sin \alpha) \right] + \sin^4 \alpha \cos^2 \theta \left[\frac{1}{3} K(\sin \alpha) - \frac{\cos^2 \alpha}{3} K(\sin \alpha) \right] + \frac{1}{2} \sin^2 \alpha \int_0^{\pi} \frac{\sin^{2n} \varphi d\varphi}{(1 - \sin^2 \alpha \sin^2 \varphi)^{1/2}} \quad (4.9)$$

3. Рассмотрим теперь вопрос о поведении свободной поверхности в окрестности точки L , т. е. вблизи дренн. Для этого в формуле (3.3)

используем $\sin \theta = \text{th}^{1/2} \varphi / p$, $\sin \theta = \text{th}^{1/2} \varphi$, тогда получим:

$$I(x) = \frac{1}{\cos^2 \alpha} \left[b_2 - \frac{1}{3} b_4 + \frac{11}{5} b_6 - 48 \sum_{n=2}^{\infty} \frac{b_{2(n+2)}}{(4n^2-1)(4n^2-9)} \right] + \frac{1}{2} \sin^2 \alpha \int_0^{\pi} \frac{\sin^{2n} \varphi d\varphi}{(1 + (1 - \sin^2 \alpha \sin^2 \varphi) \text{sh}^2 \varphi)^{1/2}} \sqrt{1 + \cos^2 \alpha \text{sh}^2 \varphi} \sin \varphi \ln \frac{1 + \text{sh} \varphi + \sin \varphi}{1 - \text{sh} \varphi + \sin \varphi} d\varphi$$

Для $\text{sh}^2 \varphi < 1$ имеет место разложение:

$$\frac{\sqrt{1 + \cos^2 \alpha \text{sh}^2 \varphi}}{1 + (1 - \sin^2 \alpha \sin^2 \varphi) \text{sh}^2 \varphi} = 1 + \frac{2 \sin^2 \alpha \sin^2 \varphi - (1 - \sin^2 \alpha) \text{sh}^2 \varphi}{8} + O(\text{sh}^4 \varphi)$$

где $O(\text{sh}^4 \varphi)$ — члены, имеющие порядок малости не меньше чем $\text{sh}^4 \varphi$, тогда

$$x^2 = L^2 - \frac{1}{2p} y^2 + O(y^4) \quad (4.10)$$

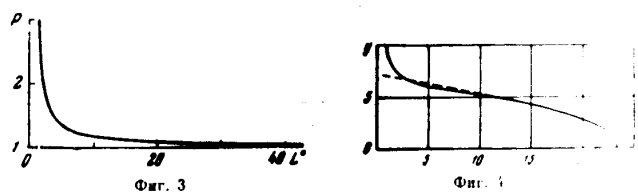
$$p = \frac{\cos^2 \alpha}{c_2} - \frac{1}{3} c_4 + \frac{11}{5} c_6 - 48 \sum_{n=2}^{\infty} \frac{c_{2(n+2)}}{(4n^2-1)(4n^2-9)} \quad (4.11)$$

$$c_{2n} = (1 + \sin^2 \alpha) a_{2n} - 2a_{2n+2}$$

Таким образом, с точностью до членов четвертого порядка малости относительно ординаты y^2 свободная поверхность вблизи дренн совпадает с параболой

$$y^2 = 2p(L^2 - x^2) \quad (4.11)$$

График зависимости p от L^2 изображен на фиг. 3. Из графика видно, что при больших L^2 параметр p мало отличается от единицы, можно



также показать, что $\lim p = 1$, если $L^2 \rightarrow \infty$. Следовательно, для достаточно больших L^2 можно положить $p = 1$. Вычисления, проведенные для различных L^2 , показали, что свободная поверхность, построенная по формуле (4.3), на достаточно большом расстоянии от дренн практически совпадает с дельта-членом малости четвертого порядка (4.11). На фиг. 4 свободная поверхность вблизи дренн совпадает с параболой (пунктирная линия построена по формуле (4.11)).

В заключение автор благодарит академика Г. И. Полюбарина, а также П. И. Полубариню-Кочину и Г. К. Мухоморова за помощь в выполнении настоящей работы.

ЛИТЕРАТУРА

1. Полубариню-Кочина П. И. Труды Института гидротехники им. С. П. Павлова, 1962.
2. Сиперский Ю. С. Элементы теории автоматов. ГИИТ, 1962.

ИЗВЕСТИЯ АКАДЕМИИ НАУК СССР

ОТЕЧЕСТВЕННАЯ ФИЗИКА

№ 6

ПРИТОК К СВАЖИНАМ В ПЛАСТЕ С ПЕРЕМЕННЫМ ДАВЛЕНИЕМ НА КОНТУРЕ НАГИБАНИЯ (К ОПРЕДЕЛЕНИЮ ПАРАМЕТРОВ ПЛАСТА И СВАЖИНЫ ПРИ ПОМОЩИ КАРТЫ ИЗОБАР)

И. А. ЧАРНЫЙ

М. В. С.

С целью определения параметров пласта и геометрии скважины произвольной формы в пласт с переменной вязкостью введена карта изобар заданной формы — так называемая карта изобар. По карте изобар можно определить:

Между тем, в ряде случаев возникает необходимость рассмотреть течения в пласте с переменной вязкостью при произвольном переменном давлении на контуре.

Пусть в кольце, ограниченном двумя радиальными окружностями с радиусами R_1 и R_2 , $R_1 < R_2$, расположена скважина с дебитом Q . Полярные координаты центра скважины (α, β) . Пласт считается плоским мощностью h . На окружностях $r = R_1$, $r = R_2$ заданы контурные давления $p_1(\theta)$ и $p_2(\theta)$. Требуется найти распределение давления $p(r, \theta)$ в кольце.

Введем в рассмотрение фильтрационный потенциал $\Phi = kpr$, где k — проницаемость, μ — вязкость. Как принято в электростатике, будем искать решение уравнения $\nabla^2 \Phi = 0$ в виде суммы

$$\Phi(r, \theta) = \varphi(r, \theta) + \varphi^*(r, \theta) \quad (1)$$

Здесь

$$\varphi^*(r, \theta) = \frac{q}{4\pi} \ln [r^2 + \beta^2 - 2r\beta \cos(\theta - \alpha)] \quad (q = \frac{Q}{k})$$

потенциал единичной скважины в неограниченной плоскости, $\varphi(r, \theta)$ — произвольная функция, удовлетворяющая условиям задачи.

Общее решение уравнения Лапласа в полярных координатах имеет вид

$$\varphi(r, \theta) = \sum_{n=0}^{\infty} (c_n r^n + c_n' r^{-n}) \sin n\theta + (d_n \cos n\theta + d_n' \sin n\theta) r^{-n} \quad (2)$$

Величины c_n, c_n', d_n, d_n' и коэффициенты $e_n, e_n', a_n, b_n, c_n, d_n$ подлежат определенным граничным условиям

$$\begin{aligned} \Phi(R_1, \theta) &= (R_1/r)^n \Phi_1(\theta) = \frac{q}{4\pi} \ln [R_1^2 + \beta^2 - 2R_1\beta \cos(\theta - \alpha)] \\ \Phi(R_2, \theta) &= (R_2/r)^n \Phi_2(\theta) = \frac{q}{4\pi} \ln [R_2^2 + \beta^2 - 2R_2\beta \cos(\theta - \alpha)] \end{aligned} \quad (3)$$

2

где $\Phi_1(\theta)$ и $\Phi_2(\theta)$ — значения функции изобар на контуре скважины.

$$\Phi_1 = \sum_{n=1}^{\infty} \Phi_n(\theta) \cos n\theta + \Phi_0 \sin n\theta \quad (i = 1, 2) \quad (4)$$

Коэффициенты определяются по формулам

$$\Phi_n = \frac{1}{\pi} \int_0^{2\pi} \Phi_1(\theta) \cos n\theta d\theta, \quad \Phi_0 = \frac{1}{\pi} \int_0^{2\pi} \Phi_2(\theta) \cos n\theta d\theta, \quad \Phi_n' = \frac{1}{\pi} \int_0^{2\pi} \Phi_2(\theta) \sin n\theta d\theta$$

Тогда, пользуясь разложением

$$\ln(1 + \alpha^2 - 2\alpha \cos \theta) = -2 \sum_{n=1}^{\infty} \frac{\alpha^n \cos n\theta}{n} \quad (5)$$

после вычислений получаем распределение потенциала в кольце

$$\Phi(r, \theta) = F(r, \theta) + \frac{q}{4\pi} \ln \left[\frac{r}{R_1} \left(\frac{r}{R_1} - \beta \right) \right] \quad (6)$$

где

$$\begin{aligned} F(r, \theta) &= \frac{\Phi_0 \ln(R_2/r) - \Phi_0 \ln(R_1/r) + \Phi_0' \ln(R_2/r) - \Phi_0' \ln(R_1/r)}{\ln(R_2/R_1)} \\ &+ \sum_{n=1}^{\infty} \left[\frac{\Phi_{1n} \left(\frac{r}{R_2} \right)^n - \Phi_{2n} \left(\frac{r}{R_1} \right)^n + \Phi_{1n}' \left(\frac{R_2}{r} \right)^n - \Phi_{2n}' \left(\frac{R_1}{r} \right)^n \right] \cos n\theta \\ &+ \frac{\left[\Phi_{1n}' \left(\frac{r}{R_2} \right)^n - \Phi_{2n}' \left(\frac{r}{R_1} \right)^n + \Phi_{1n} \left(\frac{R_2}{r} \right)^n - \Phi_{2n} \left(\frac{R_1}{r} \right)^n \right] \sin n\theta}{\left(\frac{R_2}{r} \right)^n - \left(\frac{R_1}{r} \right)^n} \\ f(r, \theta) &= \frac{-\ln R_2 \ln(\beta/R_1) + \ln r \ln(R_2/R_1)}{\ln(R_2/R_1)} \\ &+ \sum_{n=1}^{\infty} \frac{\cos n(\theta - \alpha)}{n} \left[\frac{\left(\frac{R_2}{r} \right)^n - \left(\frac{R_1}{r} \right)^n}{\left(\frac{R_2}{R_1} \right)^n - \left(\frac{R_1}{R_1} \right)^n} + \left(\frac{R_2}{r} \right)^n - \left(\frac{R_1}{r} \right)^n \right] \\ &- \frac{\left(\frac{R_2}{r} \right)^n - \left(\frac{R_1}{r} \right)^n}{\left(\frac{R_2}{R_1} \right)^n - \left(\frac{R_1}{R_1} \right)^n} \end{aligned} \quad (7)$$

Прямой проверкой, учитывая (6), можно убедиться, что формула (7) удовлетворяет уравнению Лапласа и граничным условиям (4).

Потенциал Φ_0 на контуре скважины малого радиуса r_0 определяется согласно (7), формулой

$$\Phi_0 = F(r_0, \alpha) + \frac{q}{4\pi} [\ln(r_0/\alpha) - \ln r_0] \quad (8)$$

Отсюда можно найти дебит Q .
Предельные суперпозиционные формулы (7) и (8) можно обобщить на случай произвольных скважин.

Для частного случая $R_1 = 0$ (скажем, в случае (2) $c_1 = 0$, $c_n = d_n = 0$ и распределение давлений в водовде к виду

$$p(r, \theta) = p_0 + \sum_{n=1}^{\infty} (p_{1n} \cos n\theta + p_{2n} \sin n\theta) \left(\frac{r}{R_2}\right)^n + \sum_{n=1}^{\infty} Q_n \ln \frac{r^2 + \delta_1^2 - 2r\delta_1 \cos(\theta - \alpha_1)}{R_2^2 + \delta_1^2 - 2R_2\delta_1 \cos(\theta - \alpha_1)} \quad (10)$$

где α_1 — азимут точки δ_1 , α_n — полярные координаты центра i -й скважины, r — радиус в полярном r, θ на контуре, δ — параметр проводимости скважины, R_2 — радиус скважины на окружности $r = R_2$.

$$p(r, \theta) = p_0 + \sum_{n=1}^{\infty} (p_{1n} \cos n\theta + p_{2n} \sin n\theta) \left(\frac{r}{R_2}\right)^n + \sum_{n=1}^{\infty} Q_n \ln \frac{r^2 + \delta_1^2 - 2r\delta_1 \cos(\theta - \alpha_1)}{R_2^2 + \delta_1^2 - 2R_2\delta_1 \cos(\theta - \alpha_1)} \quad (12)$$

Давление в скважинах i можно выразить с помощью уравнениями

$$p_i = p_0 + \sum_{n=1}^{\infty} (p_{1n} \cos n\alpha_i + p_{2n} \sin n\alpha_i) \left(\frac{r_i}{R_2}\right)^n + \sum_{n=1}^{\infty} Q_n \ln \frac{r_i^2 + \delta_1^2 - 2r_i\delta_1 \cos(\alpha_i - \alpha_1)}{R_2^2 + \delta_1^2 - 2R_2\delta_1 \cos(\alpha_i - \alpha_1)} \quad (13)$$

$(i = 1, \dots, N)$

В случае неограниченных скважин под r_c следует подразумевать так называемый приведенный радиус $r_c \exp(-C)$, где C — фильтрационное сопротивление, обусловленное несовершенством скважины по величине и характеру вскрытия пласта.

Интерференция скважин в пласте, имеющем в плане форму односвязной или двусвязной области, может быть исследована при помощи конформного отображения области на круг или круговое кольцо с последующим использованием формул (7) и (13).

Формулы (11) и (13) позволяют по известным r_i и приведенным радиусам скважин при помощи карты изобар найти давления и лабонные давления, следующим образом.

Пусть на карте изобар изображен круг радиуса $R_1 = R_2$ с центром в точке O . Давление на карте изобар p_0 определяется непосредственно по карте изобар и методом конформного отображения может быть разложено в ряд Фурье (11). Для давления p_0 в точке O — центре круга, из формулы (11) при радиусе $r = 0$, находим параметр c

$$p_0 = p_2 + \sum_{n=1}^{\infty} Q_n \ln \frac{1}{R_2^2} + \sum_{n=1}^{\infty} \frac{1}{2\pi(p_2 - p_0)} \sum_{i=1}^N Q_i \ln \frac{R_2}{r_i} \quad (14)$$

Зная Q_i , p_2 из системы (13) можно найти приведенные радиусы скважин, расположенных внутри круга.

Поступило 10 IV 1958

ДВИЖЕНИЕ ГРУНТОВЫХ ВОД В РАЙОНАХ ПЛОТИН, ШЛЕУЗОВ И КАНАЛОВ

Н. Н. ВЕРИГИН
(Москва)

При устройстве плотин и других водоподпорных сооружений движение естественных грунтовых вод вблизи них существенным образом изменяется. Эти изменения состоят в том, что вблизи водоподпорного сооружения образуется зона фильтрации из верхнего бьефа в нижний (фиг. 1, зона А). Фильтрационное течение в этой зоне отличается естественный грунтовый поток в сторону нижнего бьефа.

При этом естественный грунтовый поток вблизи плотин претерпевает изгиб и разделяется на две отдельные зоны.

В наиболее типичном случае, когда естественные подземные воды питают реку, в одной из этих зон (фиг. 1, зона С) естественный поток движется из пород, слагающих берега и русло реки, ко дну верхнего бьефа, а в другой зоне (фиг. 1, зона В) этот поток течет на водораздельных берегах и русло реки, ко дну нижнего бьефа.

Такая кинематическая картина имеет место под дам водохранилища и в основании плотин (в вертикальном срезе), а также в берегах реки и в зоне береговых примыкающей к реке (в горизонтальной плоскости).

Для расчета фильтрации в основании и в береговой зоне вблизи плотин, дам, шлюзов и каналов главным образом установившееся движение фильтрационных вод [1, 2, 4, 9]. В частном случае линейной задачи Н. Н. Павловским исследована неустановившееся фильтрация под плотинами [1].

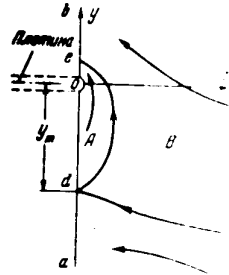
В одном случае фильтрации в обход плотин на канале П. И. Подубариной-Кочевой впервые было рассмотрено неустановившееся движение фильтрационных вод в береговой зоне [4, 7].

Исследование этого движения представляет принципиальный и практический интерес, так как наблюдения за режимом грунтовых вод в районах плотин показывают, что фильтрационное течение и естественный грунтовый поток в течение длительного периода после постройки сооружения изменяется во времени.

Фильтрационный и естественный грунтовый потоки в основании дам, шлюзов и плотин в основании плотин после постройки сооружения устанавливаются в течение длительного периода, однако и здесь наблюдается изменение направления и интенсивности потоков грунтовых вод по сравнению с начальной стадией строительства.

Неустановившийся характер течения грунтовых вод в основании плотин, дам, шлюзов и каналов вызывает также периодические колебания давления в фильтрационных бьефах. Иные следствия переменного режима грунтовых вод в фильтрационных водоподпорных сооружениях (главным образом в береговой зоне).

1. Основное уравнение. Течение, вызываемое линейными плотинами в береговой зоне движение грунтовых вод осуществляется в направлении от верхнего бьефа к нижнему бьефу. Движение грунтовых вод осуществляется в направлении от верхнего бьефа к нижнему бьефу. Движение грунтовых вод осуществляется в направлении от верхнего бьефа к нижнему бьефу.



Фиг. 1

решения. При граничном условии в области это уравнение принимает вид уравнения теплопроводности, в котором на правой стороне стоит квадрат напора $\frac{1}{2}M^2$, т. е.

$$\Delta u = \frac{M^2}{2} \quad (1.1)$$

в координатах x, y в момент времени t .

В области $y > 0$ вблизи плотных распределений энергии (фиг. 1, точка 0) уравнение (1.1) имеет решение постоянной интенсивности M (или M^2), которое является искомым для дальнейшего анализа.

$$u(x, y, t) = M^2 \quad (1.2)$$

В области $y < 0$ уравнение (1.1) решается методом, указанным в [1]. В результате получены следующие безразмерные функции u_1 и u_2 , которые являются также решениями уравнения Лапласа в области $y < 0$ и удовлетворяют граничным условиям:

$$u_1(x, 0) = u_2(x, 0) = 1 \quad (1.3)$$

Если уравнения (1.3) удовлетворяются, то уравнение (1.1) удовлетворяется.

$$u_1 = \frac{1}{\pi} \int_0^y \frac{1}{\sqrt{y^2 - \eta^2}} d\eta, \quad u_2 = \frac{1}{\pi} \int_0^y \frac{1}{\sqrt{y^2 + \eta^2}} d\eta \quad (1.4)$$

Также будут найдены решениями этого уравнения функции u_3 и u_4 , которые удовлетворяют и при подстановке (1.4) в (1.1). В области $y < 0$ уравнение (1.3) удовлетворяется.

$$u_3 = \frac{1}{\pi} \int_0^y \frac{1}{\sqrt{y^2 - \eta^2}} d\eta, \quad u_4 = \frac{1}{\pi} \int_0^y \frac{1}{\sqrt{y^2 + \eta^2}} d\eta \quad (1.5)$$

т. е.

$$u_3 = \frac{1}{\pi} \int_0^y \frac{1}{\sqrt{y^2 - \eta^2}} d\eta, \quad u_4 = \frac{1}{\pi} \int_0^y \frac{1}{\sqrt{y^2 + \eta^2}} d\eta \quad (1.6)$$

Это выражение справедливо для области $y > 0$. Оно является непрерывным по отношению к y и удовлетворяет граничным условиям (1.3). Таким образом, выражение (1.6) является решением уравнения (1.1) в области $y > 0$. Если $t \rightarrow \infty$, то уравнение (1.1) превращается в уравнение Лапласа, решение которого в области $y > 0$ удовлетворяет граничным условиям (1.3) и является непрерывным по отношению к y .

В области $y < 0$ уравнение (1.1) удовлетворяется, если подставить в него выражение (1.6) для функции u .

решения. При граничном условии в области это уравнение принимает вид уравнения теплопроводности, в котором на правой стороне стоит квадрат напора $\frac{1}{2}M^2$ вдоль стороны ox .

Решение рассматриваемой задачи можно найти также посредством разложения вдоль оси y (или x) постоянно действующих линейных давлений с осями, параллельными оси x (или соответственно y).

Обозначая в (1.6)

$$v = \frac{x}{2\sqrt{at}}, \quad \lambda = \frac{y}{2\sqrt{at}}, \quad h = \text{arctg} \frac{y}{x}, \quad (1.7)$$

и вводя в (1.6) подстановку $\xi = \text{arctg}(y/x)$, будем иметь

$$u = \frac{M}{4} B(v, h), \quad B(v, h) = \frac{1}{\pi} \int_0^h \frac{1}{\sqrt{1 - \sin^2 \theta}} d\theta \quad (1.8)$$

Интеграл (1.8) можно представить в виде ряда по степеням v и h с помощью функции $B(v, h)$, выражающей следующим образом:

$$B(v, h) = \frac{1}{\pi} \left[\text{arctg} \frac{h}{v} + \frac{1}{2} \sum_{n=1}^{\infty} \frac{v^{2n}}{2n-1} \sum_{k=1}^{\infty} \frac{1}{2k-1} \frac{h^{2k}}{2k-1} \right] \quad (1.9)$$

или

$$B(v, h) = \frac{1}{\pi} \left[\frac{1}{2} \sum_{n=1}^{\infty} \frac{v^{2n}}{2n-1} \sum_{k=1}^{\infty} \frac{h^{2k}}{2k-1} \right] \quad (1.10)$$

Это выражение для B получается посредством разложения в ряды функции (1.8) в степенной ряд и почленного его интегрирования.

При $y \rightarrow \infty$, $h \rightarrow \pi/2$ из (1.6) будет (10)

$$B(v, \pi/2) = \frac{1}{\pi} \int_0^{\pi/2} \frac{1}{\sqrt{1 - \sin^2 \theta}} d\theta = \frac{1}{\pi} \int_0^{\pi/2} \frac{1}{\sqrt{1 - \sin^2 \theta}} d\theta \quad (1.11)$$

$$= \frac{1}{\pi} \left[1 + \Phi \left(\frac{x}{2\sqrt{at}} \right) \right] \quad (1.12)$$

где Φ — функция Эри. При $t \rightarrow 0$, $v \rightarrow \infty$, $h \rightarrow \pi/2$ из (1.11) получим

$$\lim_{t \rightarrow 0} B(v, \pi/2) = \frac{1}{\pi} \int_0^{\pi/2} \frac{1}{\sqrt{1 - \sin^2 \theta}} d\theta = \frac{1}{\pi} \int_0^{\pi/2} \frac{1}{\sqrt{1 - \sin^2 \theta}} d\theta$$

при $t \rightarrow 0$, $v \rightarrow \infty$, $h \rightarrow \pi/2$ из (1.11) получим

$$\lim_{t \rightarrow 0} B(v, \pi/2) = \frac{1}{\pi} \int_0^{\pi/2} \frac{1}{\sqrt{1 - \sin^2 \theta}} d\theta = \frac{1}{\pi} \int_0^{\pi/2} \frac{1}{\sqrt{1 - \sin^2 \theta}} d\theta$$

При $t \rightarrow \infty$, $v \rightarrow 0$, $h \rightarrow 0$ из (1.11) получим

Используя формулы (1.11) и (1.12), можно показать, что при $t \rightarrow 0$ и $t \rightarrow \infty$ мы рассматриваемые функции u и u_1 и u_2 вблизи плотных распределений энергии

2. Плотина на реке или канале. Рассмотрим принципиальную схему движения грунтовых вод к реке (рис. 2, а). Допустим, что до устройства плотины существует установившийся горизонтальный поток, параллельный оси x и определяемый уравнением (1.1) при $\partial h/\partial t = 0$. Пусть далее, после устройства плотины, при времени $t = 0$ горизонт воды вдоль уреза верхнего бьефа oa мгновенно повышается от высоты над ложем пласта h_1 до высоты h_2 и в дальнейшем поддерживается постоянным. Тогда начальные и граничные условия задачи будут:

$$h(x, 0) = h_2 \quad \text{при } y = 0 \quad (2.1)$$

$$h(x, \infty) = h_1 \quad \text{при } y = 0 \quad (2.2)$$

$$h(x, t) = h_1 \quad \text{при } y = l \quad (2.3)$$

где l — ширина плотины, x — координату длины реки в естественных условиях, y — координату расстояния от реки до плотины, $q_0 < 0$ и k — коэффициент фильтрации.

В соответствии с уравнением (1.1) при заданных условиях находится решение в виде сложения течения, вызванного линейным вихрем, и одномерного потока вдоль оси x . В результате при мгновенном повышении уровня воды вдоль уреза реки oa , т. е.

$$h = \frac{1}{2} h_2 + \frac{1}{2} M E_1(x, \omega) + N [1 - \Phi(\eta)] + \frac{1}{2} h_1^2 \quad (2.4)$$

Определяя постоянные M и N из условий (2.2) и (2.3), получим:

$$h = \sqrt{h_2^2 + \frac{1}{2}(h_2^2 - h_1^2) [1 - \Phi(\eta) - B(x, \omega)]} \quad (2.5)$$

где $\eta = x - 2\sqrt{at}$ и $\omega = y/x$, а функции $B(x, \omega) = B(x, y)$, вычисленные нами по (1.9), находятся из графика фиг. 3.

При пользовании этим графиком следует иметь в виду, что $B(x, -\omega) = -B(x, \omega)$, и потому при $\omega < 0$ и x отрицательной $B > 0$, а в четвертой $B < 0$. При $y = 0$ и $x \rightarrow \infty$ и $t \rightarrow \infty$ получим:

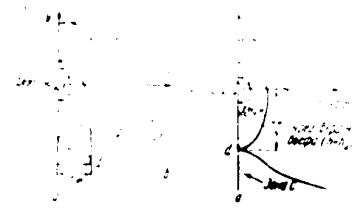
$$h = \sqrt{h_2^2 + \frac{1}{2}(h_2^2 - h_1^2) [1 - \Phi(\eta)]} \quad (2.6)$$

где при $y = 0$ и $x \rightarrow \infty$ и $t \rightarrow \infty$ имеем $\eta \rightarrow -\infty$.

Из (2.5) при $x \rightarrow \infty$ и $t \rightarrow \infty$ и $h \rightarrow h_1$, а при $t = \infty$ имеем

$$h = \sqrt{h_2^2 + \frac{1}{2}(h_2^2 - h_1^2) \left(\frac{\pi}{2} - \theta \right)} \quad (2.7)$$

Размерные значения функции характеризуются весьма интересной кинематической структурой. Имеем, при $q_0 = 0$ после подъема уровня водохранилища в короткий период времени длительностью t_1 на всем протяжении уреза верхнего бьефа oa происходит фильтрация воды в водохранилище в грунтовый поток (фиг. 2, а). При этом на поверхности

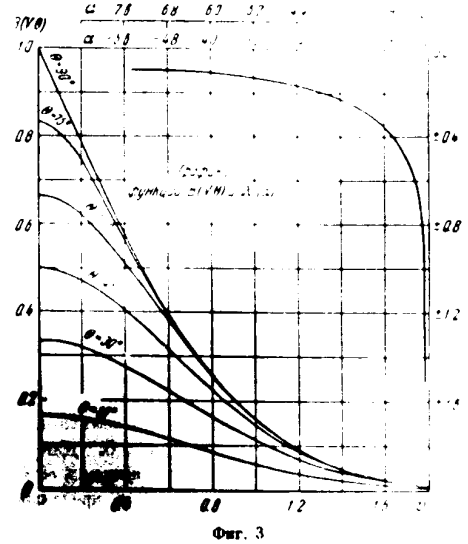


Фиг. 2

поверхности вод образуется фильтрационная депрессия (ложбина), вытнутая вдоль уреза водохранилища (фиг. 2 а, пунктир). Наименьшие точки этой ложбины вначале перемещаются от уреза водохранилища вглубь берега, достигают некоторого максимального удаления от этого уреза и затем снова приближаются к нему.

В этот период времени на оси ложбины в бесконечности существует критическая точка (точка разветвления потока) d , имеющая координаты $y = -\infty$ и $x = x_m$. В этой точке скорость фильтрации равна нулю и глубина потока имеет минимум. К точке d примыкает мгновенная линия тока de , разграничивающая весь поток грунтовых вод на две зоны (фиг. 2 а, зоны A и B).

В последующий период времени, т. е. при $t > t_1$ (фиг. 1, б), на части уреза верхнего бьефа oa , удаленной от плотины, восстанавливается естественное грунтовое питание водохранилища, и депрессия в уровне грунтовых вод исчезает. На части верхнего бьефа do , прилегающей к плотине, по-прежнему происходит фильтрация из водохранилища в грунтовый



Фиг. 3

поток и существует фильтрационная депрессия. В этот период критическая точка d находится на урезе верхнего бьефа. К ней примыкает мгновенная разделяющая линия тока bde , разграничивающая весь поток на три зоны (фиг. 2, б, зоны A , B и C).

В обоих случаях разделяющие линии тока не совпадают с осью фильтрационной депрессии.

При $q_0 > 0$ кинематическая структура потока будет иной (в этом случае точка разветвления d при $t = t_1$ появляется на урезе нижнего бьефа и затем перемещается вдоль этого уреза, удаляясь от плотины).

Первый период времени t_1 определяется из условия $h = h_1 = 0$ при $x = 0$, где h находится из (2.6) при $m = 1$ и будет:

$$t_1 = \frac{k^2(h_2^2 - h_1^2)^2}{4\pi q_0^2 a} \quad (2.8)$$

Фильтрационный расход на единицу длины уреза в этот период времени находится из (2.5) и (1.8)

$$q = -k \frac{\partial h}{\partial x} = q_0 - k \frac{h_2^2 - h_1^2}{4} \frac{\partial B}{\partial x} \quad (2.9)$$

где

$$B_1(v, w) = 1 - \Phi(v) - B(v, w) = \frac{2}{\pi} \int_0^w \exp\left(-\frac{v^2 + \eta^2}{2}\right) d\eta$$

Дифференцируем интеграл (2.10) по x , принимая во внимание (2.11) и интегрируем по y , получим

$$\frac{d}{dx} \left[\int_0^y \dots \right] + \frac{1}{2} x \int_0^{\infty} \frac{\partial \varphi(x, \eta)}{\partial x} d\eta \Big|_{x=0} = \dots$$

где через $\varphi(x, y, t)$ обозначено безразмерное выражение в (2.10), а $\xi = \eta/2\sqrt{at}$. В окончательном виде окончательно получаем

$$F(x) = \dots \quad (2.11)$$

Отметим, что $F(0) = \dots$, $F(\infty) = 0$ и $F(-\infty) = 2$. Для второго периода времени $t > t_0$ ордината критической точки на уроне водохранилища найдется из (2.11) при $q_x = 0$ и будет

$$y_m = 2\lambda_m \sqrt{at} \quad (2.12)$$

где λ_m находится из уравнения

$$F(\lambda_m) = -\frac{4q_0 \sqrt{at}}{k(\lambda_m^2 - k_1^2)} = \alpha \quad (2.13)$$

В (2.12) и (2.13) при $q_0 < 0$ величина $\alpha > 0$ и $\lambda_m, y_m < 0$, а при $q_0 > 0$ величина $\alpha < 0$ и $\lambda_m, y_m > 0$. Для упрощения вычисления λ_m по (2.13) на фиг. 3 приводится график $\lambda_m = f(\alpha)$.

При $t \rightarrow \infty$ из (2.13) получается предельное расстояние критической точки от плотины [19]:

$$y_m = \frac{k(b_1^2 - k_1^2)}{2q_0} \quad (2.14)$$

Фильтрационный расход из верхнего бьефа в направлении обход плотины определяется из (2.11) и будет

$$Q = \int_{y_m}^y q_x dx = \dots \quad (2.15)$$

Входными данными для (2.15) являются

$$\int_0^y \left[1 - \Phi(v) - \frac{1}{2} \int_0^w \dots \right] d\eta = \dots \quad (2.16)$$

$$\lambda_m = \frac{y_m}{2\sqrt{at}}, \quad k_0 = \frac{y_0}{2\sqrt{at}} \quad (2.17)$$

Значения функции $A(\lambda)$ приводятся в таблице

При $-0.001 < \lambda < 0.001$ функция A равна

$$A(\lambda) = 0.282\lambda - 0.205 - 0.159 \ln |\lambda|$$

При $\lambda > 3$ и $\lambda < -3$ следует пользоваться формулами

$$A(\lambda) = \frac{1}{\pi} \lambda^2 e^{-\lambda^2}, \quad A(-\lambda) = -A(\lambda)$$

Значения функции $A(\lambda)$ приводятся в таблице

λ	$A(\lambda)$	A	A/λ	A/λ^2	A/λ^3
∞	0	0.04	0.31	0.07	0.29
3.0	0.00335	0.03	0.30	0.08	0.17
1.0	0.0033	0.02	0.32	0.09	0.15
0.90	0.0050	0.01	0.36	0.10	0.13
0.80	0.0077	0.005	0.64	0.20	0.085
0.70	0.012	0.003	0.72	0.30	0.11
0.60	0.018	0.001	0.90	0.50	0.18
0.50	0.027	0	∞	0.50	0.20
0.40	0.041	-0.001	0.89	0.60	0.2
0.30	0.064	-0.003	0.72	0.70	0.18
0.20	0.104	-0.005	0.64	0.80	0.15
0.10	0.19	-0.01	0.53	0.90	0.13
0.09	0.20	-0.02	0.41	1.0	0.10
0.08	0.22	-0.03	0.34	1.20	0.11
0.07	0.25	-0.04	0.30	1.50	0.13
0.06	0.26	-0.05	0.26	1.80	0.14
0.05	0.29	-0.06	0.23	2.20	0.15

При $t \rightarrow \infty$ вместо (2.16) получим [20]:

$$Q = \frac{k(b_1^2 - k_1^2)}{2\pi} \ln \frac{y_m}{y_0} + q_0(y_m - y_0) \quad (2.18)$$

где y_m находится из (2.14). В (2.14) и (2.18), как и ранее, при $q_0 < 0$ будет $y_m < y_0 < 0$, а при $q_0 > 0$ будет $y_m > y_0 > 0$. Формулы (2.14) и (2.18) для расчета фильтрационного расхода в различных условиях вихревого движения были применены в работе [19]. Там же в частности при проектировании плетеного русла вихревого течения, как и там же было рассмотрено движение течения в вихревых течениях, для более сложных схем сопряжения вихревых течений.

3. Шлизы или плотины при равномерном потоке в бифлонов. Пусть после устройства плотины в бифлоновом течении произойдет наполнение верхнего бьефа $одна$ бифлонов. В этом случае движение потока здесь мгновенно останавливается. Если же в бифлоновом течении $t = t_1$ произойдет наполнение плетеного русла, то движение потока здесь мгновенно возобновится. В этом случае для решения задачи будут

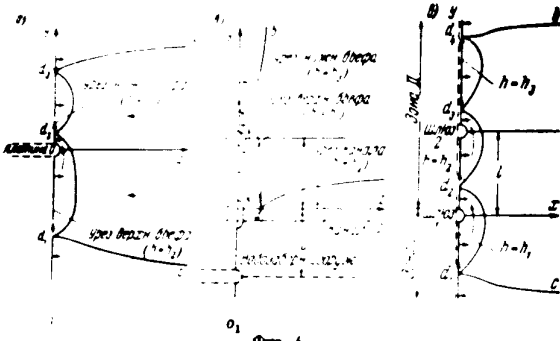
$$A(0, y, t) = k_1 \quad (\text{при } y < 0), \quad A(0, y, t) = 0 \quad (\text{при } y > 0) \quad (2.19)$$

Начальное условие при $t < t_1$ запишем так:

$$h(x, y, 0) = \sqrt{h_0^2 - 2 \frac{q_0}{k} x} \approx h_0$$

где q_0 — удельный бытовой расход потока и k — коэффициент фильтрации грунта.

При $t = t_1$ начальное условие будет иным: оно состоит в том, что при $t = t_1$ выражения $h(x, y, t)$ для $t < t_1$ и для $t > t_1$ должны совпадать друг с другом. Иначе говоря, при $t > t_1$ начальное условие опреде-



Фиг. 4

ляется непрерывностью грунтовых вод, сформировавшейся в процессе неустановившегося движения за предшествующий период времени длительностью t_1 .

При $t > t_1$ решение данной задачи найдено выше и выражается равенством

$$h^2 = h_2^2 + \frac{1}{2} (h_2^2 - h_0^2) B_1, \quad B_1 = [1 - \Phi(v) - N \Phi(v_1)] \operatorname{erfc} \tau_1$$

$$v = \frac{x}{2 \sqrt{at}}, \quad \tau_1 = \frac{y}{2 \sqrt{a(t-t_1)}} \quad (3.3)$$

При $t > t_1$ решение задачи находится по формулам сложения потока, определяемого равенством (3.3), течения, вызванного движением вниз, непрерывно действующим на протяжении всего периода времени $t = t_1$ и одномерного движения, образующегося в процессе повышения уровня воды в нижнем бьефе в момент $t = t_1$ до уровня h_2 .

Выполняя такое сложение, получим

$$h^2 = h_2^2 + \frac{1}{2} (h_2^2 - h_0^2) B_1 + \frac{1}{2} (h_2^2 - h_0^2) [M B(v_1, v) + N \Phi(v_1) + P] \operatorname{erfc} \tau_1 \quad (3.4)$$

$$v_1 = \frac{x}{2 \sqrt{a(t-t_1)}} \quad (3.5)$$

Введём в (3.4) начальные условия, выражающиеся по (3.3) при $t = t_1$, в граничные условия (1). Тогда, принимая во внимание, что $B(\infty, \infty) = 0$ и $B(0, \infty) = 1$, найдём постоянные M, N и P . После подстановки их значений в (3.4) получим

$$h^2 = \sqrt{h_2^2 + \frac{1}{2} (h_2^2 - h_0^2) B_1(v, \omega)} + (h_2^2 - h_0^2) [1 - \Phi(v_1) + B(v_1, \omega)] \operatorname{erfc} \tau_1 \quad (3.6)$$

где B_1 выражается по (3.3).

решения (3.6) распространяется на случай непостоянного повышения верхнего и нижнего бьефов $h_1 = h_1(t), h_2 = h_2(t)$ в плеску вместо (3.6) получим

$$h^2 = \sqrt{h_2^2 + \frac{1}{2} (h_2^2 - h_0^2) [1 - \Phi(v)]} + (h_2^2 - h_1^2) B(v, \omega) \operatorname{erfc} \tau_1 \quad (3.7)$$

При $q_0 = 0$ и $h_2 = h_0$ из (3.7) получается случай, рассмотренный в работах [4,7] иным методом.

Решение (3.6) можно распространить на случай непостоянного повышения верхнего и нижнего бьефов от времени. Для этого воспользуемся представлением, принятым в 1950 г. аппроксимацией колебаний уровня воды на границах плеску ступенчатой линией $h = f(t)^2$. Кроме того, примем за начальное значение уровня воды в верхнем и нижнем бьефах произвольные значения, а именно: в моменты времени t_1, \dots, t_n уровень воды в верхнем бьефе повышается до H_1, \dots, H_n , а на противоположном бьефе соответственно до h_1, \dots, h_n . Тогда, выполнив шаги (3.7), получим

а) первый период ($0 < t < t_1$)

$$h_1^2 = h_2^2 + \frac{1}{2} [(H_1^2 - h_2^2) - 2 \operatorname{erfc} \tau_1 (H_1^2 - h_1^2) B(v_1, \omega)] \operatorname{erfc} \tau_1$$

$$\tau_1 = \frac{y}{2 \sqrt{a(t-t_1)}} \quad (3.8)$$

б) второй период ($t_1 < t < t_2$)

$$h_{11}^2 = h_1^2 + \frac{1}{2} \{ [(H_2^2 + h_2^2) - (H_1^2 + h_1^2)] \operatorname{erfc} \tau_1 + [(H_2^2 - h_2^2) - (H_1^2 - h_1^2)] B(v_1, \omega) \} \operatorname{erfc} \tau_1$$

$$\tau_1 = \frac{y}{2 \sqrt{a(t-t_1)}}$$

в) период номер n ($t_{n-1} < t < t_n$)

$$h_n^2 = (h_{n-1}^2 + \frac{1}{2} \{ [(H_n^2 + h_n^2) - (H_{n-1}^2 + h_{n-1}^2)] \operatorname{erfc} \tau_1 + [(H_n^2 - h_n^2) - (H_{n-1}^2 - h_{n-1}^2)] B(v_{n-1}, \omega) \} \operatorname{erfc} \tau_1$$

$$\tau_1 = \frac{y}{2 \sqrt{a(t-t_{n-1})}}$$

где $\operatorname{erfc}(\tau) = 1 - \Phi(\tau)$, а h_0 находится из (3.2).

Кинематическая структура движения, определяемого уравнением (3.6) в общем случае характеризуется наличием трех критических точек (фиг. 4 а, точки d_1, d_2 и d_3). Вспомогательные критические точки d_4 и d_5 (фиг. 4 б) соответствуют $\tau_1 = 0$ и $\tau_1 = \infty$ соответственно при $y = 0$ и $y = \infty$. Переходные точки d_1 и d_2 соответствуют критическим точкам перехода по шпильке к плетине. Точка d_3 соответствует критической точке, в которой плеска и движется вдоль уровня плеску, а точка d_4 — критической точке, в которой плеска движется в сторону плотины.

Направление течения в плеску и направление движения точек d_1, d_2 и d_3 зависят от знака q_0 .

При $t \rightarrow \infty$ точки d_1 и d_2 сливаются в одну точку d_1 , и уравнение (3.7) переходит в параболу, соответствующую случаю установившегося плеску параллельно плетине.

Если в (3.7) $q_0 > 0$, то существуют следующие

¹ В работе [4] этот способ обобщен на случай непостоянного повышения уровня воды в плеску, а также кусочно-линейной кривой уровня воды в плеску.

4. Плотина, головное водозборное сооружение и магистральный канал. Рассмотрим движение грунтовых вод вблизи плотины O при наличии на расстоянии l от нее водозабора ϵ и магистрального канала δ , нормального к кривой верхнего бьефа (фиг. 4,б). Примем, что в момент времени $t = 0$ начальная повсюду постоянная глубина воды h_0 выше уровня воды в бьефе до h_1 , в канале — до h_2 ($h_2 < h_1$) и в канале δ до h_3 ($h_3 < h_2$). В дальнейшем эти глубины поддерживаются постоянными. Тогда течение грунтовых вод в зоне между плотиной и водозбором ϵ и в зоне между плотиной и каналом δ не имеют друг от друга, и их можно исследовать по отдельности, вводя координату x , где имеет место бег волн, считая от плотины O . Поместим в точку пересечения O осей x и y начало координат, расположенных друг на друга непрерывно. Тогда в первом случае в противоположных направлениях от O будут двигаться волны M_1 и M_2 в точке сопряжения плотины с водозбором ϵ и в точке сопряжения плотины с каналом δ . Условно можно считать, что в первом случае волны M_1 и M_2 движутся относительно M_1 и M_2 .

Тогда с помощью уравнения Лапласа в полярных координатах M_1 и M_2 граничных условий $h = h_1$ и $h = h_2$ в радиусе $r = 0$ и $r = l$ и

$$\begin{aligned} h_1 &= B_1(r, \theta) + \frac{q}{2k} + h_2^2 + B_2(r, \theta) \\ h_2 &= h_1^2 \left[B_1\left(x, \frac{y}{x} + t\right) + B_2\left(x, \frac{y}{x} - t\right) \right] \\ v &= \frac{x}{2Vat} + k = \frac{y}{2Vat} \quad (x, y) \end{aligned} \quad (4.1)$$

Тогда в области течения водохранилища глубина воды в бьефе не изменится, а в канале всего имеет место, то в $t = 0$ и $t = l$. Если течение в канале и водохранилище начинается в момент времени $t = 0$ и $t = l$ соответственно, каналом радиуса h_3 и h_0 . При $h_1 = h_0$ и $l \rightarrow \infty$ из (4.1) получается уравнение для течения воды в первом случае фильтрации в виде $h = h_1 + \frac{q}{2k} + \frac{y^2}{4at}$ (фиг. 4,а), а именно:

$$h^2 = h_1^2 + \frac{q}{k} + \frac{y^2}{4at} \quad (4.2)$$

Этот случай является частным случаем течения в канале, решение которого имеет вид:

Если в канале δ течение начинается в момент времени $t = 0$, то решение, найденное в (4.2), удовлетворяет граничным условиям $h = h_2$ и $h = h_3$ в радиусе $r = 0$ и $r = l$ и

$$h_2^2 = h_1^2 + \frac{q}{k} + \frac{y^2}{4at} + \frac{y^2}{4at} \quad (4.3)$$

$$h^2 = h_1^2 + \frac{q}{k} + \frac{y^2}{4at} + \frac{y^2}{4at} \quad (4.4)$$

Очевидно, что при $y = 0$ $h = h_1$, при $x = 0$ и $y = l$ $h = h_2$, а при $x = 0$ и $y < l$ $h = h_3$.

Если при $t = 0$ глубина грунтового потока выражается по (3.2), то в правой части решения (4.1) нужно добавить слагаемое

$$F(x, y, t) = -2 \frac{q_0}{k} x \Phi(t) \quad (4.5)$$

Функция F характеризует собой некоторое доопределение h в области прямого угла $0 < x < l$ и $0 < y < l$ при граничных условиях $F(0, y, t) = 0$, $F(x, 0, t) = 0$ и начальном условии

$$F(x, y, 0) = -2 \frac{q_0}{k} x \quad (4.6)$$

Кинематическая структура течения, определенная уравнением (4.1), изображена на фиг. 4,б. В общем случае в области течения имеются две точки разветвления (фиг. 4,б — d_1 и d_2). В дальнейшем при сплошном исследовании, в процессе неустановившегося движения точки d_1 и d_2 удаляются от плотины O и ϵ . При $h_1 = h_0$ и $l \rightarrow \infty$ сохраняется лишь одна критическая точка d_1 .

5. Канал с несколькими шлюзами. Исследуем движение грунтовых вод в районе призматического канала при наличии на нем нескольких шлюзов, находящихся на расстояниях l_1, \dots, l_n друг от друга и имеющих разные напоры.

Рассматриваемая задача решается посредством размещения непрерывно действующих дивергентных вихрей в местах расположения шлюзов и сложения вызванных ими течений с некоторым дополнительным двумерным потоком, определяемым уравнением типа (4.5). Интенсивность и направление этих вихрей, вообще говоря, различны; если глубина воды в разделенных шлюзами соседних бьефах всюду возрастает вдоль канала, то направление этих вихрей будет одинаковым.

Примем, что естественная глубина грунтового потока в районе канала определяется уравнением

$$h_0 = \sqrt{h_0^2 + 2 \frac{q_0}{k} x + 2 \frac{q_1}{k} y} \quad (q_0, q_1 > 0) \quad (4.7)$$

где h_0 — базовая глубина потока в месте расположения шлюзов и плотины O в канале, q_0 и q_1 — удельные расходы грунтового потока в шлюзах ϵ и δ соответственно.

Пусть также на канале при $t = 0$ имеются n шлюзов, находящихся на расстояниях l_1, \dots, l_n друг от друга и имеющих на их бьефах n разную глубину h_1, \dots, h_n . Тогда в первом бьефе h_1 в первом шлюфе h_1 во втором бьефе h_2 и т.д. в n -м бьефе h_n .

При таких условиях решение задачи имеет вид

$$h^2 = h_0^2 + \frac{q_0}{k} x + \frac{q_1}{k} y + \sum_{i=1}^n \left[h_i^2 - h_0^2 + \frac{q_i}{k} (x - l_i) \right] \Phi_i(t) \quad (4.8)$$

т.е.

$$v = \frac{x}{2Vat} + \frac{y}{2Vat} + \sum_{i=1}^n \frac{y}{2Vat} \quad (4.9)$$

Имея в виду, что $B(0, \pm\infty) = \pm i$ и $B(0, 0) = 0$, из (5.2) получается: глубина $h = A_1$ (для $y < 0$) и $h = A_2$ (для $y > 0$), а при $t = 0$ глубина h зависит от y по формуле (5.2), принимая во внимание, что $B(0, 0) = 0$.

$$h^2 = 2 \frac{q_0}{k} x + \frac{1}{2} (h_1^2 + h_2^2) - \frac{(h_1^2 - h_2^2)}{\pi} \operatorname{arctg} \frac{y}{x} - \frac{(h_1^2 - h_2^2)}{\pi} \operatorname{arctg} \frac{y-t}{x} \quad (5.4)$$

При $x = 0$ уравнение (5.4) удовлетворяет тем же граничным условиям, что и (5.2).

В рассмотренном течении в общем случае существуют четыре критические точки $d_{1,2}$, расположенные на уровнях быфов (фиг. 4, е).

При $t \rightarrow \infty$ точки d_1 и d_2 сливаются одна с другой, и поэтому в потоке сохраняются только две критические точки (d_1 и d_2).

Решение двух-мерных задач при помощи рекуррентных формул типа (3.10) можно распространить на случаи одновременных или разновременных колебаний уровня воды в быфах по закону ступенчатой линии. Во всех рассмотренных выше и других подобных задачах при $t \rightarrow \infty$ число критических точек равно $n - 2$, где n — число границ разного напора во внешнем контуре течения.

Во всех рассмотренных задачах можно более подробно исследовать кинематическую структуру потока. Если известна функция $\psi = 1/2 k h^2$, то уравнение мгновенных линий тока будет

$$\frac{dy}{dx} = \frac{q_y}{q_x} \quad (\text{при } t = \text{const}) \quad (5.5)$$

где

$$q_y = -k \frac{\partial \psi}{\partial y}, \quad q_x = -k \frac{\partial \psi}{\partial x} \quad (5.6)$$

Уравнение траекторий движения будет:

$$\frac{dx}{q_x(x, y, t(x, y))} = \frac{dy}{q_y(x, y, t(x, y))} \quad (5.7)$$

где время t выражено через x, y из уравнения мгновенных линий тока.

Если в районах плотин, шлюзов и киндеров заходят напорные подземные воды (а не грунтовые воды со свободной поверхностью), то движение их будет описываться уравнением упругого режима. В этом уравнении за невязку функции можно принять величину mH , где H — напор воды в свободной кровле пласта, а m — мощность (толщина) пласта. Если в виду, что уравнения движения напорных и безнапорных вод принципиально одинаковы, получим следующую формулу для траекторий:

$$\frac{dx}{\sqrt{2Hm}} = \frac{dy}{\sqrt{2Hm}} \quad (5.8)$$

Подставляя в уравнение (5.8) вместо глубины потока h, A_1, A_2 и т. д. их выражения через напора H, H_1, H_2 и т. д. по (5.8) получим аналогичные формулы для упругого режима фильтрации. При этом и меняется только значение коэффициента проницаемости k .

... могут использоваться не только при ... в берегах реки ... гидросоору ... но и при исследовании фильтрации в основи ... (плоская задача).

... (4.5) и в (5.3) могут быть использованы для расчета ... грунтовых вод между дренами, пересекающимися под прямым углом при естественном уровне грунтовых вод, определенном уравнением (5.1).

ЛИТЕРАТУРА

1. Павловский Н. Н. Теория движения грунтовых вод. М.: ГИИЗ, 1922.
2. Аравин В. И. и Нумеров С. П. Теория фильтрации в пористой среде в деформируемой пористой среде. 1953.
3. Веригин Н. Н. О неустойчивом движении грунтовых вод вблизи водохранилища. ДАН, т. 66, вып. 6, 1949.
4. Веригин Н. Н. Фильтрация в обход плотин и фактически в противофильтрационных завесах. Гидротехническое строительство, № 4, 1947.
5. Веригин Н. Н. Движение грунтовых вод вблизи водохранилища. Гидротехническое строительство, № 4, 1952. Режим грунтовых вод при колебании и сбросе водохранилища. Гидротехническое строительство, № 11, 1952.
6. Полубаринова-Кочина П. Я. О неустойчивом движении грунтовых вод при фильтрации из водохранилища. ПММ, т. 13, вып. 2, 1949.
7. Полубаринова-Кочина П. Я. Теория движения грунтовых вод. ГИИЗ, 1952.
8. Полубаринова-Кочина П. Я. Некоторые плоские задачи теории фильтрации газа в угольном пласте. ПММ, т. 18, вып. 1, 1954.
9. Недрыга В. П. Расчет фильтрации в обход гидротехнических сооружений. Гидротехническое строительство, № 5, 1947.
10. Веригин Н. Н. и Шестаков В. М. Методы расчета движения грунтовых вод в двухслойной среде. Изд. ВОДГЕО, 1954.
11. Рыжик И. М. и Градштейн И. С. Таблицы интегралов, рядов, сумм и произведений. ГИИЗ, 1951.
12. Вочевер Ф. М. Гидродинамическая оценка береговой фильтрации в обход плотин. Гидротехническое строительство, № 6, 1954.

О ВЫБОРЕ ВЕЛИЧИНЫ РАСЧЕТНОЙ СКОРОСТИ ВОЗДУХА В ОСЕВЫХ КОМПРЕССОРАХ ТРАНСПОРТНЫХ И ГАЗОТУРБИННЫХ УСТАНОВОК

Б. М. ЛИНТЕРОВ

(Ленинград)

Сделана попытка количественно оценить влияние величины расчетной скорости течения воздуха в компрессоре на его адиабатический к. п. д., габариты проточной части, при заданном числе оборотов ротора.

Так как мощность, расходуемая на сжатие воздуха в газотурбинной установке при температурах газа, не превышающих 1000°, примерно в 2—3 раза больше полезной мощности, то к. п. д. компрессора оказывает большое влияние на общий к. п. д. цикла, а вес его составляет весьма заметную долю веса всей установки. К. п. д. осевого компрессора, его габариты и вес существенно образом зависят от величины абсолютной скорости потока воздуха в проточной части.

Увеличение расчетной скорости воздушного потока C при постоянном коэффициенте расхода воздуха φ дает возможность увеличить напор ступени за счет увеличения окружной скорости и уменьшить габариты и вес компрессора при заданной степени повышения давления ϵ и весовом расходе воздуха G . Однако следует иметь в виду, что увеличение расчетной скорости течения воздуха приводит к увеличению относительных величин потерь во входном и выходном устройствах, а следовательно, и снижению адиабатического к. п. д. η_a всего компрессора. Если, кроме того, увеличению скорости соответствует такое увеличение числа M на входе в лопаточный вентиль, при котором значение его будет превышать критическое число $M_{кр}$, то адиабатический к. п. д. компрессора будет уменьшаться также и вследствие уменьшения к. п. д. отдельной ступени.

При проектировании стационарных установок вопрос о весе и габаритах отдельных машин является второстепенным, главным для этих установок является вопрос экономичности. Поэтому величина скорости воздуха в осевом компрессоре стационарной установки выбирается обычно достаточно малой, что приводит к малому и выходным устройствам установок весьма значительным потерям к. п. д. на входе в лопаточный вентиль и критическому.

¹ Под входным устройством понимается совокупность входного патрубка и вентильно направляющего аппарата (расположенного перед рабочим колесом первой ступени) и выходным устройством — совокупность спрямляющего аппарата (расположенного на направляющем вентиле последней ступени), выходного диффузора и лопаточного патрубка.

... расчетной скорости течения воздуха в осевых компрессорах транспортных и газотурбинных установок приобретает важное значение.

Задача сводится к получению зависимостей, позволяющих оценить влияние величины скорости воздушного потока в компрессоре на его адиабатический к. п. д., габариты, число оборотов и на некоторые характеристики прочности.

Из рассмотрения процесса изменения состояния воздуха в компрессоре (фиг. 1) можно установить, что адиабатический к. п. д. компрессора выражается функцией

$$\eta_p = f(\eta_{вх}, \eta_{ст}, \eta_{вых}, C_1, C_2, C_3, \epsilon, T_0) \quad (1)$$

где $\eta_{вх}$, $\eta_{ст}$, $\eta_{вых}$ — к. п. д. соответственно входного устройства, ступени компрессора и выходного устройства; C_1, C_2, C_3 — абсолютная скорость потока соответственно перед первой ступенью, за последней ступенью и на выходе из компрессора; $\epsilon = p_2/p_0$ — степень повышения давления в компрессоре; T_0 — температура воздуха перед приемным патрубком компрессора. Функция (1) имеет более подробный вид

$$\eta_p = f(\eta_{вх}, \eta_{ст}, \eta_{вых}, M_{вх}, M_{ст}, M_{вых}, \alpha, \beta) \quad (2)$$

где

$$M_{вх} = \frac{C_1}{\sqrt{gkRT_0}}, \quad M_{ст} = \frac{C_2}{\sqrt{gkRT_0}}, \quad M_{вых} = \frac{C_3}{\sqrt{gkRT_0}}, \quad \alpha = \frac{C_2}{C_1}, \quad \beta = \frac{C_3}{C_1} \quad (3)$$

Нижко, при нахождении вида зависимости (2), приняты следующие допущения: а) число ступеней бесконечно большое; б) входная скорость воздуха C_0 равна нулю, а скорость на выходе из выходного устройства компрессора C_3 полностью теряется; в) к. п. д. всех ступеней одинаков.

Допущение (а) обосновывается сравнением адиабатических к. п. д. для процесса сжатия с бесконечно большим и конечным числом ступеней. Расчеты, проведенные по формулам (9.9) и (9.10) книги И. П. Кириллова [1], а также по формулам (3.3), (3.4), (3.5) отчета [2], показывают, что при степени повышения давления в компрессоре $\epsilon = 2, 3, 4, 5, 6, 7, 8, 9, 10, 15$ расхождение между этими к. п. д. не превышает 0,7%.

Допущение (б) практически не вносит погрешности в расчеты, ввиду малости работы сжатия от входной C_1 до выходной C_3 по сравнению с затраченной в ступенях работой.

¹ Следует также иметь в виду, что, меняя величину расчетной скорости воздуха, можно давать не только на к. п. д., габариты и число оборотов, но и на ряд характеристик прочности (например, на критическое число $M_{кр}$).

² В книге [1] формулы выведены для случая одинаковых потерь во входном и выходном устройствах; для случая одинаковых потерь во входном и выходном устройствах при различных выходных скоростях C_3 и малых степенях повышения давления ϵ можно использовать коэффициент использования выходной кинетической энергии.

Для оценки погрешности, внесенной допущением о сжатии в ступенях несколько подробно рассмотрим процесс сжатия в ступенях для случая

где $\Delta T_{1,0} = \frac{\Delta T_{1,1}}{\eta_{ст}}$, $\Delta T_{0,0} = \frac{\Delta T_{0,1}}{\eta_{ст}}$

$\Delta T_{1,1} = \Delta T_{ст} \cdot \eta_{ст}$, $\Delta T_{0,1} = \frac{\Delta T_{0,0}}{\eta_{ст}}$

а адиабатический к.п.д. ступени равен

$$\eta_{ст} = \frac{AC}{AD} = \frac{T}{\Delta T} \left[\left(1 + \frac{\Delta p}{p}\right)^{\frac{k-1}{k}} - 1 \right] \quad (4)$$

При достаточно большом числе ступеней $\Delta T_{ст} \rightarrow 0$ и $\Delta p \rightarrow 0$. Представив функ-

цию $\left(1 + \frac{\Delta p}{p}\right)^{\frac{k-1}{k}}$ в виде степенного ряда по Δp и проведя при $\Delta T \rightarrow 0$ и $\Delta p \rightarrow 0$ предел

$$\lim_{\Delta T \rightarrow 0, \Delta p \rightarrow 0} \frac{\eta_{ст}}{\Delta T} = \frac{1}{T} \left(1 + \frac{\Delta p}{p}\right)^{\frac{k-1}{k}} = \eta_{ст} \frac{dT}{T} \quad (5)$$

Уравнение (5) представляет собой дифференциальное уравнение процесса сжатия в ступенях компрессора.

В общем случае к.п.д. ступени меняется вдоль проточной части и может быть выражено в виде функции $\eta_{ст} = f(T)$. Определение

уравнения процесса I-2 сжатия в ступенях компрессора производится путем интегрирования дифференциального уравнения (5) при известной зависимости $\eta_{ст} = f(T)$. Рассмотрим некоторые частные случаи.

(I). В случае постоянного к.п.д. ступени

$$\eta_{ст} = f(T) = \text{const}$$

уравнение процесса сжатия будет иметь следующий вид

$$\frac{T_2}{T_1} = \left(\frac{p_2}{p_1}\right)^{\frac{k-1}{k}} \eta_{ст}^{-\frac{k-1}{k}} \quad (6)$$

а адиабатический к.п.д. процесса I-2 равен

$$\eta_{ад} = \frac{T_2 - T_1}{T_1 \left(\left(\frac{p_2}{p_1}\right)^{\frac{k-1}{k}} \eta_{ст}^{-\frac{k-1}{k}} - 1 \right)} \quad (7)$$

(II). В случае постоянного к.п.д. ступени с повышенной температурой

$$\eta_{ст} = f(T) = \eta_{ст0} + a(T - T_0)$$

(здесь $\eta_{ст0}$ — к.п.д. первой ступени, T_0 — температура перед первой

¹ Выше формулы (4), (5) и (7) записаны на языке В. С. Стечкина [8], где рассмотрен процесс сжатия в ступенях компрессора при $\eta_{ст} = \text{const}$.

... коэффициент) уравнение процесса сжатия в ступенях будет иметь следующий вид:

$$\left(\frac{p_2}{p_1}\right)^{\frac{k-1}{k}} = \exp[a(T_2 - T_1)] \left(\frac{T_2}{T_1}\right)^{\eta_{ст0} + aT_1} \quad (8)$$

а адиабатический к.п.д. равен

$$\eta_{ад} = \frac{1}{T_2/T_1 - 1} \left(\exp[a(T_2 - T_1)] \left(\frac{T_2}{T_1}\right)^{\eta_{ст0} + aT_1} - 1 \right) \quad (9)$$

Сравним адиабатический к.п.д. двух рассмотренных процессов на нескольких примерах, принимая к.п.д. ступени в процессе I-2 $\eta_{ст} = f(T) = \eta_{ст0} + a(T - T_0)$ равным значению к.п.д. средней ступени компрессора. Пусть $\eta_{ст0} = f(T) = \eta_{ст1} - a(T - T_1)$, т. е. полагая

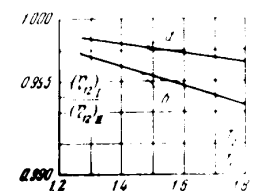
$$\eta_{ст0} = \frac{1}{2} [\eta_{ст1} + \eta_{ст2}]$$

Результаты такого сравнения представлены на фиг. 2 в виде зависимости

$$\frac{(\eta_{ад})_I}{(\eta_{ад})_{II}} = f\left(\frac{T_2}{T_1}\right)$$

где $(\eta_{ад})_I$ и $(\eta_{ад})_{II}$ соответственно адиабатическое к.п.д. I и II процессов, $T_1 = 300$ К.

- а) $\eta_{ст1} = 0,9$, $\eta_{ст2} = 0,86$, $\eta_{ст0} = 0,88$
- б) $\eta_{ст1} = 0,88$, $\eta_{ст2} = 0,80$, $\eta_{ст0} = 0,84$



Фиг. 2

Из сравнения можно сделать вывод, что отклонение истинного значения изменения к.п.д. ступеней вдоль проточной части от принятого $\eta_{ст}(T) = \text{const}$ в пределах изменения величин, которые могут иметь место на расчетном режиме работы компрессора, пренебрежимо мало влияет на адиабатический к.п.д. процесса сжатия в ступенях компрессора. Поэтому использование допущения (а) не может внести заметной погрешности в результат исследования.

Определить зависимость (2) в явном виде невозможно. В явном виде, а именно, в виде

$$\eta_{ст} = f(\eta_{ст}, \eta_{ст}, \eta_{ст}, \alpha, M_1^*, \alpha, \beta) \quad (10)$$

получить искомую зависимость нетрудно. Для этого нужно логарифмировать уравнение (6) и подставить отношения T_2/T_1 и p_2/p_1 , выраженные на основании рассмотрения отдельных процессов изменения состояния воздуха (0-1, 1-2, 2-3) через величины $\eta_{ст}, \eta_{ст}, \eta_{ст}, \alpha, M_1^*, \alpha$ и β .

Температура воздуха за входным устройством (перед первой ступенью)

$$T_1 = T_0 + \frac{\Delta T_0}{2} \left[1 + \frac{k-1}{2} (M_1^*)^2 \right] = T_0(1 + d) \quad (11)$$

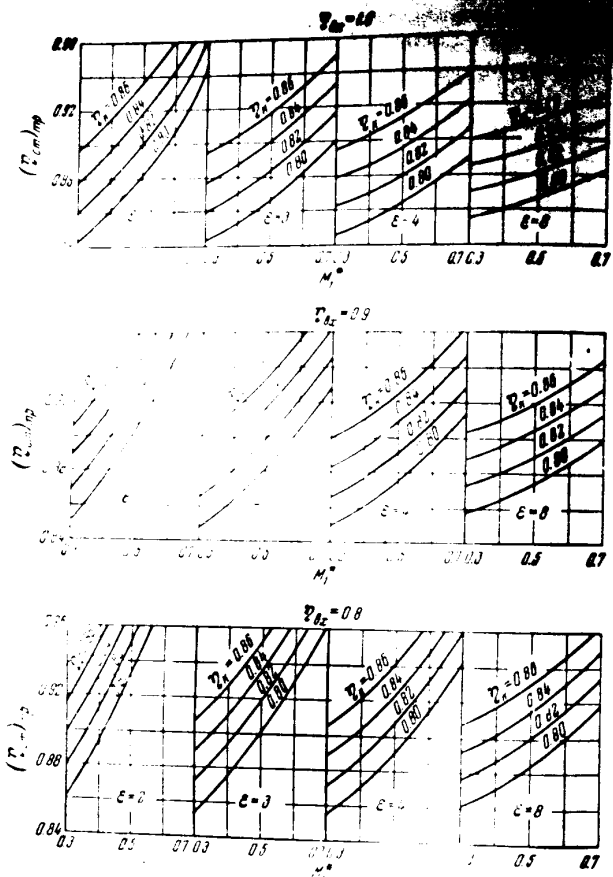
где

$$d = \frac{k-1}{2} M_1^* \frac{V_0}{c_p T_0} \quad (12)$$

Температура воздуха за ступенями сжатия

$$T_2 = T_1 + \Delta T_1 = T_1 \left(\frac{p_2}{p_1} \right)^{\frac{k-1}{k}} \eta_{ст}^{-\frac{k-1}{k}} \quad (13)$$

Здесь ΔT_1 — температурный эквивалент затраченной на сжатие работы



Фиг. 3. Зависимость требуемого коэффициента сжатия от скорости на входе в компрессор и температуры на входе при заданном значении адиабатического коэффициента полезного действия и повышения температуры воздуха.

работы, на единицу объема сжатого воздуха (фиг. 4):

$$W_{уд} = \frac{P_2 - P_1}{\rho_1} \left(1 + \frac{k-1}{2} M_1^2 \right) \quad (14)$$

Давление в сжатом воздухе равно:

$$P_2 = P_1 \left(1 + \frac{k-1}{2} M_1^2 \right) \quad (15)$$

Давление воздуха в сжатом состоянии (фиг. 4):

$$P_2 = P_1 \left(\frac{T_2}{T_1} \right)^{\frac{k}{k-1}} \quad (16)$$

$$T_2 = T_1 + \frac{A(C_2^2 - C_1^2)}{c_p} \eta_{max}, \quad P_2 = P_1^{\frac{k}{k-1}}$$

$$P_2 = P_1 \left(1 + \frac{1}{2} M_1^2 \right)^{\frac{k}{k-1}} \quad \left(\theta = \frac{k}{k-1} \right) \quad (17)$$

$$f_1 = d(\alpha^2 - \beta^2) \eta_{max}, \quad f_2 = 1 + \frac{\epsilon^2 - 1}{\eta_{in}} - \alpha^2 d \quad (18)$$

Из уравнений (8), (11), (13), (14), (15), (17) и (18) имеем

$$\eta_{ст} = \frac{\frac{k-1}{k} \lg \epsilon - \lg \left[\left(1 + \frac{1}{2} M_1^2 \right)^{\frac{k}{k-1}} \left(1 - \frac{d}{\eta_{max}} \right) \right]}{\lg \frac{f_2}{f_1 - d}} \quad (19)$$

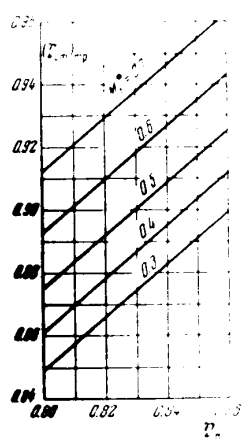
Уравнение (19) может применяться для выбора величины скорости потока на входе в первую ступень, для оценки адиабатического к.п.д. компрессора, при исследовании влияния различных параметров ($\eta_{ст}$, $\eta_{вх}$, $\eta_{вых}$ и т.д.) на адиабатический к.п.д. компрессора.

Зависимость (19) представлена на фиг. 3. Следует указать, что в пределах практического изменения величин, входящих в уравнение (19), зависимость $\eta_{ст} = f(\eta_{in})$ (при постоянстве остальных величин) является линейной (фиг. 4). Это положение позволяет при пользовании графиками на фиг. 3 производить линейную интерполяцию по η_{in} .

Перейдем ко второй части задачи — определению влияния величины расчетной скорости потока воздуха в осевом компрессоре на его габариты, число оборотов и на некоторые характеристики прочности.

Рассмотрим два варианта проточной части компрессора, обеспечивающих расчетную степень повышения давления ϵ и расчетный весовой расход воздуха G при неравных значениях расчетной скорости воздуха C . Параметры воздуха на входе и статические изгибные напряжения в торцевых сечениях соответствующих лопаток принимаем и при этом одинаковыми для обоих вариантов. Кроме того, предполагаем, что в указанных вариантах проточной части имеют место геометрическое подобие поперечных размеров (магнитуд m), подобие кинематическое по длине размеров и размер профилей лопаток, а также кинематическое подобие потоков.

¹ В статье рассматриваются компрессоры, у которых в лопатках не достигаются допустимых статических напряжений по длине лопатки и сечению лопатки. Проведение аналогичного исследования для компрессоров, у которых величина хорды определяется, вообще говоря, по условиям сечения хорды Рейнольдса, не представляет трудности.



Фиг. 4. Зависимость требуемого к.п.д. ступени $\eta_{ст}$ от адиабатического к.п.д. компрессора $\eta_{ад}$ и числа M_1 при $\epsilon = 2$, $\eta_{вх} = 0.9$, $\eta_{вых} = 0.7$, $\eta_{ст} = 0.8$, $\beta = 0.05$.

Будем обозначать величины, относительные к проточной части, штрихом (величины без штрихов относятся к варианту). Из условия $\tau' = \tau$, $p' = p_0$ и $T_0' = T_0$ получаем

$$H_{00}' = H_{00} \quad (20)$$

Из условия геометрического подобия

$$\frac{D}{D'} = \frac{l}{l'} \quad \tau' = \tau, \quad k_W' = k_W \quad (21)$$

$$\frac{I_x}{I_x'} = \frac{l^3}{l'^3} \quad \frac{I_y}{I_y'} = \left(\frac{b}{b'}\right)^4, \quad B' = B \quad (22)$$

Из условия кинематического подобия

$$\frac{u}{u'} = \frac{l}{l'} \quad \psi' = \psi \quad (23)$$

Из условия $C' = C$, а также условия кинематического и геометрического подобия

$$\frac{F}{F'} = \frac{C}{C'} \quad (24)$$

В формулах (20—24) приняты следующие обозначения:

- H_{00} — адиабатический напор компрессора;
- D — диаметр облапатывания;
- l — высота лопатки; b — хорда лопатки;
- τ — относительный шаг облапатывания на среднем диаметре;
- k_W — относительный момент сопротивления корневого сечения;
- I_x, I_y — площадь и момент инерции поперечного сечения лопатки;
- B — коэффициент, учитывающий влияние центробежных сил на частоту колебаний лопатки;
- u — окружная скорость вращения рабочих лопаток;
- ψ — степень реакции ступени;
- F — площадь поперечного сечения проточной части;
- ϕ — коэффициент теоретического напора ступени;

$$\tau = \frac{l}{b}, \quad k_W = \frac{W_c}{b^2}, \quad \phi = \frac{\Delta H_{теор}}{u^2 - 2c} \quad (25)$$

Первое равенство (21) и равенство (24) позволяют установить следующую зависимость поперечных размеров проточной части от величины расчетной скорости потока:

$$\frac{D}{D'} = \frac{l}{l'} \sqrt{\frac{C}{C'}} \quad (26)$$

Отношение осевых размеров проточных частей

$$\frac{l}{l'} = \frac{C}{C'} \quad (27)$$

где z — число ступеней, относительное к тому же равно

$$\frac{H_{00}}{H_{00}'} = \frac{z}{z'} \quad (28)$$

Из равенств (21) и последнего (23) и выражения (27) получим

$$\frac{l}{l'} = \left(\frac{C}{C'}\right)^{\frac{1}{2}} \frac{u}{u'} \approx \left(\frac{C}{C'}\right)^{\frac{1}{2}} \quad (29)$$

См. формулы (13) и (15) в книге А. В. Лешня [5].

... может быть определена из формулы

$$C_{max} = \frac{Pl}{2k_W b^2} \quad (29)$$

где Δu_c — изменение окружной составляющей скорости в рабочем колесе компрессора; m — число рабочих лопаток в рассматриваемом колесе; $\Delta p_{ст}$ — изменение статического давления в рабочем колесе; ρ — плотность воздуха перед рассматриваемой ступенью.

$$P = \sqrt{F_c^2 + F_s^2} = \left[\left(\frac{G \Delta u_c}{g \cdot m} \right)^2 + \left(\frac{F \Delta p_{ст}}{m} \right)^2 \right]^{1/2} \cdot b \cdot l \cdot \frac{z}{z'} \sqrt{\frac{C}{C'}} \quad (30)$$

Из выражений (29) и (30) величина хорды рабочей лопатки

$$b = ul \sqrt{\frac{z}{4gk_W \rho m} \sqrt{\frac{C}{C'}}} \quad (31)$$

С учетом равенств (21), (23) и условия $\tau_{нар}' = \tau_{нар}$, $\tau' = \tau$, из выражений (25) и (31) получим

$$\frac{b'}{b} = \frac{C'}{C} \sqrt{\frac{C}{C'}} = \sqrt{\frac{C'}{C}} \quad (32)$$

Совместное решение уравнений (26), (28) и (32) позволяет определить зависимость осевых размеров проточной части от величины расчетной скорости воздуха:

$$\frac{l'}{l} = \frac{v_{нар}(C')^{\frac{1}{2}} (C')^{\frac{1}{2}}}{v_{нар} (C)^{\frac{1}{2}} (C)^{\frac{1}{2}}} \approx \left(\frac{C'}{C}\right)^{\frac{3}{2}} \quad (33)$$

Отношение чисел оборотов определяется следующим образом. Очевидно, что

$$\frac{n'}{n} = \frac{u'}{u} \frac{D}{D'} \quad (34)$$

С учетом равенств (23) и (25) получим

$$\frac{n'}{n} = \left(\frac{C'}{C}\right)^{\frac{3}{2}} \quad (35)$$

Из рассмотрения формул для критического числа оборотов ротора $n_{кр}$ (см., например, формулу 16а в книге М. П. Ишюнского) следует, что

$$\frac{n_{кр}'}{n_{кр}} \approx \sqrt{\frac{I_{кр}'}{I_{кр}}} \quad (36)$$

где I — экваториальный момент инерции ротора (ротора компрессора).

Так как

$$\frac{I'}{I} = \frac{D'^4}{D^4} \cdot \frac{z'}{z} \approx \frac{D'^4}{D^4} \cdot \frac{z'}{z} \quad (37)$$

то из (36), (25) и (33) получим

$$\frac{n_{кр}'}{n_{кр}} \approx \left(\frac{C'}{C}\right)^{\frac{3}{2}} \quad (38)$$

Отношение статических частот собственных колебаний лопатки

$$\frac{f_c'}{f_c} = \left(\frac{l'}{l}\right)^2 = \left(\frac{C'}{C}\right)^3 \quad (39)$$

ОТНОШЕНИЯ ДИНАМИЧЕСКИХ ЧИСЕЛ

$$\frac{l'_g}{l_g} = \sqrt{\frac{U_0^2 + 2U_0^2}{l_0^2 + 2U_0^2}}$$

Из уравнений (39), (38), (22), (25) и (32)

$$\frac{l'_g}{l_g} = \left(\frac{C'}{C}\right)^{\frac{2}{3}} = \frac{n'}{n}$$

Период гармоник возмущающей силы, соответствующий резонансным колебаниям

$$k = \frac{l_g}{n} \quad (41)$$

Из формулы (41) следует, что

$$k = \frac{l_g}{n} \quad (42)$$

Полученные соотношения (37), (40) и (42) позволяют формулировать следующие требования к проектированию проточной части компрессора: 1) величина расчетной скорости воздуха при заданной частоте вращения лопаток, геометрического подобия потоков, геометрического подобия проточной части (масштаб m_2), а статические и динамические коэффициенты соответствующих лопаток принимаются одинаковыми, то приближенно

2) всепериметры проточной части обратно пропорциональны, а углы проточки лопатки прямо пропорциональны квадрату и величина расчетной скорости воздуха;

3) величина проточности проточной части осевого компрессора обратно пропорциональна, а число оборотов его прямо пропорционально полуторной степени расчетной скорости воздуха;

4) приближенное число оборотов ротора n , пропорционально расчетной скорости потока в степени $\frac{1}{2}$, а отношение n_1/n пропорционально скорости воздуха;

5) динамические частоты лопаток пропорциональны изменению числа оборотов компрессора, а порядок гармоник возмущающей силы, соответствующий резонансным колебаниям, не меняется.

Полученный вывод в сочетании с уравнением (17), определяющим зависимость адиабатического к.п.д. компрессора от величины расчетной скорости воздуха и других параметров, позволяет правильно подойти к выбору величины расчетной скорости воздушного потока в осевых компрессорах транспортных авиационных двигателей.

Получено 3 I 1955

1. Кириллов Н. Д. ...
2. Dr.-Ing. ...
3. Степанов ...
4. Яковлев ...
5. Левин ...

ВИХРЕВОЙ ЭНЕРГОРАЗДЕЛИТЕЛЬ ПОТОКА

М. Г. ДУБИНСКИЙ
(Москва)

В работе [1] было показано, что при движении закрученного потока в цилиндрической трубе без учета трения газа о стенки профиль его скорости по радиусу практически вымещается так, что:

- 1) газ стремится вращаться по закону твердого тела, т.е. с одинаковой угловой скоростью, когда действие вязкости не проявляется;
- 2) температура заторможенного потока газа при этом в проточной мере увеличивается к центру трубы.

Если принять во внимание трение газа о стенки, то за достаточно большое промежуток времени поток станет чисто осевым и с постоянной энергией по радиусу. Поэтому действительное распределение параметров газа при его движении в трубе будет отличаться от описанной выше картины потока без учета трения газа о стенки. Но принципиально можно в некотором сечении трубы отвести центральную часть потока, обладающую меньшей энергией, и тем самым получить два потока с разной энергией.

Этой теме в последнее время уделялось большое внимание (некоторые работы упомянуты в статье Г. Л. Гродовского и Ю. Е. Кузнецова [2]).

Следует вспомнить, что еще в 70-х гг. прошлого столетия Максвелл, исходя из установленного им закона распределения молекул в газе, высказал идею о возможности получения потоков горячего и холодного газа из одного источника.

Одним из практических способов, позволяющих получать холодный и горячий газ из одного источника, является создание вихревого потока газа. Разделение энергии потока при этом непосредственно основано на силах вязкости газа и вторичных термодинамике.

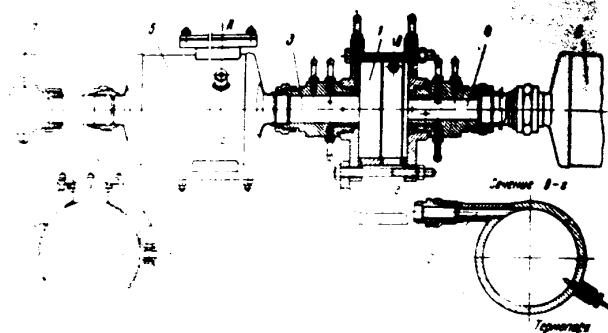
Настоящая работа и посвящена теоретическому и экспериментальному исследованию вихревого энергоразделителя.

1. Описание установки и схемы замеров. Представленный на фиг. 1 общий вид установки вихревого энергоразделителя состоит из следующих основных элементов: цилиндрической камеры закрутки 1 диаметром 54 мм, входного цилиндрического сопла 2 диаметром 12 мм, тангенциально расположенного по отношению к камере закрутки двух трубок 3 и 4 для отвода горячего и холодного воздуха в разных направлениях, двух баков 5 и 6 горячего и холодного воздуха, на выходе из которых установлены дроссельные заслонки.

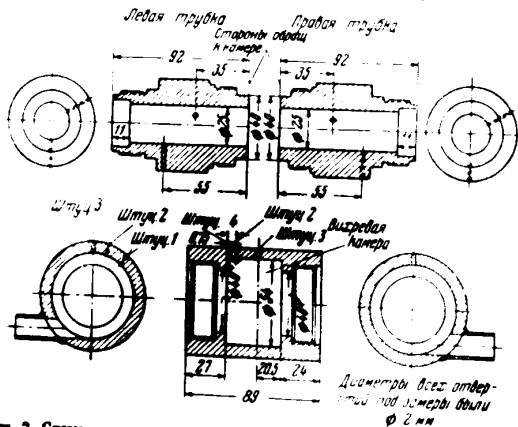
Сжатый воздух от 2 до 5 поступает тангенциально в сопло 2 в камеру 1, откуда и отводится в противоположных направлениях в трубки 3 и 4.

Исследованные работы энергоразделителя производилось при различных диаметрах трубок 3 и 4, равных 25 мм, а затем 32 мм, а также при различных диаметрах трубок, равных 32 и 25 мм, причем трубка диамет-

ром 25 мм далее также соединялась с трубой непосредственно примыкающей к баку. Длина наружи проходила до 92 мм. При испытаниях трубки были изолированы от бака.



Фиг. 2. Схема измеров температур и давлений в камере и трубках энергоразделителя. Температуры измерялись в трех сечениях камеры и в двух сечениях в каждой трубки. При проведении эксперимента достаточно точно поддерживалось постоянство давления и температуры воздуха на входе в камеру.



Фиг. 3. Схема измеров температур и давлений в камере и трубках энергоразделителя.

температуры термопарами: неизолированной и изолированной с наружным диаметром экрана $d = 1,5$ мм. Температура измерялась в трех сечениях камеры (см. на фиг. 2 штуцера 1, 2 и 3) и в двух сечениях в каждой трубки. При проведении эксперимента достаточно точно поддерживалось постоянство давления и температуры воздуха на входе в камеру.

Возможных работах, посвященных исследованию вихревого энергоразделителя, указывается, что к камере энергоразделителя подсоединялись трубки разного диаметра и вследствие этого по трубке большего диаметра из центра камеры отводился холодный воздух, а по трубке меньшего диаметра — горячий воздух.

Первые опыты с энергоразделителем, представленным на фиг. 1, показали, что такое разделение может быть осуществлено и при разных диаметрах трубок путем изменения положения дроссельных заслонок, т. е. путем создания различного сопротивления отводам.

Далее были взяты трубки различных диаметров и при помощи изменения положения дроссельных заслонок холодный (горячий) воздух попеременно поступал как в трубку меньшего (25 мм) так и большего (32 мм) диаметра. Однако охлаждение воздуха в первом случае было большим.

Затем были исследованы поля давления и температур в трех сечениях камеры завихрения. Наблюдалось слабое падение давления и температуры при движении к центру и наиболее резкое их уменьшение вблизи оси камеры.



Фиг. 3. Уменьшение температуры воздуха в отводящих трубках 2 и 1 по радиусу.

Отличие полей давления и температуры в разных сечениях камеры завихрения очень незначительно. Наиболее интересными оказались поля температур в различных сечениях трубок горячего и холодного воздуха (фиг. 3). В каждом сечении обеих трубок температура по радиусу плавно уменьшалась к центру.

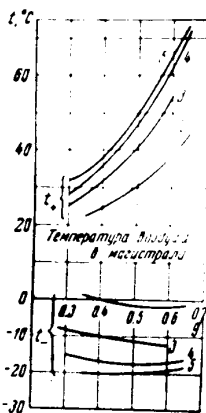
Существенное отличие наблюдалось в том, что средняя температура горячего воздуха повышалась при течении вдоль трубки, в то время как средняя температура холодного воздуха при его течении вдоль трубки практически оставалась постоянной.

На основании проведенного теоретического и экспериментального исследования можно построить следующую физическую модель явления, происходящего в вихревом энергоразделителе, представленном на фиг. 1. Воздух, поступающий тангенциально в камеру завихрения 1, вследствие вязкости не подчиняется закону сохранения момента количества движения, и скорость воздуха при движении к центру постепенно уменьшается по сравнению с идеальным расширением воздуха с ее увеличением.

Вследствие того, что направление движения воздуха к центру происходит при уменьшении радиуса и одновременно увеличивается сила вязкости, в этот момент, когда тангенциальная скорость воздуха наибольшая, температура воздуха начинает падать.

В этой второй зоне, где происходит падение температуры, воздух стремится к вращению по закону твердого тела, т. е. вращается с собой силой вязкости, что и осуществляется вблизи центра.

Соответственно этому в ядре потока температура будет несколько меньше, но в целом можно считать, что в ядре потока не в состоянии возникнуть завихрение, вызываемое дросселем, и в эту трубку направляется основной поток воздуха.



Фиг. 4. Характеристики вихревого энергоделиителя. — температуры t_1 и t_2 горячего и холодного воздуха в зависимости от относительного количества g холодного воздуха; цифры при кривых указывают давление на входе в эту трубку.

Для визуального наблюдения течения был выполнен вихревой энергоделиитель из плексигласа.

Применяя специальную фотопарку, можно было наглядно видеть оптические выше осевые токи воздуха, направление и интенсивность которых изменялись при помощи дроссельных заслонок.

В заключение по результатам работ были сняты характеристики вихревого энергоделиителя, приведенные на фиг. 4.

Из опыта при этом видно, что при температуре воздуха в рабочей камере T (температура T_0) и давлении от 2 до 5 ат.

На графике фиг. 4 по оси абсцисс отложены температуры горячего и холодного воздуха, измеренные непосредственно в соответствии с количеством воздуха, поступающего в трубку.

$$k = \frac{G_1}{G_1 + G_2}$$

(здесь G_1 и G_2 — количество холодного и горячего воздуха).

...исследования была выполнена и исследование вихревого энергоделиителя, где вихревая цилиндрическая камера имеет диаметр $d = 250$ мм. Эта первая ступень большого вихревого энергоделиителя. На этом экспериментальные работы по вихревым энергоделиителям были закончены.

...исследований с энергоделиителем было обнаружено явление, заслуживающее внимания.

Известно, как происходит течение воздуха вдоль поверхности, имеющей углубление с острыми бортами. В воздухе возникает завихрение, а поток плавно омывает углубление, в котором вихрь становится неподвижным и имеет давление и температуру, близкие к значениям в проходящем потоке.

Совершенно иное явление происходит при течи воздуха в цилиндрической камере вихревого энергоделиителя, в которой на внутренней поверхности имеется углубление. При вращении вихря в камере случайно был замечен вращающийся вихрь, поэтому на внутренней стороне стенки образовалась небольшая камера, в которой влажность непрерывно к воздуху в углубление переталкивалась моментом движения и происходило аккумулятивное энергии. При этом штуцер весьма сильно разогревался, в то время как остальная часть поверхности корпуса оставалась холодной.

При создании незначительного притока воздуха из отверстия в атмосферу, как и следовало ожидать, разогрев штуцера прекратился.

На основании проведенного исследования вихревого энергоделиителя можно сделать заключение, что трение воздуха о стенки сильно уменьшает эффективность энергоделиителя и целесообразно далее исследовать более сложные конструкции вихревых энергоделиителей со свободными вращающимися стенками.

3. Диффузия прямолинейной вихревой нити. При движении воздуха в вихревом энергоделиителе происходит диссипация энергии, аналогично случаю, происходящему при диффузии вихревой нити.

Пусть в начальный момент времени $t = 0$ имеется поле тангенциальных скоростей, соответствующее прямолинейной вихревой нити, имеющей интенсивность Γ при постоянной энергии и энтропии для всех частиц воздуха. Тогда относительные параметры воздуха будут:

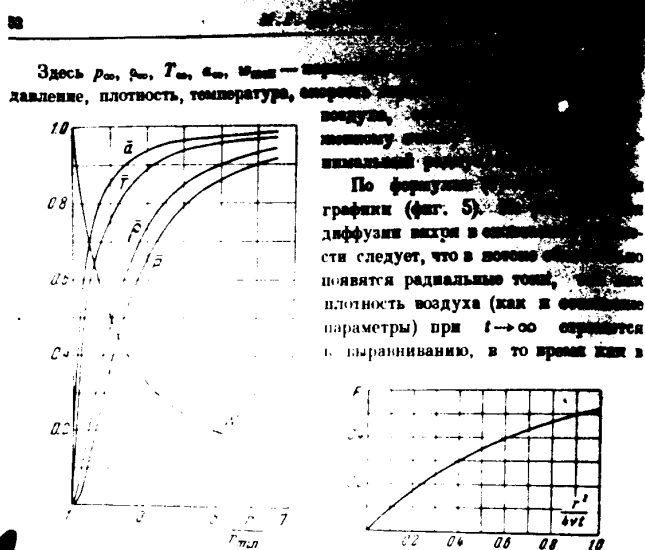
$$\rho = \frac{\rho_0}{r} \left[1 - \frac{r^2 \omega^2}{2a^2} \right] \quad (1)$$

$$p = \frac{p_0}{r} \left[1 - \frac{r^2 \omega^2}{2a^2} \right] \quad (2)$$

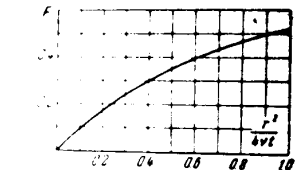
$$T = \frac{T_0}{r} \left[1 - \frac{r^2 \omega^2}{2a^2} \right] \quad (3)$$

$$a = \frac{a_0}{r} \left[1 - \frac{r^2 \omega^2}{2a^2} \right] \quad (4)$$

$$\vec{v} = \frac{v}{\omega} = \frac{r_{min}}{r} = \frac{1}{r} \left(\omega_{max} \right)^2 \sqrt{2k \frac{a^2}{r} R T}$$



Фиг. 5. Изменение безразмерных параметров воздуха по радиусу для видовой нити



Фиг. 6. Изменение функции F от параметра $\frac{r^2}{4wt}$

в начальный момент времени ($t = 0$) плотность воздуха определялась как функция радиуса по формуле (2).
 Однако из фиг. 5 следует, что уже при $r/r_{\min} > 6$ поток можно рассматривать как несжимаемый; далее рассматривается лишь эта область.
 Уравнения движения будут:

$$\rho_{\infty} \frac{\partial w}{\partial t} = \mu \left(\frac{\partial^2 w}{\partial r^2} + \frac{1}{r} \frac{\partial w}{\partial r} - \frac{w}{r^2} \right) \quad (6)$$

$$\rho_{\infty} \frac{\partial v}{\partial r} = \frac{\partial p}{\partial r} \quad (7)$$

Известное решение уравнения (6) имеет вид

$$w = \frac{\Gamma}{r} \left[1 - \exp\left(-\frac{r^2}{4wt}\right) \right] \quad \left(v = \frac{\mu}{\rho_{\infty}} \right) \quad (8)$$

Найдем изменение полного давления

$$p_0 = p + \rho_{\infty} \frac{v^2}{2} \quad (9)$$

Дифференцируя уравнение (9) по r , получим

$$\frac{\partial p_0}{\partial r} = \frac{\Gamma^2}{r^2} \left[1 - \exp\left(-\frac{r^2}{4wt}\right) \right] \frac{1}{2w} \exp\left(-\frac{r^2}{4wt}\right) \quad (10)$$

Отсюда следует, что

$$\frac{\partial p_0}{\partial r} = 0 \quad \text{при } t = 0, \quad \frac{\partial p_0}{\partial r} \rightarrow 0 \quad \text{при } t \rightarrow \infty \quad (11)$$

Здесь ρ_{∞} , ρ_0 , T_{∞} , μ_{∞} , ν_{∞} — соответственно давление, плотность, температура, вязкость воздуха, $\nu_{\infty} = \mu_{\infty} / \rho_{\infty}$.
 По формулам (8) и (9) построены графики (фиг. 5).
 Из фиг. 5 следует, что в потоке образуются поперечные радиальные токи, так как плотность воздуха (как и остальные параметры) при $t \rightarrow \infty$ стремится к выравниванию, а то время как в

будет существовать максимум поперечного градиента давления (10)

$$-\frac{\partial p_0}{\partial r} = \frac{\Gamma^2}{r^2} \left[1 - \exp\left(-\frac{r^2}{4wt}\right) \right] - \frac{1}{r} \left[\exp\left(-\frac{r^2}{4wt}\right) - \exp\left(-\frac{r^2}{4wt}\right) \right] = 0 \quad (13)$$

Подставив $\frac{r^2}{4wt} = x$ в уравнение (13), получим

$$x^2 = \frac{2x-1}{x-1} \quad (14)$$

Если уравнение (14) графически, найдем $x_1 \approx 1.44$, $t_1 = \frac{r^2}{4\nu_{\infty} x_1} = \frac{0.473 r^2}{\nu_{\infty}}$

Отсюда можно сделать следующие выводы:
 1. Полный напор (при $t = \text{const}$) возрастает с увеличением радиуса, так как $\partial p_0 / \partial r > 0$.

2. Градиент полного напора на некотором радиусе r_1 достигает максимума (при $t = 0$) и достигает максимума

$$\frac{\partial p_0}{\partial r} = 0.053 \frac{\Gamma^2}{r^2} \quad \text{при } t_1 = \frac{0.473 r^2}{\nu_{\infty}}$$

При дальнейшем увеличении t градиент полного напора стремится к нулю.

3. Момент времени $t = t_1$, при котором достигается максимум напора, прямо пропорционален квадрату радиуса и обратно пропорционален динамической вязкости воздуха; т.е. если в некоторый момент $t = t_1$ достигается максимум градиента $\partial p_0 / \partial r$, то в большем радиусе этот момент времени градиент уже убывает, так как максимальное значение градиента здесь было достигнуто при $t < t_1$.

Найдем распределение давления p_0 по радиусу. Из (7) имеем

$$\frac{p_0}{\rho_{\infty}} = \int \frac{w^2}{r} dr + f(t) \quad (15)$$

где $f(t)$ — произвольная функция.

Подставляя сюда значение w из уравнения (8) и интегрируя, получим

$$\frac{p_0}{\rho_{\infty}} = \Gamma^2 \int \frac{1}{r^2} \left[1 - \exp\left(-\frac{r^2}{4wt}\right) \right]^2 + \frac{1}{4wt} \sum_{k=1}^{\infty} (-1)^{k+1} \frac{(2^k-1)}{k \cdot k!} \left(\frac{r^2}{4wt} \right)^k + f(t) \quad (16)$$

$$p_0 = \frac{\rho_{\infty} \Gamma^2}{4wt} \sum_{k=1}^{\infty} (-1)^{k+1} \frac{(2^k-1)}{k \cdot k!} \left(\frac{r^2}{4wt} \right)^k + f(t) \quad (17)$$

При одном и том же значении t разность полных давлений на различных радиусах r_1 и $r_2 > r_1$ будет:

$$(p_0)_{r=r_2} - (p_0)_{r=r_1} = \frac{\rho_{\infty} \Gamma^2}{4wt} \sum_{k=1}^{\infty} (-1)^{k+1} \frac{(2^k-1)}{k \cdot k!} \left(\frac{r_2^2}{4wt} \right)^k - F_2 \left(\frac{r_1^2}{4wt} \right) - F_1 \left(\frac{r_2^2}{4wt} \right) \quad (18)$$

На фиг. 6 дано изменение функции F в зависимости от параметра $r^2/4wt$; пользуясь этим графиком, можно найти приращение полного напора при увеличении радиуса.

ЛИТЕРАТУРА
 1. Кочин Н. Е., Кибель И. А. и Розен Н. В. Теория обтекания тел. М.: ГИИТ, 1948.
 2. Гродзевский Г. Л. и Кузнецов Ю. Г. Роторный вихрь в газопотоке. Изв. АН СССР, ОТН, № 5, 1964.
 3. Дубинский М. Г. О вращающихся потоках газа. Изв. АН СССР, ОТН, № 5, 1964.

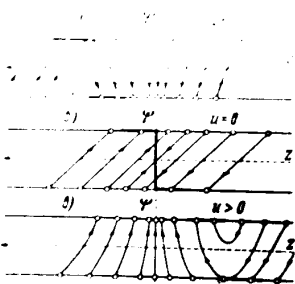
ТЕОРИЯ СТАБИЛИЗАЦИИ КУРСА НЕЙТРАЛЬНОГО САМОЛЕТА ПРИ ПОМОЩИ АВТОПИЛОТА С ПОСТОЯННОЙ СКОРОСТЬЮ СЕРВОМОТОРА

ОБЪЯСНЕНИЕ НАЛИЧИЯ ЗОНЫ НЕУСТОЙЧИВОСТИ¹

В. А. АНДРОНОВ и Н. П. БАУТИН

Москва

В работе рассматриваются нелинейные задачи в точечных преобразованиях. В частности, рассматривается задача стабилизации курса самолета при помощи автопилота с постоянной скоростью сервомотора. Показано, что в этом случае возникает зона неустойчивости, в которой траектории расходятся от положения равновесия.



Фиг. 1

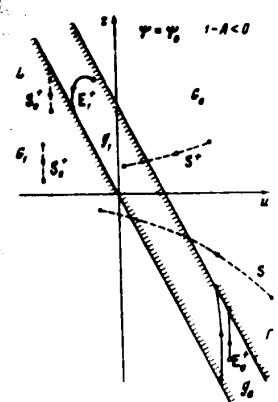
Отрезок $u = z = 0$, $|\psi| < \psi_0$ является инвариантным. Плоскость $\psi = \psi_0$ вне полюса

$$0 < u < A + (A-1)z < B$$

служит местом, где в первом приближении лежат куски траекторий верхнего полупространства $\psi > \psi_0$ и траекторий в зоне $|\psi| < \psi_0$.

¹ Настоящая работа является продолжением работы [1]. Постановка задачи и уравнения движения самолета рассматриваются в [1]. Выводы о наличии зоны неустойчивости также приводятся в [1]. В настоящей работе формулы на первой части работы даны в виде, соответствующем принятым в [1] обозначениям.

... траекторий, направленные навстречу друг другу. Зона неустойчивости служит местом, где в первом приближении лежат куски траекторий, направленные навстречу друг другу. Зона неустойчивости служит местом, где в первом приближении лежат куски траекторий, направленные навстречу друг друга.



Фиг. 2а



Фиг. 2б

могут быть получены из пластинки $-B < u + (A-1)z < B$ разрезав ее по оси пластинки (по прямой $u + (A-1)z = 0$) и параллельном переносе половины на плоскости $\psi = \psi_0$ и $\psi = -\psi_0$. Изображенная точка, попав на пластинку в плоскости $\psi = \psi_0$, начинает двигаться по траектории разбивания пластинки и попадает либо на ребро

$$\Gamma: u + (A-1)z - B = 0, \quad u > A + B, \quad \psi = \psi_0,$$

$$\text{с которого уходит в полупространство } \psi > \psi_0, \text{ либо на ребро } L:$$

$$u + (A-1)z = 0, \quad \psi = \psi_0, \quad u < 0$$

с которого уходит в зону $|\psi| < \psi_0$.

- 2°. Сведение задачи к точечным преобразованиям. Разобьем плоскость $\psi = \psi_0$ на четыре куска (фиг. 2а и 2б):
- (G₀), где $u + (A-1)z > B$, $u > A + B$, $u + (A-1)z - B = 0$, $u > A + B$, $\psi = \psi_0$;
 - (G₁), где $u + (A-1)z < 0$, $u > A + B$, $u + (A-1)z - B = 0$, $u > A + B$, $\psi = \psi_0$;
 - (G₂), содержащий те точки пластинки $\psi = \psi_0$, с которых траекториям разбивания пластинки переходит в точки ребра L : $u + (A-1)z = 0$, $u < 0$, $\psi = \psi_0$;
 - (G₃), содержащий те точки пластинки $\psi = \psi_0$, с которых траекториям разбивания пластинки переходит в точки ребра L : $u + (A-1)z = 0$, $u < 0$, $\psi = \psi_0$;

Обозначим также через G_0, G_1, G_2, \dots соответственно симметричные G_0, G_1, G_2, \dots а L и L' — полупрямые, симметричные L и L' .

Назовем преобразованием S^+ переход точки $u_1 z_1$, принадлежащую g_1 или G_1 , при $\psi = \psi_0$ в точку $u_2 z_2$, принадлежащую g_0 или G_0 в полупространстве $\psi > \psi_0$.

Назовем преобразованием S_0^+ переход по траектории E^+ точки $u_1 z_1$, принадлежащей G_1 , в точку $u_2 z_2$, принадлежащую G_0 или G_2 .

Для точек плоскости $\psi = \psi_0$ следующим образом определим преобразование S^+ (фиг. 2 и 3):

на куске $g_0 (E^+ \equiv E_0^+)$ — как переход по траекториим пластинки точки $u_1 z_1$, принадлежащей g_0 , в точку $u_2 z_2$, принадлежащую G (и ребро L);

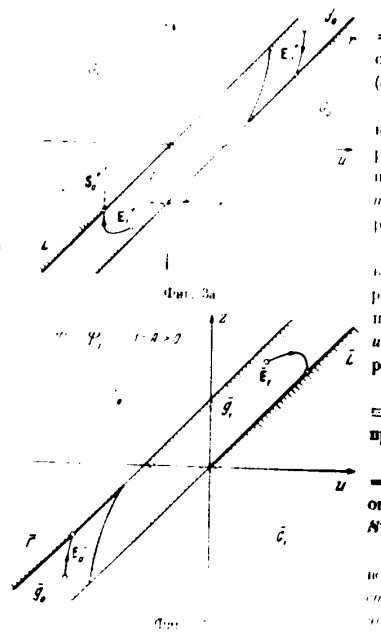
на куске $g_1 (E^+ \equiv E_1^+)$ — как переход по траекториям пластинки точки $u_1 z_1$, принадлежащей g_1 , в точку $u_2 z_2$, принадлежащую G_0 (и ребро L);

на куске G_0 или $G_1 (E^+ \equiv E_0^+)$ — как тождественное преобразование.

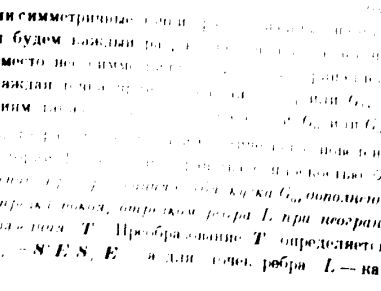
Для точек плоскости $\psi = -\psi_0$ аналогичным образом определим преобразования S^-, S_0^- и E^- .

В силу симметрии фазового пространства отсюда следует, что симметричные состояния S^+ и S^- являются тождественными.

В дальнейшем мы будем считать, что $\psi_0 > 0$ и будем считать ради простоты, что G_0 или L , рассматривая каждую точку $u_1 z_1$ принадлежащую G_0 или L . Так как траектории E^+ и E^- при движении по траекториим E^+ и E^- на G_0 или G_1 либо на отрезок ребра L и L' не выходят за пределы точек пересечения траекторий E^+ и E^- на куске G_0 , то можно, приближаясь к концу отрезка L , считать, что траектория E^+ при неограниченном повторении преобразования T преобразование T определяется для точек куска G как $T_1 = S_0^+ E^+$, а для точек ребра L — как $T_1 = S_0^+ E^-$, где черта



Фиг. 2а



Фиг. 2б

преобразования $S^+ E^+ S_0^+ E^+$ в точку $u_1 z_1$. В точке $u_1 z_1$ ($\psi = \psi_0$) преобразование S^+ определяется преобразованием ($u = z = 0, \psi = \psi_0$) и называется преобразованием T при движении по пластинкам, или *непрямых траекториях*.

Совокупность траекторий полупространства $\psi > \psi_0$, двукратно порождающих плоскость $\psi = \psi_0$, порождает преобразование S^+ . Введя как параметр τ — время пробега и образившись из точки $u_1 z_1$ по траектории до вторичного пересечения с плоскостью $\psi = \psi_0$ в точку $u_2 z_2 = \zeta$, получаем для преобразования S^+ (фиг. 1.2):

$$z_2 = \zeta, \quad u_2 = (A - 1)(1 + \zeta)^{-1} \exp \left[-\frac{(1 + B\zeta)}{\sqrt{4B(1 + B\zeta)}} \right] \quad (1.3)$$

$$z_1 = (1 + \zeta) e^{-\tau} - 1, \quad u_1 = (A - 1)(1 + \zeta)^{-1} \exp \left[-\frac{(1 + B\zeta)}{\sqrt{4B(1 + B\zeta)}} \right] \quad (1.4)$$

Преобразование S^+ определено только в полупространстве $\psi > \psi_0$. Совокупность траекторий внутри объема $\psi > \psi_0$ порождает преобразование S_0^+ . Аналитически преобразование S_0^+ определяется для точек $u_1 z_1$ ($\psi = \psi_0$), $u_2 z_2 = \zeta$, $u_0 = \theta^{-1} [(A - 1)(e^{-\tau} - 1) \zeta - 2\zeta] \exp \left[-\frac{(1 + B\zeta)}{\sqrt{4B(1 + B\zeta)}} \right]$.

Преобразование S_0^+ определено на куске G_0 , принадлежащем G_0 и совпадающем с G_1 . Легко, однако, проверить, что S_0^+ по вышесказанному определено для всех точек G_1 , где $u \leq 0$ и $z \geq 0$, так как эта часть G_1 и будет подвергаться преобразованиям, так как точки G_0 могут переходить точки куска G_0 по преобразованию $S^+ E^+$.

Совокупность кусков траекторий на пластинках порождает преобразование E^+ и E^- . Аналитически преобразования E_0^+ и E_0^- в виде случаев $4B = (A + B)^2 = 0$ выражениями

$$z_1 = \left[z_0 \cos \theta + \frac{B}{\sqrt{4B(1 + Bz_0)}} \frac{Bz_0 - 2u_0}{(1 + Bz_0)} \sin \theta \right] \exp \left[-\frac{(1 + Bz_0)}{\sqrt{4B(1 + Bz_0)}} \right]$$

$$u_1 = (1 - A)z_1 \pm B \quad (1.5)$$

где θ — меньший положительный корень уравнения

$$[(A - 1)z_0 - u_0] \cos \theta + \frac{B}{\sqrt{4B(1 + Bz_0)}} \frac{Bz_0 - 2u_0}{(1 + Bz_0)} \sin \theta = 0$$

$$B \exp \left[-\frac{(1 + Bz_0)}{\sqrt{4B(1 + Bz_0)}} \right] \sin \theta = 0 \quad (1.6)$$

а для случая $4B = (A + B)^2 = 0$ выражения (1.5) и (1.6) можно считать полученными из (1.3) и (1.4) заменой величины $4B = (A + B)^2$ на $4B = 0$ соответственно величинами $(A - B)^2 = 4B$, $\sin \theta = 0$. В всех случаях из двойных знаков следует брать знак плюс для преобразования E_0^+ и знак минус для преобразования E_0^- .

Преобразования E_1^+ и E_1^- даются для случая $4B > (A+B)^2$ выражениями

$$z_1 = \left[z_0 \cos \theta + \frac{(2-A-B)z_0 - 2z_0 \sin \theta}{\sqrt{4B - (A+B)^2}} \right] \exp \left[-\frac{z_0 \sin \theta}{\sqrt{4B - (A+B)^2}} \right] \quad (3)$$

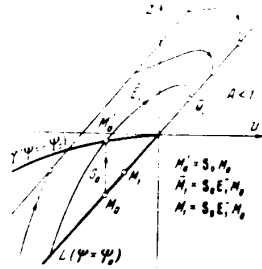
$$u_1 = (1-A)z_1$$

где θ — действительный корень уравнения,

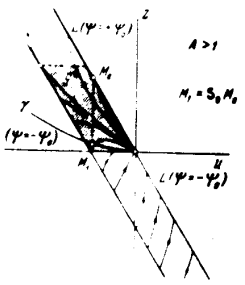
$$(B - (1-A)u_0 + (A+B)(1-A)z_0 \sin \theta)^2 = 0 \quad (4)$$

а для z_0 и u_0 справедливы следующие выражения, получаемые из (1) и (2) для значений $4B - (A+B)^2 > 0$, $\sin \theta$, $\cos \theta$ величин $0 < \theta < \pi/2$.

§ 2. Преобразования прямой в прямую и диаграмма Ламеря. Пусть L — траектория разбивания астоколебаний, не устойчивая относительно движения. Показим устойчивость отрезка покоя L_1 относительно движения, заполняющих фазовое



Фиг. 4



Фиг. 5

пространство, достаточно, чтобы утверждать, что любая точка, взятая в достаточно малой окрестности отрезка покоя, приближается к отрезку покоя по траекториям разбивания при повторении (1, 6) или одной из пластинок (в случае $4B - (A+B)^2 < 0$) и, следовательно, попадает на отрезок ребра L_1 (или \bar{L}_1), принадлежащий L .

Назовем L_1 миской, если для любой точки L_1 траектория по преобразованию $S_0^+ E_1^-$ переходит в точку L_1 или в отрезок покоя, примыкающий к концу отрезка покоя L_1 . Если L_1 — миска, то при применении $T_L = S_0^+ E_1^-$ движение, начинающееся в окрестности L_1 , либо опять переходит в точку покоя, либо приближается к отрезку покоя. Показим устойчивость отрезка покоя, если L_1 — миска. Пусть M_0 — точка покоя при применении $T_L = S_0^+ E_1^-$ той же траектории, что и L_1 и смежна с ней.

Преобразование S_0^+ переводит ребро L_1 в кривую γ , расположенную в плоскости $z_0 z_1$ (Фиг. 4 и 5).

$$z_1 = \frac{2z_0}{(1-A)z_0 + \sqrt{4B - (A+B)^2}} \quad (0 < \theta < \infty) \quad (5)$$

Преобразование E_1^- переводит каждую точку кривой γ , принадлежащую куску S_0^+ , или на конец отрезка покоя, или в точку, принадлежащую куску L . Первый случай всегда имеет место при $A = 1$. В этом случае кривая γ расположена на плоскости $\psi = -\psi_0$ для значений $z_0 > 0$. Если точка γ , принадлежащая куску пластины,

$$z_1 = \frac{2z_0}{(1-A)z_0 + \sqrt{4B - (A+B)^2}} \quad (2.2)$$

тогда dz_1/dz_0 отрицателен, а знак d^2z_1/dz_0^2 противоположен знаку $(1-A)z_0$. Если же,

$$z_1(\infty) = z_1(0) = 0, \quad \left(\frac{dz_1}{dz_0}\right)_{z_0=0} = 0$$

Преобразование E_1^- переводит каждую точку кривой γ , принадлежащую куску S_0^+ , или на конец отрезка покоя, или в точку, принадлежащую куску L . Первый случай всегда имеет место при $A = 1$. В этом случае кривая γ расположена на плоскости $\psi = -\psi_0$ для значений $z_0 > 0$. Если точка γ , принадлежащая куску пластины,

$$-B \leq u + (A-1)z \leq 0, \quad 0 \leq z \leq \frac{1}{1-A} \quad (2.3)$$

переходит на конец отрезка покоя. В последнем случае $z_1 = 0$, т.е. $z_0 = 0$, т.е. каждая точка границы области $z_0 > 0$ переходит по траекториям разбивания в точку покоя (Фиг. 5). Отрезок покоя, таким образом, является миской. Рассмотрим случай $A < 1$. Кривая γ расположена в плоскости $\psi = -\psi_0$ для значений $z_0 > 0$, и каждая точка γ , принадлежащая куску S_0^+ , переходит на ребро L . Преобразование симметрии переводит L на ребро L . Пусть $M_0(-u_0, -z_0)$ — точка, принадлежащая L_1 , $M_1(-u_1, -z_1)$ — последующая M_0 по преобразованию E_1^- и $M_2(-u_2, -z_2)$ — точка, симметричная M_1 . Преобразование $S_0^+ E_1^-$ переводит точку M_0 на отрезок L_1 в точку M_1 , также принадлежащую L . Таким образом, на отрезке L_1 при помощи преобразования $S_0^+ E_1^-$ определена функция последования $z_1 = f(z_0)$ (Фиг. 4).

Рассматривая $z_1 = f(z_0)$ как кривую в плоскости $z_0 z_1$, получаем обычную диаграмму Ламеря. Из определителя преобразования $S_0^+ E_1^-$ следует свойство кривой $z_1 = f(z_0)$

$$f(0) = 0, \quad \frac{dz_1}{dz_0} > 0$$

Покажем, что на диаграмме Ламеря либо нет точек пересечения $z_1 = f(z_0)$ с полупрямой $z_1 = z_0 > 0$, либо есть одна такая точка. Ходя от точки $z_1 = z_0$ к другому случаю к другому дадут условия смены устойчивости отрезка покоя и появления из отрезка покоя периодического движения.

Найдем на куске z_1 или линии $B - u + (A-1)z = 0$, $z_0 > 0$ геометрическое место точек, обладающих тем свойством, что преобразование E_1^- не изменяет абсолютных величин двух расстояний до плоскости $u = 0$. Легко показать, что это место — миска. Легко показать, что k определяется уравнением

$$\text{если } 4B - (A+B)^2 > 0$$

$$\text{Всп} \left\{ \frac{2(A+B)}{\sqrt{4B - (A+B)^2}} \arctg \frac{(1-A)z_0 + \sqrt{4B - (A+B)^2}}{(1-A)z_0 - \sqrt{4B - (A+B)^2}} \right\} = (A-1)[(A-1)k^2 + (2-A-B)k - 1] = 0 \quad (6)$$

если $4B - (A+B)^2 < 0$

$$\text{Вexp} \left[\frac{2(A-B)}{\sqrt{(A+B)^2 - 4B}} \operatorname{arctg} \frac{(A-1)k + 1}{(A-1)k + 1} \right] = (A-1)[(A-1)k^2 + (2-A-B)k - B]$$

Точки E_1^- разбиваются лучом $z = ka$ на три класса:

- 1) точки, принадлежащие лучу: преобразование E_1^- не меняет их расстояния до плоскости $u = 0$;
- 2) точки, для которых $z = ka$: преобразование E_1^- приближает их к плоскости $u = 0$;
- 3) точки, для которых $z < ka$: преобразование E_1^- удаляет их от плоскости $u = 0$.

Если $k = 0$, то луч $z = ka$ не пересекает кривую γ и преобразование E_1^- приближает к этой кривой точки γ к плоскости $u = 0$. Преобразование $S_0^+ E_1^-$ переводит любую точку отрезка L_1 к концу отрезка покоя. В этом случае отрезок L_1 выполняется неравенство

$$z_1 = f(z_0) < z_0 < z_2$$

Кривая $z_1 = f(z_0)$ на диаграмме Ламерея не имеет с полупрямой $z_1 = z_0 > 0$ общих точек. При повторении преобразования $S_0^+ E_1^-$ последовательно приближаются к концу отрезка покоя. Отрезок покоя в этом случае не имеет. Если $k > 0$, то луч $z = ka$ пересекает кривую γ в одной или двух точках, образуя только одна точка пересечения, отличная от начала O . Если точка пересечения P принадлежит z_1 (как всегда будет при значениях k или ψ_0) и пусть P — точка на ребре L , полученная из точки P применением преобразования обратного S_0^+ . Из определения следует, что точка P будет неподвижной относительно преобразования $S_0^+ E_1^-$. Каждую точку отрезка L_1 ребра L преобразование $S_0^+ E_1^-$ переводит в точку, также принадлежащую L_1 и расположенную ближе к P .

Кривая $z_1 = f(z_0)$ на диаграмме Ламерея имеет, таким образом, с полупрямой $z_1 = z_0 > 0$ единственную точку пересечения для значений $z_0 < a$, соответствующую точке P . Для значений $0 < z_0 < a$ и $z_0 > a$ отрезок L_1 имеет место соответственно $z_1 = f(z_0) > z_0$ и $z_1 = f(z_0) < z_0$. При повторении преобразования $S_0^+ E_1^-$ последовательность точек на L сходится к точке P . Таким образом, неподвижная точка устойчива, а отрезок покоя неустойчив. Соответствующее устойчивое периодическое движение составляется из кусков фазовых траекторий, принадлежащих пластинам.

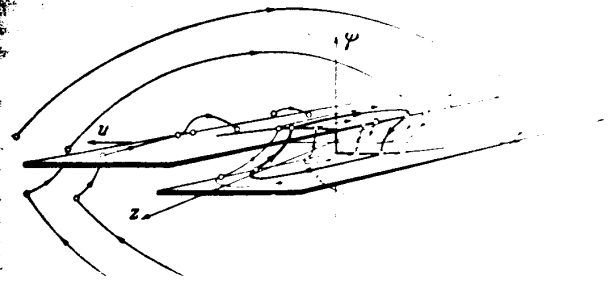
$$B = a(1-A) \pm \sqrt{A^2 - 4A} \quad z_0 = \psi_0$$

$$0 < a < 1 \quad 1 < A < 2 \quad \psi_0 < \psi_0$$

и кусков траекторий, лежащих на поверхности $z = \psi_0$ и $z = -\psi_0$ (фиг. 6).

Если $k = 0$, то луч $z = ka$ касателен кривой γ и соответственно касается ее при $z = z_0$, имея координаты кривая $z_1 = f(z_0)$ на диаграмме Ламерея. В этом случае (2.3) и (2.4) $k = 0$, находим значения A и B , при которых отрезок покоя имеет устойчивость, и из отрезка покоя возникает устойчивое периодическое движение (кривая D на фиг. 7 или цилиндрическая поверхность D на фиг. 8).

Устойчивость периодических движений при изменении относительности. Условия существования автоколебаний, выходящих за пределы устойчивости, и условия исчезновения периодических движений при пересечении луча $z = ka$ (где k определяется из (2.3) или (2.4)) и кривой γ (точка P) принадлежат устойчивому периодическому движению.

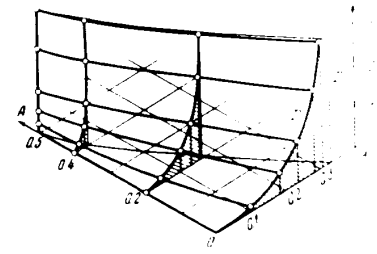


Фиг. 6

Это лишь до тех пор, пока P лежит на L_1 . В противном случае можно говорить о применении преобразования $T_1 = S_0^+ E_1^-$, о порождаемой этим преобразованием последовательности неподвижной точки функции последования $z_1 = f(z_0)$ на соответствующей диаграмме Ламерея.



Фиг. 7



Фиг. 8

Каждая точка ребра L_1 , лежащая на L_1 , при повторении преобразования $T_1 = S_0^+ E_1^-$ приближается к точке P . Таким образом, неподвижная точка устойчива, а отрезок покоя неустойчив. Соответствующее устойчивое периодическое движение составляется из кусков фазовых траекторий, принадлежащих пластинам T_0 .

Для точек куска G_0 , близких к кривой γ , преобразование T_1 может быть неправильным, так как либо сразу переводит точку S_0^+ в S_0^+ , либо преобразование $S_0^+ S_0^+$ могут переводить преобразованную точку S_0^+ на G_0 на пластины g или g . Нетрудно выделить в G_0 кусок L_1 или

используемого преобразования T_0 будет z_0 . Преобразование T_0 переводит выделенный кусок L_1 , а частью в линейное множество f^* , составленное из кусков ребра Γ и кривой f^* .

Линейное множество f^* может при этом опять лежать в F , и, таким образом, начавшиеся в предыдущем параграфе повторения неправильного преобразования в себя при применении T_0 линейного множества f^* могут идти речь) о повторении преобразования в себя при применении T_0 линейного множества f^* .

Это преобразование опять может быть удобно представить в виде диаграмм Ламерея, являющихся продолжением диаграмм предыдущих преобразованием T_1 . Последнее становится очевидным, если заметить, что множество f^* по преобразованию S^*E^* (при котором E^* может быть так же, как и преобразованием S^*E^* преобразованием, если S^* переводит принадлежащую кривую f^* на кусок G_1) переходит также в линейное множество f^* . В частности, вместе с куском L_1 одну непрерывную кривую $L_1 + f^*$ (продолжение ребра L_1 или отрезка ребра L_1 , дополненный куском кривой, лежащей в G_1). Неправильное преобразование T_0 переводит точку $M_0(z_0, u_0)$ принадлежащую кривой $L_1 + f^*$ в точку $M_1(z_1, u_1)$, также принадлежащую $L_1 + f^*$. Таким образом, на кривой $L_1 + f^*$ определена функция последования $z_1 = f(z_0)$, а в точке $M_1(z_1, u_1)$ соответствующая диаграмма Ламерея, включающая (или содержащая) всю предыдущую ранее диаграмму Ламерея, а также содержащая (или включающая) полную диаграмму Ламерея).

Если означим через z^* значение z_0 , соответствующее концу отрезка L_1 (см. рис. 8), то, как показано выше, для $0 < z_0 < z^*$ может существовать не более одной точки пересечения и число их может измениться только либо в результате появления периодического решения из отрезка покоя (или отрезка периодического решения и отрезку покоя), либо при переходе точки пересечения через значение $z = z^*$ на другую часть диаграммы. Появление периодического решения из отрезка покоя происходит, как выяснено выше, при изменении параметров A и B соответствующих пересечению цилиндрической поверхности D с образующими параллельными оси ψ (фиг. 8) в направлении убывающих A и B . Переход точки пересечения через значение $z_0 = z^*$ порождает появление устойчивого периодического движения, выходящего куски траектории вне зоны нечувствительности (для $\psi > \psi_0$ и $\psi < -\psi_0$, т. е. возникновение автоколебаний, выходящих на зону нечувствительности. Поверхность D' (фиг. 8), выходящая из условия, что для точки пересечения имеет место равенство $z = z^*$ (или, другими словами, в условиях, что точка P' лежит на границе куска R_0), дает в пространстве параметров A, B $z = z^*$ границу, пересечение которой при изменении параметров в направлении убывающих A или B приводит к возникновению автоколебаний, выходящих за зону нечувствительности.

¹ Такими будут преобразование $T_0 \equiv T_1, z_0 = E_0^* E_1^* S^* E_1^*$ на отрезке L_1 , преобразование $T_0 \equiv T_1, z_0 = E_0^* E_1^*$ на отрезке L_1 и преобразование $T_0 \equiv T_1, z_0 = E_0^* E_1^*$ на отрезке L_1 , так как $E_0^* S^* E_1^*$ вырождается здесь в E_1^* .

линейное множество f^* может при этом опять лежать в F , и, таким образом, начавшиеся в предыдущем параграфе повторения неправильного преобразования в себя при применении T_0 линейного множества f^* могут идти речь) о повторении преобразования в себя при применении T_0 линейного множества f^* .

$$\psi_0 = \arcsin \left[\frac{B}{A+B} \sqrt{4k-1} \right] \quad (2.5)$$

где k определяется уравнениями (2.3) или (2.4) и ψ_0 — значение ψ , соответствующее тому значению z , для которого выполняется соотношение с требованием, что точка P' лежит на кривой f^* либо на прямой $u + (A-1)z = B = 0$ или на кривой f^* , либо на траектории, касающейся в точке P' кривой f^* (или пересекает f^*), приводит к таким параметрам A, B , при которых поверхность D'

$$\psi_0 = \frac{B[1-k(1-A) + \sqrt{4k-1}]}{2[(1-A)k + 1]}$$

где k определяется уравнениями (2.3) или (2.4) и ψ_0 — значение ψ , соответствующее тому значению z , для которого выполняется соотношение с требованием, что точка P' лежит на кривой f^* либо на прямой $u + (A-1)z = B = 0$ или на кривой f^* , либо на траектории, касающейся в точке P' кривой f^* (или пересекает f^*), приводит к таким параметрам A, B , при которых поверхность D'

$$\psi_0 = \frac{u_0}{z^*} [1 - k(1-A) + \sqrt{4k-1}] \quad (2.6)$$

$$u_0 = - \left[(A+B) \cos \tau + \frac{(2-A-B)(1-k) \sin \tau}{\sqrt{4k-1}} \right] \sqrt{\frac{A+B}{1-k}}$$

где k определяется уравнением (2.3) и τ — значение ψ , соответствующее тому значению z , для которого выполняется соотношение с требованием, что точка P' лежит на кривой f^* либо на прямой $u + (A-1)z = B = 0$ или на кривой f^* , либо на траектории, касающейся в точке P' кривой f^* (или пересекает f^*), приводит к таким параметрам A, B , при которых поверхность D'

$$\cos \tau = \frac{[A+k(A-1)(A+B)] \sqrt{4k-1} + (A+B)}{k(1-A)[2B-(A+B)^2] + A(A+B) - 2B}$$

(если $B > \mu(A+B)^2$). Множество f^* при применении к нему неправильного преобразования T_0 может либо целиком перейти в саму себя, либо тогда на множестве f^* неправильное преобразование T_0 может быть ограничено повторено, либо преобразование T_0 не для всех точек множества f^* будет неправильным. (Обозначим через z^{**} значение z , разделяющее на множестве $L_1 + f^*$ точки, для которых преобразование T_0 будет неправильным, от точек, для которых оно становится правильным. Очевидно, $0 \leq z_0 \leq z^{**}$ будет тот интервал значений z_0 , для которых определены функции последования $z_1 = f(z_0)$ и соответствующая диаграмма Ламерея. Аналитические выражения функции последования $z_1 = f(z_0)$ в интервале $z^* \leq z_0 \leq z^{**}$ неудобны для исследования их в общем виде. Фактическое построение диаграмм Ламерея для фиксированных значений параметров A, B и ψ_0 может быть осуществлено предельно. При этом обнаруживается, что в интервале $z^* \leq z_0 \leq z^{**}$ для z_0 может соответствовать устойчивому, а другая неавтоколебательному движению (характер устойчивости если не характер диаграмм Ламерея).

Качественный характер диаграмм Ламерея в интервале $z^* \leq z_0 \leq z^{**}$ (число точек пересечения кривой $z_1 = f(z_0)$ с прямой $u = 0$ и кривой f^*) может измениться либо при переходе устойчивого периодического движения через значение $z = z^*$ (поверхность D' на фиг. 8), либо при переходе устойчивого периодического движения через значение $z = z^{**}$ (поверхность D' на фиг. 8).

число периодических движений. Условие касания кривой $z_1 = f(z_0)$ с прямой $z_1 = z_0$ вытекает из условия касания кривой $z_1 = f(z_0)$ с прямой $z_1 = z_0$ в пространстве параметров A, B, ψ_0 . Условие касания кривой $z_1 = f(z_0)$ с прямой $z_1 = z_0$ в пространстве параметров A, B, ψ_0 вытекает из условия касания кривой $z_1 = f(z_0)$ с прямой $z_1 = z_0$ в пространстве параметров A, B, ψ_0 .

$$A - B = \frac{1 - A + u_0 - (1 - A - u_0)e^{2u_0}}{2u_0} \quad (2.9)$$

$$u_0 = -\frac{u_0}{2} [2(A+B) + \ln(1-2A-2B)] \quad (2.10)$$

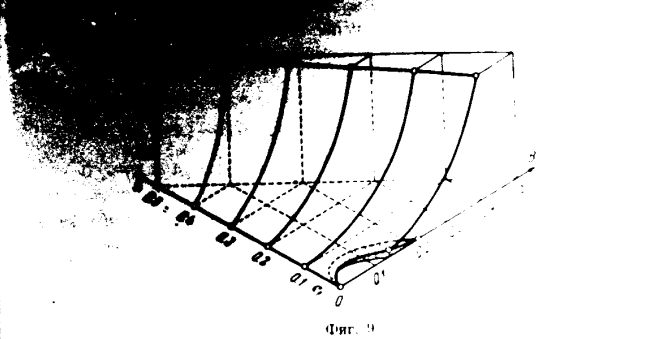
Поверхности D_1^* и D_2^* переходят одна в другую на кривой $[2(A-B)(A+B)-B] \left(\exp \frac{A}{A+B} - 1 \right) = 2B(1-A-B)$

$$u_0 = -\frac{B}{2} - \frac{B}{4(1-B)} \ln(1-2A-2B) \quad (2.11)$$

соответствующей значению параметра $u_0 = \frac{1}{2} B(A+B)^{-1}$ в уравнении (2.9) и (2.10). Для точек кривой (2.11) периодическое решение сводится к кускам траектории, проходящих как через ребро $z_1 = z_0$ и $z_1 = z_0$ пластины, так и через ребро $z_1 = z_0$ и $z_1 = z_0$ пластины.

Поверхность D^* выделенная из кусков D_1^* и D_2^* , образованная для $A \geq 0, B > 0, 1 - 2A - 2B > 0$. Она пересекает плоскость $z_1 = z_0$ по прямой $B = 0$ и по кривой $[(A-B)(A+B-1)-B] = [(A+B)(A-B-1) + B^2]$ (куском D_1^*). Плоскость $2A + 2B - 1 = 0$ является границей поверхности для D^* .

Условие касания кривой $z_1 = f(z_0)$ с прямой $z_1 = z_0$ вытекает из условия касания кривой $z_1 = f(z_0)$ с прямой $z_1 = z_0$ в пространстве параметров A, B, ψ_0 . Условие касания кривой $z_1 = f(z_0)$ с прямой $z_1 = z_0$ в пространстве параметров A, B, ψ_0 вытекает из условия касания кривой $z_1 = f(z_0)$ с прямой $z_1 = z_0$ в пространстве параметров A, B, ψ_0 .



Фиг. 9

Условие касания кривой $z_1 = f(z_0)$ с прямой $z_1 = z_0$ вытекает из условия касания кривой $z_1 = f(z_0)$ с прямой $z_1 = z_0$ в пространстве параметров A, B, ψ_0 . Условие касания кривой $z_1 = f(z_0)$ с прямой $z_1 = z_0$ в пространстве параметров A, B, ψ_0 вытекает из условия касания кривой $z_1 = f(z_0)$ с прямой $z_1 = z_0$ в пространстве параметров A, B, ψ_0 .

На фиг. 10 изображен ряд диаграмм Ламера, построенных для фиксированных значений A, B и ψ_0 .

Количеством записанных периодических движений. Условие касания кривой $z_1 = f(z_0)$ с прямой $z_1 = z_0$ на диаграмме Ламера полностью определяет периодическое решение, которое легко может быть построено последовательным приспособлением кусков траекторий. Возможны периодические решения, состоящие из четырех кусков траекторий. Возможны периодические решения, не выходящие из границ зоны нечувствительности и соответствующее неподвижной точке преобразования (z_0^*, z_1^*) , из шести или из восьми кусков (периодическое решение, выходящее за зону нечувствительности). Шести- или восьмикучное устойчивое периодическое решение появляется, например, при изменении

1 Условие $z_1 = f(z_0), z_1 = z_0, dz_1/dz_0 = 1$ приводит к сложным вычислениям периодических движений. Численно вычисленные точки поверхности D^* удобнее строить, используя диаграммы Ламера, выделяя при заданных A и B зоны нечувствительности. Условие касания кривой $z_1 = f(z_0)$ с прямой $z_1 = z_0$ на диаграмме Ламера полностью определяет периодическое решение, которое легко может быть построено последовательным приспособлением кусков траекторий.

параметров, соответствующим преобразованиям направлений соответственно на куске, где $B < 0$.

Время движения по отдельным кускам выражается формулами для S^+ , S_0^+ , E^+ и E^- . Параметры τ и θ — значения соответствующего времени перехода (безразмерные) уравнений (1, 4), а параметр θ в выражениях для E — безразмерным временем t соотношениями

$$\begin{aligned} 2B\theta &= [4B - (A+B)^2]^{1/2}t & \text{при } 4B - (A+B)^2 > 0 \\ 2B\theta &= [4A - B^2 - 4B]^{1/2}t & \text{при } 4B - (A+B)^2 < 0 \end{aligned}$$

Для установившегося периодического движения, не выходящего за зону неустойчивости, выражение для периода имеет простой вид.

Из формул выражения для S^+ и E^+ , а также соотношения $z_1 = kz_0$, можно определить τ_1 и θ_1 для θ и τ соответственно время движения между пластинами z_0 и $z_1 = z_0$ и по пластинкам ξ_0 и ξ_1 , представить в следующем виде:

$$\tau_1 = \frac{2B}{A+B} \ln \frac{(A-1)(A-1)k^2 + (2-A-B)k - 1}{B[k(A+B)](A+B)k}$$

где k определяется из (2.5) или (2.6).

Период τ неограниченно возрастает, когда периодическое движение выходит из отрезка покоя ($k \rightarrow 0$).

§ 3. Преобразование области в область. Г. Симметричный характер периодического движения. Пусть $M_0(u_0, z_0)$ — точка, взятая на куске S^+ и такая, что допускает применение правильного преобразования S^+ в S_0^+ . Напишем в развернутом виде преобразования, соответствующие последовательным переходам по кускам траекторий в пространстве

$$\begin{aligned} z_0 &= \xi_1, & u_0 &= (A-1)(1 + \xi_1) \frac{e^{-\tau_1} - 1}{\tau_1} + \frac{\tau_1}{2} + A + B - 1 \Big\} S^+ \\ z_1 &= (1 + \xi_1) e^{-\tau_1} - 1, & u_1 &= u_0 - \tau_1 \end{aligned}$$

$$\begin{aligned} z_1 &= \xi_1, & u_1 &= \theta_1^{-1} [(A-1)(e^{-\theta_1} - 1)\xi_1 - 2\psi_0] \Big\} S_0^+ \\ z_2 &= \xi_1 e^{-\theta_1}, & u_2 &= u_1 \end{aligned}$$

$$\begin{aligned} z_2 &= \xi_2, & u_2 &= (A-1)(\xi_2 - 1) \frac{e^{-\tau_2} - 1}{\tau_2} - \frac{\tau_2}{2} - A - B + 1 \Big\} S^- \\ z_3 &= (\xi_2 - 1) e^{-\tau_2} - 1, & u_3 &= u_2 - \tau_2 \end{aligned}$$

$$\begin{aligned} z_3 &= \xi_2, & u_3 &= \theta_2^{-1} [(A-1)(e^{-\theta_2} - 1)\xi_2 + 2\psi_0] \Big\} S_0^- \\ z_4 &= \xi_2 e^{-\theta_2}, & u_4 &= u_3 \end{aligned}$$

Пусть однооборотное периодическое движение проходит через точку M_0 и, следовательно, выполняется условие: $z_4 = z_0$, $u_4 = u_0$. Из уравнений $u_1 = u_0 - \tau_1$, $u_2 = u_1 + \theta_1$, $u_3 = u_2 - \tau_2$, $u_4 = u_3 + \theta_2$ и условий $u_4 = u_0$ следует, что

$$\tau_1 = \tau_2 = \tau_0 \quad (3.1)$$

преобразования, величины τ_0 и θ_0 определяются (3.1), получаем для периода

$$\begin{aligned} \tau_0 &= \frac{2B}{A+B} \ln \left[\frac{(A-1)(A-1)k^2 + (2-A-B)k - 1}{B[k(A+B)](A+B)k} \right] \\ \theta_0 &= \frac{2B}{A+B} \ln \left[\frac{(A-1)(A-1)k^2 + (2-A-B)k - 1}{B[k(A+B)](A+B)k} \right] \\ u_0 &= (A-1)(z_0 - 1) \frac{e^{-\tau_0} - 1}{\tau_0} - \frac{\tau_0}{2} - A - B + 1 \\ u_1 &= (A-1)(z_0 e^{-\theta_0} + 1) \frac{e^{-\tau_0} - 1}{\tau_0} - \frac{\tau_0}{2} - A - B + 1 \\ u_2 &= (A-1)(1 - e^{-\theta_0}) z_0 - 2\psi_0 \\ u_0 - u_2 &= \tau_0 \end{aligned}$$

Здесь нужно еще добавить условия:

$$u_0 + (A-1)z_0 > B, \quad u_1 - (A-1)z_1 \leq 0$$

Нетрудно показать, что группа уравнений (L_0, L_0') при фиксированных A, B, ψ_0 и фиксированном z_0 может удовлетворяться не более чем одной системой значений величин u_0, z_0, θ_2 , так как

$$\frac{dz_0}{du_0} > \frac{1}{1-A} \text{ для } L_0, \quad \frac{dz_0}{du_0} < \frac{1}{1-A} \text{ для } L_0'$$

и, следовательно, L_0 и L_0' , рассматриваемые как кривые в пространстве u_0, z_0 , не могут иметь более одной точки пересечения¹.

Уравнения (L_2, L_2') переходят в уравнения (L_0, L_0') при замене z_0 соответственно через $-z_0, -z_0$, поэтому при тех же фиксированных A, B, ψ_0 и z_0 уравнения (L_2, L_2') могут иметь в качестве решения единственную систему значений

$$u_2 = -u_0, \quad z_2 = -z_0, \quad \theta_2 = \theta_0$$

и, следовательно, однооборотное периодическое движение (если оно существует) симметрично относительно начала координат.

2°. Область существования симметричного периодического движения. В силу соотношений (3.5) группа уравнений (L_2, L_2') системы (3.1) — (3.6)

¹ Первое из неравенств (3.4) очевидно. Во второе влиять вторым слагаемым не удастся, и не вычислить довольно громоздких выражений для dz_0/du_0 . Второе неравенство L_0' можно рассматривать как семейство прямых, зависящих от параметра θ_2 (прямая L_0'), а в совокупности уравнения L_0 определяют и u_0 и z_0 как функции от параметра θ_2 (прямая L_0). Для прямых L_0' и L_0 пересечение семейства прямых L_0' с прямой L_0 соответствует пересечению семейства прямых L_0' с прямой L_0 , т. е. убывающих dz_0/du_0 для прямых L_0 , так как следует из (3.4).

В силу однозначности функций $u_0(\theta_2)$ и $z_0(\theta_2)$ кривая L_0' не может пересекать прямую L_0 . Нетрудно проверить, что движение в направлении возрастания u_0 и z_0 по прямой L_0' соответствует пересечению семейства прямых L_0' с прямой L_0 , т. е. убывающих dz_0/du_0 для прямых L_0 , так как следует из (3.4).

падает с уравнениями (L_0, L_1) . Тогда
 является уравнением $2u_1 = \tau_0$. Выбрав
 u_0, τ_0 , входящие линейно, приходим к

$$\begin{aligned} \vartheta_1 &= -1 \mu \frac{\mu \tau_0 e^{\tau_0} - e^{\tau_0} + 1}{e^{\tau_0} - \mu \tau_0 - 1} \\ \vartheta_2 &= \frac{h}{\tau_0} \frac{h(e^{\tau_0} + 1)}{e^{\tau_0} - 1} \end{aligned}$$

где $\mu = \frac{1}{1+B}$, $\lambda = 2(1-A-B)$, $h = 4(\varphi_0 - A + 1)$

Дополнительные условия (3.3) после исключения из них переменных u_0 и τ_0 (при помощи условия (3.5) и формул для преобразований S^* и S_0^*) можно записать в таком виде:

$$\begin{aligned} \tau_0(1 - e^{-\tau_0}) - k(e^{-\tau_0} + \tau_0 - 1) &= 0 \\ (1 - e^{-\tau_0})(1 - \vartheta_1 \vartheta_2 e^{-\tau_0} - e^{-\tau_0}) \leq 2\varphi_0(e^{\tau_0} + e^{-\tau_0}) \end{aligned} \quad (3.8)$$

Отыскание периодических решений и области существования их сводится к исследованию кривых (3.6) на куске плоскости τ_0, ϑ_2 , выделенном условиями $\tau_0 > 0, \vartheta_2 > 0$ и неравенствами (3.8), и определению точек пересечения и области существования в пространстве параметров точек пересечения этих кривых. Область существования ϑ_2 , определяемого уравнением (3.6), дается неравенством

$$0 < \frac{\mu \tau_0 e^{\tau_0} - e^{\tau_0} + 1}{e^{\tau_0} - \mu \tau_0 - 1} < 1$$

или эквивалентным неравенством

$$\frac{e^{\tau_0} - 1}{\tau_0 e^{\tau_0}} < \mu < \frac{2(e^{\tau_0} - 1)}{\tau_0(e^{\tau_0} + 1)} \quad (3.9)$$

Если $0 < \mu < 1$ и, следовательно, $A < 0, B > 0, 1 - A - B > 0$

то каждому фиксированному μ отвечает интервал значений $\tau_0: \tau_0' < \tau_0 < \tau_0''$, в котором кривая (3.6) существует и существует точка пересечения кривых (3.6) и (3.7). При $\mu > 1$ кривая (3.6) не существует и, следовательно, не могут существовать и периодические движения рассматриваемого типа. Условия (3.10) совместно с условиями (3.8), которые также можно рассматривать, принимая во внимание уравнения (3.6) и (3.7) как соотношения между параметрами A, B и φ_0 , выделяют в пространстве параметров область, для точек которой в G_0 существует неподвижная точка правильного преобразования. Неподвижная точка попадает на край пластинки («внешний» или «внутренний»), если выполняется либо-либо из равенств (3.8), и в этом случае мы опять приходим к плоскости D' , изображенной на фиг. 9. Неподвижная точка уходит в бесконечность, если $1 - A - B = 0$.

Р. Устойчивость периодического движения. Для нахождения устойчивости неподвижной точки и соответствующего периодического движения обратимся к правильному преобразованию $T_0 = S_0^* S^*$. Выберем в формулах для S_0^* величинами τ_0 и u_0 соответствующие пере-

сечению $\tau_0 = \tau_0^*$ координаты промежуточной точки T_0 , приходим к уравнениям:

$$\begin{aligned} x_1 &= x_0 + \tau_0^* x_0 + A + B - 1 \\ y_1 &= y_0 + \tau_0^* y_0 + A + B - 1 \end{aligned} \quad (3.11)$$

где x_0, y_0 — координаты точки T_0 . Полагая $x_1 = x_0 + \tau_0^* x_0 + A + B - 1$ и $y_1 = y_0 + \tau_0^* y_0 + A + B - 1$, приходим к уравнениям:

$$\begin{aligned} x_1 &= x_0 + \tau_0^* x_0 + A + B - 1 \\ y_1 &= y_0 + \tau_0^* y_0 + A + B - 1 \end{aligned}$$

где a, b, θ и τ — соответственно значения координат M_0 и M_1 и параметров τ_1 и ϑ_1 , относящихся к неподвижной точке M_0 и M_1 и преобразований $T_0(M_0 = T_0 M_0)$. Подставляя (3.12) в (3.11), разлагая в ряд по степеням малых величин x, y, ξ, η, h и k и ограничиваясь в разложении только членами первого порядка, получаем

$$\begin{aligned} x &= ay + \left(\frac{1}{2} + \xi\right)h, & h &= \xi + \eta \\ \eta &= -\tau y + \delta h - kb, & k &= \tau \gamma - \beta \xi \end{aligned}$$

где $\alpha = (A-1)\frac{e^{-\theta}-1}{\theta}$, $\beta = (A-1)(1+b)\frac{1-e^{-\theta}}{\theta}$, $\gamma = e^{-\theta}$, $\delta = (1+b)\tau$, $\lambda = \frac{(A-1)(1-e^{-\theta})}{(A-1)\theta e^{\tau} + e^{-\theta}}$, $\mu = \frac{\tau}{(1+b)\theta}$.

Исключая h и k , находим¹

$$\begin{aligned} \xi &= \frac{1/2 - \beta}{1/2 + \beta} x - \frac{\alpha}{1/2 + \beta} y \\ \eta &= \frac{\delta + (\mu\beta(1/2 - \beta))}{(1 + \lambda\beta)(1/2 + \beta)} x - \frac{\gamma(1/2 + \beta) + \alpha(\delta + \mu\beta)}{(1 + \lambda\beta)(1/2 + \beta)} y \end{aligned} \quad (3.13)$$

Устойчивость неподвижной точки и ее характер могут быть определены на основании первого приближения (3.14). Необходимым и достаточным условием асимптотической устойчивости является требование, чтобы корни характеристического уравнения

$$\begin{vmatrix} 0.5 - \beta & -\alpha \\ 0.5 + \beta & -\alpha \\ \delta + \mu\beta(0.5 - \beta) & \gamma(0.5 + \beta) + \alpha(\delta + \mu\beta) \\ (0.5 + \beta)(1 + \lambda\beta) & (\gamma(0.5 + \beta) + \alpha(\delta + \mu\beta)) \end{vmatrix} = 0 \quad (3.14)$$

были по модулю меньше единицы. Обозначим $P = \frac{\alpha(1/2 - \beta)}{(1 + \lambda\beta)(1/2 + \beta)}$, $Q = \frac{\alpha(1/2 + \beta)}{(1 + \lambda\beta)(1/2 + \beta)}$, $R = \frac{\gamma(0.5 + \beta) + \alpha(\delta + \mu\beta)}{(1 + \lambda\beta)(1/2 + \beta)}$, $S = \frac{\alpha(\delta + \mu\beta)}{(1 + \lambda\beta)(1/2 + \beta)}$.

¹ В области $A > 0, B > 0, 1 - A - B > 0$ (фиг. 10) $\mu < 1$.
² Характер неподвижной точки сохраняется и в случае $T_0 = S_0^* S^*$, поскольку корни соответствующего характеристического уравнения не зависят от преобразования (3.15).

тогда усложненное условие устойчивости

$$-p + q + 1 > 0, \quad p + q < 0$$

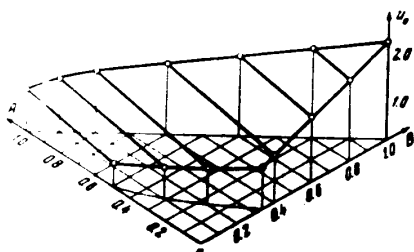
Воспользовавшись (3.16), получаем

$$-p + q + 1 = \frac{1 - \gamma + \beta - \alpha}{(0.5 + \beta)(1 + \lambda)} \quad (3.17)$$

$$p + q - 1 = \frac{2(\alpha\beta + \beta\gamma + \beta) + 2\lambda\alpha + \beta\gamma}{(0.5 + \beta)(1 + \lambda)} \quad (3.18)$$

Нетрудно проверить, что условия (3.17) не выполняются, а условия (3.18) имеют разные знаки. В соответствии с этим для уравнения (3.14) по модулю меньше, а другой больше. Неподвижная точка (и соответствующее периодическое движение) будет неустойчива и будет типа седла.

§ 4. Оценка области сходимости процесса регулирования. Дадим оценку области сходимости процесса регулирования для тех значений параметров A и B , при которых процесс регулятора устойчив, но существует неустойчивое



Фиг. 11

периодическое движение. Пусть $u_0 z_0$ — точка, ваятан на ребре Γ .

$$u + (A - 1)z - B = 0$$

Найдем условия, при которых траектория, проходящая через точку $u_0 z_0$ ребра Γ , опять возвращается на ребро. Для этого достаточно, чтобы преобразование $S: EY_0 \rightarrow EY_1$ (E может быть также тождественным преобразованием) переводило изображающую точку $u_0 z_0$ на пластинку в плоскости $z = z_0$. Требуемое будет, например, заведомо выполнено, если $u_0 < u_*$, а точка $M_1(u_1, z_1)$ лежит на ребре Γ , т.е. так, что

$$S M_1(u_1, z_1) = M_1(u_1, (1 - A)z_1, \bar{z}_1) \quad (4.1)$$

$$S M_1(u_1, z_1) = M_1(u_1, z_1) = M_2(u_1, z_1) \subset \Gamma \quad (4.2)$$

Условие (4.1) дает

$$2B = 2u_0 + \tau_0^2 - \frac{\tau_0^2}{e^{-\tau_0} + \tau_0 - 1} \quad (4.3)$$

а условие (4.2) приводит к неравенству

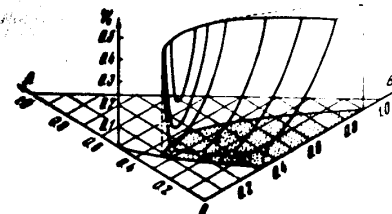
$$2\tau_0 < u_1(1 - \delta - e^{-\delta}) \quad (4.4)$$

$$2B = 2u_0 + \tau_0^2 - \frac{\tau_0^2}{e^{-\tau_0} + \tau_0 - 1} \quad (4.5)$$

Значение u_0 будет характеризовать область сходимости, если начальные условия $\phi = \phi_0$. Фиг. 11 позволяет оценить u_0 от параметров A и B . Значения u_0 на границе, определяемых поверхностью

$$2B = 2u_0 + \tau_0^2 - \frac{\tau_0^2}{e^{-\tau_0} + \tau_0 - 1} \equiv F(A, B) \quad (4.6)$$

и $u_0 = u_*$ изображены на фиг. 12.



Фиг. 12

Для заданных A и B значения ϕ_0 вычисляются по уравнениям (4.3), (4.4) и (4.6). Цилиндрическая поверхность

$$2B = 2u_0 + \tau_0^2 - \frac{\tau_0^2}{e^{-\tau_0} + \tau_0 - 1}$$

$$A = \frac{2u_0 + \tau_0^2 - \frac{\tau_0^2}{e^{-\tau_0} + \tau_0 - 1}}{2u_0(e^{-\tau_0} + \tau_0 - 1)}$$

является для (4.6) асимптотической поверхностью. Вне области сходимости (4.6), ограниченной кривой (4.7) и кривой D смены устойчивости отрезка покоя, величина u_0 дает оценку области сходимости процесса регулирования независимо от величины параметра ϕ_0 .

Поступило 15 IV 1975

ЛИТЕРАТУРА

1. Андреев А.А. и Блауин П.П. Теория стабилизации курса полетов самолета при помощи автопилота с постоянной скоростью сервомотора. Изд. ВВС, вып. 3, 1975.

О ДВИЖЕНИИ МАТЕРИАЛЬНОЙ ТОЧКИ ВНУТРИ БЫСТРО ВРАЩАЮЩЕГОСЯ КОНУСА

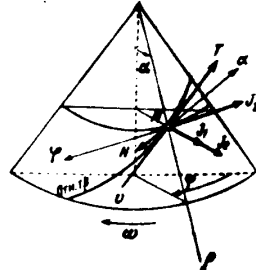
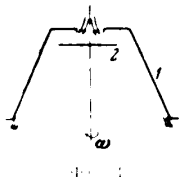
Е. М. ГОЛЬДИН
(Ленинград)

Исследована динамика моделирует различные технологические процессы ускоренной химической и пищевой промышленности, которые осуществляются при помощи инерционных центрифуг. Так, для обогащения раздробленного угля после его обогащения применяется конструкция (фиг. 1), состоящая из конического ситчатого ротора 1 и тарелки 2, быстро вращающихся вокруг своей оси. Влажная угольная масса подается на тарелку, образующуюся на внутренней поверхности ротора и движется по ней к выходному сечению, теряя в пути влагу, которая удаляется через отверстия в сите. Несмотря на широкое применение инерционных центрифуг, теория движения для них почти не разработана. В настоящей статье даны некоторые результаты анализа движения точки. Кроме того, даны некоторые результаты исследования движения материальной точки в плоскости, выходящей из вершины конуса. Тема данной статьи возникла в сотрудничестве с Всесоюзным научно-исследовательским институтом «Углубоочемне».

1. Дифференциальные уравнения движения. Для вывода уравнений движения материальной точки по внутренней поверхности быстро вращающегося конуса выберем сферическую систему координат ρ, φ, α , жестко связанную с конусом и с центром в его вершине (фиг. 2).

Относительное движение точки M происходит под действием инерционных сил J , силы трения T и нормальной реакции N . По сравнению с ними силой тяжести пренебрежем.

Центробежная сила $J_1 = m\omega^2 \sin^2 \alpha$ лежит в осевой плоскости, проходящей через данную точку M , и перпендикулярна к оси конуса. Такое же направление имеет составляющая кориолисовой силы, связанная с компонентой относительной скорости $v_r = \dot{\rho} \sin \alpha$. Величина этой составляющей $J_2 = 2m\omega \dot{\rho} \sin \alpha$, где ω — угловая скорость конуса. Вектор составляющая кориолисовой силы связана со скоростью $v_{\varphi} = \dot{\varphi} \rho \sin \alpha$ величиной $J_3 = 2m\dot{\varphi} \rho \sin \alpha$. Ее направление прямо противоположно направлению



Фиг. 2

... скорости v . Напомен...

... составляющих ρ, φ, α и составляющих массы на проекции относительно... преобразований получим дифференциальные уравнения движения материальной точки

$$(v = \sqrt{\dot{\rho}^2 + \dot{\varphi}^2 \rho^2 \sin^2 \alpha}) \quad (1.1)$$

... реакции

$$N = m\rho(\omega + \dot{\varphi})^2 \sin \alpha \cos \alpha \quad (1.2)$$

Для интегрирования нелинейной системы (1.1) необходимо знать закон изменения скорости T . В данной статье рассмотрен случай, когда сопротивляющаяся пропорциональна относительной скорости v , а также случай сухого трения, когда $T = jN$.

2. Сопроизведение, пропорциональное скорости. Подставим в (1.1) $T = \gamma v$, где γ — коэффициент пропорциональности, и введем безразмерные переменные: абсолютную угловую скорость x материальной точки и логарифмическую скорость y в направлении образующей конуса;

$$x = \frac{\omega + \dot{\varphi}}{\omega}, \quad y = \frac{\dot{\rho}}{\rho \omega \sin \alpha}$$

Другими словами, x характеризует степень вовлечения материальной частицы во вращательное движение конуса, а y дает отношение скорости частицы в направлении образующей к скорости конуса.

Введем также τ — безразмерное время движения и безразмерный коэффициент сопротивления, k — коэффициент в пределах от нуля до ∞ .

$$\tau = \omega \sin \alpha t, \quad k = \frac{\gamma}{2\omega \sin \alpha}$$

В новых переменных вместо (1.1) получим нелинейную систему

$$x' - 2k(1-x) + 2xy = 0, \quad y' + 2ky + y^2 - x^2 = 0 \quad (1.3)$$

где, как и в дальнейшем, штрихами обозначены производные по τ . Эта система эквивалентна одному уравнению с разделенными переменными на комплексной плоскости $z = x + iy$. В самом деле, умножив второе из уравнений (2.1) на i и складывая с первым, найдем

$$z' - iz^2 + 2kz = 2k - 0 \quad (2.1)$$

Комплексная плоскость $z = x + iy$ представляет собой фазовую плоскость, наглядно характеризующую различные компоненты скорости материальной точки, движущейся внутри конуса (фиг. 3). Так, если $x = y = 0$ материальная точка находится в абсолютном покое, если $x = 1, y = 0 \rightarrow$ относительном покое. Верхняя полуокружность $y = 0, x < 1$ — это траектория движения точки к выходному сечению конуса, а нижняя — к его вершине. При $x = 1$ материальная точка находится в относительном покое во вращательное движение конуса, при $x = 0$ — в абсолютном покое относительно вдоль его образующей.

Перепишем (2.2) в виде

$$z' = i(z - z_0) \sqrt{1 - \frac{z}{z_0}}$$

где z_1 и z_2 — корни квадратного уравнения

$$z^2 + 2kiz - 2ki = 0$$

Нетрудно вычислить, что

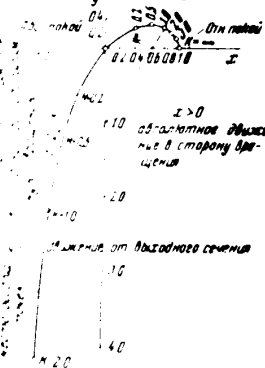
$$z_1 = x_1 + iy_1, \quad z_2 = x_2 + iy_2, \quad x_1 \pm ix_2 \sqrt{\frac{1-x_1}{1+x_1}} = z_1 \pm ik \frac{1-x_1}{z_1} \quad (2.5)$$

причем

$$x_1 = -x_2 \sqrt{1 - k^2 + \frac{1}{4}k^4 - \frac{1}{4}k^2}$$

Интегрирование (2.5) с учетом начальных данных $\tau = 0, z = z_0$ дает

Движение z в фазовой плоскости



Фиг. 3

Эта кривая является особой для фазовой плоскости соответствующего маятника и устойчивого фокуса. Согласно (2.5) метрические моменты z_1 и z_2 при различных коэффициентах трения k притягиваются к кривой

$$y = \sqrt{\frac{1-x}{1+x}}$$

которая изображена на фиг. 3. Эта кривая определяется в промежутке $-1 < x < 1$, причем $z_1(k)$ соответствует значениям $x > 0$, а $z_2(k)$ — значениям $x < 0$.

На фиг. 4 показаны фазовые траектории при $k = 0.5$. Мышечные k в принципе не нарушают локальной картины. При увеличении k полюс z_1 стремится к $z = -1$ (табл. 1), полюс z_2 удаляется на бесконечность и фазовые траектории соответственно вытягиваются. При уменьшении k оба полюса приближаются к $z = 0$, что также приводит к изменению

Таблица 1

k	характеристические значения		
	Re z	Im z ₁	Im z ₂
0	0.000	2.000	2.000
0.1	0.001	1.992	1.992
0.2	0.003	1.976	1.976
0.3	0.006	1.951	1.951
0.4	0.010	1.917	1.917
0.5	0.015	1.875	1.875
0.6	0.021	1.825	1.825
0.7	0.028	1.768	1.768
0.8	0.036	1.704	1.704
0.9	0.045	1.633	1.633
1.0	0.050	1.557	1.557
∞	1.000	0	∞

формации траекторий. Во всех случаях изображающая точка стремится к своему предельному значению $z_1(k)$. Скорость изображающей точки определяется формулой (2.3), откуда модуль скорости равен $z_1(k)|z - z_2(k)|$ и при фиксированном z и возрастании k , вообще говоря, увеличивается на увеличение модуля $z_1(k)$.

Из сказанного выше следует, что при движении материальной точки по внутренней поверхности быстро вращающегося конуса ее угловая скорость $-\dot{x}$ и логарифмическая скорость в направлении образующей $-\dot{y}$ асимптотически стремятся к некоторым предельным значениям x_1, y_1 тем быстрее, вообще говоря, чем больше коэффициент сопротивления.

Для дальнейшего представим (2.6) в виде

$$z = z_1 + \frac{(z_1 - z_2) Z e^{i(\tau - \tau_0)}}{1 - Z e^{i(\tau - \tau_0) \frac{z_1 - z_2}{z_0 - z_2}}} \quad (Z_0 = \frac{z_0 - z_1}{z_0 - z_2}) \quad (2.7)$$

Левую часть (2.7) можно преобразовать так:

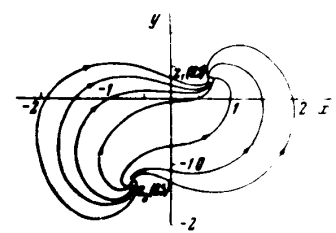
$$z = x + iy = \frac{\rho}{\omega} \dot{\varphi} + i \frac{\rho}{\omega} \dot{\varphi} \sin \alpha + i \ln \frac{1 - Z e^{i(\tau - \tau_0)}}{1 - Z_0 e^{i(\tau - \tau_0) \frac{z_1 - z_2}{z_0 - z_2}}}$$

Отсюда, интегрируя (2.7) и пользуясь начальными данными $z = z_0, \tau = \tau_0$, получим

$$\tau + \varphi \sin \alpha + i \ln \frac{\rho}{\rho_0} = z_1 + i \ln \frac{1 - Z e^{i(\tau - \tau_0)}}{1 - Z_0 e^{i(\tau - \tau_0) \frac{z_1 - z_2}{z_0 - z_2}}} \quad (2.8)$$

Остаток здесь полностью часть от мнимой и логарифма найдем полагая, что движение материальной точки имеет вид

$$\rho = \rho_0 e^{i \varphi} \quad \varphi \sin \alpha = (z_1 - 1) \tau - \arg \frac{1 - Z e^{i(\tau - \tau_0)}}{1 - Z_0 e^{i(\tau - \tau_0) \frac{z_1 - z_2}{z_0 - z_2}}} \quad (2.9)$$



Фиг. 4

Таблица 3

β_0	β_1	β_2	β_3	β_4	β_5	β_6	β_7	β_8	β_9	β_{10}
0.000	0.000	0.000	0.000	0.000	0.000	0.000	0.000	0.000	0.000	0.000
0.001	0.001	0.001	0.001	0.001	0.001	0.001	0.001	0.001	0.001	0.001
0.002	0.002	0.002	0.002	0.002	0.002	0.002	0.002	0.002	0.002	0.002
0.003	0.003	0.003	0.003	0.003	0.003	0.003	0.003	0.003	0.003	0.003
0.004	0.004	0.004	0.004	0.004	0.004	0.004	0.004	0.004	0.004	0.004
0.005	0.005	0.005	0.005	0.005	0.005	0.005	0.005	0.005	0.005	0.005
0.006	0.006	0.006	0.006	0.006	0.006	0.006	0.006	0.006	0.006	0.006
0.007	0.007	0.007	0.007	0.007	0.007	0.007	0.007	0.007	0.007	0.007
0.008	0.008	0.008	0.008	0.008	0.008	0.008	0.008	0.008	0.008	0.008
0.009	0.009	0.009	0.009	0.009	0.009	0.009	0.009	0.009	0.009	0.009
0.010	0.010	0.010	0.010	0.010	0.010	0.010	0.010	0.010	0.010	0.010

Значения β_k для больших k согласно (2.5), можно вычислять, используя формулу

$$\beta_k = 1 - \frac{1}{2k}, \quad \beta_{k+1} = \frac{\beta_k}{2k+1}$$

Учитывая, кроме того, что $\tau = \omega \sin \alpha$, получим из (3.5) следующие формулы в явном виде

$$\rho = \rho_0 \exp\left(\frac{\omega \sin \alpha}{2k} t\right), \quad \tau = \frac{\omega t}{2k} \quad (3.4)$$

Формулы (3.2) и (3.4) относятся к случаю больших сопротивлений (малая теория протозоложкий случай пренебрежимо малых сопротивлений).

Интересно, что в случае $k=0$ дает

$$z = \frac{\rho_0}{1 - i\omega t} \quad (3.5)$$

Отсюда видно, что при любом ρ_0 и $\tau \rightarrow \infty$ будем иметь $z \rightarrow 0$, т. е. в случае пренебрежимо малых сопротивлений предельным состоянием материальной точки конуса будет состояние абсолютного покоя.

Разделяя в (3.5) вещественную и мнимую части, найдем

$$z = \frac{\rho_0}{z^2 + 1 + i\omega t} \quad \rho = \frac{\rho_0}{z^2 + 1} \quad \tau = \frac{\omega t}{z^2 + 1} \quad (3.6)$$

Соответственно для фазовых траекторий получим окружности

$$\left(z - \frac{z_0^2 + \beta_0^2}{2z_0}\right)^2 + y^2 = \left(\frac{z_0^2 + \beta_0^2}{2z_0}\right)^2 \quad (3.7)$$

показанные на фиг. 5. Согласно (2.2) скорость движения изображаемой точки по этим окружностям прямо пропорциональна квадрату радиуса от начала координат.

Уравнения движения материальной точки внутри конуса при $k=0$ можно записать, переписывая (3.5) в виде

$$1 + \varphi \sin \alpha + i \frac{\rho}{z_0} = 1 - i\omega t$$

и интерпретируя это равенство с учетом начальных данных $\rho = \rho_0$ и $\tau = 0$, что дает

$$\tau + \varphi \sin \alpha + i \ln \frac{\rho}{\rho_0} = i \ln(1 - i\omega t)$$

Таблица 4

β_0	β_1	β_2	β_3	β_4	β_5	β_6	β_7	β_8	β_9	β_{10}
0.000	0.000	0.000	0.000	0.000	0.000	0.000	0.000	0.000	0.000	0.000
0.001	0.001	0.001	0.001	0.001	0.001	0.001	0.001	0.001	0.001	0.001
0.002	0.002	0.002	0.002	0.002	0.002	0.002	0.002	0.002	0.002	0.002
0.003	0.003	0.003	0.003	0.003	0.003	0.003	0.003	0.003	0.003	0.003
0.004	0.004	0.004	0.004	0.004	0.004	0.004	0.004	0.004	0.004	0.004
0.005	0.005	0.005	0.005	0.005	0.005	0.005	0.005	0.005	0.005	0.005
0.006	0.006	0.006	0.006	0.006	0.006	0.006	0.006	0.006	0.006	0.006
0.007	0.007	0.007	0.007	0.007	0.007	0.007	0.007	0.007	0.007	0.007
0.008	0.008	0.008	0.008	0.008	0.008	0.008	0.008	0.008	0.008	0.008
0.009	0.009	0.009	0.009	0.009	0.009	0.009	0.009	0.009	0.009	0.009
0.010	0.010	0.010	0.010	0.010	0.010	0.010	0.010	0.010	0.010	0.010

Для табл. 4 $\beta_k = 1 - \frac{1}{2k}$ при этом, все параметры определены в соответствии с табл. 3 для больших k и начальных скоростей

$$\beta_0 = \frac{\rho_0}{z_0} \sin \alpha$$

$$1 - \frac{z_0}{z_0} = \frac{z_0 - z_0}{z_0} = 0$$

Для табл. 4 $\beta_k = 1 - \frac{1}{2k}$ при этом, все параметры определены в соответствии с табл. 3 для больших k и начальных скоростей

$$1 - \frac{z_0}{z_0} = \frac{z_0 - z_0}{z_0} = 0$$

Для табл. 4 $\beta_k = 1 - \frac{1}{2k}$ при этом, все параметры определены в соответствии с табл. 3 для больших k и начальных скоростей

Для табл. 4 $\beta_k = 1 - \frac{1}{2k}$ при этом, все параметры определены в соответствии с табл. 3 для больших k и начальных скоростей

Для табл. 4 $\beta_k = 1 - \frac{1}{2k}$ при этом, все параметры определены в соответствии с табл. 3 для больших k и начальных скоростей

Для табл. 4 $\beta_k = 1 - \frac{1}{2k}$ при этом, все параметры определены в соответствии с табл. 3 для больших k и начальных скоростей

Для табл. 4 $\beta_k = 1 - \frac{1}{2k}$ при этом, все параметры определены в соответствии с табл. 3 для больших k и начальных скоростей

Для табл. 4 $\beta_k = 1 - \frac{1}{2k}$ при этом, все параметры определены в соответствии с табл. 3 для больших k и начальных скоростей

Для табл. 4 $\beta_k = 1 - \frac{1}{2k}$ при этом, все параметры определены в соответствии с табл. 3 для больших k и начальных скоростей

Для табл. 4 $\beta_k = 1 - \frac{1}{2k}$ при этом, все параметры определены в соответствии с табл. 3 для больших k и начальных скоростей

Для табл. 4 $\beta_k = 1 - \frac{1}{2k}$ при этом, все параметры определены в соответствии с табл. 3 для больших k и начальных скоростей

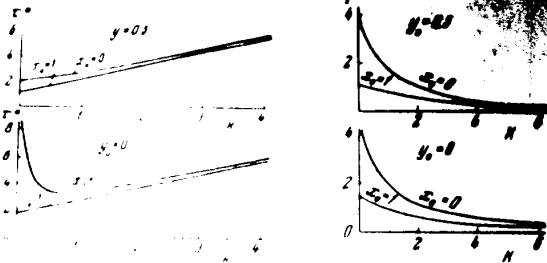
Для табл. 4 $\beta_k = 1 - \frac{1}{2k}$ при этом, все параметры определены в соответствии с табл. 3 для больших k и начальных скоростей

Для табл. 4 $\beta_k = 1 - \frac{1}{2k}$ при этом, все параметры определены в соответствии с табл. 3 для больших k и начальных скоростей

Отсюда находим известные уравнения

$$\rho = \rho_0 \sqrt{x_0^2 + (1 + y_0^2)^2}, \quad \text{где } \rho_0 = \frac{1}{k} \quad (3.2)$$

Для иллюстрации полученных формул (3.2), (3.4) и (3.5) проведены расчеты времени фугования τ^* и угла φ^* для



Фиг. 7

для различных начальных скоростей x_0, y_0 и различных коэффициентов трения k . При расчетах, в соответствии с реальными условиями, принималось $\rho^* = 2\rho_0$ и $\alpha = 30^\circ$. Результаты показаны на фиг. 6 и 7.

Из графиков видно, что начальная окружная скорость y_0 в значительной степени отражается на результирующих характеристиках фугации конуса по сравнению с начальной скоростью x_0 . Кроме того, при возрастании k угол φ^* при фугации конуса уменьшается, а время фугации увеличивается. Кроме того, при возрастании k угол φ^* при фугации конуса уменьшается, а время фугации увеличивается. Кроме того, при возрастании k угол φ^* при фугации конуса уменьшается, а время фугации увеличивается.

4. Различные формы уравнений при сухом трении. Перейдем к случаю, когда коэффициент трения k является функцией от радиуса конуса r . В этом случае формулы Кулона $T = fN$, где f — коэффициент трения, являются нелинейными, определяемая формулой (1.2) система уравнений в частных производных по безразмерным величинам x, y , введенным в предыдущем параграфе, в фазовой плоскости, получим систему:

$$\begin{cases} \dot{x} = -x + b \frac{y^2}{1+x^2} \\ \dot{y} = -y + b \frac{x^2}{1+x^2} \end{cases} \quad (4.1)$$

где $b = \frac{1}{k} \frac{d k}{d r}$ — коэффициент трения сухого трения.

Эта система может быть переписана в виде дифференциальной формы, удобной для геометрических интерпретаций

$$d \frac{x^2 + y^2}{x^2 + y^2 + 1} - b \sqrt{(1-x^2)^2 + y^2} d \arctg \frac{y}{1-x} \quad (4.2)$$

в декартовых координатах x, y и полярных R, θ соответственно

$$y = R \sin \theta \quad (4.3)$$

в полярных координатах приобретают вид

$$\dot{R} = -R + b \cos^2 \theta, \quad R \dot{\theta} = (1 + R^2) \cos \theta - 2R \quad (4.4)$$

В декартовых координатах получим

$$d \frac{1-R^2}{1-R^2 \cos^2 \theta} + b R d \theta = 0 \quad (4.5)$$

5. Особые точки фазовой плоскости. Точки фазовой плоскости x' и y' или соответственно R' и $R\theta'$ образуются одновременно в нуль или терпят сдвиг, называются особыми.

При помощи (4.1) можно сразу отметить две такие точки, не зависящие от коэффициента сопротивления b : начало декартовых координат ($x = y = 0$), что соответствует абсолютному покою, и начало полярных координат ($x = 1, y = 0$), которое соответствует относительному покою материальной точки в конусе. Для первой из них обращаются в нуль x' и y' , а для второй эти производные получаются неопределенными.

Чтобы найти остальные особые точки, приравняем нулю правые части уравнений (4.4); при этом из последнего имеем

$$\cos \theta = \frac{2R}{1+R^2}, \quad \sin \theta = \pm \frac{1-R^2}{1+R^2}$$

Согласно первому из уравнений (4.4) получим для R

$$\frac{(1-R^2)^2}{1+R^2} \left(\pm 1 - \frac{b}{1+R^2} \right) = 0$$

Случай $R = 1$ соответствует $\theta = 0$, т. е. $x = y = 0$, и уже отмечен. Кроме того, $b > 0$, и поэтому нужно сохранить только знак \pm . Особые точки фазовой плоскости в полярных координатах будут

$$R = \sqrt{b-1}, \quad \sin \theta = \frac{2-b}{b}, \quad \cos \theta = \frac{2\sqrt{b-1}}{b} \quad (4.6)$$

Из (5.1) видно, что каждому значению коэффициента трения b (большому единицы, соответствует определенная, вообще говоря, ответственная, особая точка фазовой плоскости. Единственным исключением только при $b = 1$ и $b = 2$, особые точки для которых совпадают с $x = 1, y = 0$ и $x = y = 0$. Последние, как указывалось в предыдущем параграфе, являются особыми при любых b .

В декартовых координатах особые точки определяются формулами

$$x = 1 - R \cos \theta = \frac{2-b}{b}, \quad y = R \sin \theta = \frac{2\sqrt{b-1}}{b} \quad (4.7)$$

Исключая отсюда b , получим уравнение геометрического места особых точек в виде

$$y = x \sqrt{1-x}$$

что полностью совпадает с аналогичным геометрическим местом для случая сопротивления, пропорционального скорости (фиг. 3).

6. Особая точка в начале координат. Если x и y малы, то x^2 и y^2 можно пренебречь в уравнениях (4.1) относительно членов порядка малости, что дает

$$x' = bx^2 - 2xy, \quad y' = x^2 - y^2 \quad (4)$$

Отсюда для фазовых траекторий получим уравнение

$$\frac{dy}{dx} = \frac{x^2 - y^2}{bx^2 - 2xy}$$

Полученное уравнение имеет вид

$$x^2 - byy - y^2 - cx = 0 \quad (6.2)$$

после интегрирования.

Фазовые траектории в зависимости от коэффициента b различны: для $b < 2$ — эллипсы ($b=2$), либо параболы ($b=2$).



Фиг. 8



Фиг. 10

В фазовых траекториях проходит через начало координат и ось y , если $c \neq 0$. Направление движения изображающей точки вдоль траектории очевидно из второго уравнения (4). При $y^2 < x^2$, т. е. внутри области, заключенной между прямыми $y = x$ и $y = -x$, движение происходит в сторону увеличения y и увеличения x в обратном направлении.

Фазовые траектории (6.2) изображены для различных b на фиг. 8, 9, 10. Во всех случаях положительная и отрицательная ветви оси y представляют собой также фазовые траектории. В случае $b < 2$ особую точку $x = y = 0$ можно считать устойчивой в смысле Ляпунова, если исключить отрицательное направление оси y . В случае $b = 2$, как видно на фиг. 9, область $y > x$ соответствует асимптотическому приближению к изображающей точки к положению покоя, а область $y < x$ — удалению от покоя. В случае $b = 2$ (фиг. 10) вырожденная гипербола, образуемая прямыми

$$y = (b/2 \pm 1)^{1/2} x,$$

делит окрестность особой точки на четыре характерные области. Изображающая точка, перемещаясь внутри тупых углов, образованных этими прямыми, асимптотически приближается или удаляется относительно начала координат, а при перемещении внутри острых углов вовсе не проходит через точку $x = y = 0$.

Чтобы получить уравнения движения изображающей точки, найдем из (6.2) y как функцию x и подставим в первое из уравнений (4.1).

Из этих уравнений снова видно, что точка $x = y = 0$ является особой, которая достигается изображающей точкой при $t = \pm \infty$. При $b = 2$ и $x_0 = y_0$, уравнения (6.3) имеют неопределенность типа $0/0$. Одна из особенностей в этом случае непосредственно из (6.1) следует $x^2 = y^2 = 0$, т. е. биссектриса $x = y$ при $b = 2$ вблизи начала координат является геометрическим местом особых точек, имеющих, как видно на фиг. 9, неустойчивый характер.

$$c = \frac{a^2 - b_0 y_0 + y_0^2}{a_0}, \quad b_0 = \frac{y_0}{x_0} - \frac{b}{2} \quad (6.3)$$

При помощи (6.3) нетрудно получить уравнения движения изображающей точки в быстро вращающемся конусе вблизи положения соответствующего абсолютному покою. Подставляя в левые части (6.1) $x = 1 + \rho' \sin \alpha$, $y = \frac{\rho'}{\rho}$ и интегрируя, найдем при различных значениях b

$$\rho^2 = \rho_0^2 \frac{(\sigma t + \delta_0 \rho + 1 - 1/\rho^2) e^{b\sigma t}}{\delta_0^2 + 1 - 1/\rho_0^2}, \quad \rho \sin \alpha = -\sigma t + F$$

$$F = \frac{1}{\sqrt{1 - 1/\rho_0^2}} \operatorname{arctg} \frac{c \sqrt{1 - 1/\rho_0^2} t}{\delta_0 (\sigma t + \delta_0) + 1 - 1/\rho_0^2}$$

$$F = \frac{\sigma t}{\delta_0 (\sigma t + \delta_0)}$$

$$F = \frac{1}{\sqrt{1/\rho_0^2 - 1}} \ln \frac{\sigma t + \delta_0 - \sqrt{1/\rho_0^2 - 1}}{\sigma t + \delta_0 + \sqrt{1/\rho_0^2 - 1}}$$

По этим формулам можно подсчитать время пребывания частицы в конусе, траектория частицы, а также углы отклонения на выходе. Для иллюстрации произведены подсчеты времени схода, которое в соответствии с (6.4), обратно пропорционально арифметическому значению параметра ρ . При расчетах значение ρ на выходе принималось равным единице, а начальная длина выбиралась на оси x , т. е. $x_0 = c$, $y_0 = 0$. Результаты времени схода изображены на фиг. 11. Полученный график показывает, что при различных значениях концентричности конуса $x = y = 0$ и выбранных параметрах с осью x .

ных данных, второй квадрат...

Углы отклонения на выходе...

ле $\varepsilon \sin \alpha = -\varepsilon$. Траектории...

расчетов и представляют собой...

спирали, близкие к кривым $\rho = \text{const}$.

7. Особая точка $x = 1, y = 0$. Для изучения...

шей точки при сухом трении...

относительно нулевой материальной...

уемой дифференциальной формой (4.5).

Замечая, что в окрестности...

полярная координата θ ...

вместе с точностью до слагаемого...

второго порядка малости



$$\frac{1-R^2}{1-R \cos \theta} \approx 1 + R \cos \theta$$

Подставив (4.5) дает

$$\frac{dR}{R} = \frac{\sin \theta}{\cos \theta} b d\theta \quad (7.1)$$

Тогда в явном уравнение фазовой траектории в следующем виде

$$R = A \cos^b \theta \operatorname{tg}^{-b} \left(\frac{1}{4}\pi + \frac{1}{2}\theta \right) \quad (7.2)$$

После интегрирования.

Для произвольной A достаточно задать координаты R_1, θ_1 произвольной точки, расположенной на кривой (7.2). В качестве такой точки возьмем точку пересечения фазовой траектории с осью абсцисс, т. е. положим $\theta_1 = 0$ или $\theta_1 = \pi$. Тогда

$$A = \begin{cases} R_1 \cos^b \theta_1 \operatorname{tg}^{-b} \left(\frac{1}{4}\pi + \frac{1}{2}\theta_1 \right) & (\theta_1 = 0) \\ (-1)^b (1 - x_1) & (\theta_1 = \pi) \end{cases} \quad (7.3)$$

В точке пересечения.

В полярных координатах вместо (7.2) получим

$$r = \frac{1-x}{2} \left[\frac{1-x}{1-x_1} \right]^{\frac{1}{b}} \left[\frac{1-x}{1-x_1} \right]^{\frac{1}{b}} \left[\frac{1-x}{1-x_1} \right]^{\frac{1}{b}}$$

Подставив (7.3) и (7.4) и приняв в виде обозначения, запишем уравнение фазовой траектории в виде

$$r = \frac{1-x}{2} \left[\frac{1-x}{1-x_1} \right]^{\frac{1}{b}} \left[\frac{1-x}{1-x_1} \right]^{\frac{1}{b}} \left[\frac{1-x}{1-x_1} \right]^{\frac{1}{b}} \quad (7.5)$$

Из (7.5) вытекает, что на фазовой кривой располагаются симметричные относительно оси абсцисс точки, координаты пропорциональны величине $(1-x)^{1/b}$ и являются монотонной на оси абсцисс (фиг. 13, 13, 14).

Перейдем к явной зависимости координат изображающей точки от времени t . Для этого перейдем первое из уравнений (7.2) с учетом малости R к виду $R' = \sin \theta - b$. Исключая отсюда R из второго уравнения (7.2), получим

$$d\theta/dt = \cos^2 \theta \operatorname{tg}^b \left(\frac{1}{4}\pi + \frac{1}{2}\theta \right)$$

$$\int (x^2 + x^{-2}) dx$$

$$\left(\frac{1}{3}x^3 + x^{-1} \right)$$

Зависимость между полярным углом θ и $(\theta - 1)$

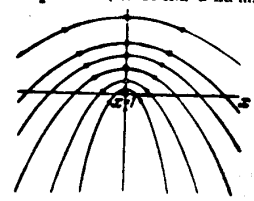
$$\operatorname{tg}^{-b} \left(\frac{1}{4}\pi + \frac{1}{2}\theta \right) - (1-b) \operatorname{tg}^{-b} \left(\frac{1}{4}\pi + \frac{1}{2}\theta \right) = C_1$$

$$\operatorname{tg}^{-b} \left(\frac{1}{4}\pi + \frac{1}{2}\theta \right) - \frac{1}{2} \operatorname{tg}^{-2} \left(\frac{1}{4}\pi + \frac{1}{2}\theta \right) = C_2$$

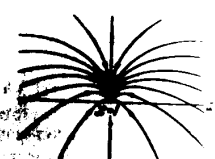
Возвращаясь к декартовым координатам, заметим согласно (7.2) и (4.3), что

$$\operatorname{tg}^{-b} \left(\frac{1}{4}\pi + \frac{1}{2}\theta \right) = \frac{1-r}{1}$$

Кроме того, для простоты ограничимся случаем $x_0 = x_1$, т. е. случаем, когда изображающая точка в начальный момент времени находится на оси



Фиг. 13



Фиг. 14

абсцисс. Тогда, вычисляя постоянные интегрирования C_1 и C_2 и преобразовывая (7.6), получим зависимость между вспомогательной координатой $\chi = (1-x)/(1-x_1)$ и t в виде

$$\frac{t}{(1-x_1)} = \frac{1}{2(1-b^2)} \chi \left[(1+b)\chi^{-\frac{1}{b}} - (1-b)\chi^{\frac{1}{b}} \right] - \frac{b}{1-b^2} \ln \chi$$

$$\frac{t}{(1-x_1)} = -\frac{1}{2} \ln \chi - \frac{1}{4} \chi^2 + \frac{1}{4} \quad (7.7)$$

Отсюда нетрудно установить, что от своего начального положения на оси абсцисс (когда $\chi = 1$) изображающая точка движется в направлении $x = 1$, что соответствует направлению движения, соответствующему фиг. 13, 14. Однако характер этого движения существенно различается при небольшом трении, когда $b < 1$, вертикали $x = 1$ является асимптотой для фазовых траекторий. Изображающая точка вначале движется в направлении удаления от особого положения, замедляя свою скорость, достигая в конечном счете и асимптоты (фиг. 12). При $b = 1$ вертикаль $x = 1$ является неустойчивым местом устойчивых положений равновесия. Изображающая точка приходит за бесконечный промежуток времени к особому положению. Наконец, при $b > 1$ (фиг. 14) изображающая точка ни

ходит в особое положение...

В технологической практике ускорение...
 внутри вращающегося конуса называется заданной...
 этого материала. Формула (7.8) показывает время...
 вращения при рассмотренных начальных данных...
 при этом вращение может и не иметь места, если...
 конуса. Для выяснения этого интересного вопроса...
 интересного вопроса нужно рассмотреть зависимость...
 от ρ (τ), которая, в свою очередь, является...
 зависимости $y = \rho^2 / (1 - x_1)$ от ρ и...
 из (7.5) и (7.7) получим

$$\lambda = \frac{\rho^2}{1 - x_1}$$

$$1 - e^{-\lambda \tau} - 2\tau \lambda + \frac{1}{4} \tau^2 = 0 \quad (7.9)$$

Для различных b поспрашивая...
 графическим путем...
 между b и τ по формуле

$$\int_0^{\tau} (1 - x_1)^2 \gamma(x) dx \quad (7.10)$$

однако, установлением границ для времени фугования...
 гарантирующего при выбранных начальных данных...
 внутри конуса.

Если $b > 1$ величина τ согласно (7.5) заключена между нулем...
 и τ . Поэтому из (7.9) имеем в этом случае

$$\frac{1}{4} \ln(1 - 2\tau) < \lambda \tau < \frac{1}{4} \ln(1 - 2\tau) + \frac{1}{4}$$

или

$$1 - e^{-\lambda \tau} < 2\tau \lambda < 1 - e^{-\lambda \tau} + \frac{1}{4}$$

Далее при помощи (7.10) находим

$$\lambda \tau < \frac{1}{4} (1 - e^{-\lambda \tau}) + \frac{1}{4} \ln \frac{\rho^2}{1 - x_1} < \frac{1}{4} (1 - e^{-\lambda \tau})$$

или, усиливая, неравенства

$$\frac{1}{4} \ln \frac{\rho^2}{1 - x_1} < \lambda \tau < \frac{1}{4} \ln \frac{\rho^2}{1 - x_1} + \frac{1}{4}$$

Полагая теперь $\rho = \rho_0$ переменную τ . Тогда...
 неравенства для времени фугования τ

$$\frac{1}{4} \ln \frac{\rho_0^2}{1 - x_1} < \tau < \frac{2}{1 - x_1} \ln \frac{\rho_0^2}{1 - x_1} + \frac{1 - x_1}{4} \quad (7.11)$$

Формула (7.11) дает весьма узкие пределы для...
 при $b = 1$ ввиду малости $|1 - x_1|$ близки к...

Аналогичные неравенства можно вывести и для...

вращающегося конуса.

границы для τ

$$(7.12)$$

определяется из условия, что...
 быть меньше, чем время, по...
 согласно (7.8).

$$\frac{b}{b-1} |1 - x_1| \quad (7.13)$$

получаем условие для коэффициента...
 рассмотренных начальных данных, от...
 и

$$\frac{b}{b-1} > \frac{2}{|1 - x_1|} \ln \frac{\rho_0^2}{1 - x_1}$$

Решив последнее неравенство относительно b и учитывая малость...
 получим окончательно

$$b < 1 + \frac{(1 - x_1)^2}{4 \ln(\rho_0^2 / (1 - x_1))} \quad (7.14)$$

Условие (7.14) является некоторым, хотя и весьма малым, расши...
 решен общего приемлемого решения дифференциального

и уменьшается на величину...
 при коэффициентах сопро...
 твления, представляющих...
 значения. Из (7.14)
 видно, что с увеличением...
 коэффициентом начальной угло...
 вой скорости частоты b и...
 диапазон допустимых значений b увеличивается.

8. Случай особой точки...
 Кроме особых точек...
 координатами $(0, 0)$, $(1, 0)$,...
 при каждом коэф...
 фициенте трения $b > 1$,...
 в районе b , имеется еще одна...
 особая точка, координаты которой определяются формулами (5.1) или (5.2).
 Рассмотрим окрестность такой особой точки.

Пусть полярные координаты этой точки \bar{R} и $\bar{\theta}$. Введем малые посто...
 чины ρ и ϕ так, чтобы $R = \bar{R} + \rho$, $\theta = \bar{\theta} + \phi$.

Используя (5.1), а также малость ρ , ϕ , имеем

$$(8.1)$$

$$R = \sqrt{b-1} + \rho, \quad \sin \theta = \frac{2-b}{b} + \frac{2\sqrt{b-1}}{b} \phi, \quad \cos \theta = \frac{2\sqrt{b-1}}{b} \phi - \frac{b-2}{b} \phi^2$$

Подставив (8.1) в уравнения (4.4) и сохранив слагаемые не выше...
 порядка малости. Тогда после вычислений найдем

$$\rho' = -\frac{2\sqrt{b-1}}{b} \phi + (b-1)\phi, \quad \phi' = -\frac{2-b}{b\sqrt{b-1}} (2\rho + \phi) \quad (8.2)$$

Последнее дифференциальное уравнение имеет вид

$$\rho^2 + \frac{b-b^2}{b\sqrt{b-1}} \rho - 2 \frac{(2-b)^2}{b^2} = 0 \quad (8.3)$$

Обращаясь умножив на $b-1$ ($x=1, y=0$) и $\Delta = 1$

$$r_{1,2} = \frac{1}{2} \frac{b-1}{\sqrt{b-1}} \left(\dots \right)$$

Подкоренное выражение в (8.4) положительное, следовательно при $b > 2$. Отсюда заключаем, что в критическое уравнение (8.3) имеет положительный корень, соответствующие особые точки неустойчивы. Если корни комплексны с вещественной отрицательной частью, соответствующие особые точки имеют характер фокуса.

Рассмотрим расположение особых точек в изучаемом случае при $b > 2$ для двух случаев сопротивления, при $b = 2$ и $b > 2$. При $b = 2$ уравнение (8.3) имеет два действительных корня, представляющих одну особую точку. Для $b > 2$ уравнение (8.3) имеет два действительных корня, представляющих две особые точки при различных значениях сопротивления. Если абсциссы этих точек удовлетворяют соотношению

$$k^2 + 1 = k^2 - 1 = k^2 \quad (8.5)$$

Если изображающая точка находится в окрестности особой точки и удовлетворяет (8.5), то в обоих случаях сопротивления движение материальной частицы внутри конуса будет идентичным, а именно, частица будет перемещаться с постоянной логарифмической скоростью v по дуге окружности с постоянной угловой скоростью ω .

Изменяющиеся значения коэффициентов b и k соответствуют различным значениям k , соответствующим двум значениям b в зависимости от знака k .

Существенное отличие при различных законах сопротивления имеет место в окрестности особых точек. Если при сопротивлении, пропорциональном скорости, устойчивые особые точки заполняют ту ветвь кривой (5.3), которая находится в первом квадранте фазовой плоскости, а неустойчивые образуют ветвь этой кривой в третьем квадранте, то при сухом трении наблюдаем обратную картину. В частности, при сухом трении возможно устойчивое движение материальной частицы в направлении и вершине конуса, что на первый взгляд кажется парадоксальным.

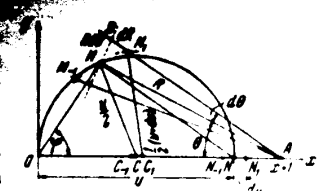
9. Построение фазовой плоскости в целом для случая сухого трения. Для построения «портрета» фазовой плоскости в целом перейдем к уравнениям (4.2) и (4.5) в виде

$$d^2 r^2 / dt^2 = b R d\theta \quad (8.6)$$

который допускает простую геометрическую интерпретацию. С целью ее выяснения заметим (фиг. 16), что

$$\frac{r^2 + y^2}{x} = \frac{y^2 + y^2}{x \sqrt{x^2 + y^2}} = \frac{OM}{\cos \varphi} = ON = r(M)$$

... и ... до двух ... соседнюю точку M_1 ... приращением



Фиг. 16

... (Очевидно из двух возможных точек пересечения следует выбрать ближайшую к M . На фиг. 16 построена точка M_{21} , соответствующая отрицательному значению du . При уменьшенном построении возможна особая случай, когда новая радиус $1/b(b + db)$ не дает пересечения с отрезком AD . В таком случае при графическом построении следует уменьшить db . В пределе особый случай соответствует вертикальному отрезку OM перпендикулярно AM . Разбивая в натуральном масштабе отрезок AM на части, соответствующие $AM^0 + CM^0 = CD$, получаем вместо точек M , где начинается возможность графического

$$(1 + R^0) \cos \theta = 2R = \theta \quad (8.7)$$

Сопоставляя (9.2) с (4.4), видим, что для изучаемых точек M уравнение (9.2) представляет собой одну из изоклин фазовой плоскости. В этом случае соседняя точка M_1 располагается вместе с исходной точкой M на одном и том же полярном радиусе. Отметим попутно и другие изоклины. Полагая $R^0 = 0$, найдем из (4.4) геометрическое место точек для которых касательная и фазовой траектории направлена перпендикулярно к полярному радиусу

$$R = \frac{b + \operatorname{tg} \theta \sqrt{1 - b \sin^2 \theta}}{\operatorname{tg} \theta + b \cos \theta}$$

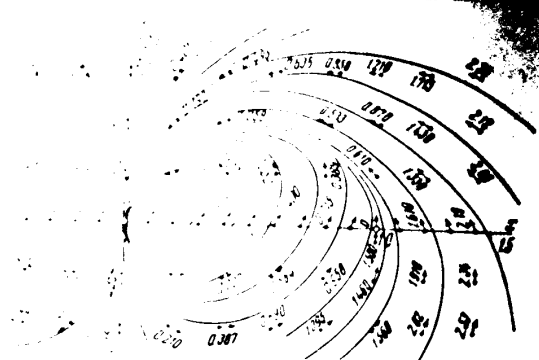
Изоклины $r^0 = 0, dy/dx = \infty$ найдем из (4.1). Для кривой стрелы на дуге $\theta = \theta_0$ кончик и кривую, которая в полярных координатах имеет вид

$$R = (\cos \theta + \frac{2}{b} \operatorname{tg} \theta)^{-1}$$

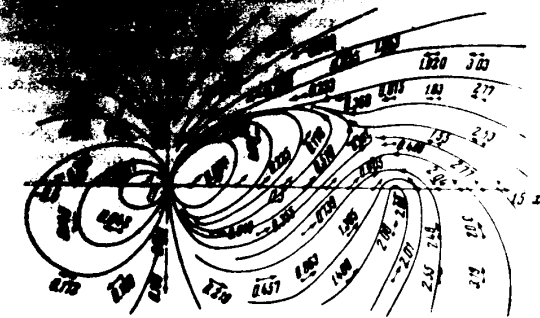
Уравнение $r^0 = 0, dy/dx = 0$ имеет уравнение $\theta = \left[\cos \theta \pm \sqrt{1 - b \sin^2 \theta} \right]^{-1}$

Изоклины (9.2) — (9.5) *пересечены* орбиты. Зная эти изоклины, можно уточнить траектории вблизи особых точек, полученную при $b = 1$ (рис. 6, 7, 8). Пользуясь изоклинами, можно также уточнить направление траекторий по элементам для точек, находящихся от особых точек.

При помощи указанного графического приема, можно также с учетом малых отклонений от особых точек были

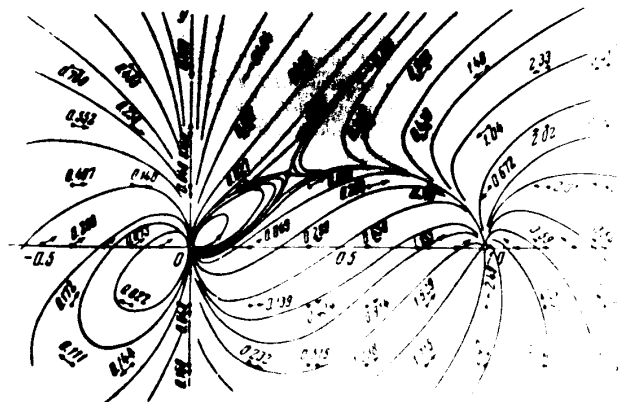


Фиг. 17



Фиг. 18

Вспомнив физический смысл фазовых координат x, y , можно утверждать, что при коэффициенте сухого трения $b < 1$ предельным состоянием материальной частицы в быстро вращающемся конусе, независимо от начальных данных, будет состояние абсолютного покоя.



Фиг. 19

При $b = 1$ (фиг. 18) картина фазовых траекторий *кардинально* не изменяется. Заметное отличие наблюдается в поведении особой точки $(1,0)$. Как и в случае $b < 1$, через нее проходит седельная траектория, соединяющая ее с началом координат. Однако в этом случае траектория изображающая точка *не* падает

на фиг. 17, 18, 19) при различных значениях коэффициента трения b . Для наглядности, на *портретах* указаны скорости движения материальной частицы относительно ее положения в конусе. Скорость определяется формулой

$$V = \sqrt{(x^2 + y^2)^2 + b^2 x^2 + 2b^2 xy \frac{(1-x)^2 + y^2 - 1}{V(1-x)^2 + y^2}} \quad (9.6)$$

При $b = 1$ (фиг. 17) изображающая точка может находиться в положении равновесия в начале координат. В случае любого другого ее исходного положения она будет перемещаться по замкнутым траекториям, стремясь к предельной точке $(0,0)$. При этом движение происходит в направлении противочасовой стрелки, если $x > 0$, и в обратном направлении, если $x < 0$. Скорость движения, вообще говоря, непрерывно увеличивается по мере удаления от начала координат, непрерывность нарушается только в момент прохождения через точку $(1,0)$. Здесь при $b = 1$ фазовая скорость получает скачок от $V = 1.5$ до $V = 0.5$. Последнее обстоятельство объясняется тем, что изображающая точка проходит положение $(1,0)$, соответствующее относительному покою материальной точки в конусе, в вертикальном направлении. При этом материальная точка движется строго по образующей конуса, и *изменение* x и y разнонаправленно перемене направления силы трения на *предельном* b без изменения ее величины. Скачкообразное изменение V , де-

положению снизу вверх со скоростью, которая равна нулю, т. е. соответствующая точка заклинивается. На этом траектории образуются на фазовой плоскости огибают рассматриваемую кривую (фиг. 18). Скорость изображающей точки при этом соответствует медленному движению в конусе по направлению к образующей последнего. Изображающая точка движется в направлении общего положения, а медленно поворачивается по мере движения. При этом за движением таких точек при $b = 1$, можно считать, что они огибают кривую, соединяющую в вершине конуса две образующие, с которой сливаются все траектории, приходящие к вершине конуса, к которой асимптотически приближаются все траектории. Эта кривая на фигуре не изображена. При $b < 1$ материальная точка в конусе при $b = 1$ может ограничиться движением по образующей, либо, при соответствующих начальных условиях, приближаться к образующей, либо, если начальная скорость изображающей точки к (1.0), двигаться по траектории, соединяющей вершину конуса с образующей. В последнем случае, однако, материальная часть приближается к вершине конуса.

При $b = 1$ материальная точка в конусе при $b = 1$ может ограничиться движением по образующей, либо, при соответствующих начальных условиях, приближаться к образующей, либо, если начальная скорость изображающей точки к (1.0), двигаться по траектории, соединяющей вершину конуса с образующей. В последнем случае, однако, материальная часть приближается к вершине конуса.

При дальнейшем возрастании b фазовый «портрет» будет соответствующим образом изменяться за счет движения промежуточной особой точки по кривой (1.1). Когда эта точка попадет в третий квадрант фазовой плоскости ($b > 2$), она примет характер устойчивого фокуса и с ней будет связана некоторая область притяжения, обеспечивающая движение материала в конусе по направлению к его вершине. Эта область (также и область, связанная с заклиниванием материала в конусе) будет увеличиваться по мере возрастания коэффициента b , соответственно будет уменьшаться область фазовой плоскости, обеспечивающая предельное состояние абсолютного покоя для центрифугируемого материала.

Рассмотренная картина представляет собой результат качественного интегрирования нелинейной системы (1.1) и дает наглядное представление о поведении материальной точки внутри быстро вращающегося конуса при различных коэффициентах сухого трения.

Поступило 18 III 1955

Геометрические представления в теории связи

Ф. Д. БЛОХ и А. А. ХАРКЕВИЧ
(Москва)

Предметом исследования теории связи в геометрических представлениях, применительно к работам В. А. Котельникова (1946), К. Шانونа¹⁾ (1949) и др., в настоящее время довольно широкое распространение.

Геометрические представления могут применяться в целях вычисления результатов, добытых аналитическим путем. Но они могут играть и самостоятельную роль: вся теория может развиваться как теория геометрических представлений, т. е. так, чтобы такое направление в теории плодотворно служило цели, достигая, в конечном счете, результатов, полученных чисто геометрическим путем, и можно развить теорию, в которой понятие геометрической теории будет полезным.

Цель настоящей статьи — дать краткий, но по возможности полный обзор теории геометрических представлений современной теории связи. Какие-либо конкретные технические проблемы в этом очерке не рассматриваются.

1. Случайный вектор. Геометрические представления, используемые в теории связи, рождаются на грани двух математических дисциплин: геометрии (геометрии n -мерного пространства) и теории вероятностей. В результате возникает одно из основных вероятностно-геометрических понятий — понятие о случайном векторе.

Мы определяем случайный вектор как вектор, составляющие которого являются членами некоторой случайной последовательности. Если γ_k — случайная величина, и γ_0 — ее среднее значение, то, рассуждая по аналогии с обычными векторами, можно предопределить случайную величину γ_k вектором n -мерного пространства n -измерений

$$\gamma_k = \sum_{i=1}^n \gamma_{ki} e_i$$

где e_k — орт k -ой оси.

Важной для дальнейшего особенностью случайного вектора является то, что положение его конца в пространстве не является определенным. Нам может быть известно лишь распределение вероятностей для составляющих вектора. Следовательно, конец вектора может находиться в той или иной области пространства с той или иной вероятностью. Применяя понятие о геометрическом месте конца вектора к случайному вектору, мы должны принять, что такое место может описываться лишь как облако, т. е. расплывчатое образование, переменная плотность которого отображает многомерную плотность вероятностей. Однако всегда возможно выделить отдаленно ограниченные области, внутри которых с заданной вероятностью будет находиться конец случайного вектора.

Длина случайного вектора выражается равенством

$$\|\gamma\|^2 = \gamma_1^2 + \dots + \gamma_n^2 \quad (1)$$

Условимся сразу ввести обозначения η_k для составляющих вектора значения η_k , дающих η . Тогда η можно представить в виде суммы составляющих η_k и имеем

$$\eta^2 = \frac{1}{n} \|\eta\|^2 = \frac{1}{n} (\eta_1^2 + \dots + \eta_n^2) \quad (1)$$

Будем в дальнейшем предполагать, что среднее значение η_k равно нулю и что все η_k имеют одно и то же дисперсионное отношение σ_k^2 .

$$\text{Таким образом, } \text{Disp}(\eta_k^2) = \sigma_k^2 = D(\eta) = \sigma_k^2$$

Среднее значение η_k^2 равно σ_k^2 , следовательно, среднее значение η^2 равно σ_k^2 . Тогда дисперсия η^2 равна $2\sigma_k^2$. Тогда дисперсия η равна σ_k . Тогда дисперсия η^2 равна $2\sigma_k^2$. Тогда дисперсия η равна σ_k .

2. Тогда η^2 можно представить в виде суммы составляющих η_k^2 и имеем

$$\eta^2 = \frac{1}{n} \sum_{k=1}^n \eta_k^2 = \frac{1}{n} \sum_{k=1}^n (\xi_k^2 + \eta_k^2) = \frac{1}{n} \sum_{k=1}^n \xi_k^2 + \frac{1}{n} \sum_{k=1}^n \eta_k^2$$

$$\eta^2 = \frac{1}{n} \sum_{k=1}^n \xi_k^2 + \frac{1}{n} \sum_{k=1}^n \eta_k^2 = \frac{1}{n} \sum_{k=1}^n (\xi_k^2 + \eta_k^2) = \frac{1}{n} \sum_{k=1}^n \xi_k^2 + \frac{1}{n} \sum_{k=1}^n \eta_k^2$$

В первом члене есть не что иное, как косинус угла между векторами ξ и η .

$$\cos \alpha = \frac{\xi \cdot \eta}{\|\xi\| \|\eta\|} = \frac{\xi_1 \eta_1 + \dots + \xi_n \eta_n}{\sqrt{(\xi_1^2 + \dots + \xi_n^2)(\eta_1^2 + \dots + \eta_n^2)}}$$

При увеличении числа измерений косинус угла между векторами ξ и η стремится к значению нормированного коэффициента корреляции ρ между последовательностями ξ и η .

$$\cos \alpha \approx \rho = \frac{\xi \cdot \eta}{\|\xi\| \|\eta\|} = \frac{\xi_1 \eta_1 + \dots + \xi_n \eta_n}{\sqrt{(\xi_1^2 + \dots + \xi_n^2)(\eta_1^2 + \dots + \eta_n^2)}}$$

Фиг. 1. Геометрическое изображение корреляции. Векторы ξ и η лежат в пространстве n -мерном. Если $\rho = 0$, то $\alpha = 90^\circ$ (при $n \rightarrow \infty$). Если $\rho = 1$, то $\alpha = 0^\circ$. Если $\rho = -1$, то $\alpha = 180^\circ$. Если $\rho = 0$, то $\alpha = 90^\circ$. Если $\rho = 1$, то $\alpha = 0^\circ$. Если $\rho = -1$, то $\alpha = 180^\circ$.

и величина ρ равна $\cos \alpha$. Тогда η^2 можно представить в виде суммы составляющих η_k^2 и имеем

При увеличении n величина ρ будет случайной величиной, ρ будет случайной величиной.

представим η как сумму составляющих η_k и имеем

$$\Delta t = \frac{1}{F}$$

где F — частота сигнала. Таким образом, на интервале T функция будет содержать $n = FT$ периодов.

$$n = \frac{T}{\Delta t} = 2FT$$

значения η_k образуют дискретную последовательность. Это позволяет представить η как сумму составляющих η_k и имеем

4. Сообщение и сигнал. Подлежащее передаче сообщение может иметь либо дискретную природу (текст, цифровые данные), либо непрерывную (звук, изображение). В последнем случае ширина спектра может быть ограничена с учетом свойств получателя (т. е. свойства уха и зрения), и, следовательно, η будет дискретным, так и непрерывным.



Фиг. 2

передаче векторной дискретной последовательности. Передача происходит путем преобразования сообщения в сигнал, который поступает в линию связи, и преобразовывается снова в сообщение на приемном конце системы связи.

Обозначим поданное сообщение через η , соответствующий сигнал через ν и принятое сообщение — через μ . Соотношение между этими величинами в аналитической форме имеет вид

$$\nu = \Psi(\eta), \quad \mu = \Psi^{-1}(\nu)$$

где Ψ — оператор преобразования. Между сообщением и сигналом должно быть одно однозначное соответствие; при правильной работе системы можно быть $\mu = \eta$, т. е.

$$\Psi \Psi^{-1} = I$$

С геометрической точки зрения это сводится к преобразованию пространства сообщений A_n в пространство сигналов A_s с последующим преобразованием пространства A_s в пространство сообщений A_n . Эти преобразования показаны схематически на фиг. 2, на которой изображены два сообщения η_I и η_{II} , соответствующие им сигналы ν_I и ν_{II} и принятое сообщение μ_I и μ_{II} . Пространство сигналов A_s может иметь иное измерение, чем пространство сообщений A_n и A_n . Так, например, для передачи непрерывную частотную модуляцию, мы имеем ширину спектра сигнала ν больше, чем ширина спектра сообщения η , т. е. $n < 2FT$.

отличается принятый сигнал с тем, к которому принятый сигнал ближе. На фиг. 6 показаны два возможных сигнала f_1 и f_2 ; фактически вероятности добавляется помеха ξ . При представленных на фиг. 6 отношениях в приемнике отождествит принятое сообщение с f_1 или с f_2 , т. е. будет совершено ошибку, если вероятность перехода конца вектора ξ пересечет границу (штрих-пунктир на фиг. 6), отделяющую место точек, соответствующих сигналам f_1 и f_2 и границу пространства ξ , на котором f_1 и f_2 . Вероятность перехода через границу ξ может быть подсчитана как геометрическая вероятность, если известно взаимное расположение точек f_1 и f_2 . Но сейчас важно лишь то, что вероятность ошибки тем меньше



Фиг. 6

увеличивается расстояние между сигналами. Рассмотрим ансамбль из N сигналов с одинаковой средней мощностью. В пределе любой сигнал, выражаемый процессом, имеющим заданную дисперсию, удовлетворяет этому условию. Но применим и к сигналам, обладающим постоянной мощностью на любом промежутке времени. Таков, например, двоичный сигнал вида $f_1(t) = \pm A \cos \omega t$, сигнал ЧМ, ВЧМ и др. Так как в выбранном нами масштабе мощность и выражается длиной вектора, то все сигналы одинаковой мощности располагаются на поверхности сферы соответствующего числа и мерности. Чем больше число сигналов, образующих ансамбль, тем больше пропускная способность, тем теснее располагаются точки (концы векторов) сигналов на поверхности сферы, т. е. тем меньше расстояние между ближайшими сигналами. С другой стороны, чем меньше расстояние, тем больше вероятность ошибки, т. е. тем ниже помехоустойчивость. Таким образом, повышая пропускную способность, мы понижаем помехоустойчивость, и наоборот. Видно, что при заданном наименьшем расстоянии между точками сигналов их следует располагать на поверхности сферы с наибольшей равномерной плотностью. Это положение относится к равновероятным сигналам. Если же сигналы не равновероятны, то можно получить более выгодные соотношения, располагая точки маловероятных сигналов ближе к точкам наиболее вероятных сигналов — реже. Такое наилучшее расположение точек сигналов есть геометрическое толкование того, что называется оптимальным кодированием.

8. Предельная пропускная способность. Требования к максимальной пропускной способности и высокой помехоустойчивости, вообще говоря, как мы видели, противоречивы. Но можно стремиться к тому, чтобы соотношение при сколько угодно малой вероятности ошибки было бы оптимальным. Предельная пропускная способность, вытекающая из этого требования, достигается неограниченным уменьшением вероятности ошибки и следовательно флуктуацией длины и положения вектора помехи ξ в пространстве мерности n . В пределе вектор помехи ξ может быть представлен как $\xi = \sqrt{P_n} \cdot \lambda$, и если развести точки сигналов по поверхности сферы радиуса $\sqrt{P_n}$ (по Мотельскому) приемник безошибочно отождествит принятый сигнал с фактически переданным. Теперь ясно, что наилучшее представление о пропускной способности сводится к частоте симметричной поверхности сферы радиуса $\sqrt{P_n}$ на поверхности сферы радиуса $\sqrt{P_n}$ шаровых сегментов, выходящих из центра сферы.

В этих формулах все возможные сообщения мы представляем равновероятными. Рассмотрим ансамбль из N сигналов с одинаковой средней мощностью. В пределе любой сигнал, выражаемый процессом, имеющим заданную дисперсию, удовлетворяет этому условию. Но применим и к сигналам, обладающим постоянной мощностью на любом промежутке времени. Таков, например, двоичный сигнал вида $f_1(t) = \pm A \cos \omega t$, сигнал ЧМ, ВЧМ и др. Так как в выбранном нами масштабе мощность и выражается длиной вектора, то все сигналы одинаковой мощности располагаются на поверхности сферы соответствующего числа и мерности. Чем больше число сигналов, образующих ансамбль, тем больше пропускная способность, тем теснее располагаются точки (концы векторов) сигналов на поверхности сферы, т. е. тем меньше расстояние между ближайшими сигналами. С другой стороны, чем меньше расстояние, тем больше вероятность ошибки, т. е. тем ниже помехоустойчивость. Таким образом, повышая пропускную способность, мы понижаем помехоустойчивость, и наоборот. Видно, что при заданном наименьшем расстоянии между точками сигналов их следует располагать на поверхности сферы с наибольшей равномерной плотностью. Это положение относится к равновероятным сигналам. Если же сигналы не равновероятны, то можно получить более выгодные соотношения, располагая точки маловероятных сигналов ближе к точкам наиболее вероятных сигналов — реже. Такое наилучшее расположение точек сигналов есть геометрическое толкование того, что называется оптимальным кодированием.

$$I = \log_2 N$$

Тогда для пропускной способности имеем

$$C = \frac{1}{T} = \frac{1}{T} \log_2 N$$

В этих формулах все возможные сообщения мы представляем равновероятными.

8. Предельная пропускная способность. Требования к максимальной пропускной способности и высокой помехоустойчивости, вообще говоря, как мы видели, противоречивы. Но можно стремиться к тому, чтобы соотношение при сколько угодно малой вероятности ошибки было бы оптимальным. Предельная пропускная способность, вытекающая из этого требования, достигается неограниченным уменьшением вероятности ошибки и следовательно флуктуацией длины и положения вектора помехи ξ в пространстве мерности n . В пределе вектор помехи ξ может быть представлен как $\xi = \sqrt{P_n} \cdot \lambda$, и если развести точки сигналов по поверхности сферы радиуса $\sqrt{P_n}$ (по Мотельскому) приемник безошибочно отождествит принятый сигнал с фактически переданным. Теперь ясно, что наилучшее представление о пропускной способности сводится к частоте симметричной поверхности сферы радиуса $\sqrt{P_n}$ на поверхности сферы радиуса $\sqrt{P_n}$ шаровых сегментов, выходящих из центра сферы.

7 стр. из 8

измен на круга радиуса $\sqrt{P_n}$, или поместить на плоскости P_n один сегмент показан в разрезе.

Точное решение задачи, как, впрочем, и решение задачи о наиболее плотной укладке в n -мерном пространстве, неизвестно. Однако недавно установленны [2] следующие оценки для числа N шаров, помещающихся шаровых сегментов с углом раскрытия θ :

$$(1 + \epsilon_1)(\sin \theta)^{-1} \leq N^{1/n} \leq (1 + \epsilon_2)(1 + n)^{1/n} (\sqrt{2} \sin \theta)^{-1}$$

где ϵ_1 и ϵ_2 — функции n , убывающие как n^{-1} . Пользуясь соотношениями фиг. 6, можно представить эти неравенства в виде

$$A \left[\frac{1}{2} \left(2 + \frac{P}{P_n} + \frac{P_n}{P} \right) \right]^{n/2} \leq N \leq nB \left[\frac{1}{2} \left(1 + \frac{P}{P_n} \right) \right]^{n/2}$$

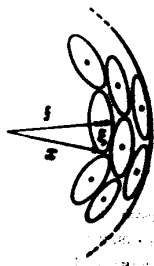
Логарифмируем и пренебрегая $\log_2 A$, $\log_2 B$ и $\log_2 n$ по сравнению с n , получаем для предельной пропускной способности

$$1 + \frac{1}{2} \left(2 + \frac{P}{P_n} + \frac{P_n}{P} \right) - 2 \leq C \leq F \left[\log \left(1 + \frac{P}{P_n} \right) - 1 \right]$$

Это соотношение отличается от известной формулы Шеннона [3]

$$C = F \log_2 \left(1 + \frac{P}{P_n} \right)$$

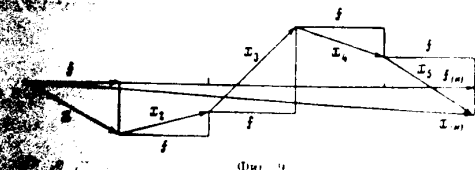
В частности, при $P = P_n$ обе оценки сходятся к известной формуле Шеннона, как и по Шеннону, при этих условиях $C = F$. Это означает, что пропускная способность обработки сигнала ограничена не мощностью сигнала, а мощностью помехи.



Это означает, что при увеличении пропускной способности помехи становятся более устойчивыми к воздействию сигнала. При этом увеличивается число сегментов, помещающихся на поверхности сферы. Наконец, при $n \rightarrow \infty$ все предельные соотношения при $n \rightarrow \infty$.

При этом можно отметить, что следует из всего вышесказанного, что помехи мешают, а пропускная способность тем больше, чем больше помехи. Следовательно, помехоустойчивость и пропускная способность — это две стороны одной медали.

Применяя специальный метод приема, можно и в условиях помех реализовать прием со сколь угодно малой вероятностью ошибки. Речь идет о методе накопления сигнала. Суть накопления состоит в том, что складывается несколько копий сигнала. В это же время накапливаются и помехи. Для того чтобы получить несколько экземпляров сигнала, необходимо использовать по соответствующему числу независимых каналов. Необходимо отметить, что здесь следует понимать в том смысле, что помехи в независимых каналах должны быть статистически не зависимы. Число возможных



вариантов метода накопления определяется числом способов разделения сигнала на независимых каналах, т. е. числом способов разделения частот, времени, пространства. Так, при частотном разделении, временном разделении, пространственном разделении мы оставим в стороне, так как этот вид разделения не имеет смысла, собственно говоря, не столько каналов (на одной длине волны), сколько линий.

При частотном разделении независимых экземпляров сигнала, равное число копий, складывается через m . Если применяется временное разделение, то длительность сигнала возрастает в m раз, если же каналы разделены по частоте, то во столько же раз возрастает полоса частот. Таким образом, в обоих случаях увеличение числа каналов в m раз увеличивает n в m раз. Если же мы имеем $n_m = mn$. С другой стороны, вследствие помех и некоррелированности помех суммирование сигналов и помех происходит по разным законам. Процесс суммирования помехи по Гауссу складывается $m = 5$ сигналов.

При этом принятый сигнал выражается соотношением

$$x_{(m)} = \sum_{i=1}^m x_i = \sum_{i=1}^m (f + \xi_i) = mf + \sum_{i=1}^m \xi_i$$

$$\xi_{(m)} = \sum_{i=1}^m \xi_i$$

где $\xi_{(m)}$ — помеха, нормальная к ветру mf ; его длина фактурно

$$\sqrt{\sum_{i=1}^m \xi_i^2} = \sqrt{m} \sigma_n$$

где σ_n — стандартное отклонение помехи, отношение длины вектора результирующей помехи к длине вектора результирующего сигнала

$$f_{(m)} = mf$$

Таким образом, накопление эквивалентно увеличению

10. Разделение сигналов. Выше упоминалось разделение сигналов. Речь идет о том, что при многоканальной связи, т. е. при передаче по нескольким каналам нескольких независимых сигналов, необходимо на приемном конце произвести разделение сигналов с тем, чтобы направить каждый из них по своему назначению. Для этого необходимо, чтобы сигналы определенным образом различались между собой; разделение и основывается на использовании этого различия.

Общему принципу разделения можно дать простое геометрическое толкование. Пусть передаваемые сигналы различаются по некоторому параметру λ , который может, в частности, иметь смысл частоты или времени. Записав выражение для сигнала в виде

$$f = A(t, \lambda)$$

положим, что сигналы одного какого-либо канала укладываются в интервал значений (сплоосу)

$$\lambda_1 < \lambda < \lambda_2$$

и что полосы различных каналов не перекрываются, т. е. что граница каждой полосы лежит вне других. С геометрической точки зрения означает, что пространству Δ параметра λ делится на линейно независимые подпространства Δ_i . Тогда операция разделения истолковывается как операция проектирования пространства Δ на соответствующее пространство Δ_i .

Отсюда следует важное утверждение о том, что условие потенциальной разделимости сигналов не зависит от линейности (17). В описанной операции проектирования с геометрической точки зрения операция разделения по линейности является функцией.

Заключение. Как видно из вышесказанного очерка, геометрическая теория позволяет не только анализировать, но и синтезировать теории связи, но и является основой для их разработки. Поэтому метрическая теория способствует дальнейшей разработке. Это относится только к прикладным аспектам. Так, были бы весьма полезными дальнейшие усилия в направлении решения задач о наиболее плотной упаковке тел в n -мерном пространстве. Улучшение существующих в настоящее время оценок позволило бы решить ряд прикладных задач при конечном n .

Поступило 14 IV 1955

ЛИТЕРАТУРА

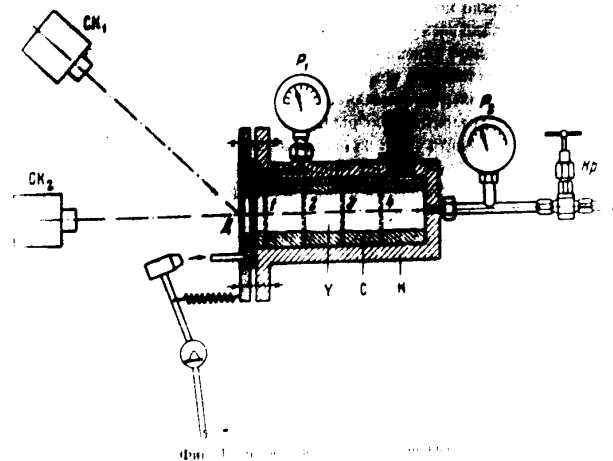
1. Shannon C. E. Communication in the presence of noise. PIRE 37, 1948.
2. Chabauty C. Resultats sur l'empilement de calottes egales sur une sphere N°. CR 236, 1902, 1903.
3. Шеннон К. Э. Теория информации. Передача электрических сигналов. Теория передачи информации в условиях помех, под. ред. Н. А. Делоне, МРЭ, 1949.
4. Харисов А. А. Геометрическая теория порога пропускной способности. Радиотехника, № 7, 1955.
5. Харисов А. А. Теория порога пропускной способности. Физическая теория порога пропускной способности. М.: Физматгиз, 1957.
6. M. S. Elger, K. S. Fundamental aspects of linear multiplexing. Bell System Technical Journal, 1952.
7. Харисов А. А. Теория линейной селекции. ИТ Сб. ЛИС, № 10, 1955.

К ВОПРОСУ О ПРИРОДЕ И МЕХАНИЗМЕ ВНЕЗАПНЫХ
ВЫБРОСОВ УГЛЯ И ГАЗА

В. С. КРАВЧЕНКО

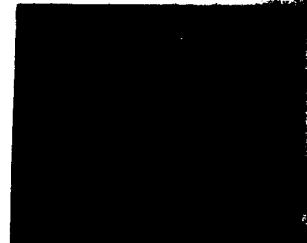
(Москва)

Изучение природы и механизма внезапных выбросов угля и газа, проведенное в Электромеханической лаборатории ИГД АН СССР по инициативе А. А. Скочинского, привело к обнаружению нового интересного явления¹.



Оказалось, что при определенных условиях происходит явление, называемое «быстрым понижением давления» (быстрое понижение давления). Оно сопровождается образованием фронтальной поверхности дробления, которая движется с большой скоростью в направлении дробления. В противоположность мелочный уголь.

¹ Опыты и расчеты выполнены в Электромеханической лаборатории ИГД АН СССР под руководством В. М. Давыдова.



Фиг. 3. Осциллограммы изменений давления в газе при сорбции CO_2 образцами 1, 2, 3, 4 при различных условиях.

$$\frac{v}{a} = \sqrt{\frac{2m}{\rho_0}} \quad (1)$$

Здесь v/a — скорость распространения фронта сорбции в данном газе при давлении p_0 (в ат); m — коэффициент проницаемости угля (включая сорбированный газ); ρ_0/ρ_0 — отношение давления газа в глубине массива к давлению газа в глубине массива; ρ_0/ρ_0 — отношение массы куска к его объему за вычетом сорбированного газа при давлении p_0 (под истинной плотностью угля); b — величина, характеризующая сорбционные свойства угля по формуле

$$b = \frac{q_0}{\rho_0} \quad (2)$$

Кривая	№	m	q ₀	q _с	Температура в глубине массива, °C	Установившаяся сорбционная емкость, %		
						расчетная	экспериментальная	
1	5	40	57	28.5	2-3	42	14	
	5	40	70	35.0	1-2-3	42	7	
	5	55	87	33.6	1-2-3	59	28	
2	20	55	200	100	1-2-3-4	45	62	
	20	55	200	100	1-2-3-4	45	62	
3	40	30	200	100	1-2	52	—	
					1-2-4	89	—	
	45 ± 0.1	40	30	200	100	1-2-3-4	31	40
						1-2-3	40	40
4	40	30	200	100	1-2-3-4	40	87	
					1-2-3-4	40	87	

Здесь ρ_0 — истинная плотность угля (исключая сорбированный газ); p_0 — давление (1 ат); q_0 и $q_с$ — сорбционные емкости угля при давлении p_0 и $p_с$ соответственно; T_0 — температура в глубине массива; 0.1 — коэффициент, учитывающий, что в момент сброса газового давления (доли секунды) сорбционная емкость всего лишь 0.1 от всего объема сорбированного газа (в данном угле). Для разрушения угля эта доля увеличивается. Разрушающие напряжения, возникающие в угле при сорбции, определяются по формуле

$$\sigma = \frac{p_0}{\rho_0} \left(1 + \frac{0.1b}{m} \right) \left(1 + \frac{0.1b}{m} - \frac{1}{\tau} \frac{p_0}{p_с} \right) \quad (3)$$

Следует отметить, что по формуле (3) и в формуле (2) с коэффициентом 0.1 следует иметь в виду кажущуюся проницаемость угля, учитывающую сорбцию газа в объеме угля, включая промежуток между порами, определяемыми из написанных ниже уравнений, и учитывающую их физическое строение.

$$\alpha = \frac{v}{a} \left[\left(1 + \frac{0.1b}{m} \right) \tau \frac{p_0}{p_с} - 1 \right] \quad (4)$$

Эти формулы справедливы только в определенных пределах. В свою очередь зависят от $p_с$. При определении $p_с$ и α следует пользоваться формулой

$$\alpha = \sqrt{\frac{2b}{s+1}} \frac{v}{a} \frac{1}{\tau} \frac{p_0}{p_с} \left(1 + \sqrt{\frac{2}{s+1}} \frac{a_0}{v} \right) \quad (5)$$

$$v = \frac{1}{\sigma(\sigma+1)} \left[1 + \sqrt{\frac{1}{\sigma(\sigma+1)}} \right] \quad (6)$$

При вычислении из приведенных уравнений, значения коэффициента напряжения σ , вычисленные в угле газом и разрушенном угле при распространении волны дробления, а также значения коэффициента сжатия σ и скорости v и v_{12} зависят от давления P_0 и пористости m и свойств угля: прочности на разрыв, начальной пористости m_0 и плотности угля.

При вычислении из уравнений (2) и (3) значения скорости волны давления (при разрушении) v_{12} и скорости волны дробления v на фронте волны дробления P_0 (рис. 3) и значения коэффициента сжатия σ и скорости v и v_{12} зависят от давления P_0 и пористости m .

По мере распространения волны дробления давление газа на фронте волны дробления P_0 уменьшается, а коэффициент сжатия σ и скорость v и v_{12} увеличиваются.

В соответствии с этим коэффициент сжатия σ скорости волны дробления — начальная (меньшая) и конечная (большая).

Результаты вычислений сведены в Табл. 1, где для сопоставления приведены также измеренные значения скорости волн дробления на различных образцах угля.

Начальная скорость волны дробления фактически замерялась непосредственно, а как средняя скорость v_{12} на участке в 4 см между датчиками 1 и 2, т. е. и замерялась с завышением против истинного значения.

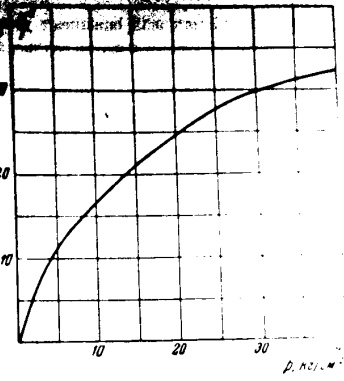
Характерная особенность и мерилась как средняя скорость v_{12} на участке в 4 см между датчиками 2 и 3, т. е. на расстоянии 8 см от фронты волны дробления.

Измеренная на образце 20 см установившийся процесс не достигал скорости v_{12} на участках между датчиками 3 и 4 падая на значения v_{12} были ниже вычисленных. Как видно, чтобы измерять установившийся процесс, необходимо пользоваться образцами угля.

Результаты измерений показали, что измеренные скорости v и v_{12} (начальная и установившаяся), как и следовало ожидать, различаются между вычисленными начальной и установившейся скоростью во всех опытах с полным выбросом (при $\sigma = 0$).

Таким образом, полученные экспериментальные данные совпадают с результатами теории и тем самым подтверждают правильность

При известном давлении газа фактическое $P_0 = 20 \text{ кг/см}^2$. При увеличении давления метана сорбционная емкость угля резко увеличивается (рис. 4). Прием, что в неразрушенном массиве угля 10 % сорбированного газа способно к мгновенному выделению, а в разрушенном угле — 20 %. Далее прием $a_0 = 430.5 \text{ м/сек}$ и $\sigma = 0.3$ (или больше).



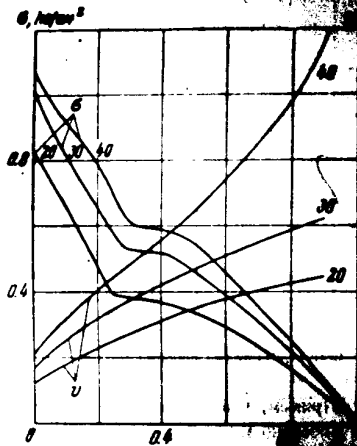
Фиг. 4. Изотерма сорбции метана

На основании приведенных уравнений и принятых исходных данных на фиг. 5 построены зависимости $\sigma = \sigma(P_0/P_0)$ и $v = v(P_0/P_0)$ для различных значений максимальных давлений $P_0 = 20, 30, 40 \text{ кг/см}^2$.

Из них эти зависимости и знала фактическую прочность угля на разрыв легко установить возможность или невозможность существования волны дробления, т. е. решить вопрос о возможности или невозможности распространения выброса. Так, например, при $P_0 = 20 \text{ кг/см}^2$ и при прочности угля на разрыв более 0.5 кг/см^2 выброс угля не распространится, так как для его поддержания необходимо давление газа на волне дробления $P_0 = 0$, что невозможно. При прочности угля на разрыв 0.3 кг/см^2 выброс угля будет поддерживаться ($P_0/P_0 = 0.30$) и $v_{12} = 74 \text{ м/сек}$ при общем перепаде давлений 8.4 кг/см^2 .

Для определения скорости волны дробления можно воспользоваться той же фиг. 5, из которой можно установить, что при $\sigma = 0.3 \text{ кг/см}^2$ и $P_0/P_0 = 0.58$ скорость волны дробления составляет 74 м/сек .

Согласно опыту и теории на участках влияния горного давления, конечно, несомненно, участвует в процессе формирования взрывных процессов угля и газа. Роль горного давления все же может быть оценена с помощью уравнения (3). При этом коэффициент пористости m понижается и в итоге с этим уменьшается скорость распространения фронта газа (напряжения σ). С разрушением угля возрастает пористость m и разрушение угля возрастает.



Фиг. 5. Разрушение газопроводов при внезапном выбросе в зависимости от давления (m = 0.05; CH₄; P₀ = 20; ...)

1) дегазацию класт...
 2) не следует применять методы...
 внезапному обвалению газопроводных класт...

Дальнейшее изучение природы и механизма внезапных выбросов угля и газа должно быть направлено на изучение других причин, вызывающих это явление, и, в частности, на изучение роли горючего вещества и формирования внезапного выброса.

Получено 11.11.1955

ЛИТЕРАТУРА

1. Никольский А. А. О волнах внезапного выброса газопроводных класт. ДАН СССР, т. 88, № 4, 1953.
2. Никольский А. А. О волнах разрушения газопроводных класт. ДАН СССР, т. 91, № 6, 1953.
3. Христианович С. А. О волне дробления. Изв. АН СССР, 1955, № 12, 1955.

НЕКОТОРЫХ СВАВОВ

В. ГУЛЯНИЦАЯ и Е. Н. ВОГОВАРОВА
 (Москва)

В настоящей работе приведены данные по определению электропроводности и теплопроводности некоторых составов сульфидов в системе Cu-Ni-Fe-S.

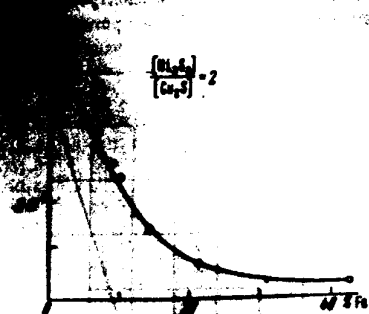
Равновесная система Cu-Ni-Fe-S изучена...
 исследованию были подвергнуты лишь сплавы...
 системы Cu-Ni-S. Часть тройной системы Cu-Ni-Fe-S имеет практическое значение для металлургии никелированных сталей и Д. Лейвиной⁽¹⁾. Полученная ими часть диаграммы системы Cu-Ni-S построена по данным термического структурного анализа. Д. Лейвиной был также исследован состав двух медно-никелевых производственных штейнов от которых [Cu] ≈ 2, а количество железа равнялось 29.6 и 32.0%.
 По результатам исследования по определению электропроводности и теплопроводности медно-никелевых сульфидных сплавов нами были изучены фазовые составы изучаемых сплавов сульфидов...
 материалами при приготовлении сплавов были сульфиды меди и железа, полученные в лабораторных условиях из чистых металлов.

Исследование электропроводности и теплопроводности проводилось...
 сплавов сульфидов двух видов: сплавы первого вида приготавливались путем сплавления отдельных сульфидов в соответствующих соотношениях, сплавов второго вида — путем сплавления сульфидов (Cu₂S + Ni₃S₂ + FeS) в соотношениях, указанных в таблице 2. Полученные сплавы исследовались в трех сульфидов (Cu₂S + Ni₃S₂ + FeS) (табл. 2). Полученные...

Состав сплавов сульфидов меди и никеля

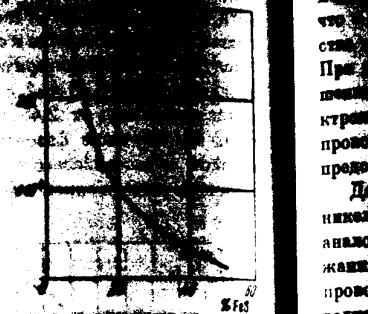
Состав сплавов, мол. %		Состав сплавов, мол. %			
100	80	75	66.6	60	50
—	10	25	33.3	40	50

Значения удельной электропроводности γ $\text{ом}^{-1}\cdot\text{см}^{-1}$ сплавов сульфидов меди и никеля и железа в зависимости от содержания серы



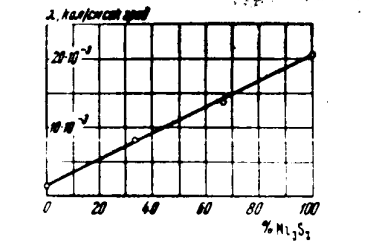
Фиг. 3. Значения удельной электропроводности γ $\text{ом}^{-1}\cdot\text{см}^{-1}$ сплавов сульфидов меди и никеля и железа в зависимости от содержания серы

Значения удельной электропроводности γ $\text{ом}^{-1}\cdot\text{см}^{-1}$ сплавов сульфидов меди и никеля и железа в зависимости от содержания серы

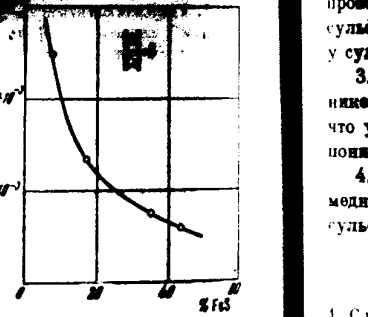


Фиг. 4. Значения удельной электропроводности γ $\text{ом}^{-1}\cdot\text{см}^{-1}$ сплавов сульфидов меди и никеля и железа в зависимости от содержания серы

Заслуживает внимания то обстоятельство, что на величину электропроводности в значительной мере получено влияние содержания серы. Измерение удельной электропроводности этих образцов показало, что при колебании содержания серы в сульфиде никеля от 30 до 100 %



Фиг. 5. Значения удельной теплопроводности сплавов сульфидов меди и никеля λ кал/см·сек·град.



Фиг. 6. Удельная теплопроводность медно-никелевых сплавов

удельная электропроводность уменьшается от $3.1 \cdot 10^4$ до $6.5 \cdot 10^4 \text{ ом}^{-1}\cdot\text{см}^{-1}$, т. е. с уменьшением серы электропроводность сплавов увеличивается. Результаты измерения удельной электропроводности сплавов сульфидов меди и никеля (фиг. 1) показывают, что с увеличением содержания серы

и электропроводность сплавов сульфидов меди и никеля уменьшается от $0.037 \cdot 10^4 \text{ ом}^{-1}\cdot\text{см}^{-1}$ у Cu_2S .

Изменение удельной электропроводности для металлизированных медно-никелевых сплавов (фиг. 2), содержащих: Ni от 60 до 15 % мол., S 25 % мол., получились того же порядка, что и для сплавов сульфидов меди и никеля. С возрастанием в сплавах количества серы, соответственно, и Cu_2S электропроводность их уменьшается. При сравнении сплавов сульфидов меди и никеля, взятых в соотношении $[\text{Ni}]:[\text{Cu}_2\text{S}] \approx 2$, сульфида железа, наблюдается понижение электропроводности медно-никелевых сплавов с различным содержанием железа, представленно на фиг. 4.

Данные по измерению теплопроводности медно-никелевых и медно-никель-железных сульфидных сплавов (фиг. 5 и 6) имеют характер, аналогичный удельной электропроводности. При возрастании содержания в сплавах сульфида меди (фиг. 5) и сульфида железа (фиг. 6) теплопроводность сплавов уменьшается, однако уменьшение удельной теплопроводности сплавов менее резко, чем у удельной электропроводности.

Выводы

1. Сплавы медно-никелевых сульфидных сплавов, содержащих железо в количестве 45-50 %, по данным термического и микроструктурного анализа являются твердыми растворами Ni — Cu — Fe, сульфида меди (Cu_2S) , сульфида никеля (Ni_3S_2) , сульфида железа и оксида железа (Fe_2O_3) .
2. Удельная электропроводность сплавов меди и никеля — наименьшей электропроводности сплавов с содержанием железа ($\gamma = 3.78 \text{ ом}^{-1}\cdot\text{см}^{-1}$), наименьшая электропроводность сплавов меди и никеля ($\gamma = 6.5 \cdot 10^4 \text{ ом}^{-1}\cdot\text{см}^{-1}$).
3. С увеличением электропроводности твердых медно-никелевых и медно-никель-железных сульфидных сплавов при температуре 20 °C, что увеличение содержания в сплавах сульфида меди и сульфида никеля понижает электропроводность сплавов.
4. Теплопроводность твердых медно-никелевых сульфидных сплавов и медно-никель-железных сплавов с увеличением содержания сульфида меди и сульфида железа уменьшается.

Поступило 22.11.63

ЛИТЕРАТУРА

1. Смирнов В. И. Металлургия меди. М.: Металлургия, 1963.

О КИНЕТИКЕ ИЗОТЕРМИЧЕСКОГО ОБРАЗОВАНИЯ АУСТЕНИТА

А. П. ГУЛИНОВ, В. М. ЗАЛКИН

Москва

Методика, основанная на опубликованных ранее исследованиях (например [1,2,3]), в которых определялась кинетика изотермического превращения перлита в аустенит, была в основном однотипной (нагрев и выдержка тонких стальных образцов в расплавленных солях или свином жиру и обуславливала некоторые существенные количественные погрешности в результатах экспериментов.

Так, в работах, выполненных по указанной методике, временем нагрева образца до температуры ванны либо пренебрегали вовсе, либо учитывали с необходимой точностью замедления в нагреве образца по уменьшению температурного градиента между ним и ванной.

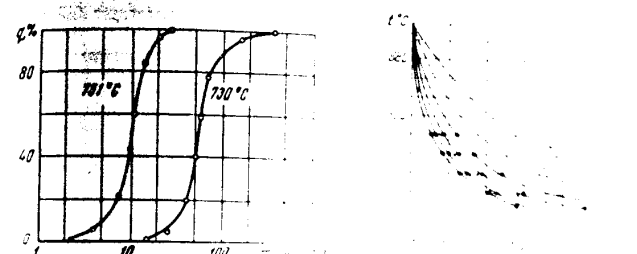
Следует также указать, что исследователи, как правило, игнорировали разницу превращения во время нагрева до температуры выдержки. В связи со значительной скоростью нагрева тонких стальных образцов в расплавленных солях предполагалось, что практически удается перлит нагревать до температуры выдержки, не претерпевший каких-либо существенных изменений температуры выдержки (в надкритической области), при которой происходит «инкубационный период» и начинается изотермическое образование аустенита.

За длительность «инкубационного периода» принимали время начала изотермической выдержки, в течение которого не отмечаются изменения величины контролируемого физического свойства (твердость, электропроводность и др.) исследуемых образцов. Построенные по результатам таких работ кривые кинетики изотермического превращения при различных температурах, как это видно, например, на фиг. 1 (исследования Роберта и Мэди [4]), отсекают на оси абсцисс (по которой отложено время выдержки) определенные отрезки, характеризующие время «инкубационного периода» при соответствующей температуре.

В данных исследованиях и в названных исследованиях практически фиксировано величина начала превращения и та его степень, которая наблюдается в момент начала исследования позволяла впервые экспериментально проверить справедливость кинетических кривых изотермического превращения, построенных с осью абсцисс не является объективной.

Важным вопросом, относящимся и к сводным кинетическим диаграммам, является вопрос о том, у которых область между осями координат

...область устойчивости перлита в аустенит при температуре, в диаграмме М. Е. Блактера (4), построена при температуре 840° и последующая закалка (без выдержки) фиксирует менее 0.5 % превращения. В то же время широко известным практическим и экспериментальным данным о кинетике изотермической закалки стали У-8 от названной температуры удается зафиксировать лишь конец превращения.



Фиг. 1. Кинетика изотермического превращения перлита в аустенит при температурах 771° и 730°. Диаграмма кинетики изотермического превращения перлита в аустенит при температуре 771° по исследованиям Роберта и Мэди [4]. Кривая кинетики изотермического превращения перлита в аустенит при температуре 730° по исследованиям Роберта и Мэди [4].

Одной из особенностей поставленных нами экспериментов по изотермическому превращению перлита в аустенит было применение при нагреве образцов метода электронагрева непосредственным протеканием электротока промышленной частоты. После окончания нагрева образцов до заданной температуры контролируемой фотокамерой осуществлялась изотермическая выдержка.

Температура выдержки автоматически поддерживалась на заданном уровне (точнее, в узком интервале температур ± 0,5° от заданной температуры) при помощи термоэлектрического преобразователя, осуществлявшего включение и выключение выдержки. При этом не допускалось отклонения температуры выдержки от заданной температуры. Изменение температуры образцов на протяжении выдержки в результате осцилляций температуры выдержки и пренебрежимо мало. Это позволило точно фиксировать время выдержки при заданной температуре выдержки и времени нагрева до температуры выдержки.

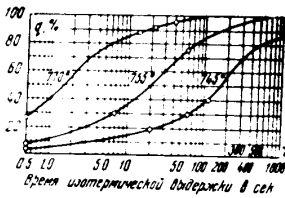
Скорость нагрева до температуры выдержки в данных экспериментах данного исследования была постоянной. Кинетика изотермического превращения перлита в аустенит при исходной структуре — пластическая деформация при температурах 745, 755 и 770.

На фиг. 3 приведены кривые кинетики изотермического превращения перлита в аустенит, построенные по данным количественного анализа микроструктуры образцов, закаленных до заданной степени.

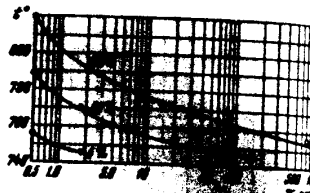
А. П. Гуляев и В. М. Зайков

Кинетика изотермического образования аустенита

При построении кинетических кривых учитывалось (на основании экспериментальных и расчетных данных) [1, 2], что процесс изотермического превращения перлита в аустенит начинается сразу после прекращения нагрева. В момент достижения температуры изотермической выдержки превращение уже получает определенное развитие. Показанная на фиг. 3 кинетика превращения, достигнутая к моменту начала изотермической выдержки при различных температурах, определена по данным о кинетике превращения перлита в аустенит при непрерывном нагреве со скоростью 60 град/сек¹ (с поправкой, учитывающей, что начало координат на фиг. 3 смещено относительно нуля по оси времени и соответствует 0,5 сек.).



Фиг. 3. Кинетика изотермического превращения перлита в аустенит стали У-8 при температурах 745°, 755 и 770° (скорость нагрева до температуры выдержки — 60 град/сек); количество аустенита q в %, время выдержки τ в сек.



Фиг. 4. Сводная диаграмма кинетики изотермического превращения перлита в аустенит стали У-8 (начало нагрева до температуры выдержки — 60 град/сек). Время изотермической выдержки τ в сек., температура t в °С.

Таким образом, точки пересечения кинетических кривых на фиг. 3 с осью ординат получены путем экстраполяции, а на основе экспериментальных данных.

То обстоятельство, что кинетические кривые изотермического превращения отсекают определенные отрезки не на оси абсцисс, а на оси ординат, является принципиальной особенностью рассматриваемых графиков: на них полностью отсутствует инкубационный период и различие развития превращения во время нагрева до температуры выдержки (с фиг. 1). Очевидно, для каждой заданной температуры изотермического процесса степень превращения, достигаемая к началу выдержки, будет увеличиваться с увеличением скорости нагрева. Однако при любой скорости нагрева и любой температуре выдержки (выше A_1) начало изотермического процесса не будет совпадать с началом превращения.

Отсюда следует, что при увеличении скорости нагрева отрезок, отсекаемый кинетической кривой на оси ординат, будет уменьшаться, но он не может быть равен нулю. Другими словами, в рассматриваемых условиях нагрева так называемое «изотермическое образование аустенита» является по сути комбинированным процессом, состоящим из изотермического протекания при непрерывном нагреве от A_1 до температуры выдержки и второй, идущей при постоянной температуре.

По экспериментальным данным о кинетике превращения перлита в аустенит при непрерывном нагреве [1] (фиг. 3) построены сводные диаграммы

для стали У-8 такая диаграмма (для скорости нагрева 60 град/сек) изотермической выдержки — 60 град/сек) превращения перлита в аустенит, на ней показывают время, необходимое для развития превращения до 50 и 100% при различных температурах.

Кривые превращения с осью ординат данной диаграммы, соответствующие 50 и 100% превращения, отложены в соответствии с данными о кинетике превращения при непрерывном нагреве со скоростью 60 град/сек. Данные точки взяты по кривым кинетики изотермического процесса при температурах 745, 755 и 770°.

Как показывает диаграмма, к началу изотермической выдержки при температуре 760° уже имеется около 40% аустенита. Для окончания превращения при этой температуре необходима выдержка продолжительностью 200 сек. Изотермический процесс при температуре 790° начинается при наличии 50% аустенита, а для завершения процесса при этой температуре требуется еще 200 сек.

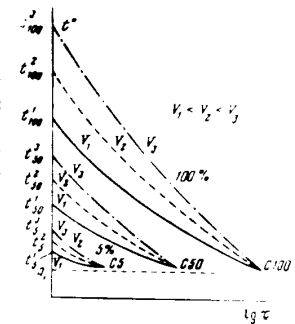
При температуре 820° превращение перлита в аустенит начинается еще во время нагрева до температуры изотермической выдержки, а следовательно, лишь процесс образования аустенита и собирательной рекристаллизации.

Фиг. 5. Влияние скорости нагрева на кинетику образования аустенита в стали У-8. На графике показаны кривые превращения перлита в аустенит при различных температурах выдержки A_1 и A_2 при одной определенной скорости нагрева.

Положение точек пересечения кривых фиг. 4 с осью ординат не остается постоянным и изменяется в зависимости от скорости нагрева и температуры выдержки.

На фиг. 5 приведена схема, показывающая влияние изменения скорости нагрева на кинетику изотермического образования аустенита в стали У-8. Точки пересечения кривых с осью ординат, близкие к A_1 , обозначены нами A_1' , а точки пересечения с осью абсцисс — A_1 . В зависимости от температуры выдержки и скорости нагрева время окончания образования аустенита в стали У-8 при непрерывном переагреве, при котором не было превращения. Положение точек пересечения не зависит от скорости нагрева и температуры выдержки, а определяется исходной структурой. В зависимости от температуры выдержки и скорости нагрева время окончания превращения перлита в аустенит в стали У-8 характеризуется по мере увеличения температуры выдержки и скорости нагрева.

На фиг. 6 приведена диаграмма, характеризующая кинетику превращения перлита в аустенит в стали У-8 при постоянной температуре выдержки и при различных скоростях нагрева. Она наглядно показывает, что при постоянной температуре выдержки время окончания превращения перлита в аустенит в стали У-8 не зависит от скорости нагрева до температуры изотермической выдержки, а определяется только температурой выдержки и временем полного завершения превращения при этой температуре.



Фиг. 5. Влияние скорости нагрева на кинетику образования аустенита в стали У-8. Время изотермической выдержки τ в сек., температура t в °С.

температуре, увеличивается, так как при этом уменьшается степень деформации, достигаемая в процессе нагрева, до начала формирования...

Июль-август 1953

ЛИТЕРАТУРА

1. Штеинберг С. С. Кинетика превращения аустенита при нагревании в углеродистой стали. Тр. Уральск. индустриальн. инст., № 4, 1957.
2. Миркин В. Г. и Блаватер М. Е. Кинетика превращения аустенита. Металлургия, М., 1937.
3. Блаватер М. Е. Образование аустенита и структура закаленной стали. Об. «Новое в металлургии», Виптоман, 1948.
4. Roberts D. and Mehl R. The mechanism and the Rate formation of austenite. Trans. of Amer. Soc. for Metals, 31, 1940.
5. Гудяев А. П. и Зайкин В. М. К вопросу об анализе термических кривых скоростного нагрева стали. ЖТФ, XXIV, 1954.
6. Гудяев А. П. и Зайкин В. М. Влияние скорости нагрева на положение температурного интервала превращения перлита в аустенит. ЖТФ, вып. 2, 1954.
7. Гудяев А. П. и Зайкин В. М. Кинетика фазовых превращений в стали при нагреве. Изв. АН СССР, ОТН, 1955.
8. Лавров А. А. Геометрические методы количественного анализа агрегативных микростроений. Гостеоиздат, 1941.

ПРОЧНОСТЬ И ПЛАСТИЧНОСТЬ
СЛОЖНОГО ЗАКАТОЧНОГО КОНСТРУКЦИОННОГО СТАЛИ

М. П. ВРАУН и Е. Е. МАЙСТРЕНКО

(Киев)

Изготовление крупногабаритных деталей ответственного, и особенно турбинного, машиностроения требует такой стали, которая могла бы обеспечить сложный комплекс свойств прочности и пластичности при достаточно высокой вязкости и минимальной склонности к отпускной хрупкости.

Работа, проведенная в условиях Ново-Краматорского машиностроительного завода им. Сталина, преследовала цель изучить влияние мартеновской обработки некоторых легирующих элементов на свойства хромомарганцевой и хромоникелевой стали.

Из работ (1,2) следует, что марганец и хром повышают твердость и прочность конструкционной стали; особенно благоприятно влияние марганца на прокаливаемость стали, что важно для крупногабаритных изделий.

Дополнительное легирование хромомарганцевой стали никелем благоприятно действует в смысле повышения вязкости и пластичности.

Было намечено исследовать стали I группы с содержанием углерода II группы 2,3—2,7% никеля (табл. 1).

Стали обеих групп дополнительно легировали в небольших количествах следующими элементами: ванадием, вольфрамом, титаном, ниобием, молибденом и в комплексе. В качестве комплексного были исследованы также сплавы двумя и тремя элементами: титаном и вольфрамом, титаном и вольфрамом и титаном, ванадием и вольфрамом.

Выплавка образцов осуществлялась в вакуумной камере с индукционной печью емкостью 1 т. Для исследования влияния содержания углерода на свойства стали были выплавлены также образцы с содержанием углерода 0,15% и 0,25%. Для исследования влияния легирующих элементов на свойства стали были выплавлены образцы с содержанием никеля 2,3% и 2,7% в различных вариантах.

После выплавки образцы подвергались термической обработке: нагреву до температуры 850—900°C, выдержке и охлаждению.

Определение механических свойств проводилось на образцах стандартных размеров по методу Мэншета.

Заготовки разрывных и ударных образцов подвергались предварительному отпуску при температуре 300°C. Охлаждение после отпуска осуществлялось в масле.

Химический состав исследованных сталей

Таблица 1

Комбинации № плавки

Средний химический состав

Группа	C	Mn	Cr	Ni	Si	S	P
Cr-Mn-Ni	0.39	1.48	1.15	1.30	0.35	0.030	0.025
Cr-Mn-Ni-Ti	0.36	1.35	1.16	1.54	0.30	0.027	0.026
Cr-Mn-Ni-V	0.38	1.47	1.17	1.40	0.34	0.028	0.021
Cr-Mn-Ni-W	0.37	1.25	1.06	1.57	0.24	0.029	0.020
Cr-Mn-Ni-Mo	0.38	1.20	1.07	1.54	0.19	0.030	0.022
Cr-Mn-Ni-Nb	0.36	0.99	1.01	1.58	0.30	0.018	
Cr-Mn-Ni-Ti-W	0.36	1.12	1.04	1.56	0.24	0.029	0.018
Cr-Mn-Ni-V-W	0.35	1.39	1.09	1.45	0.24	0.018	0.024
Cr-Mn-Ni-Ti-V-W	0.36	1.24	1.09	1.68	0.29	0.020	0.021
II группа							
36	0.36	1.32	1.11	2.23	0.37	0.029	0.022
74	0.36	1.36	1.27	2.51	0.28	0.015	0.026
100	0.36	1.06	1.09	2.61	0.17	0.015	0.027
127	0.37	1.36	1.16	2.35	0.27	0.028	0.021
135	0.36	1.26	1.07	2.29	0.29	0.030	0.021
149	0.36	1.26	1.06	2.47	0.30	0.016	0.021
159	0.36	1.26	1.06	2.51	0.30	0.015	0.027
160	0.36	1.26	1.06	2.30	0.34	0.029	0.021
161	0.36	1.26	1.06	2.44	0.28	0.019	0.021
162	0.37	0.99	1.05	1.73	0.24	0.029	0.019
114	0.36	0.75	1.10	1.68	0.29	0.020	0.021
Cr-Ni-W	0.36	0.93	1.01	2.17	0.29	0.020	0.021

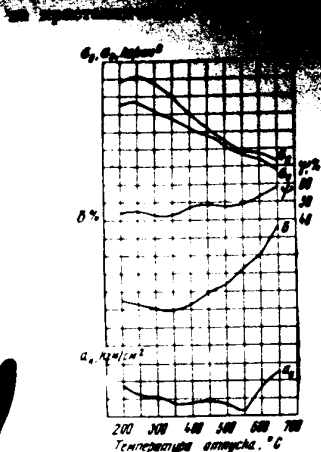
Средние значения механических характеристик сталей после закалки и выдержки при температуре 600°С в течение 1 часа в табл. 1 (см. № плавки)

T-600°

№ плавки	σ_b	σ_s	δ	ψ	a_k	σ_b	σ_s	δ	ψ
36	96.4	—	8.4	48.3	3.37	92.5	86.2	11.4	55.2
74	104.4	96.2	8.7	52.8	4.8	92.3	80.7	11.9	62.9
100	111.7	106.0	8.0	46.0	2.75	133.2	128	6.9	44.1
127	113.7	104.9	9.4	55.7	5.85	97.9	90.2	13.5	57.2
135	105.0	97.6	8.9	96.6	10.9	96.1	86.5	11.2	54.7
149	110.0	106.1	8.4	52.3	5.50	94.4	85.7	10.0	62.9
159	113.5	108.9	8.5	48.9	7.1	96.1	90.5	13.0	52.9
160	118.0	111.1	8.7	46.0	5.70	110.3	103.8	11.2	56.0
161	123.7	117.9	7.5	45.9	3.8	111.7	110.5	7.2	54.0

Сравнение основных механических характеристик опытных сталей после закалки и выдержки при температуре 600°С в течение 1 часа в табл. 1 (см. № плавки)

№ плавки	σ_b	T-350°				T-600°			
		σ_b	σ_s	δ	ψ	σ_b	σ_s	δ	ψ
36	96.4	93.0	9.3	49.6	2.38	95.6	84.4	10.9	53.7
74	104.4	99.1	9.3	—	1.0	105.5	89.5	10.0	—
100	111.7	111.1	18.2	—	—	108.4	104.4	8.0	56.4
127	113.7	107.0	—	—	—	100.2	96.5	13.5	50.7
135	105.0	98.0	—	—	—	99.0	94.1	10.6	58.4
149	110.0	106.0	—	—	—	94.1	88.1	10.8	59.2
159	113.5	108.0	—	—	—	96.1	90.5	13.0	52.9
160	118.0	111.0	—	—	—	110.3	103.8	11.2	56.0
161	123.7	117.9	—	—	—	111.7	110.5	7.2	54.0



Фиг. 5. Изменение механических свойств стали 35X12Z в зависимости от температуры отпуска T; плавка 36



Фиг. 6. Изменение механических свойств стали 35X12Z в зависимости от температуры отпуска T; плавка 36

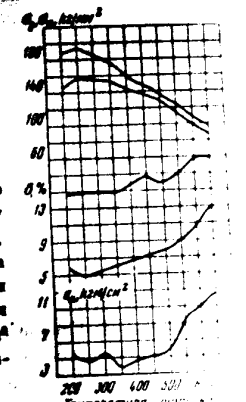
Повышение прочности и понижение вязкости стали в широком диапазоне температур (550—600°), видимо, связано с действием дисперсионных превращений мартенсита сложных, содержащих ванадий, карбидов в виде дисперсионной формы. При более высокой температуре отпуска (650°) происходит коагуляция карбидов, в силу чего снижаются свойства прочности и незначительно повышаются свойства вязкости и пластичности.

Неоспоренный интерес представляет сложнолегированная сталь, содержащая вольфрам. Прежде всего следует отметить, что у этой стали после отпуска при 550 и 600° показатели свойств прочности, вязкости и пластичности значительно превосходят показатели свойств обычной стали. При этом легирование стали вольфрамом понижает пороговую температуру текучести и пределом прочности и при температурах отпуска 500—650° различие между σ_2 и σ_1 составляет лишь 8—10 кг/мм² (рис. 2).

Вольфрам хотя и кристаллизуется в объемноцентрированной кубической решетке, подобно α -железу, но значительно отличается от него большим атомным радиусом (1.408 Å), что вызывает искажение кристаллической решетки. Необходимо обратить внимание, что вольфрам имеет более высокую плотность (19.3 г/см³) по сравнению с α -железом (7.86 г/см³). Вольфрам содержит 0.37% С при несколько меньшем содержании углерода (1.25%), чем у исходной стали.

... при отпускании при температуре 650° (с медленным охлаждением) сталь 35X12Z имеет предел прочности $\sigma_B = 105$ кг/мм², предел текучести $\sigma_0.2 = 46$ кг/мм², относительное удлинение $\delta = 10\%$.

Из приведенных данных видно, что сталь 35X12Z обладает высокими механическими свойствами при отпускании при температуре 650°. Это связано с тем, что вольфрам, содержащийся в стали, образует карбиды, которые препятствуют движению дислокаций. Кроме того, вольфрам повышает температуру отпуска, необходимую для достижения заданных свойств. Вольфрам также способствует образованию более мелких карбидов, что повышает прочность и вязкость стали.



Фиг. 7. Изменение механических свойств стали 35X12Z в зависимости от температуры отпуска T; плавка 36

Вольфрам имеет более высокую плотность (19.3 г/см³) по сравнению с α -железом (7.86 г/см³). Вольфрам содержит 0.37% С при несколько меньшем содержании углерода (1.25%), чем у исходной стали.

Вольфрам имеет более высокую плотность (19.3 г/см³) по сравнению с α -железом (7.86 г/см³). Вольфрам содержит 0.37% С при несколько меньшем содержании углерода (1.25%), чем у исходной стали.

Вольфрам имеет более высокую плотность (19.3 г/см³) по сравнению с α -железом (7.86 г/см³). Вольфрам содержит 0.37% С при несколько меньшем содержании углерода (1.25%), чем у исходной стали.

Вольфрам имеет более высокую плотность (19.3 г/см³) по сравнению с α -железом (7.86 г/см³). Вольфрам содержит 0.37% С при несколько меньшем содержании углерода (1.25%), чем у исходной стали.

решения стали, легированной титаном, вольфрамом и танталом, обеспечивающей высокую прочность и пластичность, не уступающей по свойствам стали высокой вязкости.

Данные о свойствах прочности, вязкости и пластичности II группы, содержащих больше никеля (2,4—3,3 %), чем первая группа (1,3—1,7 %), позволяют сделать следующие выводы:

Повышение содержания никеля в стали исходного состава (плавка 36) не вызывает никаких существенных изменений (фиг. 5).

У стали, дополнительно легированной титаном (плавка 74), наблюдается малое понижение динамической вязкости, а у стали, дополнительно легированной ванадием (плавка 100), — незначительное ее повышение.

При этом сочетание свойств прочности и вязкости обеспечивается легированием дополнительно легированной вольфрамом (плавка 71) либо ванадием (плавка 72). Однако свойства сохраняются на том же уровне, что и у стали I группы соответствующего состава. Из сравнения данных таблиц 3 и 4 можно сделать вывод, что повышение содержания никеля до 2,5% (таблица 1) в стали рассмотренных композиций, не изменяет существенно ее механические свойства. При этом мы не касаемся вопроса влияния подобного повышения содержания никеля на прокаливаемость стали, так как этот вопрос будет рассмотрен в отдельной статье.

Указанные выше соображения на основании проведенных экспериментов позволили подвергнуть более углубленному изучению сложную легированную сталь 35ХГНВ (фиг. 6). Результаты определения свойств этой стали и стали хромоникелевой (35ХНМ, фиг. 7) показали, что первая сталь обладает не только теми же свойствами прочности и пластичности, что и сталь 35ХНМ, но и более высокой динамической вязкостью.

Поступило 24 II 1955

ЛИТЕРАТУРА

- 1 Браун М. П. Основные свойства конструкционной хромомарганцевой стали. Изд. АН УССР, 1953.
- 2 Браун М. П. Комплекснолегированные конструкционные стали. Изд. АН УССР, 1952.

ВЛИЯНИЕ НА ИЗМЕНЕНИЕ СМАЧИВАЕМОСТИ НЕФТИ В НЕФТЯНЫХ КОЛЛЕКТОРАХ

С. А. ШИШОВ, В. Б. ШНЕЕРСОН и А. Г. МАМИКОНОВ

(Москва)

Проблема нефтеотдачи из продуктивных пластов обычно рассматривается в зависимости дебита от давления. Американские авторы (Макет, Дюжес, Вильгун) считали, что поверхностные явления оказывают влияние на распределение нефти и воды в залежи и не зависят от давления⁽¹⁾. Применение различных методов интенсификации добычи нефти, особенно закачки воды, показало, что роль поверхностных явлений весьма велика и сильнее всего выражена в процессах отмывки нефтей различными водами. Поэтому влияние давления на изменение поверхностных свойств нефтей в вмещающих горных породах представляет особый интерес.

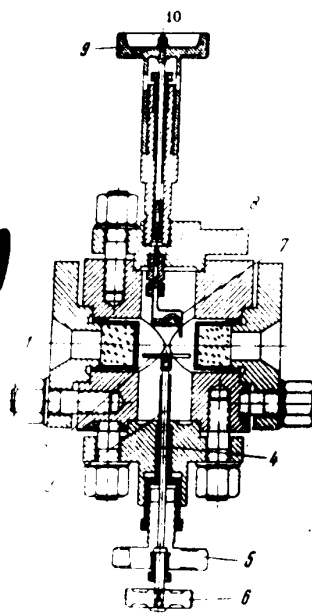
В последнее время в нефтяных научно-исследовательских учреждениях большое внимание уделяется исследованиям при высоких давлениях. В области работы технологии добычи нефти проводится определение различных физических и физико-химических характеристик нефтей и нефтегазовод при высоких давлениях и температурах (вязкость, плотность и др.).

М. М. Нусиков, Н. М. Лубман, А. Ю. Кошевич провели ряд работ по исследованию молекулярно-поверхностных свойств нефтей и нефтепродуктов при повышенных давлениях и температурах в отношении поверхностного натяжения на границе нефть — газ, нефть — вода, установили зависимость этих характеристик от полярности нефтей и газовой фазы^(2,3). До сих пор, однако, сравнительно мало изучено явление смачивания, которое играет большую роль в процессах вытеснения нефти из пласта, оно является чувствительным методом исследования и позволяет изучать поверхностные явления, происходящие в пласте при его разработке.

Впервые работы по определению краевых углов смачивания при различных давлениях были поставлены в Институте атомной промышленности в лаборатории И. Р. Кричевского и Е. Е. Большаковым⁽⁴⁾. Наблюдения изменения смачиваемости металлов различными жидкостями на границе с азотом, водородом, углекислым газом и кислородом при давлениях от 1 до 800 кг/см². В этих условиях при увеличении давления с увеличением давления ухудшаются.

М. М. Нусиковым, Н. М. Лубман и А. Ф. Ковалем в работе⁽⁵⁾ изучали изменение смачиваемости при высоких давлениях. В этой работе были проведены на границе с парафином и металлами измерения угла смачивания краевого угла весьма малыми количествами

наибольшим образом
на канальцах канальцев
часть камеры вверх от штуцера.
При работе с давлением до 100
средственно на баллоне (фиг. 3); при



Фиг. 3. Схема камеры высокого давления.

Для сигнализации крайних положений ртути предусмотрена электропроводка (фиг. 4). К металлическому электроду, ввернутому в крышку газового стакана, прикреплен стержень из плексигласа, длина которого на 2 см меньше длины камеры стакана. На нижнем конце стержня помещен второй плоский металлический электрод, соединенный с верхним проводником с помощью резистора и потенциометра между электродами. Ток сравнения реле 1 равен 1 ма, а реле 2—30 ма. Когда ртуть находится ниже нижнего контакта, цепь разомкнута и реле 1 через нормально замкнутый контакт включает сигнальную лампочку 7 на штырь и будок, сигнализирующие о достижении ртутью нижнего уровня. Если ртуть находится между верхним и нижним контактами электрода, то в цепи реле протекает ток около 20 ма, реле 1 срабатывает и размыкает свои контакты, вследствие чего зеленая лампочка гаснет и будок преобразуется.

на. При работе насосом ГИВД с производительностью 1 д/час. Для предотвращения над ртутью в этом стакане выложено вазелиновым маслом, которое нагревается насосом из масляного бачка 3. При сильном масле поступает в этот же бачок. Второй стакан — газовый — может соединяться с газовым баллоном 1 и манетрой высокого давления 2. При работе насосом сильно вытесняется ртуть в газовый стакан, увеличивая объем и следовательно давление газа в стакане 2 в камере низкого давления. Уровень ртути в стаканах контролируется по объему масла в сливном масляном бачке, изготовленном из плексигласа.

Для сигнализации крайних положений ртути предусмотрена электропроводка (фиг. 4). К металлическому электроду, ввернутому в крышку газового стакана, прикреплен стержень из плексигласа, длина которого на 2 см меньше длины камеры стакана. На нижнем конце стержня помещен второй плоский металлический электрод, соединенный с верхним проводником с помощью резистора и потенциометра между электродами. Ток сравнения реле 1 равен 1 ма, а реле 2—30 ма. Когда ртуть находится ниже нижнего контакта, цепь разомкнута и реле 1 через нормально замкнутый контакт включает сигнальную лампочку 7 на штырь и будок, сигнализирующие о достижении ртутью нижнего уровня. Если ртуть находится между верхним и нижним контактами электрода, то в цепи реле протекает ток около 20 ма, реле 1 срабатывает и размыкает свои контакты, вследствие чего зеленая лампочка гаснет и будок преобразуется.

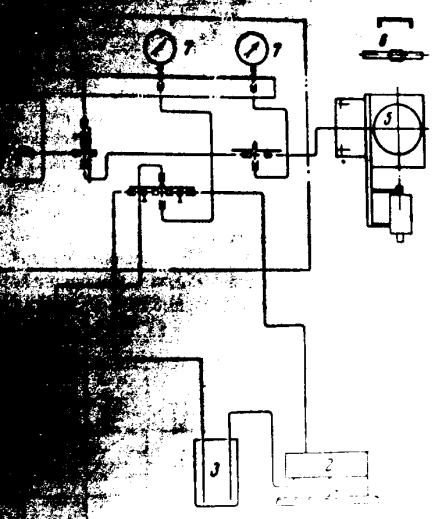
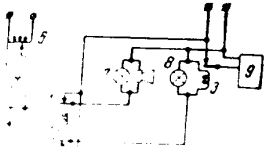


Схема установки высокого давления.

При вытеснении масла из поджимки, под небольшим давлением вытесняется световой и звуковой сигналы о достижении ртутью нижнего уровня, а при вытеснении масла — световой сигнал о достижении ртутью верхнего уровня, и автоматически прекращается нагревание. Измерение краевых углов смачивания в геттерной трубке при высоком давлении производится следующим образом. В камеру высокого давления на объектный столик помещают каплю масла, предварительно обработанного в вакуумной камере. В камере наливают дистиллированную воду или спирт, после чего он закрывается в крышке камеры. В центре камеры, так, чтобы свет попал под кончик канальца, помещают объектив оптической системы (по кончику канальца) и вращают камеру. Когда объектив в камере и канальце выровнены, свет падает на каплю в камере и канальце, вследствие чего происходит смачивание. Капля подвергается сжатию под давлением высокого давления. Капля должна быть предварительно высушена в вакуумной камере.

стакан. Увеличение угла смачивания
из масляного стакана в бочку при
груть в масляном стакане поднимается до

Когда достигается необходимое давление



ваго, которую
используя ее
системы и приспособления
Все исследования
так, что капли выносятся
деленном, заранее заданном давлении. Краевые углы измерялись несколько раз до получения устойчивых результатов и брались средние данные.

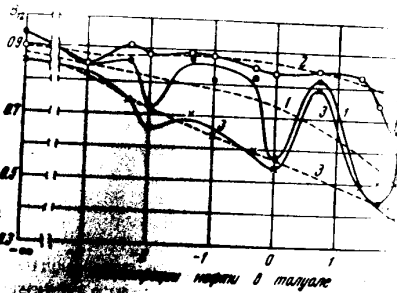
На границе с азотом смачивание наблюдалось при разных давлениях — от 1 до 350 кг/см². Были исследованы четыре нефти из разных

ме Горадени (Сов. Кавк.), Баку, ромашкинского, туймазинского, бузовицкого и им. Ленина. Первые две — девонские из районов Второго Баку, а вторые — две, бакинские — из подкирмачинской свиты.

Особенно подробно изучено влияние ромашкинской нефти. В этом случае были исследованы концентрации толуольных растворов, которые нами изучались ранее (см.) на других нефтях, в пределах от 0,001 до 100 %. Такие опыты проведены при атмосферном давлении, при 150 и 350 кг/см² и с семью различными концентрациями нефти в толуоле при всех указанных выше давлениях (фиг. 5 и 6).

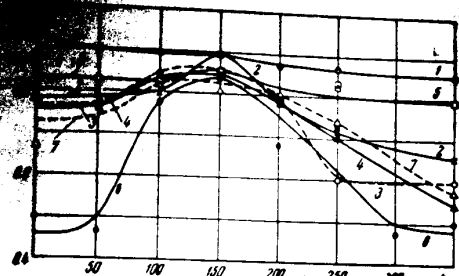
Кривая смачивания $V_{12} = \cos \theta$, полученная с ромашкинской нефтью при атмосферном давлении, дает взломы в зависимости от изменения концентрации нефти в толуоле (фиг. 5). Взятые логарифмы концентраций, так как последние изменяются в широком пределах.

С этой нефтью капли воды после нанесения на поверхность шлифа сразу достигли равновесия, а постепенно растекались, что особенно заметно при больших концентрациях (50—75 %) нефти в толуоле. Аналогичное явление наблюдается только с одной из исследованных нами неф



Фиг. 5. Изменение смачиваемости кальцита, обработанного толуольными растворами ромашкинской нефти, при атмосферном и при высоком давлении. Гистерезисное смачивание $V_{12} = f(c)$; ● — 1 кг/см²; ○ — 1 кг/см²; × — 350 кг/см²; пунктиром показана основная закономерность изменения смачиваемости от давления

поверхности
резко изменяется: при
в толуоле получены значения
 $V_{12} = 0,900-0,840$) и даже при смачива



Фиг. 6. Изменение смачиваемости кальцита, обработанного толуольными растворами ромашкинской нефти, в зависимости от давления p (кг/см²). Гистерезисное смачивание (V_{12}) на границе: кальцит — капля воды (дест.) — азот: 1. ⊙ — 0 %, 2. × — 0,01 %, 3. ○ — 0,5 %, 4. △ — 1,0 %, 5. □ — 5,0 %, 6. ● — 25,0 %, 7. △ — 100,0 %

центрации, которая заметно выше других. Результаты получены при давлении, отличающемся от только что описанных. В этом случае, как и ожидалось, чем при атмосферном давлении, кривая смачивания находится ниже других кривых. При увеличении давления кривые смачивания сближаются (при атмосферном давлении), но при этом смещаются. Таким образом, кривые смачивания при атмосферном давлении, занимают промежуточное положение. С увеличением давления выравниваются колебания и настраиваются при атмосферном давлении.

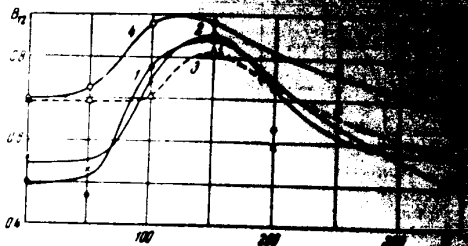
При 150 кг/см² в основном выявляется свойство ромашкинской нефти давать высокие значения смачивания, а при 350 кг/см² заметно ухудшается. На фиг. 5 штрихами показаны основные закономерности изменения смачивания от давления.

Опыты по смачиванию кальцита, обработанного толуольными растворами ромашкинской нефти, показали, что с повышением давления кривые смачивания сближаются, а с дальнейшим увеличением давления кривые смачивания сдвигаются вправо, достигая наименьших значений при давлении 350 кг/см².

При этом давлении изменение смачивания с увеличением давления, смачиваемость кальцита, обработанного толуольными растворами, достигает наименьших значений.

Краевые углы при этих давлениях, полученные при атмосферном давлении, составляют $\theta_{12} = 57-71^\circ$ (фиг. 6).

При 100 %-ной концентрации нейтральной. Слабее всего раствор, так как с этой концентрацией достигается хорошее смачивание.



Фиг. 7. Изменение смачиваемости mica, обработанного толуоливыми растворами нефти Второго Баку при различных давлениях p (кг/см^2) на границе с воздухом (или вакуумом) (1) — Румынская нефть — 25 %-ный раствор нефти в толуоле; 2 — дистиллированная вода; 3 — гидрокарбонатная вода; 4 — NaCl 10 % (в дистиллированной воде). Тулуоливая нефть — 1 %-ный раствор нефти в толуоле; 4. О — дельта-12.

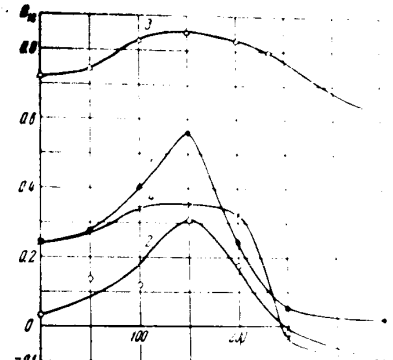
Особенно важно изменение смачивания в случае краевой капли, т. е. при обработке mica чистым толуолом. Здесь при увеличении давления краевые углы лишь немного уменьшаются ($\theta_{12} = 21$ до 16° , $\theta_{12} = 31^\circ$), т. е. смачивание несколько ухудшается (значение $B_{12} = 0.933$ до $B_{12} = 0.857$). Эти результаты сходны с данными, полученными при исследованиях на чистых поверхностях mica в лаборатории И. Р. Кричевского) и парафина В.А. Сидорова при обработке нефти в растворе, которым обрабатывалась mica. Однако при отсутствии поверхностно-активных молекул в растворе при этом давлении действие неоднозначно, вызывая увеличение угла смачивания.

Повышение смачивания в интервале давлений от 100 до 300 kg/cm^2 при наличии нефтяной адсорбционной пленки, видимой при микроскопической ориентации молекул в адсорбционном слое и наблюдаемой при этих давлениях. То, что при атмосферном давлении краевые углы образно изменяются с концентрацией и давлением, так же как и при каплях на шифте, также наблюдается при адсорбции в адсорбционном слое сохраняют воднистую пленку.

Именно при этих давлениях подвижность молекул затронутой поверхности увеличивается в адсорбционном слое, т. е. в этом случае наблюдается эффект угнетения смачивания. При отсутствии поверхностно-активных молекул при этих давлениях подвижность молекул затронутой поверхности увеличивается в адсорбционном слое, т. е. в этом случае наблюдается эффект угнетения смачивания. При отсутствии поверхностно-активных молекул при этих давлениях подвижность молекул затронутой поверхности увеличивается в адсорбционном слое, т. е. в этом случае наблюдается эффект угнетения смачивания.

При больших давлениях этот эффект ослабевает, так как при этих давлениях краевые углы достигают максимальных значений.

При больших давлениях этот эффект ослабевает, так как при этих давлениях краевые углы достигают максимальных значений.

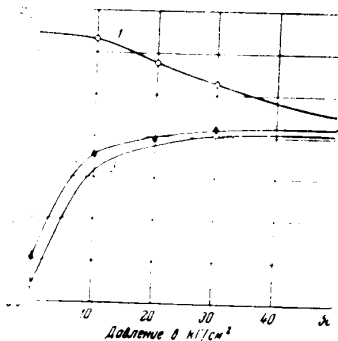


Фиг. 8. Изменение смачиваемости mica толуоливыми растворами нефти при различных давлениях p (кг/см^2) на границе с воздухом (или вакуумом) (1) — дистиллированная вода; 2 — гидрокарбонатная вода; 3 — NaCl 10 % (в дистиллированной воде); 4 — 1 %-ный раствор нефти в толуоле; 4. О — дельта-12.

При атмосферном давлении краевые углы образно изменяются с концентрацией и давлением, так же как и при каплях на шифте, также наблюдается при адсорбции в адсорбционном слое сохраняют воднистую пленку.

бузовишского месторождения две концентрации: 0,1 и 1,0%. На кривых при 150 кг/см² давление является максимумом, отвечающий наибольшему смачиванию. При больших давлениях краевые углы достигают малых значений и даже переходят в отрицательную область смачивания, что отвечает наибольшей гидрофобизации поверхности. С нефтью из месторождения км. Лейкина при атмосферном давлении $\theta_{12}^{\text{средн.}} = 82^\circ$, при 150 кг/см² $\theta_{12}^{\text{средн.}} = 65^\circ$ и при 350 кг/см² $\theta_{12}^{\text{средн.}} = 93^\circ$ (фиг. 8).

Аналогичные результаты получены с 1%-ным раствором бузовишской нефти. Только при малых давлениях эффект повышения смачивания (гидрофобизации) не так четко выявлен; однако при больших давлениях (выше 200 кг/см²) наблюдается такое же сильное ухудшение смачивания.



Фиг. 8. Изменение смачиваемости кальцита, обработанного чистым толуолом и 25%-ным раствором ромашкинской нефти в толуоле при различных давлениях p (кг/см²) на границе с азотным газом. Густеразное смачивание: 1 — на границе кальцит—капля воды (среднее за 4 мин.); 2 — 25%-ный раствор нефти (среднее за 8 мин.); 3 — 0,1%-ный раствор нефти (среднее за 4 мин.)

В азот, начиная с 200—250 кг/см², снижается. Это наблюдается по всем нефтям, при всех концентрациях и особенно сильно выражено при больших концентрациях.

Отмеченная закономерность справедлива для туймазинской и бакинских нефтей, несмотря на то что они не обладают такой резко выраженной полярностью, как ромашкинская нефть. Только при отсутствии нефтяной адсорбционной пленки нет области максимума, а с увеличением давления смачивание лишь немного ухудшается.

При наблюдении смачиваемости кальцита в среде азота также обнаружено аналогичное явление. Выдающиеся максимумы при различных давлениях (от 1 до 50 кг/см²) отмечены для обработанного толуолом, а другая серия — для обработанного 25%-ным раствором ромашкинской нефти.

Краевой угол при 350 кг/см² равен $\theta_{12} = 96^\circ$, а при 150 кг/см² этот угол $\theta_{12} = 70^\circ$.

При малой концентрации (0,1%) это явление особенно, но все же с повышением давления снова заметно повышение смачивания в области 400—200 кг/см² ($\theta_{12} = 32—34^\circ$), а при 350 кг/см² величина краевого угла становится несколько больше, чем при атмосферном давлении; при 1 кг/см² $\theta_{12} = 44^\circ$, а при 350 кг/см² $\theta_{12} = 50^\circ$ (фиг. 8).

Таким образом, во всех исследованных случаях смачивание на границе с азотом изменяется в зависимости от давления, так что вначале, с повышением давления примерно до 150 кг/см², оно увеличивается,

а затем, начиная с 200—250 кг/см², снижается. Это наблюдается по всем нефтям, при всех концентрациях и особенно сильно выражено при больших концентрациях.

Отмеченная закономерность справедлива для туймазинской и бакинских нефтей, несмотря на то что они не обладают такой резко выраженной полярностью, как ромашкинская нефть. Только при отсутствии нефтяной адсорбционной пленки нет области максимума, а с увеличением давления смачивание лишь немного ухудшается.

При наблюдении смачиваемости кальцита в среде азота также обнаружено аналогичное явление. Выдающиеся максимумы при различных давлениях (от 1 до 50 кг/см²) отмечены для обработанного толуолом, а другая серия — для обработанного 25%-ным раствором ромашкинской нефти.

При обработке адсорбционного слоя ромашкинской нефти, с увеличением давления азотного газа, наблюдается обратный процесс — смачивание.

После обработки толуолом, с увеличением давления смачиваемость кальцита водой заметно ухудшается. Краевой угол возрастает от $\theta_{12} = 19^\circ$, при атмосферном давлении, до $\theta_{12} = 41^\circ$ при 30—50 кг/см² CO₂, т. е. наблюдается такая же закономерность, как и с азотом, но здесь она выражена сильнее.

При обработке адсорбционного слоя ромашкинской нефти, с увеличением давления азотного газа, наблюдается обратный процесс — смачивание. После обработки толуолом, с увеличением давления смачиваемость кальцита водой заметно ухудшается.

Краевой угол возрастает от $\theta_{12} = 19^\circ$, при атмосферном давлении, до $\theta_{12} = 41^\circ$ при 30—50 кг/см² CO₂. Следовательно, при наличии углекислного газа (50 кг/см²) смачиваемость кальцита повышается раствором нефти в толуоле и чистым толуолом, очевидно, сильнее ($\theta_{12} = 48^\circ$).

Результаты измерения краевых углов $\Delta\theta_{12}$ при 30 кг/см² CO₂ остаются лишь в том, что при атмосферном давлении $\Delta\theta_{12} = 70^\circ$ (фиг. 5).

Наличие пленки растекания капли воды на поверхности кальцита при наличии нефтяной адсорбционной пленки имеет место и при атмосферном давлении. В ряде случаев при высоких давлениях капли сразу растекаются и даже не успевают сформироваться тем быстрее, чем больше давление.

В среде азота обработка чистым толуолом капли стабильными и равномерными во времени не наблюдается, несмотря на то что скорость течения более высокая и, следовательно, капля воды должна быстрее растекаться по поверхности гидрофобизованной поверхности. Это явление можно объяснить предположением о том, что на поверхности смачиваемости минерала, очевидно, растворены в азоте молекулы азота, которые способствуют вхождению в нее полярных молекул воды.

Полученные данные имеют большое практическое значение. В нефтяной промышленности они позволяют глубже проникнуть в процессы смачивания в скважине, и создавать наиболее благоприятные условия для увеличения проницаемости путем изменения давления.

Известно, что в скважинах трудно, что введение в них азота имеет ряд положительных результатов и что в промышленности должны быть подобраны оптимальные условия действия азота. Высокие давления могут лишь ослабить взаимодействие азота с нефтью и снизить вымывающее действие азота на нефть. Аналогичные данные нами получены при исследовании смачивания на границе с метаном, где эти закономерности выражены сильнее. Данные этих работ являются предметом следующей работы.

М. А. Рахман, В. В. Шварцман и А. В. Шварцман

Выводы

1. Исследовалась смачиваемость водой кальцита, обработанного одним толуолом и толуольными растворами различных нефтей (ромашикнской, туймазинской, долинской и бузовинской) при разных давлениях (от 1 до 350 кг/см²) на границе с азотом и смачиваемость кальцита, обработанного толуолом и 25%-ным раствором ромашикнской нефти в толуоле, в среде углекислого газа, при давлениях от 1 до 50 кг/см².

2. Показано, что в среде азота с увеличением давления до 50 кг/см² смачиваемость водой мало изменяется, затем улучшается, достигает максимума около 150 кг/см², после чего снова снижается и при 250—350 кг/см² ставится ниже, чем при атмосферном давлении.

Таким образом, в присутствии нефтяной адсорбционной пленки на поверхности минералов смачиваемость изменяется в зависимости от давления, давая на границе с азотом optimum смачивания в области давлений 150 кг/см².

В среде углекислого газа смачиваемость кальцита, обработанного 25%-ным раствором ромашикнской нефти в толуоле, тоже улучшается с повышением давления и при 30—50 кг/см² достигает наибольших значений.

3. При отсутствии нефтяной адсорбционной пленки, т. е. после обработки шифа кальцита чистым толуолом, смачиваемость (на границе с азотом и углекислым газом) практически не изменяется.

4. Полученные данные по смачиваемости минералов в присутствии газовой фазы показывают, что в зависимости от нефти и минеральной среды можно различать нефтяные пленки по своим отмычкам, определяемым составом и составом газовой фазы.

Институт нефти АН СССР

Поступило 12 XI 1964

ЛИТЕРАТУРА

1. Рахман, М. А. Физические основы технологии добычи нефти, Гостнефтеиздат, 1953.

2. Рахман, М. А., Жузе Т. П., Закс С. Д. Исследования влияния нефти — газа и влияние на них пород пласта. Труды института геологии и разведки научно-исследовательских работ в области вторичных методов добычи нефти. Изд. АН Азерб. ССР, Баку, 1953.

3. Рахман, М. А., Шварцман В. В. Переходные явления и капиллярные эффекты при движении нефти в пористых телах. Труды института геологии и разведки научно-исследовательских работ в области вторичных методов добычи нефти. Изд. АН Азерб. ССР, Баку, 1953.

4. Рахман, М. А. Результаты исследования пластовых нефтей Восточной Азербайджанской области. Труды института геологии и разведки научно-исследовательских работ в области вторичных методов добычи нефти. Изд. АН Азерб. ССР, Баку, 1953.

5. Рахман, М. А. Деформация пород нефтяными жидкостями восточных районов и кинетика процесса. Труды института геологии и разведки научно-исследовательских работ в области вторичных методов добычи нефти. Изд. АН Азерб. ССР, Баку, 1953.

6. Рахман, М. А., Шварцман В. В. и Кошечкин А. Ю. Влияние температуры на поверхностное натяжение нефти. ДАН АЗССР, 1964.

7. Рахман, М. А. Методика для измерения поверхностного натяжения нефти в пластовых условиях. Труды института геологии и разведки научно-исследовательских работ в области вторичных методов добычи нефти. Изд. АН Азерб. ССР, Баку, 1953.

8. Рахман, М. А., Шварцман В. В. Смачиваемость твердых тел нефтяными жидкостями. Труды ИИАИ, вып. 4, Гостнефтеиздат, 1964.

9. Шварцман В. В. Исследования по физическим свойствам горючих жидкостей. Труды института геологии и разведки научно-исследовательских работ в области вторичных методов добычи нефти. Изд. АН СССР, т. 1, вып. 1, 1949.

10. Рахман, М. А. Исследования по физическим свойствам горючих жидкостей. Труды института геологии и разведки научно-исследовательских работ в области вторичных методов добычи нефти. Изд. АН СССР, т. 1, вып. 2, 1950.

11. Шварцман В. В., Рахман М. А., Шварцман А. П., Шварцман Н. П. Влияние нефти на поверхностное натяжение жидкостей и состав нефтяных коллекторов. Труды института геологии и разведки научно-исследовательских работ в области вторичных методов добычи нефти. Изд. АН СССР, т. 1, вып. 3, 1951.

12. Рахман, М. А. Исследования по физическим свойствам горючих жидкостей. Труды института геологии и разведки научно-исследовательских работ в области вторичных методов добычи нефти. Изд. АН Азерб. ССР, Баку, 1953.

13. Рахман, М. А., Шварцман В. В. и Фердинанд Р. В. Исследования по физическим свойствам горючих жидкостей (ДВ) и применению в добыче нефти. Труды института геологии и разведки научно-исследовательских работ в области вторичных методов добычи нефти. Изд. АН СССР, т. VI, 1955.

14. Рахман, М. А., Линец М. Е., Рахман М. М. и Гауэр М. М. Исследования по физическим свойствам горючих жидкостей флотационных процессов. Металлургия, М., 1955.

15. Рахман, М. А. Транспортир для непосредственного отсчета краевых углов смачивания. Заводская лаборатория, № 3, 1933.

ИЗДАНИЕ АКАДЕМИИ НАУК СССР
СЕРИЯ ХИМИЧЕСКИХ НАУК

1963

КИНЕТИКА РЕГЕНЕРАЦИИ ПЫЛЕВИДНЫХ КАТАЛИЗАТОРОВ

В. А. ПАВЛОВИЧ И А. Л. РОЗЕНТАЛ

М

Изучены кинетические процессы окисления нефтяных фракций, ароматических углеводородов и спиртов на катализаторах при образовании кокса, отлагавшегося на внешней и внутренней поверхности. В процессе регенерации катализаторов в зависимости от содержания кокса и скорости потока или газовой смеси изменяется содержание кислорода в условиях, обеспечивающих перегрев катализатора с его дезактивацией.

В настоящем сообщении изложены результаты изучения кинетики регенерации пылевидных катализаторов, получивших широкое промышленное применение.

Окисление кокса протекает не только на внешней поверхности частиц катализатора, но и в глубине их макро- и микропор. В процессе регенерации происходит непрерывный вымыв кокса, сопровождающийся изменением величины реакционной поверхности. Скорость вымывания концентрации кокса неодинакова по различным точкам частицы вследствие их неодинаковой доступности для кислорода. Это обстоятельство не имеет места при протекании процесса во внутренней кинетической области, когда концентрация кислорода по всей частице становится практически одинаковой и не отличающейся от концентрации в объеме. Уменьшение размеров частиц при прочих равных условиях способствует переходу реакции во внутреннюю кинетическую область.

Ниже показано, что на пылевидных катализаторах при обычных температурах регенерации процесс протекает во внутренней кинетической области. В этом случае для расчета процесса достаточно найти порядок реакции по кислороду и закономерности изменения величины реакционной поверхности во времени. Последняя задача эквивалентна определению зависимости величины реакционной поверхности, а следовательно, и скорости реакции от концентрации кокса на частице.

Рассмотрению окисления различных сортов углерода посвящено большое число исследований, позволивших наметить расщепление линий и установить механизм процесса [1, 2], однако вопросы регенерации катализаторов не получили достаточного освещения.

Кинетика регенерации пылевидных катализаторов в литературе не описана. В опубликованных работах [3-5] рассматриваются возможности окисления кокса на адмосидниатных катализаторах различных размеров, причем выводы отдельных авторов различны.

Кинетика регенерации пылевидных катализаторов

Хатербаумер и Гилл изучали регенерацию шарикового катализатора в вакуумной камере. Рассмотрены результаты, полученные уменьшением порции, можно заключить, что предельная скорость регенерации возрастает при увеличении содержания кокса на катализаторе до 3 % весов; дальнейшее повышение содержания кокса не меняет скорости регенерации.

Манчинок и Гольбанов изучали регенерацию отдельных гранул катализатора при помощи пружинных кварцевых весов. При содержании кокса на катализаторе меньше 1,6 % весов и температурах ниже 600 °С скорость окисления протекала во внутренней кинетической области; в температурах до 520 °С относительная скорость окисления была тем выше, чем ближе к ступени закоксованности катализатора. Период реакции выдвигается первым при содержании кислорода в газах до 30 % объема; при более высоких концентрациях кислорода. При температурах ниже 450 °С при подаче воздуха происходило увеличение веса катализатора, которое было отожествлено авторами с образованием периодического комплекса на поверхности катализатора. Авторы считают, что для роста скорости регенерации катализатора для использования его необходимо знать две кинетические константы (образующие комплекс) и начальное содержание комплекса.

Действительно, на основании экспериментальных данных можно сделать вывод, что скорость регенерации пропорциональна квадрату концентрации кокса.

Обобщенные результаты работ являются от отсутствия учета скорости вымывания кокса. Реакция окисления протекает в кинетической области только в том случае, когда температура окружающей среды будет выше температуры реакции возможно воспламенения кокса, реакция протекает во внешней диффузионной области.

Так, в приведенных Панченковым и Гольбановым данных, на основании которых был сделан вывод о зависимости относительной скорости окисления кокса от содержания кокса на катализаторе в отдельных случаях при вымывании кокса с пылевидных катализаторов скорость реакции действительно пропорциональна квадрату концентрации кокса, но приближалась к нулю.

Противоположность между скоростью регенерации и содержанием кокса в работе Панченкова и Гольбанова объясняется тем, что учеными не учтен процесс вымывания кокса с поверхности катализатора, а также акция температуры, но и различия в методах исследования.

Следует отметить и экспериментальные результаты, полученные для пылевидного атмосферного давления катализатора при регенерации с помощью кварцевого реактора с перемешиванием катализатора в ложу 3 баллона. В этом случае при содержании кокса 0,5 % в реакторе при температуре 500 °С. Приращение протекания реакции в реакторе при содержании кокса 0,5 % в реакторе при температуре 500 °С. Измерение температуры в реакторе при содержании кокса 0,5 % в реакторе при температуре 500 °С.

К. П. Лавровский и А. Л. Розенталь

... при помощи хромель-алюмелевой термопары с гонимым сигналом. Реактор, на котором были проведены опыты при повышенных давлении, представлял собой кварцевую трубку с электрообогревом, закрученную в металлический кожух. Внутри реактора был установлен карман для термопары.

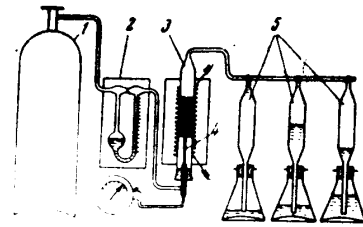


Схема лабораторного аппарата для изучения регенерации катализаторов

Перед началом опыта аппарат был заполнен воздухом. После нагрева реактора до заданной температуры через аппарат несколько минут пропускался воздух, а затем проходил последовательный отбор проб газа в аналитическую аппаратуру.

... которого происходило наполнение реактора газом. Браничного газа.

... анализировали на содержание углекислоты, количество водорода и атомное отношение водорода к углероду в пробах, причем при определении последней величины находилось по разности между количеством кислорода в свободном и связанном кислороде в сухих газах.

Из приведенных ниже экспериментальных данных, регенерации пылевидных катализаторов, следует, что реакция кокса имеет первый порядок по углероду. В определенном случае распределение связанного кислорода на катализаторе (для реакции окисления углерода) может быть уравнения

где g — скорость фильтрации, S — величина поверхности катализатора в направлении потока; S — величина поверхности катализатора в направлении потока; k_1 — постоянная скорости реакции.

Уравнение (1) справедливо тогда, когда реакция происходит за счет диффузии кислорода и сорбции кислорода облаком. В противном случае зависимость концентрации кислорода не только вследствие реакции, но и за счет неуправляемого движения частиц. На лабораторных опытах осуществлялась при скорости потока, при которой слой начинает спекаться, частями движется с большой скоростью, и поток газа, выходящий из реактора, меньше потока кс. Регенерация пылевидных катализаторов (во времени изменялась концентрация кислорода на поверхности), однако за то время, которое требуется для прохождения газа через слой, эти изменения

... концентрации в начале движущегося облака. Объем газов при регенерации катализаторов воздуха $V_0 = Ft$ и интеграл (1) по высоте слоя (в предположении, что $c_0 = 0$), получаем:

$$\ln \frac{c}{c_0} = -\frac{k_1 S V_0}{w} \quad (2)$$

где c_0 — концентрация кислорода на входе в слой при $lx = 0$; c — то же на выходе; $V_0 = Ft$ — объем слоя; $w = Fc$ — объемный расход газа, проходящего через аппарат в единицу времени; F — площадь поперечного сечения аппарата.

На основании уравнения (2) получаем:

$$\frac{dS}{d\xi} = -k_1 w \frac{d \ln c}{d\xi} \quad (3)$$

где g — количество кислорода, т. е. количество углерода в единицу объема слоя; S — количество углерода в аппарате. Соотношение (3) используется для определения зависимости реакционной скорости от концентрации углерода.

При анализе экспериментальных результатов опытных значений концентрации, найденные в последовательных отборах, приведены к одной и той же температуре T К и скорости течения газа (1 л/мин в условиях регенерации при T_0).

$$S = S_0 \exp \left(-\frac{E(T-T_0)}{RT_0^2} \right) \exp \left(\frac{E(T-T_0)}{RT} \right) \quad (4)$$

где S_0 — константа, E — энергия активации (21 % объема катализатора); V_0 — объем газа; V_0 — объем газа; t — время отбора пробы; R — универсальная газовая постоянная; T — температура отбора пробы; c — значение концентрации кислорода при температуре T_0 и объеме V_0 ; E — энергия активации; R — универсальная газовая постоянная.

Значения S и c были нанесены на графике, ось абсцисс которого — разности между средним значением S и c отбора пробы S_0 и c_0 и значением S и c отбора последней пробы S_1 и c_1 .

$$g = k_1 \frac{\Delta c}{\Delta S} = \sum_{i=1}^n \frac{\Delta c_i}{\Delta S_i}$$

где g — количество кислорода, створенное при T ; Δc — разность концентраций кислорода при отборе пробы; ΔS — разность количества углерода в аппарате; Δc_i — разность концентраций кислорода от точки пересечения до начала отбора пробы; ΔS_i — разность количества углерода в аппарате; Δc_i — среднее количество углерода в аппарате; ΔS_i — среднее количество кислорода в аппарате; N — количество отборов пробы; $0.1 \rightarrow 0.25$ мм соответственно.

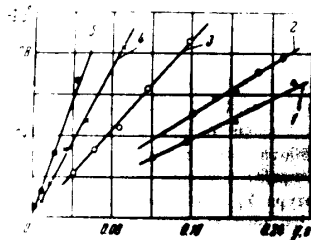
Таблица 1

Регенерация катализатора № 3. Вес катализатора 3,535 г. Содержание углерода на катализаторе до регенерации, $g_0 = 0,221$ г. Значения Ig (g, c) приведены к температуре 600°

Продолжительность пробы, мин	Температура, °C	Объем пробы, см ³	Δg , г	H , г	Ig , г·с	$\frac{H}{C}$	$\frac{H}{C_0}$
10	540	100	0,082	0,171	0,650	0,173	0,785
10	570	100	0,071	0,142	0,640	0,133	0,600
10	600	100	0,062	0,092	0,555	0,095	0,430
10	630	100	0,058	0,068	0,368	0,062	0,280
10	650	100	0,040	0,040	0,215	0,036	0,163
10	650	200	0,116	0,116	0,116	0,022	0,086
10	650	300	0,076	0,076	0,076	0,014	0,063
10	650	400	0,042	0,042	0,042	0,007	0,032

ных при крекинге газовой фракции нефти, и на алюмохромовом катализаторе крупности 0,1-0,2 мм, запорованном при ароматизации дитроина

В табл. 1 показаны результаты одного из опытов с катализатором № 3 и приведены время отбора пробы, объем пробы при комнатной температуре, температура слоя и анализ газа. При определении количества сгоревшего углерода Δg и атомного отношения водорода и углерода в продуктах сгорания Н/С использовались соотношения:



Фиг. 2. Окисление кокса на алюмосиликатном катализаторе № 1 при повышенном давлении: 1—540°, 4,32 атм; 2—570°, 4,1 атм; 3—600°, 4,1 атм; 4—630°, 4,1 атм; 5—650°, 5,0 атм

на окисление водорода при отборе 100 см³ пробы. При содержании в дутье 21% объема кислорода $\Delta O_2 = 1,285 (21 - CO_2 - O_2 - 0,605 CO)$. В случае $\Delta O_2 = 0,5$ численное значение этой величины стало-вилось сравнимым с ошибкой газовой анализа, и расчет атомного отношения Н/С не производился. В табл. 1 приведены значения Ig (g, c) и также $\frac{H}{C}$ и $\frac{H}{C_0}$ — количество углерода в аппарате перед началом регенерации), и использованные для построения графиков.

На фиг. 2 показаны кинетические кривые окисления кокса на алюмосиликатных катализаторах № 1 и 3, первоначальное содержание в нем 6,26% весов. углерода соответственно. Осью ординат являются значения Ig (g, c), приведенные к объемной скорости

$$\Delta g = 0,5 \cdot 10^{-4} \cdot V_T \cdot \frac{(CO_2 + CO)}{100}$$

$$\frac{H}{C} = \frac{4\Delta O_2}{(CO_2 + CO)} \quad (5)$$

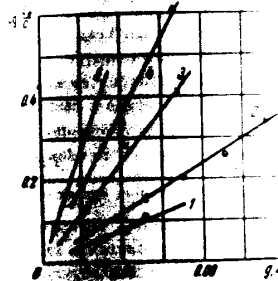
где V_T — объем пробы газа при комнатной температуре; CO_2 и CO — объемный процент двуокиси и окиси углерода в газе; ΔO_2 — число см³ кислорода, потребованного на окисление водорода при отборе 100 см³ пробы. При содержании в дутье 21% объема кислорода $\Delta O_2 = 1,285 (21 - CO_2 - O_2 - 0,605 CO)$. В случае $\Delta O_2 = 0,5$ численное значение этой величины стало-вилось сравнимым с ошибкой газовой анализа, и расчет атомного отношения Н/С не производился. В табл. 1 приведены значения Ig (g, c) и также $\frac{H}{C}$ и $\frac{H}{C_0}$ — количество углерода в аппарате перед началом регенерации), и использованные для построения графиков.

На фиг. 2 показаны кинетические кривые окисления кокса на алюмосиликатных катализаторах № 1 и 3, первоначальное содержание в нем 6,26% весов. углерода соответственно. Осью ординат являются значения Ig (g, c), приведенные к объемной скорости

в условиях регенерации. На оси абсцисс фиг. 2 и 3 отложено среднее количество углерода в аппарате, а на фиг. 4 — относительное количество углерода.

Через слой катализатора № 1 перед началом отбора проб обычно не проходит воздух и часть кокса выгорала, так что кривые на фиг. 2 и 3 характеризуют регенерацию катализатора, содержащего не выше 2—2,5% весов. углерода. На графике видно, что зависимость Ig (g, c) от количества углерода в аппарате является линейной как при атмосферном (фиг. 2), так и при повышенных (фиг. 3) давлениях.

Для алюмосиликатного катализатора № 3 с первоначальным содержанием 6,26% весов. углерода такая зависимость имела место при от-



Фиг. 3. Окисление кокса на алюмосиликатном катализаторе № 1 при повышенном давлении: 1—540°, 4,32 атм; 2—570°, 4,1 атм; 3—600°, 4,1 атм; 4—630°, 4,1 атм; 5—650°, 5,0 атм



Фиг. 4. Окисление кокса на алюмосиликатном катализаторе № 1 при повышенном давлении: 1—540°, 4,32 атм; 2—570°, 4,1 атм; 3—600°, 4,1 атм; 4—630°, 4,1 атм; 5—650°, 5,0 атм

носительно содержанию углерода на катализаторе, и к тому составляет 2,5—3,0% весов. углерода на катализаторе перед регенерацией, при высоком содержании кокса оказалась нелинейной ось абсцисс, причем перегибание происходило при одном и том же содержании углерода в аппарате 3,1% веса, независимо от температуры.

Кривые характеризующие окисление кокса на алюмосиликатном катализаторе № 1 и на алюмохромовом катализаторе № 2 и № 3, рассмотренном выше, в отличие от кривых на фиг. 2 и 3, характеризующих окисление кокса на катализаторе № 2 с исходным содержанием 6,26% весов. углерода и для алюмохромового катализатора № 3 с первоначальным содержанием 1,13% весов. углерода, являются линейными на протяжении всего периода регенерации. При этом кривые окисления кокса на катализаторе № 2 и № 3 имеют вид, как и при окислении кокса на катализаторе № 1, и не имеют перегибов.

Величина β атомного отношения $(CO)/(CO_2)$ в газах регенерации алюмосиликатных катализаторов колеблется в пределах 0,5—1,2 при атм. давлении и 0,2—0,4 при повышенном давлении.

На фиг. 3 приведены зависимости атомного отношения $(CO)/(CO_2)$ при атмосферном давлении от температуры X . В табл. 2 приведена величина

Таблица 2

Величина β атомного отношения $(CO)/(CO_2)$ в газах регенерации алюмосиликатных катализаторов № 1 в 10% объеме газа при атмосферном давлении и при повышенном давлении

Температура, °C	β при атмосферном давлении	β при повышенном давлении
100	0,5	0,2
150	0,6	0,3
200	0,8	0,4
250	1,0	0,5
300	1,2	0,6

Таблица 3

Атомное отношение β водорода и углерода в газах регенерации алюмосиликатного катализатора № 1

Температура, °C	β при атмосферном давлении		β при повышенном давлении	
	β	β	β	β
100	94,5	86,9	78,8	69,8
	0,20	0,10	0,07	0,06
150	95,5	86,5	80,3	71,4
	0,14	0,11	0,06	0,05

В газах регенерации алюмохромового катализатора окиси углерода обнаружено не было.

На фиг. 4 показано изменение атомного отношения водорода к углероду в газах регенерации алюмосиликатного катализатора № 3. В табл. 3 приведены аналогичные данные для катализатора № 1. Из фиг. 4 и табл. 3 следует, что на алюмосиликатных катализаторах водород выгорает значительно быстрее углерода.

Рассмотрение результатов. При невысоком содержании кокса на катализаторе во всех случаях зависимость β от температуры и количества углерода в аппарате оказалась одинаковой. Однако, как следует из

т. е. изменения величины β атомного отношения, обнаруживается по времени пропорционально и уменьшается концентрация углерода в газе и масса кокса является равнодушной. Следовательно, кинетика реакции в области

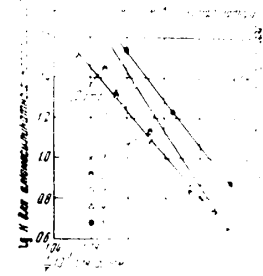
При высоких содержаниях кокса масса кокса превышает массу пылевидной, а скорость регенерации не зависит от содержания кокса на катализаторе.

Для области невысоких содержаниях кокса зависимость скорости регенерации принимает вид:

$$k = k_1 \cdot k_2$$

где $k_1 = k_1 \cdot k_2$ — константа, не зависящая от содержания кокса на катализаторе и зависящая от температуры. Значения логарифма этой константы линейно зависят от величины, обратной температуре. При этом константа имеет линейную зависимость от температуры.

Константы скорости регенерации алюмосиликатных катализаторов № 1 совпадают, а энергия активации, вычисленная по наклону прямых на фиг. 5, оказалась равной 24 500 кал/моль. При прочих одинаковых условиях скорость регенерации катализатора № 2 несколько выше, чем катализаторов № 1 и 3, а величина энергии активации равна 20 900 кал/моль. Скорость регенерации алюмохромового катализатора № 4 превышает скорость регенерации алюмосиликатных катализаторов № 1, 2 и 3. Значительно меньше энергия активации катализатора № 4 (16 000 кал/моль).



Фиг. 5. Зависимость логарифма константы скорости регенерации от обратной температуры для алюмосиликатных катализаторов № 1, 2, 3, 4 при атмосферном давлении. Катализаторы № 1, 2, 3 — алюмосиликатные, № 4 — алюмохромовый.

Совпадение констант для катализаторов № 1 и 3 при атмосферном и повышенном давлении (фиг. 5) означает, что при первом порыве реакции окисления кокса по водороду.

Надоженный материал показывает, что при регенерации пылевидных катализаторов целесообразно пользоваться одним из двух методов.

При непрерывной регенерации уменьшается количество углерода в аппарате до заданного уровня и количество кислорода в газах при

При периодической регенерации уменьшается количество катализатора, которое можно использовать. Записать уравнение баланса

где γ — коэффициент, величина которого находится из стехиометрических соотношений. С учетом (7) уравнение (8) записывается в виде:

$$- \frac{dK}{dt} = \gamma c_0 \left[1 - \exp \left(- \frac{K}{W} \right) \right] \quad (9)$$

Интегрирование (9) позволяет найти количество углерода в любой момент времени. При $t \rightarrow \infty$ уравнение (9) принимает вид:

$$- \frac{dK}{dt} = c_0 \gamma K \quad (10)$$

Уравнение (10) определяет изменение количества углерода в аппарате (или в отдельной частице) при постоянной концентрации кислорода. Из него можно сделать следующий практический вывод, что скорость растворения пропорциональна давлению, поскольку при этом пропорционально растет концентрация кислорода.

Поступило 24 IV 1954

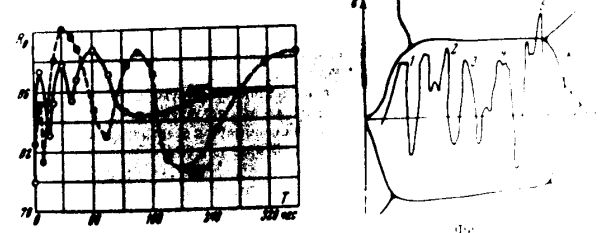
ЛИТЕРАТУРА

1. Лавровский К. П., Цуханова О. Л. Доклады Академии Наук СССР, 1954, № 10, с. 1875.
 2. Цуханова О. Л., Лавровский К. П. Горение углерода. Изв. АН СССР, 1949, № 10, с. 1875.
 3. Мухомов В. Ф. Доклады Академии Наук СССР, 1940, № 4.
 4. Hagerbaumer, W. R., and Lee, H. S. Combustion of Coke Deposits on Synthetic Bead Catalyst, Petroleum Refiner, v. 26, No. 6, 1947.
 5. Иванчиков Г. М. и Голованов П. В. Кинетика регенерации алкиликатных катализаторов. Изв. АН СССР, ОТН, № 10, 1951; № 3, 1952.
 6. Dart, G. C., Savage R. T., and Kirkbride C. G. Regeneration Characteristics of Clay Cracking Catalyst, Chemical Engineering Progress, v. 49, No. 2, 1949.
 7. Франк Каменицкий Д. А. Диффузия и теплопередача в химической кинетике. Изд. АН СССР, 1947.

О ПЕРИОДИЧНОСТИ РАСПАДА ТВЕРДЫХ РАСТВОРОВ
В. И. ПРОВИРИН
(Москва)

Иногда при дисперсионном распаде твердых растворов (стадий) удавалось наблюдать интересные особенности, характеризующиеся периодичностью распада твердых растворов. Периодичность в распадах мы связываем с наблюдающейся периодичностью в изменении некоторых свойств после изотермического нагрева, которая косвенно указывает на изменение из твердого раствора вторичных фаз, так и на их растворение. Эту периодичность мы замечали в изменении микроструктуры, твердости парамагнитной восприимчивости (фиг. 1), где приведено дисперсионное твердение стали 3169 при 650° и стали 31257 при 430°. Т — продолжительность нагрева (в часах), H_D — твердость.

Ниже делается попытка объяснить это явление, исходя из предположения, что каждое микрозерно метастабильного твердого раствора аустенита в реальных условиях может по микроструктуре и гетерогенно по составу.

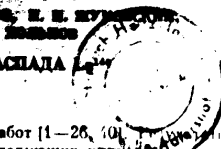


Фиг. 1.

В любом направлении микрозерна концентрации элементов периодически колеблются от среднего химического состава в одну и другую сторону. Эту концентрационную периодичность мы связываем с периодичностью максимумов $T_1, 2, \dots$, максимумов $T_1, 2, \dots$.

Концентрационная величина колеблется в определенных пределах. Наряду с существованием микрозерна с концентрацией, превышающей среднюю концентрацию, существуют микрозерна с меньшей концентрацией. При этом микрозерна с максимальной концентрацией (по вертикальной оси — фиг. 3, где по вертикальной оси отложено количество элементов (%)) в данном объеме, а микрозерна с минимальной концентрацией (по вертикальной оси — фиг. 3, где по вертикальной оси отложено количество элементов (%)) — с минимальной концентрацией. Микрозерна с максимальной концентрацией, которая в зависимости от условий обработки будет располагаться в твердом растворе, т. е. может раствориться. При распаде твердого раствора микрозерна с максимальной концентрацией второй фазы будут...

1955



1. Введение

Радиоактивный распад La^{140} посвящено много работ [1—26, 40]. Этих исследований можно резюмировать в следующих пунктах:
 1. Период полураспада La^{140} . Он измерен в 13 работах [1—13]. Наиболее точными были, по видимому, измерения, приведенные в работе [13]: $T = 40,22 \pm 0,02$ часа.

Обычно встречающийся в лабораториях лантан содержит значительные отделимые примеси, главным образом редких земель. Поэтому La^{140} , получаемый по реакции (n, γ) , часто оказывается загрязненным примесями радиоактивными веществами. Отделение лантана от примесей при облучении затруднительно; это, вероятно, и привело к ряду ошибок в определении периода. Однако достаточно чистый лантан после облучения нейтронами дает активность, спадающую строго экспоненциально на протяжении 320 час [8].

Распад La^{140} , полученного при облучении лантана дейтонами, исследован на протяжении 11 периодов [13] и оказался простым.

La^{140} может быть химически выделен из растворов, содержащих Ba^{140} , получаемый при делении тяжелых элементов. Распад La^{140} , полученного этим путем, исследован на протяжении 194 час [13] и также оказался простым.

Образование La^{140} наблюдается при облучении Ba^{138} тепловыми нейтронами; последовательное образование Ba^{139} приводит к Ba^{140} из которого возникает La^{140} .

2. Непрерывный β -спектр La^{140} исследован при помощи магнитных спектрометров в работах [9, 14—16]. Совпадающие выводы этих работ сводятся к следующим:

- а) верхняя граница самой интенсивной компоненты β -спектра лежит между 2,12 и 2,28 MeV, согласно [9] $E_{\beta} = 2,23 \pm 0,02$ MeV;
- б) относительная интенсивность этой компоненты составляет 7—10%, согласно [9] $8 \pm 1\%$;
- в) графики Ферми для La^{140} криволинейны почти на всем своем протяжении.

Положение и относительная интенсивность мягких компонент β -спектра по упомянутым работам различны. По видимому, можно считать достоверным, что имеются компоненты с энергией 1,6—1,7 MeV и 1,3—1,4 MeV.

В последних двух работах [9, 16] даны следующие компоненты:

Евклидов и др. [9]	Панков и др. [16]
$E_{\beta} = 2,20 \pm 0,02$ MeV (8±1%)	$E_{\beta} = 2,15$ MeV (7%)
$= 1,62 \pm 0,02$ " (14±1%)	$= 1,67$ " (10%)
$= 1,38 \pm 0,02$ " (30±3%)	$= 1,34$ " (45%)
$= 1,18 \pm 0,03$ " (30±1%)	$= 1,10$ " (26%)
$= 0,88 \pm 0,03$ " (12±3%)	$= 0,83$ " (12%)
$= 0,62 \pm 0,04$ " (16±3%)	—

Работа выполнена на Советском АТ (апрель 1954 г. В статье в дискуссию учтены результаты работы Панкова и др.

Уточнение границ и относительных интенсивностей сложного β -спектра не может быть сделано непосредственно спектра, так как неизвестна истинная форма спектра максимума, которое нужно вычитать, чтобы найти пики. В этом случае экспериментальное выделение парциальных β -спектров при их сложении может дать достаточно однозначные сведения.

Для наиболее заметной компоненты β -спектра La^{140} ($T \sim 10^5$) было сделано предположение о том, что распад сильно запрещен. Для более мелких компонент β -спектра La^{140} это предположение не выполняется, так как для них характерны запрещенными.

В работе [17] описаны спектры электронов La^{140} . γ -Излучение La^{140} было исследовано в работе Корка и др. [17] замечены некоторые γ -линии, но не была определена их интенсивность. Однако все γ -линии La^{140} были исследованы в работе [14] и [15]. Соотношение интенсивностей γ -линий La^{140} и Ba^{140} находящегося в равновесии с La^{140} было определено в работе [14]. Более точное число получено в работе [15]. Согласно [9] суммарное γ -излучение La^{140} в интервале $200 + 2000$ keV составляет $0,05 \pm 0,01$ от активности до 200 keV, согласно [15] $0,05 \pm 0,01$ от активности всего числа. Таким образом, суммарная интенсивность γ -излучения в 3% распада, что согласуется с данными [14] и [15]. Интенсивности конверсионных γ -линий в табл. 1.

Уточнение границ и относительных интенсивностей γ -линий до настоящего времени определялись только по фотоэлектронам [14, 16], по нейтронам и фотонам [14, 15, 18, 19, 21-24]. Результаты в табл. 1; они весьма противоречивы.

Таблица 1

Относительные интенсивности γ -линий La^{140} , измеренные различными авторами по фотоэлектронам в фотоэлектронах

Энергия γ -линии (keV)	Стекло и Пикс [14]	Миллер и др. [15]	Род и Вид [14]	Энергия и др. [16]	Пикс и др. [16]
228,5	0,05	0,05	0,05	0,05	0,10
428,5	0,05	0,05	0,05	0,05	0,10
628,5	0,05	0,05	0,05	0,05	0,10
828,5	0,05	0,05	0,05	0,05	0,10
1028,5	0,05	0,05	0,05	0,05	1,00
1228,5	0,05	0,05	0,05	0,05	—

В работе [14] и [15] использовались в 5 работах [14, 20, 21, 25, 26] для измерения относительных интенсивностей при помощи счетчиков, но результаты не согласуются. Можно сделать только тот вывод, что относительные интенсивности мало зависят от фильтрации β -частиц. В работе [14] использовались с двумя кристаллическими счетчиками. В работе [15] использовались с двумя по энергии. В результате был получен один γ -лучи с $h\nu = 1,60$ MeV дают β - γ -соотношение $0,05 \pm 0,01$ от активности. Они отмечались в работах [14, 21, 26] по измерениям по энергиям излучались только в работах [20, 26]. В работе [20] γ -линии с $h\nu \approx 816$ и 1597 keV дают γ - β -соотношение $0,05 \pm 0,01$ от активности, что совпадает с теоретически рассчитанной для La^{140} .

используемого электроны отдачи [27, 28]. Измерения (две серии) произведены в условиях, близких к тем, в которых были осуществлены при исследовании γ -спектров La^{140} [29, 30, 31, 32], Ba^{140} [31], Be^{140} [32], Ca^{140} [33], Sb^{140} [34], Ag^{140} [35], Ir^{140} [36].

Минимально служила целлофановая пленка толщиной $\approx 50 \mu m$, 15 мг см $^{-2}$. Обе щели спектрометра были шаровой 2 мм. В первой серии измерения прибор был наполнен чистым гелием (32 см рт. ст.), а окна первого счетчика были закрыты целлофановой пленкой толщиной 17μ (первая серия измерений).

2. Исследования γ -спектра La^{140}

Спектр γ -лучей La^{140} был исследован нами при помощи прибора γ -спектрометра, использующего электроны отдачи [27, 28]. Измерения (две серии) произведены в условиях, близких к тем, в которых были осуществлены при исследовании γ -спектров La^{140} [29, 30, 31, 32], Ba^{140} [31], Be^{140} [32], Ca^{140} [33], Sb^{140} [34], Ag^{140} [35], Ir^{140} [36].

Минимально служила целлофановая пленка толщиной $\approx 50 \mu m$, 15 мг см $^{-2}$. Обе щели спектрометра были шаровой 2 мм. В первой серии измерения прибор был наполнен чистым гелием (32 см рт. ст.), а окна первого счетчика были закрыты целлофановой пленкой толщиной 17μ (первая серия измерений).

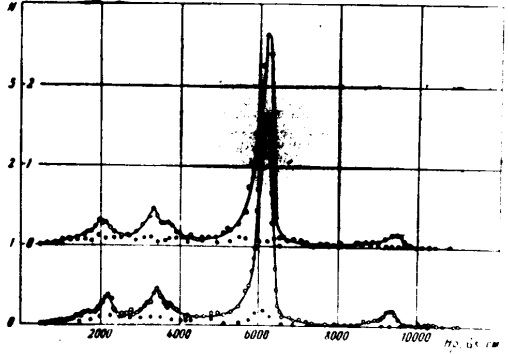


Рис. 1. γ -Спектр La^{140} . Экспериментальные кривые: верху — первая серия измерений, внизу — вторая

условия, что в работах [29-35a]): во второй серии измерения были выполнены в чистом гелии (32 см рт. ст.), а окна счетчиков для уменьшения поглощения электронов закрывались более тонкими целлофановыми пленками (1-2 μ). Эти изменения условий привели к тому, что относительная интенсивность γ -линии La^{140} при $h\nu = 815,6$ keV она стала равной $10,5 \pm 0,5$ от активности La^{140} при энергии γ -лучей 250 keV, что совпадает с теоретически рассчитанной для La^{140} (400 keV).

В работе [14] использовались в 5 работах [14, 20, 21, 25, 26] для измерения относительных интенсивностей при помощи счетчиков, но результаты не согласуются. Можно сделать только тот вывод, что относительные интенсивности мало зависят от фильтрации β -частиц. В работе [14] использовались с двумя кристаллическими счетчиками. В работе [15] использовались с двумя по энергии. В результате был получен один γ -лучи с $h\nu = 1,60$ MeV дают β - γ -соотношение $0,05 \pm 0,01$ от активности. Они отмечались в работах [14, 21, 26] по измерениям по энергиям излучались только в работах [20, 26]. В работе [20] γ -линии с $h\nu \approx 816$ и 1597 keV дают γ - β -соотношение $0,05 \pm 0,01$ от активности, что совпадает с теоретически рассчитанной для La^{140} .

На рис. 1 изображены экспериментальные спектры. На оси абсцисс отложена величина $H\alpha$, на оси ординат — величина N . Светлые точки — числа, находящиеся в пучке, черные точки — фон, вычитанный при описанной процедуре.

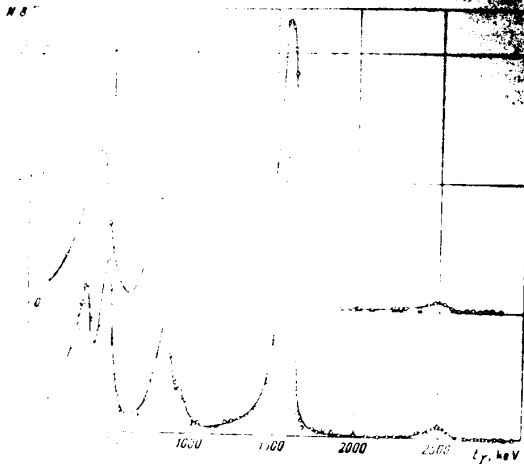


Рис. 1. Экспериментальный спектр, что на рис. 1, но в обработанном виде.

На рис. 2 изображен тот же спектр в обработанном виде: вычтен фон, и в равных интервалах энергии $H\alpha$ и равной эффективности детектора и после этого разложены на составляющие линии: разло-

Таблица 2

Результаты измерения энергии и интенсивности γ -лучей при помощи ретрона

E, keV	$N, \text{с/сч}$	Число вычитаний на 100 распадах (см. стр. 200)
751,8	18	18
751,8	39	39
751,8	35***	35***
751,8	11	11
751,8	94	94
751,8	5,5	5,5
751,8	<0,2	<0,2

*** — значение энергии, вычисленной, в скобках указаны значения энергии, вычисленные по формуле (1) (см. стр. 200).

... в зависимости от энергии $H\alpha$. Светлые точки — числа, находящиеся в пучке, черные точки — фон, вычитанный при описанной процедуре. На рис. 2 изображен тот же спектр в обработанном виде: вычтен фон, и в равных интервалах энергии $H\alpha$ и равной эффективности детектора и после этого разложены на составляющие линии: разло-

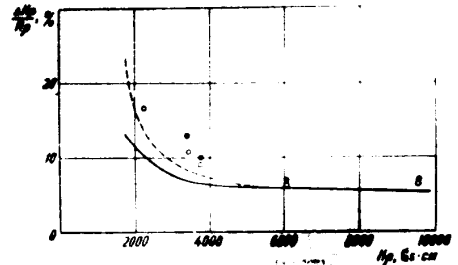


Рис. 3. Относительная интенсивность γ -лучей La^{140} . Черные точки относятся к первой линии, черная сплошная кривая — к второй, пунктирная к третьей.

На рис. 3 изображены экспериментальные относительные интенсивности γ -лучей La^{140} от энергии γ -лучей. Кривые заимствованы из [23]; на кривых отмечены точки, соответствующие наблюдающимся линиям La^{140} ; точки даны выше соответствующим кривым, что, вероятно, связано с большой шириной источника γ -лучей. Для проверки того, что все изучавшиеся линии не принадлежат примесям, измерения их интенсивности производились повторно несколько раз на протяжении приблизительно 80 час. В результате можно было опре-

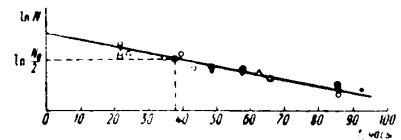


Рис. 4. Кривая распада La^{140} . Различные точки относятся к различным γ -лучам.

делить период спада интенсивности для каждой линии. Результаты даны на рис. 4; прямая линия соответствует периоду полураспада 40 час, а точки относятся к различным γ -лучам.

Дополнительная серия измерений с толстой мишенью.

На кривых рис. 1 и 2 нет указаний на существование слабой γ -линии с энергией 2,9 MeV, замеченной ранее в опытах с фотопротоном [23]. Мы попытались проверить существование указанной линии и с этой

4. Среди приведенных в тексте случаев, когда сумма энергий γ -квантов совпадает с энергией квантов β -лучей.

$$328,6 + 486,4 = 815,0 \text{ keV}$$

Повидимому, мы встречаемся здесь с группой γ -квантов переходов (рис. 6).

Выясним теперь вопрос, в какой последовательности происходят β -распады и γ -кванты 328,6 и 486,4 keV. Сопоставим сведения об их энергиях с данными по фотоэффекту (см. табл. 4).

В данных по фотоэффекту (см. табл. 4) наблюдается очень большой разброс, во много раз превышающий отношение интенсивностей этих линий (табл. 4). Этот разброс совпадает с найденным нами (рис. 6) (табл. 2).

Таким образом, несомненно, что γ -линия с $h\nu = 486,4 \text{ keV}$ много интенсивнее, чем линия с $h\nu = 328,6 \text{ keV}$.

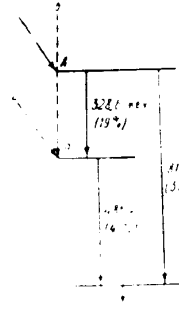
Основываясь на приведенном соотношении интенсивностей, мы должны заключить, что γ -переход с $h\nu = 486,4 \text{ keV}$ происходит между уровнями B и C (рис. 6), т. е. вторым в каскаде. Если бы он был первым, то в γ -спектре La^{140} обязательно должна была бы существовать γ -линия, которая разряжала бы состояние B; она должна начинаться на уровне B и иметь интенсивность, приблизительно равную интенсивности линии с $h\nu = 486,4 \text{ keV}$. Этой линией не может быть γ -линия $h\nu = 1597 \text{ keV}$, так как эти γ -кванты дают совпадение с β -квантами с энергией 1597 keV, а других достаточно интенсивных линий в спектре La^{140} нет.

Таким образом, более интенсивный переход с $h\nu = 486,4 \text{ keV}$ происходит между уровнями B и C, следовательно, состояние B возбуждено в результате β -перехода с уровня A, но также либо при β -распаде непосредственно на этот уровень (пунктир a на рис. 6), либо при β -распаде с какого-то первого уровня (пунктир b на рис. 6). Этот вопрос мы рассмотрим в п. 7.

5. γ -Линии с энергиями 1597 и 241,4 keV дают γ - β -совпадения; следовательно, они не могут находиться в группе линий рис. 6 либо следует за линией 486,4 keV, либо соответствует ей. Обратим внимание на то, что сумма энергий γ -линий 815,6 и 486,4 keV, согласно табл. 4, равна энергии β -кванта с энергией γ -линии 1597 keV.

Если бы мы рассматривали группу линий рис. 6 на схеме ниже линии 1597 keV, то в ней не начинаются состояния, соответствующие минимуму энергии β -распада. Ведь все другие γ -линии, кроме $h\nu = 328,6, 486,4$ и 1597 keV , вместе, имеют интенсивности во много раз больше, чем интенсивность γ -линии $h\nu = 1597 \text{ keV}$, т. е. соответствуют в результате во много раз большому числу распадов, а компонента β -спектра, более значительная компонента, идущая на уровень 1597 keV, указывает в результате на 92% распадов. Это заставляет нас думать, что указанную группу линий рис. 6 на схеме ниже γ -линии $h\nu = 1597 \text{ keV}$.

Так как других γ -линий с измеримой интенсивностью у нас не располагаем эту группу на схеме несомненно следует располагать на уровне 1597 keV, в этом пункте мы откроем схему B (рис. 7).



328,6 + 486,4 = 815,0 keV
 1597 keV
 241,4 keV
 431,8 keV
 926 keV
 1598,7 keV



Рис. 7. Схема уровня распада La^{140}

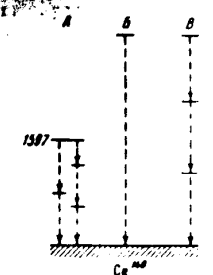


Рис. 8. К схеме распада La^{140}

γ -Линия с $h\nu = 1597 \text{ keV}$ дает, согласно [26], совпадения с самыми быстрыми β -частицами. Но дает ли она совпадения со всеми остальными β -частицами La^{140} ? Опять-таки ответ должен быть в трех случаях:

А) если уровень 1597 keV Ce^{140} возбуждается, помимо γ -линии $h\nu = 1597 \text{ keV}$, путем каскадного излучения двух или трех γ -квантов (рис. 8, случай A);

Б) если какое-нибудь из верхних состояний Ce^{140} разряжается на основной уровень Ce^{140} (рис. 8, случай B);

В) если какое-нибудь из верхних состояний Ce^{140} разряжается на γ -линию с энергией $h\nu = 1597 \text{ keV}$ (рис. 8, случай B').

Рассмотрим все эти случаи. В случае A в γ -спектре должны наблюдаться две или три линии, сумма энергий которых была бы равна 1597 keV. Анализ спектров La^{140} этого спектра известных γ -линий (см. табл. 4, стр. 204) показывает, что никакая пара значений $h\nu$ не дает в сумме 1597 keV (с точностью 2 keV). Однако существует одна тройка значений $h\nu$, дающая близкую величину

$$241,4 + 431,8 + 926 = 1598,7 \text{ keV}$$

Эта тройка значений может быть и случайным; вероятность этого невелика. Однако следует помнить, что в спектре La^{140} наблюдается большое число совпадений β -квантов с γ -квантами. Это указывает на то, что в спектре La^{140} существует большая интенсивность; она возникает в результате β -распада La^{140} (см. табл. 4); поэтому и сам каскад не

Таблица 4

Максимальная возможная интенсивность γ -лучей, не наблюдавшихся в спектрах, но омониторимых на основании конкурирующего спектра Кюри

h ν , keV	Теоретические коэффициенты конкуренции по К. оболочкам										Максимальная возможная интенсивность γ -лучей, не наблюдавшихся в спектрах, но омониторимых на основании конкурирующего спектра Кюри		
	E1	E2	E3	E4	E5	M1	M2	M3	M4	M5	M1	M2	%
109,2	—	—	—	—	—	78	—	—	—	—	0,11	—	0,4
110,4	—	—	—	—	—	78	—	—	—	—	0,08	—	0,1
130,7	—	—	—	—	—	39	—	—	—	—	0,1	—	1,8
173,0	—	—	—	—	—	23	350	91	570	3190	0,2	0,05	0,8
241,4	—	—	—	—	—	8,9	97	43	138	680	0,2	0,7	2,6
265,4	—	—	—	—	—	8,8	65	34	93	430	0,2	0,2	2,6
431,3	—	—	—	—	—	1,55	10,3	7,1	16,4	54	1,0	10	4,8
751,8	—	—	—	—	—	0,48	1,56	1,47	3,4	7,1	3,2	2,8	—
1904	—	—	—	—	—	0,024	0,14	0,058	0,19	0,23	6,3	4,6	—
1597	—	—	—	—	—	0,003	0,008	0,129	0,22	0,35	48	40	—

Значения, основанные на опытах с фотоэлектронами

Значения, основанные на экспериментальном критерии пр.

б) для линии $h\nu = 1597$ keV, полученное для перехода типа E1.

в) если считать, что переход с $h\nu = 1597$ keV является электрическим квадрупольным (E2), то для D получаются значения, приведенные в графах 11—15 табл. 4.

г) для линии $h\nu = 1597$ keV принято $p_0 = 94$ %.

Если считать, что переход с $h\nu = 1597$ keV является электрическим квадрупольным (E2), то для D получаются значения, приведенные в графах 11—15 табл. 4.

Рассматривая табл. 4, мы видим, что:

1) Для γ -лучей с энергией 109,2, 110,4, 130,7, 173,0, 241,4 и 265,4 keV все D меньше 4,2 %, следовательно, каждая из этих линий условно полагается меньше чем в 4,2 % распадов (как это было отмечено нами в и. 2 и табл. 4).

2) Для γ -лучей с $h\nu = 431,3$ keV $p(E1) = 10$ %, что означает, если бы переход был типа E1, то наблюдающиеся колебания интенсивности фотоэлектронов могло бы появляться только при переходе, входящем в 10 % распадов. Столь интенсивная линия была замечена в спектрах фотоэлектронов так как имеет более высокую интенсивность, как линия $h\nu = 328,6$ keV, и отстоит от него далеко от всех других линий; она была бы замечена и на ритроне; следует думать, что это — переход более высокой мультипольности, чем E1, и, следовательно, интенсивность γ -лучей меньше 3,2 %.

3) Линии 751,8 и 1904 keV при переходах типа E1 имели бы столь большую интенсивность, что безусловно были бы замечены на ритроне; следовательно, если такие переходы существуют, то имеют либо значительно большую мультипольность, чем E1, либо значительно меньшее число конверсионных электронов на один распад.

5. Распад $La^{140} \rightarrow Ce^{140}$ и теория оболочек

Очень большая энергия возбуждения у первого уровня Ce^{140} может показаться удивительной: как правило, в области $Z > 50$ первое возбужденное состояние имеет энергию меньше 500 keV. Особое положение Ce^{140} объясняется тем, что в этом ядре 82 нейтрона — заполненная нейтронная оболочка. В ядрах с заполненными оболочками первый уровень всегда лежит аномально высоко. Это хорошо видно на рис. 10, где отмечено из статьи Голдгабера [41]. Ce^{140} расположено как раз на вершине одного из максимумов. Форд [42] объясняет кривую рис. 10

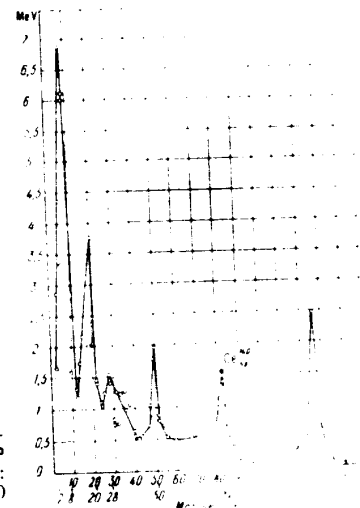


Рис. 10. Энергия возбуждения первого возбужденного состояния четного-четного ядра Ce^{140} по Голдгаберу [41]

... что ядра с ...
 ...
 Существует мнение, что для ...
 ... ядер принадлежат к типу $+1$ и ...
 ... лектронных движений. Однако у двух ...
 ... оболочек, — ${}^8\text{O}^4$ и $\text{ThC} ({}_{82}\text{Ra}_{226})$ — ...
 ... не типа $+2$; у O^{14} [43] первый уровень — типа $+1$, а ...
 [44] первый уровень — типа -3 , а следующие ...
 обстоит иначе. Если уровень $1597 \text{ keV } \text{Ce}^{140}$...
 уровень, то следующий коллективный уровень Ce^{140} ...
 ... выше 5 MeV и, следовательно, все остальные ...
 уровни возникают в результате наложения односторонних ...
 коллективные движения.

6. Замечания к предшествовавшим работам

Следует отметить, что исследования радиоактивности La^{140} ...
 ... ли значительное количество ошибок. Некоторые из них заслуживают ...
 упоминания, так как ввиду трудности необходимости осторожности при ...
 выводе заключений из экспериментальных данных:

1) Началом ошибок послужили Ферми и др. [45], которые в своей ...
 классической работе по нейтронной активации пишут о лантане ...
 ... облучения под водой не было найдено никакой активации. ...
 Между тем, сечение активации La медленными нейтронами ...
 ... 2.4 ± 1.7 барн [46, 47].

2) Уже после того, как излучению La^{140} было посвящено более ...
 ... работы, в результате которых была установлена сложность β - и ...
 ... Тарк и сотрудники писали [48], что после длительного ...
 ... La не дал конверсионных линий. Через 3 года они ...
 ... [47], что, действуя тем же методом, нашли 24 конверсионных ...
 ... линии.

3) Беймер, Пул и Курбатов [8] нашли, что поглощение γ -лучей ...
 ... в шине происходит экспоненциально; отсюда они сделали вывод ...
 ... вероятности γ -лучей La^{140} .

4) Манделвилл [49] изучал γ -спектр La^{140} во вольфрамовой ...
 ... и тонкой мишени, и спотвердил вывод предыдущих авторов ...
 ... монохроматичности γ -лучей La^{140} : γ -лучи, вошедшему монохроматично ...
 ... энергии, вычисленная на конечной точке распределения ...
 ... импульсов, равна $2.04 \pm 0.04 \text{ MeV}$.

5) В 1946 г. Манделвилл в Шерб [25] сообщил, что γ -линия с $h\nu =$...
 ... 2.3 MeV следует за каждой β -частицей. Между тем она следует ...
 ... 8.5% распадов.

6) Рид и Гиттон [21, 25] на основании изучения β - γ -совпадений ...
 ... утверждали, что β -спектр простей [21] и что число β - γ -совпадений на ...
 регистрируемую β -частицу не зависит от энергии β -лучей [25]. Между ...
 тем, в действительности β -спектр состоит более чем из трех компонент.

7) Горк и сотрудники в работе [17] привели схему распада La^{140} , ...
 ... которой следует, что суммарная интенсивность γ -линий $265.4 + 751.8 \text{ keV}$, ...
 ... $241.3 + 173.0 + 119.4 \text{ keV}$, равна 100% распадов.

Между тем в работе [17] авторы приводят относительные интен- ...
 ... сивности конверсионных линий совпавших с этими γ -лучами, из ...
 ... которых не следует, что суммарная интенсивность γ -линий $265.4 + 751.8 \text{ keV}$ не может ...
 ... превышать 13% , а линия $241.3 + 173.0 + 119.4 \text{ keV}$ — 7% распадов.

8) Обширные измерения и работы [9], полученные независимо ...
 ... значениями интенсивностей конверсионных линий $h\nu = 328.6$ и 1567 keV .

9) При анализе опытов по корреляциям [40] не учитывается ...
 ... интенсивная γ -линия $h\nu = 926 \text{ keV}$.

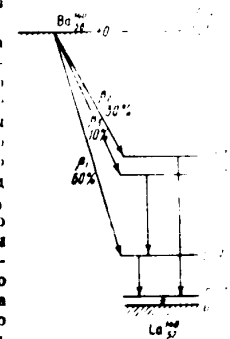
... с ...

... сделать ряд заключений ...

... $T = 12.90 \text{ дни}$

... так как относительно ...
 ... выходом при делении тяжелых ...
 ... распада Ba^{140} , приведенная в ...
 [50], изображена на рис. 11.

Особенно в этой области прямого перехода ...
 ... между основными уровнями Ba^{140} и La^{140} по- ...
 ... можно, так как этот переход должен быть сильно ...
 ... закрытым. Независимо от того, каково основное ...
 ... состояние La^{140} , следует думать, что β -переходы ...
 ... с $+0 \text{ Ba}^{140}$ на основное состояние La^{140} и с него ...
 ... на $+0 \text{ Ce}^{140}$ должны иметь приблизительно ...
 ... одинаковую fT . Если в β -спектре La^{140} переход ...
 ... на основной уровень имеет интенсивность $< 1\%$...
 ... (иначе он был бы замечен), то для него ...
 $fT > 1.3 \cdot 10^{11}$. Прикинув схему рис. 11, мы ...
 ... можем заключить, что самая жесткая компо- ...
 ... нента β -спектра Ba^{140} должна иметь энергию ...
 1.21 MeV ; тогда при $fT > 1.3 \cdot 10^{11}$ она должна ...
 ... иметь $T_{\text{полн}} > 1.6 \cdot 10^6 \text{ сек}$, т. е. относительно ...
 ... интенсивность $< 0.071\%$. Конечно, заметить ...
 ... на фоне столь слабую компоненту, находящуюся ...
 ... Рис. 11. Схема распада Ba^{140} ...
 ... практически невозможно.



Ba^{140} — четно-четное ядро; согласно эмпирическому правилу Голд- ...
 ... габера—Сальера [39] оно должно иметь первый возбужденный уровень ...
 ... типа $+2$, а согласно рис. 10 этот уровень должен лежать на высоте ...
 $\sim 1300 \text{ keV}$; возможно, что это — первый коллективный уровень ядра ...
 Ba^{140} .

$\text{Ce}^{140} (\beta, T = 9.5 \text{ мин}); \text{Xe}^{140} (\beta, T = 10-16 \text{ сек})$

Об излучении этих изотопов нет данных. Исходя из рис. 11 можно ...
 ... ожидать, что в γ -спектре Ce^{140} должна быть γ -линия с энергией ...
 $\sim 1300 \text{ keV}$.

$\text{Pr}^{140} (\beta^+, K, T = 3.4 \text{ мин})$

Относительно излучения Pr^{140} известно следующее:

- 1) Pr^{140} испускает позитроны с верхней границей энергии ...
 $\pm 0.02 \text{ MeV}$ [51] (по старым данным $2.40 \pm 0.15 \text{ MeV}$ [51, 52]).
- 2) Pr^{140} захватывает атомные электроны. Согласно [51] этот ...
 ... процесс происходит с захватом K -электрона, 5% — с захватом ...
 L -электрона и 58% — с испусканием позитрона; согласно [53] K -захват ...
 ... составляет 65% .
- 3) Помимо аннигиляционного излучения наблюдались только ...
 ... интенсивные γ -лучи с энергией $1-1.2 \text{ MeV}$ [51, 53], появляющиеся при ...
 ... распадов [53].

4) Поиск конверсионных линий, производившихся при помощи дифракционного спектрометра с двойной фокусировкой [51], не дали положительных результатов.

Приведенные данные позволяют сделать заключение об основном типе распада Pr^{140} .

Так как нет ядерных квартов в числе соизмеримом с числом квартов, приходится считать, что большинство превращений происходит в виде β -распада с участием Pr^{140} и Ce^{140} .

При $T = 2,85 \cdot 10^{-8}$ сек, $H = 58\%$ и $T = 3,4 \pm 0,1$ мкс

$$f_{K\beta} = 0,14 \text{ ф.э.}$$

Этот тип распада относится к числу разрешенных. Ферми-теория предсказывает для Pr^{140} приведенного в работе Брауна и соавторов [51] $f_{K\beta} = 0,14$ ф.э.

Выводы о типе распада Pr^{140} можно сделать по значению отношения β/K для этого перехода. Согласно теории Брауна и др. [51], $\beta/K = 5,37 \cdot 10^{-4}$ ф.э. для $Z_{пр} = 58$ и $W_0 = 1,00$. Согласно теории Брауна и др. [51], $\beta/K = 5,37 \cdot 10^{-4}$ ф.э. для $Z_{пр} = 58$ и $W_0 = 1,00$. Оба значения, вероятно, не отличаются от теоретических.

Так как основное состояние Pr^{140} имеет четные числа протонов и нейтронов, то вероятнее всего оно относится к типу $+0$, то основное состояние Pr^{140} должно быть типа $+1$, если действует правило отбора Таллера, и $+0$, если действует правило отбора Ферми.

Теория оболочек не дает однозначных предсказаний типа состояний Pr^{140} и Ce^{140} , состоящих из двух нечетных частиц. Хотя Pr^{140} и относится к ним, но некоторые выводы могут быть сделаны.

Спин Pr^{140} , определяющийся поведением 59-го протона, равен $5/2$; теория оболочек указывает тип $d_{5/2}$. Спин Ce^{140} , определяющийся возбужденным 81-м нейтроном, равен $3/2$; теория оболочек указывает тип $d_{3/2}$. В Pr^{140} 59 протонов и 81 нейтрон, поэтому состояние получается комбинацией этих типов. Согласно эмпирическому правилу Нордгейма при сложении типов $j_1 = l_1 + 1/2$ и $j_2 = l_2 - 1/2$ получается состояние с полным моментом $(j_1 - j_2)$. В данном случае это состояние — типа $+1$ в согласии с данными по β -распаду (см. выше). Если этот вывод правилен, то превращение Pr^{140} вызвано тензорными или аксиально-векторными силами, при которых разрешен переход типа $+1 \rightarrow +0$.

Помимо перехода в основное состояние Ce^{140} в Pr^{140} , должен происходить переход на первый возбужденный уровень Ce^{140} , имеющий энергию возбуждения 1597 кэВ и принадлежащий к типу $+2$. Следует отметить, что β -переход $+1 \rightarrow +2$ является по правилу отбора Таллера разрешенным. Определение fT для этого перехода может оказаться решающим для установления типа этого уровня.

Согласно [53] мягкие γ -лучи появляются приблизительно в 2% распадах Pr^{140} . Следовательно, для не-прямых переходов на уровень 1597 кэВ Ce^{140} :

$$f(\beta) = 1 - \lambda_{\gamma} \cdot \frac{f_{K\beta}}{\beta_{\gamma}}$$

$$f(\beta) = 1 - 0,02 \cdot 0,14 = 0,63 \text{ ф.э.}$$

Следовательно, $\lambda_{\gamma} = 71$ и $f(\beta) = 0,16$, согласно графику [54], мы имеем $fT(\beta) = 50 \cdot 204 \cdot 72 \cdot 0,16 = 1,2 \text{ ф.э.}$, т. е. значение, типичное для разрешенных β -распадов. Таким образом, наличие мягких γ -лучей

являются результатом β -распада с участием Pr^{140} в пользу присписывания уровню 1597 кэВ Ce^{140} типа $+2$; к сожалению, сведения об этих лучах являются только ориентировочными.

Отметим, что если бы основное состояние Pr^{140} было типа $+0$, то переход $+0 \rightarrow +2$ был бы двойным запрещенным и поэтому γ -лучей практически совсем не было.

$$\text{Nd}^{140} \text{ (стаб.)}, T = 3,3 \pm 0,1 \text{ дня}$$

Nd^{140} был получен дважды [51, 53], оба раза по реакции $\text{Pr}^{141}(\alpha, n)$. Последний, он не испускает никаких частиц и γ -квантов, а только захватывает атомные электроны (по расчетам Брауна и соавторов [51] 74% K-захватов и 26% L-захватов).

Так как Nd^{140} имеет четные числа протонов и нейтронов, то его основное состояние должно быть типа $+0$. Переход в основное состояние Pr^{140} , принадлежащее к типу $+1$, должен быть разрешенным.

Полагая, что fT для этого перехода ($+0 \rightarrow +1$) такое же, как и для перехода $+1 \rightarrow +0$ в $\text{Pr}^{140} \rightarrow \text{Ce}^{140}$, можем найти энергию распада и разность масс Nd^{140} и Pr^{140} :

$$f_{K\beta} T = 1,4 \cdot 10^4, \quad T = 2,85 \cdot 10^{-8} \text{ сек}, \quad f_{K\beta} = 0,14$$

Экстраполируя кривые для $f_{K\beta} = f(\Delta E)$, приведенные в таблице 1 и 2 Гольда-Бернштейна [55], получаем

$$\text{Nd}^{140} - \text{Pr}^{140} \approx 110 \text{ кэВ.}$$

Из данных рис. 12 можно видеть относительное расположение масс Ba^{140} , La^{140} , Ce^{140} , Pr^{140} и Nd^{140} в единой энергетической шкале. Апо-

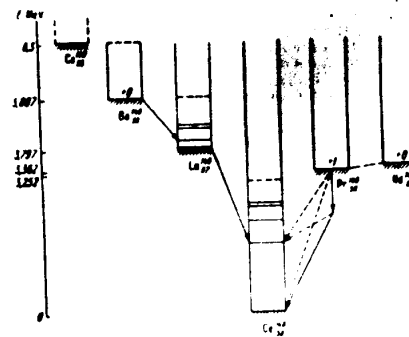


Рис. 12. Энергетическая диаграмма для Pr^{140} и Ce^{140} с указанием возбужденных состояний изобарных ядер с массовым числом 140

мально плотная упаковка Ce^{140} , вероятно, связана с тем, что в ядре имеется замкнутая оболочка из 82 нейтронов.

Редакционный институт
д-р В. Г. Хлопина
Академия наук СССР

10. I. Sargent, S. ...
 11. M. Guffi, A. Phys. Rev., 61, 1007 (1947).
 12. O. Strassman, F. ...
 13. K. Pool, M. Kurbatov, J. Phys. Rev., 61, 1007 (1947).
 14. W. Pool, M. Kurbatov, J. Phys. Rev., 61, 1007 (1947).
 15. C. Mandeville, C. Phys. Rev., 64, 147 (1948).
 16. J. Keller, H. Rutledge, W. Stoddard, A. Phys. Rev., 68, 1007 (1949).
 17. B. Джеленов, Б. Червешков, Л. ...
 18. B. Джеленов, Л. ...
 19. G. Turkevich, A. Phys. Rev., 92, 1473 (1953).
 20. K. Riedhammer, J. ZS f. Naturforsch., 1, 372 (1946).
 21. H. Salutsky, M. Phys. Rev., 83, 1051 (1954).
 22. W. ZS, f. Naturforsch., 2a, 586 (1947).
 23. R. Osborne, R. Peacock, W. Phys. Rev., 69, 679 (1946).
 24. L. Peacock, L. Wilkinson, R. Phys. Rev., 76, 1434 (1949).
 25. C. Peacock, C. Quinn, J. Oser, A. Phys. Rev., 94, 372 (1954).
 26. J. Le Blanc, J. Stoddard, A. Martia, D., Brauay, G., Childs, W., Phys. Rev., 83, 856 (1954).
 27. L. Miller, L. Curtiss, I. Phys. Rev., 70, 983 (1946).
 28. R. Hall, W. Wilkinson, R. Phys. Rev., 71, 321 (1947).
 29. Bannerman, R., Lewis, G., Gurrin, S., Phil. Mag., 42, 1087 (1946).
 30. M. H. A., Langer, L., Brown, I., Phys. Rev., 71, 140 (1947).
 31. H. A., Phys. Rev., 75, 1294 (1949).
 32. B. Wilson, R. Halban, H. Phys. Rev., 77, 416 (1949).
 33. A. Phys. Rev., 74, 497 (1947).
 34. H. Scherb, M. Phys. Rev., 73, 1434 (1948).
 35. B. Madansky, L. Phys. Rev., 64, 1067 (1951).
 36. B. Орбел, М. ДАН СССР, 62, 615 (1948).
 37. B. Жуковский, Н., Хольнов Ю., Изв. АН СССР, 18, 599 (1954).
 38. B. Жуковский, Н., Хольнов Ю., ДАН СССР, 61, 1007 (1947).
 39. B. Жуковский, Н., Хольнов Ю., ДАН СССР, 62, 615 (1948).
 40. B. Жуковский, Н., Хольнов Ю., ДАН СССР, 66, 255 (1952).
 41. B. Жуковский, Н., Хольнов Ю., ДАН СССР, 77, 1007 (1953).
 42. B. Жуковский, Н., Хольнов Ю., Изв. АН СССР, Сер. физ., 19, 294 (1955).
 43. J. Brice, M., Nester, W., Le Blanc, J., Martia, D., Phys. Rev., 89, 1291 (1953).
 44. D. Hoyt, H., Klein, D., Du Mond, J., Phys. Rev., 88, 775 (1952).
 45. Hedgran, A., Lind, D., Arkiv for Fysik, 5, 177 (1952).
 46. Goldhaber, M., Sunyar, A., Phys. Rev., 83, 906 (1951).
 47. Bishop, G., Jorba, J., Phys. Rev., 98, 80 (1955).
 48. Goldhaber, G., Phys. Rev., 90, 587 (1953).
 49. Ford, K., Phys. Rev., 90, 29 (1953).
 50. A. Lauritzen, T., Rev. Mod. Phys., 24, 321 (1952).
 51. Elliott, L., Graham, R., Walker, F., Wolfson, J., Phys. Rev., 88, 356 (1954).
 52. Amaldi, E., D'Agostino, O., Fermi, E., Pontecorvo, B., Rasetti, R., Segre, E., Proc. Roy. Soc., A149, 522 (1935).
 53. Sinna, K., Yamasaki, F., Phys. Rev., 59, 302 (1941).
 54. Seron, L., Friedlander, H., Turkel, S., Phys. Rev., 72, 808 (1947).
 55. Cork, J., Shreffler, H., Fowler, G., Phys. Rev., 74, 240 (1948).
 56. Mandeville, C., Phys. Rev., 63, 187 (1943).
 57. Hollander, J., Perlman, I., Seaborg, G., Rev. Mod. Phys., 25, 836 (1953).
 58. S. C., Rossmussen, J., Sullis, J., Martin, D., Phys. Rev., 68, 1007 (1949).
 59. J., Pool, M., Kurbatov, J., Phys. Rev., 61, 544, 806 (1947).
 60. G., Hicks, H., Phys. Rev., 75, 1687 (1949).
 61. G., Steigman, J., Phys. Rev., 58, 1 (1940).
 62. E. Rutherford, 6. Aufl., Bd. 1/5.

1955
 Ю. В. ХОЛЬНОВ

1. Введение
 Au¹⁹⁸ оказалась твердо установленной: было
 Au¹⁹⁸ простой, имеет форму и при-
 411 keV Hg¹⁹⁸, которое взаимодействует
 излучением.
 основы этой схемы изложены в подробной статье
 Н. Антоновой, А. Ваншова, Б. Джеленова и А. Золотанина [1]
 (1950).
 Однако, много новых работ посвящен-
 Au¹⁹⁸. Наиболее важные результаты этих работ — открытие
 двух новых γ -лучей с $E_{\gamma} = 676$ и 1089 keV, установление их характери-
 стик и наблюдение связанных с ними β - γ и γ - γ совпадений.
 В связи с этими работами и возросшим интересом к схеме распада
 Au¹⁹⁸ мы предприняли исследование γ -спектра Au¹⁹⁸ при помощи риф-
 трона.

2. Исследование γ -спектра Au¹⁹⁸

Целью наших измерений было более точное, чем в предыдущих ра-
 ботах, определение относительных интенсивностей γ -лучей Au¹⁹⁸. Изме-
 рения проводились при помощи рифтрона [2]. Источником γ -лучей
 служил золотой цилиндр ϕ 8 мм и длиной 6 см, облученный ней-
 тронами и высокой активностью около 2 Св.

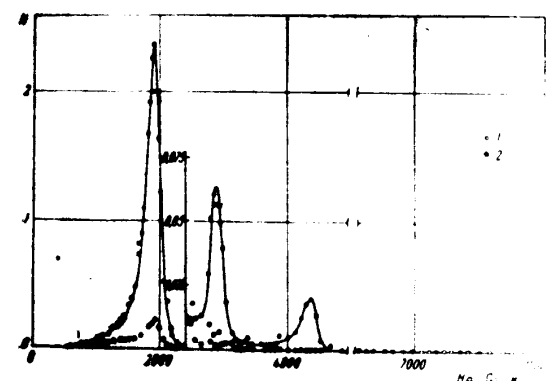


Рис. 1. γ -Спектр Au¹⁹⁸, экспериментальная кривая; 1 — точки, полученные с помощью, находящаяся в пучке, 2 — точки, полученные с помощью выходящая из пучка (фон)

На рис. 1 изображена полученная нами экспериментальная кривая. Два главных γ -луча приведены в масштабе, увеличенном в 20 раз.

На рис. 2 приведен γ -спектр Au^{198} . Кривая приведена к равной высоте пика на поглощение γ -лучей в воздухе. Центральная чувствительность прибора и отсчетчиков от энергии проходящих через них электронов.

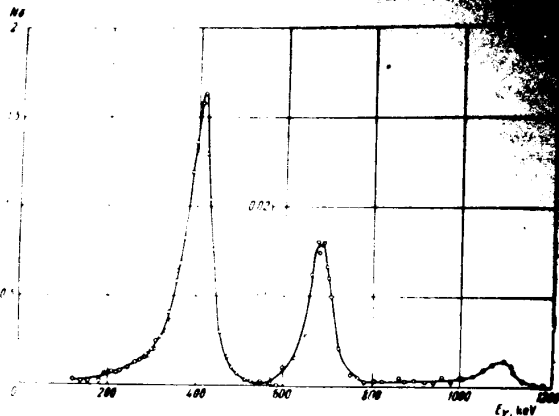


Рис. 2. Тот же спектр, что на рис. 1, но в обработанном виде

Для того чтобы исключить влияние газа, наполняющего прибор, на положение наблюдающихся максимумов, были проведены три серии измерений при разных давлениях наполняющей смеси (газней $\pm 4\%$ между собой в пределах 6%). В таблице приведены средние значения пиков и интенсивностей по этим сериям.

Для того чтобы выяснить, не искушает ли препарат еще более высокие энергии, мы провели измерения в основной серии до $h\nu = 3000$ keV: никаких γ -лучей мы не нашли. Была проведена также дополнительная серия измерений в условиях повышенной в 25 раз светосилы (бериллиевая мишень толщиной 0,4 мм, расширенные до 7 мм щели спектрометра [2]).

Результаты этих опытов показали, что интенсивность испускаемых Au^{198} γ -лучей с энергией 1100 + 3000 keV не больше, чем $1,5 \cdot 10^{-4}$ кванта на распад.

3. Обсуждение γ -спектра Au^{198}

Жесткие γ -лучи Au^{198} были открыты Каванигом, Турнером, Бунером и Данстером в 1951 г. [6]. С тех пор относительные интенсивности γ -лучей измерялись в шести работах; результаты всех работ собраны в таблице.

В работах [3, 5, 7] γ -спектр изучался по спектру фотоэлектронов, измеренному на магнитных спектрографах. Общие затруднения для этих измерений вытекают из необходимости разложения наблюдающегося спектра на составляющие и сложности определения спектральной чувствительности прибора.

В работах [4, 8] интенсивности определялись по отношению пиковых максимумов к непрерывному распределению электронов отдачи, вызванному

Эллиот и др. (1954) [5]		Каваниг и др. (1951) [6]	
441	100	410 ± 8	100
678 ± 3	1,4 ± 0,1	671 ± 9	1,5
1078 ± 7	0,25 ± 0,05	1092 ± 13	0,4
Эллиот и др. (1954) [7]		Маедер и др. (1954) [8]	
411,77	100	410 ± 2	100
678,5 ± 0,8	0,842 ± 0,056	680	1,3
1088,9 ± 0,9	0,17 ± 0,012	1080	0,25

Данная работа

E, keV	Относительная интенсивность I от. (% от 411,77)	Относительная интенсивность I от. (% от 411,77)	Относительная интенсивность I от. (% от 411,77)	Прямая относительная интенсивность
412 ± 4	100	100	100	100
680 ± 7	1,14	1,10	1,10	1,11 ± 0,05
1088 ± 10	0,26	—	—	0,26 ± 0,02

мких γ -лучами разных энергий на алюминиевого излучателя, который помещался в фокусе лизавого спектрометра. Значительная толщина излучателя (130 μ Al) не позволила авторам полностью разделить эффекты, вызванные различными γ -лучами.

В работах [4, 8] γ -спектр изучался при помощи люминесцентного спектрометра; точность этих измерений невелика.

Сопоставлению в основном подлежат результаты измерения Эллиота и др. [7] и наши. Они отличаются друг от друга гораздо меньше, чем это позволяют указанные авторами погрешности.

Энергия основной γ -линии Au^{198} наиболее точно измерена Маедером и др. [8] и др. [7] — $h\nu = 411,77 \pm 0,04$ keV. Энергия γ -лучей с $h\nu = 678,5$ keV наиболее точно измерена Эллиотом, Престонем и Бунером [5]. Энергия γ -лучей с $h\nu = 678,5 \pm 0,8$ и $1088,9 \pm 0,9$ keV, γ -лучи с $h\nu = 411,77$ keV обнаружены также при K-захвате в Tl^{208} [10]. Это доказывает, что переход происходит в Hg^{198} . Другим доказательством этого является то, что разность энергий конверсионных электронов, выбитых с K- и L-слоев, равна 68,5 keV для $h\nu = 411$ keV [1], $67,9 \pm 0,6$ keV для $h\nu = 678$ keV и $68,0 \pm 0,5$ keV для $h\nu = 1089$ keV [7], в то время как разность K — L должна быть 64,2 keV для Pt, 66,1 keV для Au и 68,1 keV для Hg.

В этом параграфе дано описание экспериментальной установки, использованной в 1.Х.1954 г.

1. Основная компонента β -спектра имеет энергию $E_{\beta} = 1371 \text{ keV}$ (среднее взвешенное из результатов работ [1, 7]). Форма спектра фермиевская [1, 7]. Мягкая ($E_{\beta} = 290 \text{ keV}$) компонента β -спектра настолько мала, что не может вызвать заметных отклонений от фермиевской формы спектра.

2. Мягкая компонента β -спектра обнаружена Каванагом [1] в β - γ -совпадении для Au^{198} . В этой работе спектрометр направлялся на жесткую γ -линию (1089 keV), регистрировалась счетчиком Гейгера-Мюллера. Научалова [2] в зависимости от толщины фильтра, помещаемого перед счетчиком. Совпадения пропадают при наличии фильтра, соответствующего $E_{\beta} = 290 \text{ keV}$. Эта мягкая β -компонента ведет к появлению возбужденный уровень Hg^{198} . Значение $E_{\beta} = 290 \pm 15 \text{ keV}$ получено тем же методом в работе Броси и др. [4]. В ней изучались совпадения между γ -квантами 680 keV (цифровым спектрометром) и выделенными по энергии при помощи линзового спектрометра β -частицами.

3. Жесткая компонента β -спектра обнаружена Залозом и др. [7]. Она имеет граничную энергию $E_{\beta} = 1371 \pm 4 \text{ keV}$ и относительную интенсивность $(2,5 \pm 0,3) \cdot 10^{-4}$ β -частицами на распад.

Так как граничная энергия жесткой компоненты β -спектра совпадает с суммой энергий основной компоненты и γ -кванта ($1370,5 \pm 1,7 \text{ keV}$), то естественно принять, что жесткая компонента возникает при распаде Au^{198} на основной уровень Hg^{198} . Форма этой слабой β -компоненты, специально изученная в работе [7].

Квантовые характеристики первого возбужденного уровня Hg^{198} вытекают из абсолютного значения коэффициента конверсии $\alpha_K = 0,0224 \pm 0,0019$ для перехода типа $E2 - 0,007$; для $M1 - 0,0148$ и для $M2 - 0,009$. При этом $\alpha_K > 0,0084$, что прекрасно согласуется с теоретическими данными [25] для перехода типа $E2 - 0,007$; для $M1 - 0,0148$ и для $M2 - 0,009$. При этом $\alpha_K > 0,0084$, что прекрасно согласуется с теоретическими данными [25] для перехода типа $E2 - 0,007$; для $M1 - 0,0148$ и для $M2 - 0,009$.

Одновременно тип уровней 411 keV Hg^{198} и 1089 keV Hg^{198} косвенно подтверждается также близостью значений JT для переходов Au^{198} на эти два уровня (см. в. 11).

11. Прямое измерение спина Au^{198} , произведенное Рейнгольдом и др. [9], привело к значению 2. Таким образом β -переход $\text{Au}^{198} \rightarrow 0 \text{ keV } \text{Hg}^{198}$ принадлежит к типу $2 \rightarrow +0$. Для этого перехода $E_{\beta} = 1371 \text{ keV}$, $I_{\beta} = 0,025 \%$ и, следовательно, $\lg fT = 11,7$. Столь высокое значение fT указывает на порядок запрещения не ниже 2. При типе $\text{Au}^{198} \rightarrow 2$ порядок запрещения был бы первым, поэтому тип основного состояния Au^{198} , по видимому, $+2$. При этом оба β -перехода на возбужденные состояния Hg^{198} принадлежат к типу $+2 \rightarrow +2$, т. е. должны быть разрешенными.

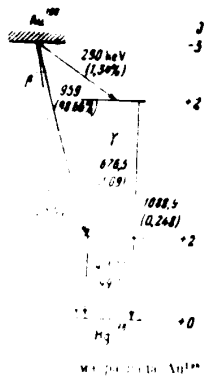
12. Относительно перехода Au^{198} в Hg^{198} имеются следующие данные. В [30] определен верхний предел для отношения $\alpha_K = \alpha_K / \alpha_{\beta}$ равен 2. Каванаг и др. [6] при помощи линейного спектрометра по фермиевскому закону обнаружили две мягкие γ -линии (60,5 и 178 keV). Соответствующих конверсионных линий они не обнаружили, что однозначно указывает, что это рентгеновские лучи. Они возникли вследствие вылета конверсионных электронов при распаде Au^{198} в основном состоянии, вследствие ионизации β -частицами атомов ионизирующего вещества. Верхний предел интенсивности K -захватной ветви α_K равен 8%.

В работе [31] оценка интенсивности K -ветви проведена с помощью сравнительного поглощения рентгеновских лучей, возникающих при K -захвате. Установлено, что если K -захват в Au^{198} и происходит с вероятностью, меньшей 0,4% от вероятности β -распада.

Сван и Хилл [21] определяли отношение вероятностей поглощения γ -лучей 411 keV на L_{II} и L_{III} подуровнях; по их данным $L_{II} / L_{III} = 0,031$ для $M2$, $M3$, $M4$, $M5$ и $M6$.

Оценку α_K для K -захвата в работе [18] равно $\frac{0,0307}{0,0108} \approx 3,0$; значение, полученное для K -захвата по кривой Гольдгабера и Самьера [26] для перехода типа $E2$, равно 2,7.

Сван и Хилл [21] определяли отношение вероятностей поглощения γ -лучей 411 keV на L_{II} и L_{III} подуровнях; по их данным $L_{II} / L_{III} = 0,031$ для $M2$, $M3$, $M4$, $M5$ и $M6$.



Радиологический институт
им. В. Г. Хлопина
Академии наук СССР

Цитированная литература

1. Антошкова Н., Башкиров А., Джененов В., Докл. АН СССР, Серия физик., 14, 299 (1950).
2. Джененов В., Журавский Н., Кольнов Ю., Докл. АН СССР, 3, 599 (1954).
3. E. H. S. Edwards, J. Phys. Rev., 82, 333 (1951).
4. Rossi A., Kolthoff B., Zeldes H., Fairstein E., Phys. Rev., 81, 229 (1951).
5. H. G. M. Geiger, 232, 229 (1951).
6. G. M. J. Van den Broek, J. Booker D. Dunster H., Proc. Phys. Soc., B, 66, 775 (1953).
7. M. J. G. Cantwell, M. Kaufman J., Canad. J. Phys., 33, 189 (1955).
8. M. J. G. Cantwell, M. Kaufman, J. Phys. Rev., 73, 819 (1949).
9. M. J. G. Cantwell, M. Kaufman, J. Phys. Rev., 75, 819 (1949).
10. M. J. G. Cantwell, M. Kaufman, J. Phys. Rev., 77, 167 (1949).
11. M. J. G. Cantwell, M. Kaufman, J. Phys. Rev., 83, 19 (1951).
12. M. J. G. Cantwell, M. Kaufman, J. Phys. Rev., 85, 944 (1951).
13. M. J. G. Cantwell, M. Kaufman, J. Phys. Rev., 85, 944 (1951).
14. M. J. G. Cantwell, M. Kaufman, J. Phys. Rev., 85, 944 (1951).
15. M. J. G. Cantwell, M. Kaufman, J. Phys. Rev., 85, 944 (1951).
16. M. J. G. Cantwell, M. Kaufman, J. Phys. Rev., 85, 944 (1951).
17. M. J. G. Cantwell, M. Kaufman, J. Phys. Rev., 85, 944 (1951).
18. M. J. G. Cantwell, M. Kaufman, J. Phys. Rev., 85, 944 (1951).
19. M. J. G. Cantwell, M. Kaufman, J. Phys. Rev., 85, 944 (1951).
20. M. J. G. Cantwell, M. Kaufman, J. Phys. Rev., 85, 944 (1951).

Д. М. ХРОМЧЕНКО

ИССЛЕДОВАНИЕ УРОВНЕЙ ЛЕГКИХ ЯДЕР МЕТОДОМ МАГНИТНОГО АНАЛИЗА

Изучение спектров продуктов ядерных реакций ионизирующего излучения более эффективных методов ядерной спектроскопии. Определенная с помощью магнитного анализа энергии заряженных частиц, образовавшихся в результате реакций, позволило в последнее время значительно повысить точность результатов и разрешающую способность при исследовании энергетических уровней ядер.

Однако в ряде случаев такие исследования были затруднены из-за малом диапазоне энергии возбуждения. Такими примерами являются исследования и др. [1]; для бомбардировки мишеней в них применялись ионы с энергией всего в 2 MeV. Поэтому при достижении максимума разрешающей способности прибора, полученных в этих опытах, не давали сведения об уровнях исследованных ядер лишь в области низких энергий возбуждения.

Нужно отметить большую трудность примененного в этих опытах метода регистрации заряженных частиц — счета следов в фотоэмульсии и измерения их длины; счет следов позволял оценить интенсивность исследуемых групп, измерение длины этих следов — природу образующихся групп частиц.

В настоящей работе излагаются результаты ряда опытов [2-5]. Целью этих опытов было изучение уровней некоторых легких ядер в области более высоких энергий возбуждения, чем изучались до сих пор.

Постановка опытов

В наших опытах энергия продуктов ядерных реакций изучалась так же, как при помощи магнитного анализа. Постановка опытов, однако, была различной от постановки опытов указанными выше авторами. В нашем случае

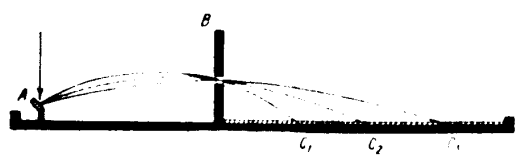


Рис. 1. Схема спектрографа: А — щель, В — мишень, С — фотопленка. 1, 2, 3 — пучки заряженных частиц на фотопленке.

более пучок моноэнергетических нейтронов, который был направлен на мишень А (рис. 1), в которой находилась мишень В. В результате реакции в мишени В образовались заряженные частицы, которые, пройдя через узкую щель А, попадали на фотопленку С.

Д. В. Зависимый...
С, и т. н. Чем меньше...
на пластинку соотв...
что на пластинку, в...
можно было наблюдать у...

Для биострой и односторонней идентификации частиц мы...
использовали Ю. А. Носикова, дифференцирующий фильтр...
длинам следов несколько микро модификацию разработанного...
клива [6]. Фильтр помещали на пластинку таким образом, что...
всю по длине и малую по ширине. Фильтр изготовляли из...
алюминиевой фольги, толщина его рассчитывалась по тангенсу угла...
чтобы в каждой точке вдоль пластинки полностью освещались...
и все более короткопробежные частицы и пропускали...
равно, одна половина пластинки, без фильтра, регистрировала...
крупные частицы, испускаемые мишенью в углы...
направления. Другая половина пластинки, защищенная...
давала только спектр протонов, возникающих в...
исследуемой мишени. Правильность этого способа...
была проверена еще и иначе: энергетический спектр...
получен нами при нескольких энергиях бомбардировки...
Наибольшим преимуществом нашего метода является...
полная статистическая достоверность наблюдений...
появления следов к линиям, каковы бы ни были...
различия концентрации следов по краям...
преимуществом указанной постановки оптиче...
спектра в достаточно широком диапазоне...
этого спектра одновременно и на одной пластинке. Нам...
важность и простотой операции, продельваемой Вайзером и др., —
получения результирующей кривой из многих отдельных пластинок...
несколько случаев до 20), каждая из которых охватывала небольшую...
энергетического интервала. Вследствие этого в наших...
лучах менее критичной оказывалась любая нестабильность дейтронного...
Получение визуально наблюдаемых энергетических спектрограмм по...
видно значительно ускорило обработку пластинок. От счета следов мы...
могли перейти к исследованию относительной интенсивности групп при...
помощи микрофотометра. Такая, несравненно более быстрая, обработка...
результатов дала нам возможность изучить целую серию спектрограмм...
для каждого из исследованных элементов. Благодаря такой многократ...
ной проверке воспроизводимости результатов из окончательных данных...
было исключено большинство случайных факторов.

Фокусировка и дисперсия в нашем спектрографе не были оптимальны, так как анализируемые на длине волны...
стоятельность, а также применение более тонких мишеней обусловили то,
что полученные в наших условиях данные результаты и разрешающая...
способность прибора были ниже, чем в опытах Бюхнера и др. Энергия...
большинства уровней исследованных нами ядер определялась с точ...
ностью порядка 20—30 keV. В случае применения более толстых ми...
ней (например для магии и кремния) погрешность увеличивалась до...
40—50 keV, а в случае более тонких (например для углерода и аз...
рода) — уменьшалась до 10—15 keV.

Из серии исследованных нами легких ядер два — углерод и кислород —
были изучены нами как для калибровки и отработки прибора, так и...
тому, что они содержались в виде примеси почти во всех примененных...
мишенях.

Исследованные энергетические спектры бета-лучных ядер в области...
высоких энергий возбуждения представляли уже самостоятельный...
интерес.

На рис. 2 (см. вклейку, стр. 280) представлены репродукции типичных...
отопластиков с энергетическими спектрами исследованных нами ядер...
как показывает сравнение этих репродукций, наиболее простыми на всей...
серии являются спектры углерода и кислорода.

Углерод

В опытах с углеродом мишенью служил слой сажи, нанесенный на подложку из медной фольги толщиной ~0,5 м. На фотографии спектра углерода (рис. 2, а) справа вверху видна яркая линия, обусловленная дейтронными, отраженными упруго от меди. Она отчетливо видна на верхней половине пластинки, экспонированной без фильтра, и отсутствует на нижней, закрытой фильтром.

Микрофотограммы обеих половинок этой фотопластинки приведены на рис. 3. Из них видно, что в исследованном нами энергетическом интервале имеется четыре группы протонов от реакции $C^{12}(d, p)C^{13}$. Одна из этих групп, с индексом $C^{12}(0)$, соответствует переходу в ядро C^{13} в основное состояние, три остальные характеризуют переходы в возбужденные ядра C^{13} . При энергии бомбардирующих дейтронов $T_d = 0,4$ МэВ группа протонов $C^{12}(0)$ совпала по положению с группой дейтронов, отраженных упруго от ядра C^{12} . Поэтому на кривой / рис. 3 (а) видна одна линия без закрытой фильтром части фотопластинки) этой группе имеет вид дублета.

Как масса ядра C^{13} , так и Q_0 для реакции $C^{12}(d, p)C^{13}$ известны до той же точности и определены двумя независимыми способами — из данных магнитному анализу продуктов этой реакции [7] и из масс спектро...

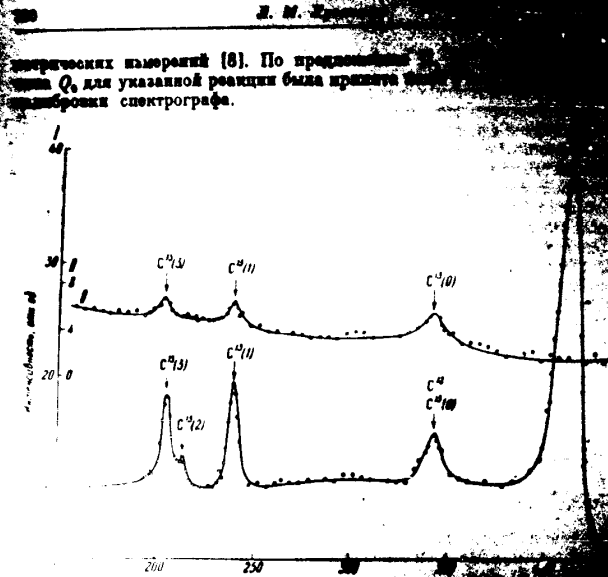


Рис. 1. Микрофотограмма спектра углерода ($E_d = 0,25$ МэВ) с фильтром. II — спектр на открытой фотопленке.

В табл. 1 дана сводка данных об уровнях ядра C^{12} по результатам настоящей работы, так и по измерениям других авторов. Штрихи и др. энергии уровней C^{12} определены при анализе

Таблица 1

Уровни возбуждения ядра C^{12} (в МэВ)

№ уровня	Настоящая работа	Ван-Паттер и др. [9]	Рейдман [10]	Нови и др. [11]
1	3,10 ₇	3,096	3,11	3,13
2	3,69 ₀	3,686	3,683	
3	3,86 ₅		3,84	3,83

анализа, в двух остальных работах — по измерению пробегов протонов. Ввиду простоты спектра углерода для его исследования мы проанализировали только три пластинки.

Вывод

Для изучения спектра ядра углерода мы применяли мишень из смеси вольфрама, напыщенной на медную фольгу. Кроме того, были использованы данные, полученные при бомбардировке дейтонами металлического магния. Последний был заметно окисленным, поэтому на микрофото-

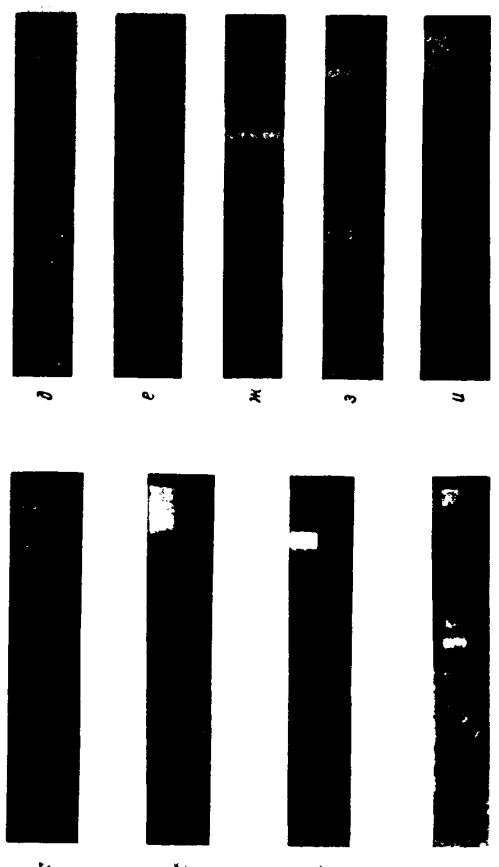


Рис. 2. Микрофотограммы спектров углерода: а — углерод, б — углерод, в — литий ($E_d = 3,75$ МэВ), г — литий ($E_d = 3,75$ МэВ), д — литий ($E_d = 3,75$ МэВ), е — литий ($E_d = 3,75$ МэВ), ж — литий ($E_d = 3,75$ МэВ), з — литий ($E_d = 3,75$ МэВ), и — литий ($E_d = 3,75$ МэВ), к — литий ($E_d = 3,75$ МэВ), л — литий ($E_d = 3,75$ МэВ), м — литий ($E_d = 3,75$ МэВ), н — литий ($E_d = 3,75$ МэВ), о — литий ($E_d = 3,75$ МэВ), п — литий ($E_d = 3,75$ МэВ), р — литий ($E_d = 3,75$ МэВ), с — литий ($E_d = 3,75$ МэВ), т — литий ($E_d = 3,75$ МэВ), у — литий ($E_d = 3,75$ МэВ), ф — литий ($E_d = 3,75$ МэВ), г — литий ($E_d = 3,75$ МэВ), х — литий ($E_d = 3,75$ МэВ), ц — литий ($E_d = 3,75$ МэВ), ч — литий ($E_d = 3,75$ МэВ), ш — литий ($E_d = 3,75$ МэВ), щ — литий ($E_d = 3,75$ МэВ), э — литий ($E_d = 3,75$ МэВ), ю — литий ($E_d = 3,75$ МэВ), я — литий ($E_d = 3,75$ МэВ).

Спектры рентгеновского излучения кислорода от окисей вольфрама и титана приведены на рис. 1, 2. Микрофотографии этих окисей даны на рис. 3, 4.



Рис. 1. Спектр на части окисей вольфрама и титана. 2 — спектр на части окисей вольфрама и титана. 3 — микрофотография окисей вольфрама. 4 — микрофотография окисей титана.

Таблица 2
Энергия O^{17} (в MeV)

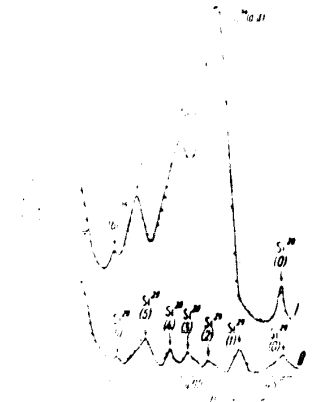
Энергия O^{17} (в MeV)	Высота и ширина (13)
0,883	
3,080	
3,856	

В табл. 2 даны полученные нами значения энергий уровней ядра O^{17} . Они основаны на измерении спектров кислорода от окисей вольфрама и титана. Для сопоставления в табл. 2 приведены также значения энергий уровней ядра O^{17} полученные нами из данных о реакциях типа: $F^{19}(d, \alpha)O^{17}$. Для группы протонов, соответствующей первому уровню ядра O^{17} , состоящие, мы получили значение энергии...

Л. М. Храменко

...четыре новых уровня (группы 22, 24, 25 и 27). Последний уровень...
 ...достоверен по идентификации. Малая интенсивность...
 ...группы не дает возможности исключить его интерпретацию...
 ...уровни Al^{27} ...
 ...реакции также уровень с $E^* = 7,59$ MeV...
 ...уровни Al^{27} ... ранее из излучения реакции $(Al^{27} + \alpha)$

Мишень... изотопного состава:
 Si^{28} 92,27%, Si^{29} 6,88%, Si^{30} 0,85%. Мишень мелко растерта
 в ступке и высушена. В процессе эксперимента напылялась на
 подложку из металла...



Энергетический спектр на алюминии

...спектра...
 ...параме...
 ...период...
 ...формы...
 ...шести...
 ...Пани...
 ...и Бюх...
 ...работ...
 ...магнитного...
 ...времени...
 ...детально...
 ...работы, все...
 ...на основе...
 ...наблюдены...
 ...уровни 15 мы впервые...
 ...отожествлен с уров...

...возбуждения и наблюдавшимся при излучении...
 ...толстые мишени...
 ...погрешность, чем в остальных случаях...
 ...значений около среднего достигал 40...
 ...keV...
 ...энергии реакции $Q = 6,22$ MeV. По данным Ван-Паттера и Бюхнера, $Q_{\alpha} = 6,246$ MeV

Уровни возбуждения ядра Si^{28} (в MeV)

М группы	Настоящая работа	Ван Паттер и Бюхнер (1957)	Степанов	Бюхнер
1	1,23 ₄	1,278		
2	2,03 ₄	2,027		
3	2,41 ₄	2,426		
4	3,08 ₄	3,050		
5	3,69 ₄	3,623		
6	4,22 ₄	4,068		
7	4,33 ₄	4,897		
8	5,91 ₄	5,905		

Обсуждение результатов

Анализ систем уровней легких ядер, полученных в наших опытах, показывает, что из всех реакций, могущих возникнуть в этих ядрах при облучении их дейтронами средних энергий, наиболее вероятной является реакция (d, p) . В наших опытах было зарегистрировано около 100 уровней различных ядер. Из них лишь в одном случае (в спектре лития) наблюдались реакции неупругого рассеяния дейтронов и в двух (в спектрах лития и алюминия) — реакции (d, α) . Все остальные уровни исследованных ядер были получены в результате реакции (d, p) .
 Из зарегистрированных уровней можно иметь место семь типов реакции (d, n) , (d, p) , (d, α) , (d, t) , $(d, ^3He)$, $(d, ^4He)$. Для реакции (d, α) более других характерна величина сечения для энергии дейтрона H^+ в области $0,5-1,0$ MeV, что объясняется тем, что в этом диапазоне энергии сечение увеличивается вероятности реакции (d, α) в 10^3 раз.
 Для последних реакций и реакции (d, t) характерно то, что они протекают как проходящую через стадию образования промежуточного ядра, что мало вероятно на энергетических образованиях. Поэтому для распределения дейтронов, рассеянных неупругим образом, произведено в работе Мэддана и Гута (MS) вычисление, которое является иней трактовка реакции неупругого рассеяния (d, d) . Этот расчет с опытом дал расчет этого процесса как процесс (d, d) с энергией возбуждения ядра полями падающей частицы. Малая вероятность реакции (d, d) , наблюдающейся в наших опытах, может быть объяснена тем, что выгодным для наблюдения углом рассеяния (у нас 90°) является угол рассеяния в сравнительно низкой энергии бомбардирующих дейтронов. В тех случаях, в которых отмечалось большое сечение для реакции неупругого рассеяния дейтронов, были выполнены с дейтронами больших энергий ($2,7-3,5$ MeV).

М. П. ГЛАЗУВОВ, В. С. ДЖЕЛЕНОВ
 СПЕКТР I_{129}^{129}

Изотоп I_{129}^{129} обладает весьма сложным спектральным составом. Он испускает γ -кванты, по крайней мере, в области 100 - 1000 keV. В настоящее время имеются данные, посвященные излучению I_{129}^{129} (см. работы А. А. Гаврилова, Н. А. Антоновой и В. С. Дженелова [1], [2]). В работе [1] предложена предварительная схема распада I_{129}^{129} с энергией жизни до 1952 г. С тех пор появились новые данные об излучении этого радиоизотопа, а также о некоторых изменениях в схеме распада.

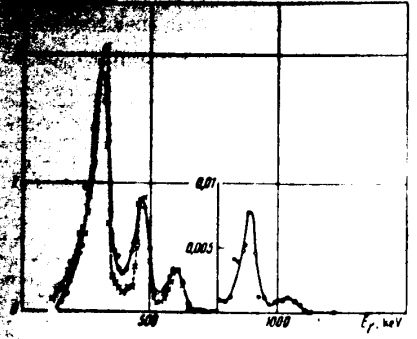
Методом Пелла [3] и др. [3] уточнены энергии отдельных линий I_{129}^{129} (в кeV). В работах Прингла и др. [4] и др. [5] с помощью спектрометра с кристаллическим детектором измерены относительные интенсивности пяти наиболее жестких линий I_{129}^{129} с энергиями 498, 580, 605 и 613 keV.

В настоящей работе измерены относительные интенсивности исследованных в работе [1] линий I_{129}^{129} и приведены в таблице.

Таблица 1. Относительные интенсивности γ -лучей I_{129}^{129}

Энергия E_{γ} , кeV	Относительная интенсивность I_{rel}	Энергия E_{γ} , кeV	Относительная интенсивность I_{rel}	Наши измерения		
				Энергия E_{γ} , кeV	Относительная интенсивность I_{rel}	Относительная интенсивность I_{rel}
314	7,50	314	7,50	0,17	0,07	0,07
498	4,92	498	4,92	4,79	4,23	4,23
580	1,74	580	1,74	1,74	1,74	1,74
605	0,002	605	0,002	—	—	—
613	0,037	613	0,037	0,027	—	—
1053	0,0085	1053	0,0085	0,0122	—	—
1210	—	1210	—	—	—	—

Работа выполнена на Симпозиуме в феврале 1954 г. и доложена на симпозиуме в Москве [4, 5], посвященном изотопам.



На рисунке приведены результаты первой и третьей серий измерений γ -лучей спектра I_{129}^{129} в обработанном виде: экспериментальные данные вынесены в разных интервалах энергий, введены поправки на различную чувствительность ретрона, на поглощение γ -лучей в источнике, на зависимость эффективности счетчиков от энергии. Совмещение спектров произведено по ординате при $E_{\gamma} = 605$ keV. Жесткие линии 898 и 905 keV линии слабого отщепления.

Линии 314; 280, 208, 308 и 316 keV, а также 580, 605 и 613 keV не исследованы, и оставлены две группы линий с эффективными энергиями 314 и 613 keV.

Результаты измерений приведены в таблице. Относительная интенсивность группы линий с $E_{\gamma} = 498, 580$ и 613 keV принята, для удобства сравнения с данными [1], равной 1,74. Существенная интенсивность группы наиболее жестких линий обнаружена на I_{129}^{129} третьей серии измерений, в которой линиям γ -лучей 605 и 613 keV. Интенсивности остальных γ -лучей получены путем уравнивания данных I и II серий.

Интенсивность γ -лучей $E_{\gamma} = 880$ keV, впервые обнаруженной в работе [1], оказалась значительно большей, чем указано в приведенной там же схеме распада. Линия $E_{\gamma} = 1210$ keV, обнаруженная в работе [4], не обнаруживается в указанную схему распада, но обнаруженная нами интенсивность в [4] линия $E_{\gamma} = 1053$ keV требует введения дополнительных уровней. Научая для контроля область энергий 1600 - 2500 keV в ряде специальных условий, мы не обнаружили в этой области линий, интенсивность которых превышала бы $2 \cdot 10^{-4}$ кванта на радиоизотоп.

Цитированная литература
 1. Антонова Н., Дженелов В., Изв. АН СССР, Серия физ.-матем. науки, 1954, № 1, с. 107.
 2. Прингл Р., Физ. Рев., 57, 930 (1952).
 3. Фелла С., Демонд Л., Физ. Рев., 88, 775 (1952).
 4. Гаврилов А. А., Антонова Н., Физ. Рев., 95, 115 (1954).
 5. Антонова Н., Дженелов В., Изв. АН СССР, Серия физ.-матем. науки, 1954, № 1, с. 107.

В. С. ДЖЕЛЕНОВ, Н. Н. ЖУКОВСКИЙ и В. Г. ШИШОВ

ИЗЛУЧЕНИЕ $\text{Eu}^{154,154}$

При облучении европия тепловыми нейтронами получают два дельтаперехода и отбоя с массовыми числами 152 и 154, приблизительно одинаковые периоды полураспада (13 и 16 лет соответственно) [4]. Распад обоих изотопов сопровождается γ -излучением. При помощи спектрометра с улучшенной фокусировкой, позволяющей измерять малые спектры [5] мы исследовали это γ -излучение. На рис. 1 приведены экспериментальная кривая, полученная с помощью спектрометра, и теоретическая кривая, рассчитанная с помощью программы ЭВМ. Теоретическая плотность $1,86 \text{ мк} \cdot \text{с}^{-1}$. В спектре наблюдается совпадение в единицу времени девяти линий. Кроме того, в спектре наблюдаются девять линий, которые превышают по интенсивности теоретическую кривую. Совпадение этой части спектра с мишенью толщиной 17 мк и с ритроном в этой области не наблюдается, что объясняется существованием в этой области спектра разрешенных γ -линий.

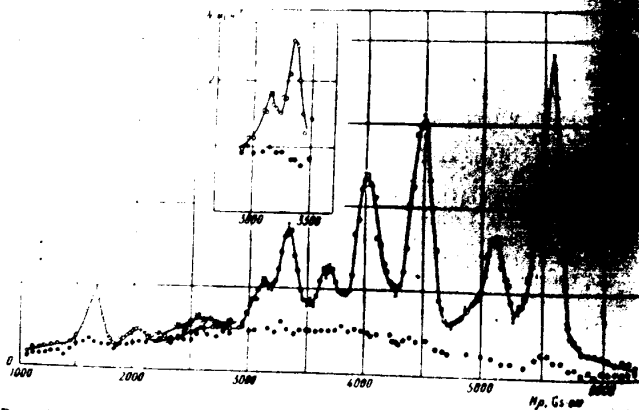


Рис. 1. γ -Спектр $\text{Eu}^{154,154}$, полученный на элтроне с мишенью толщиной 17 мк . 1 — совпадения при мишени в дуге; 2 — совпадения при мишени в дуге (фон); 3 — совпадения при мишени толщиной 50 мк .

Для лучшего разрешения двух линий в области $2900 \rightarrow 3500 \text{ KeV}$ выполнено исследование этого участка спектра в условиях повышенной разрешающей способности прибора. Результаты приведены в части рисунка.

Для определения относительных интенсивностей γ -лучей $\text{Eu}^{154,154}$ был исследован на ритроне [6], для которого относительная эффективность рассчитана

относительная интенсивность γ -лучей (0,3 %).

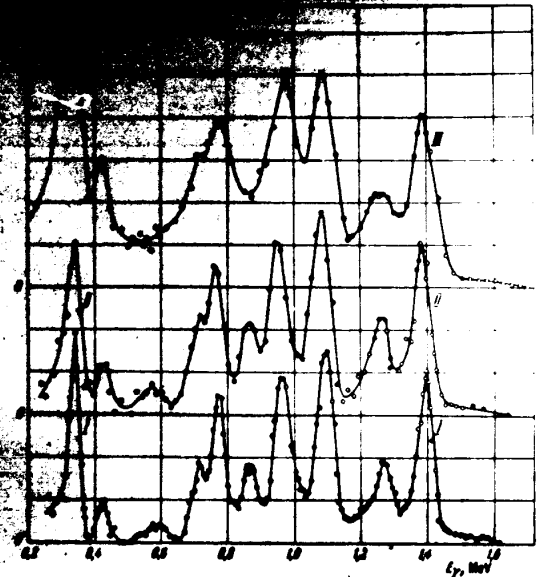


Рис. 2. γ -Спектры $\text{Eu}^{154,154}$ обработанные виде: I — спектр, снятый на элтроне с мишенью толщиной 17 мк ; II — то же, но с мишенью толщиной 50 мк ; III — спектр, снятый на ритроне с мишенью толщиной 50 мк . На ординате отложено число γ -квантов, приведенное к равным интервалам энергии γ -лучей.

Кривые I и II получены на элтроне с мишенями 17 и 50 мк соответственно, кривая III — на ритроне в обычных для него условиях.

На рис. 2 видно, что элтрон обладает лучшей разрешающей способностью в сравнении с ритроном. При этом светосила прибора одного порядка.

Кривые I и II спектра были разложены на отдельные линии при помощи градуированных γ -лучей Co^{60} , Zn^{65} и ThC'' , специально измеренных на элтроне в тех же условиях, при которых был исследован спектр $\text{Eu}^{154,154}$. Кривая III была разложена на компоненты при помощи метода наименьших квадратов, приведенных в работе [6].

В спектрах, полученных на элтроне, наблюдаются небольшие различия в относительной интенсивности γ -лучей (точность до $5-6 \%$), поэтому

В. С. Давыдов, Н. Н. Мухоморов

Для электрона можно пользоваться спектрограммой, рассчитанной для ртутрона [6].
 В таблице приведены значения энергий и относительных интенсивностей γ -лучей Eu^{144} . Относительные интенсивности даны к самому сильному, впервые.

Относительные интенсивности γ -лучей Eu^{144}

E, keV по данным литературы	Миллер, толщина 17 μ		Миллер, толщина 17 μ		Миллер, толщина 17 μ		Значения K , по работам с калиброванными электронами	
	площадь линий	относ. инт.	площадь линий	относ. инт.	площадь линий	относ. инт.	Шуэлл [7]	Норм [8]
121	100	100	100	100	100	100	—	337; 344
127	100	100	100	100	100	100	—	408; 412; 448
148	100	100	100	100	100	100	—	584; 587; 608; 612; 720,4
176	100	100	100	100	100	100	—	778
204	100	100	100	100	100	100	—	848; 871
232	100	100	100	100	100	100	—	963; 964
260	100	100	100	100	100	100	—	1086; 1116
288	100	100	100	100	100	100	—	—
316	100	100	100	100	100	100	—	—
344	100	100	100	100	100	100	—	—
372	100	100	100	100	100	100	—	—
400	100	100	100	100	100	100	—	—
428	100	100	100	100	100	100	—	—
456	100	100	100	100	100	100	—	—
484	100	100	100	100	100	100	—	—
512	100	100	100	100	100	100	—	—
540	100	100	100	100	100	100	—	—
568	100	100	100	100	100	100	—	—
596	100	100	100	100	100	100	—	—
624	100	100	100	100	100	100	—	—
652	100	100	100	100	100	100	—	—
680	100	100	100	100	100	100	—	—
708	100	100	100	100	100	100	—	—
736	100	100	100	100	100	100	—	—
764	100	100	100	100	100	100	—	—
792	100	100	100	100	100	100	—	—
820	100	100	100	100	100	100	—	—
848	100	100	100	100	100	100	—	—
876	100	100	100	100	100	100	—	—
904	100	100	100	100	100	100	—	—
932	100	100	100	100	100	100	—	—
960	100	100	100	100	100	100	—	—
988	100	100	100	100	100	100	—	—
1016	100	100	100	100	100	100	—	—
1044	100	100	100	100	100	100	—	—
1072	100	100	100	100	100	100	—	—
1100	100	100	100	100	100	100	—	—
1128	100	100	100	100	100	100	—	—
1156	100	100	100	100	100	100	—	—
1184	100	100	100	100	100	100	—	—
1212	100	100	100	100	100	100	—	—
1240	100	100	100	100	100	100	—	—
1268	100	100	100	100	100	100	—	—
1296	100	100	100	100	100	100	—	—
1324	100	100	100	100	100	100	—	—
1352	100	100	100	100	100	100	—	—
1380	100	100	100	100	100	100	—	—
1408	100	100	100	100	100	100	—	—
1436	100	100	100	100	100	100	—	—
1464	100	100	100	100	100	100	—	—
1492	100	100	100	100	100	100	—	—
1520	100	100	100	100	100	100	—	—
1548	100	100	100	100	100	100	—	—
1576	100	100	100	100	100	100	—	—
1604	100	100	100	100	100	100	—	—
1632	100	100	100	100	100	100	—	—
1660	100	100	100	100	100	100	—	—
1688	100	100	100	100	100	100	—	—
1716	100	100	100	100	100	100	—	—
1744	100	100	100	100	100	100	—	—
1772	100	100	100	100	100	100	—	—
1800	100	100	100	100	100	100	—	—
1828	100	100	100	100	100	100	—	—
1856	100	100	100	100	100	100	—	—
1884	100	100	100	100	100	100	—	—
1912	100	100	100	100	100	100	—	—
1940	100	100	100	100	100	100	—	—
1968	100	100	100	100	100	100	—	—
1996	100	100	100	100	100	100	—	—
2024	100	100	100	100	100	100	—	—
2052	100	100	100	100	100	100	—	—
2080	100	100	100	100	100	100	—	—
2108	100	100	100	100	100	100	—	—
2136	100	100	100	100	100	100	—	—
2164	100	100	100	100	100	100	—	—
2192	100	100	100	100	100	100	—	—
2220	100	100	100	100	100	100	—	—
2248	100	100	100	100	100	100	—	—
2276	100	100	100	100	100	100	—	—
2304	100	100	100	100	100	100	—	—
2332	100	100	100	100	100	100	—	—
2360	100	100	100	100	100	100	—	—
2388	100	100	100	100	100	100	—	—
2416	100	100	100	100	100	100	—	—
2444	100	100	100	100	100	100	—	—
2472	100	100	100	100	100	100	—	—
2500	100	100	100	100	100	100	—	—
2528	100	100	100	100	100	100	—	—
2556	100	100	100	100	100	100	—	—
2584	100	100	100	100	100	100	—	—
2612	100	100	100	100	100	100	—	—
2640	100	100	100	100	100	100	—	—
2668	100	100	100	100	100	100	—	—
2696	100	100	100	100	100	100	—	—
2724	100	100	100	100	100	100	—	—
2752	100	100	100	100	100	100	—	—
2780	100	100	100	100	100	100	—	—
2808	100	100	100	100	100	100	—	—
2836	100	100	100	100	100	100	—	—
2864	100	100	100	100	100	100	—	—
2892	100	100	100	100	100	100	—	—
2920	100	100	100	100	100	100	—	—
2948	100	100	100	100	100	100	—	—
2976	100	100	100	100	100	100	—	—
3004	100	100	100	100	100	100	—	—
3032	100	100	100	100	100	100	—	—
3060	100	100	100	100	100	100	—	—
3088	100	100	100	100	100	100	—	—
3116	100	100	100	100	100	100	—	—
3144	100	100	100	100	100	100	—	—
3172	100	100	100	100	100	100	—	—
3200	100	100	100	100	100	100	—	—
3228	100	100	100	100	100	100	—	—
3256	100	100	100	100	100	100	—	—
3284	100	100	100	100	100	100	—	—
3312	100	100	100	100	100	100	—	—
3340	100	100	100	100	100	100	—	—
3368	100	100	100	100	100	100	—	—
3396	100	100	100	100	100	100	—	—
3424	100	100	100	100	100	100	—	—
3452	100	100	100	100	100	100	—	—
3480	100	100	100	100	100	100	—	—
3508	100	100	100	100	100	100	—	—
3536	100	100	100	100	100	100	—	—
3564	100	100	100	100	100	100	—	—
3592	100	100	100	100	100	100	—	—
3620	100	100	100	100	100	100	—	—
3648	100	100	100	100	100	100	—	—
3676	100	100	100	100	100	100	—	—
3704	100	100	100	100	100	100	—	—
3732	100	100	100	100	100	100	—	—
3760	100	100	100	100	100	100	—	—
3788	100	100	100	100	100	100	—	—
3816	100	100	100	100	100	100	—	—
3844	100	100	100	100	100	100	—	—
3872	100	100	100	100	100	100	—	—
3900	100	100	100	100	100	100	—	—
3928	100	100	100	100	100	100	—	—
3956	100	100	100	100				

А. Н. Бунин

коэффициенты: для первого варианта $A(\theta) = 1 + 0,35 \cos^2 \theta$. Таким образом, для более широкого круга значений θ функция $A(\theta)$ отличается от вида функции $A(\theta)$, найденной нами. В частности, предположение о том, что спектр β , относящийся к первому запрещению, необходимо отвергнуть. Кроме того, в силу которых значения $J_C = 0$ или 4 мало вероятны, можно считать, что $J_C = 3$. Если переход β_2 попрежнему относится к первому запрещению (хотя убедительных свидетельств в пользу этого положения нет), то на основании правил отбора Гамова-Теллера этот переход должен иметь четность состояния, так как J_C в этом случае равно 3.

Получив указанные нами теоретическими работами, мы исследовали функцию β для варианта парагона 3(1)2(2)0 в тензорном варианте взаимодействия при помощи матричного элемента B_{ij} и для $E_\beta = 1,78$ MeV. В результате проведенных на угловое разрешение установок измерений (рис. 2) и расчетов (рис. 2) установлено, что коэффициент a_2 равен $a_2 = 0,411$, $|a_2/a_0| \leq 0,465$. Существенно, что для a_2 и a_4 не наблюдается расхождение вряд ли можно приписать тому, что они являются параметрами (например расхождение a_2 и a_4) и имели вид прямой (14).

В других работах по исследованию Sb^{124} [1, 4] проводилось измерение угловой кривой $W(\theta)$ для E_β с помощью теоретического расчета с помощью поля для варианта 3(1)2(2)0 при матричном элементе B_{ij} . Как и в нашем случае, однако, очевидно, что теоретическая кривая $W(\theta)$ и опытная, но полного совпадения между ними нет. В то же время, эти расхождения не связаны с какими либо ошибками в расчетах, поэтому можно утверждать, что переход β_2 у Sb^{124} не может быть отнесен к первому запрещению матричного элемента B_{ij} при тензорном варианте взаимодействия. Можно попытаться получить более точные значения матричных элементов при каком-либо другом типе взаимодействия или при комбинации нескольких типов взаимодействия, причем расчеты надо было бы провести не только для первого, но и для второго запрещения перехода β_2 . Однако в подобных расчетах содержится много произвольных параметров (например соотношение амплитуд и фаз матричных элементов), дающих возможность подогнать различные варианты теоретического расчета к данным опыта.

Эта неоднозначность наглядно продемонстрирована в работах Мориты и Дивана [2] и авторами в работе [23] показала, что можно теоретически объяснить, одновременно форму спектра β и данные о β - γ корреляции в каскаде β_2 - γ_1 , если принять линейную комбинацию матричных элементов B_{ij} и B'_{ij} в тензорном варианте первого запрещения; позже, в работе [24], они показали, что не менее удовлетворительное согласие между теорией и опытом дает предположения в работе [7] комбинация типов взаимодействия: $S + T + P$ при $\Delta J = 1$. В обоих случаях β - γ каскад Sb^{124} характеризуется формулой $-3(1) - 2(2) - 0$.

Таким образом, измерения нами дифференциальной функции β - γ корреляции для Sb^{124} при $E_\beta = 1,78$ MeV отвергает предположение о том, что спектр β_2 относится к переходу γ типа первого запрещения.

Для получения более определенных данных о переходе β_2 (место первого запрещения, какими матричными элементами описывается этот переход) необходимо значительно повысить точность опытного определения функции β - γ корреляции. В частности, необходимо убедиться в отсутствии в функции $W(\theta)$ члена с $\cos^2 \theta$ или $\cos^4 \theta$. Кроме того, что β_2 действительно является переходом

Дифференциальная функция β - γ корреляции для γ -квантов ThC^{228} и ThD^{228} при $E_\beta = 0,277$ MeV. На рис. 4 приведены также значения спектров β и двух возбужденных уровней ThD^{228} по данным работ [28, 29].

Анализ спектров β и γ -квантов ThC^{228} и ThD^{228} при $E_\beta = 0,277$ MeV и $E_\gamma = 0,856$ MeV. В работе [28] приведены значения интенсивности γ_1 и γ_2 (в долях от интенсивности γ_0), а интенсивность γ_3 ($E_\gamma = 0,51$ MeV) составляет $0,277$ от интенсивности γ_1 . На рис. 4 приведены также значения спектров β и двух возбужденных уровней ThD^{228} по данным работ [28, 29].

Рис. 4. Частичная схема уровней и переходов для распада $ThC^{228} \rightarrow ThD^{228}$. Энергия γ -квантов: $\gamma_1 = 0,856$ MeV, $\gamma_2 = 2,62$ MeV, $\gamma_3 = 0,233$ MeV, $\gamma_4 = 0,277$ MeV, $\gamma_5 = 0,856$ MeV, $\gamma_6 = 0,51$ MeV. Цифры слева от уровней — энергии этих уровней по данным работ [28] (правый столбец слева) и [29]. Цифры справа от уровней — вероятные значения по нашим данным.

Рис. 5. Функции β - γ корреляции для γ -квантов ThD^{228} : 1 — теоретическая кривая для варианта последовательности переходов 3(2)2(2)0; 2 — теоретическая кривая, исправленная на угловое разрешение; 3 — экспериментальные значения для β - γ корреляции; 4 — экспериментальные значения для β - γ корреляции, полученные на квантовом анализе по данным работ [28, 29].

В нашей работе измерена величина коэффициента угловой корреляции $A(\theta) = \frac{W(\theta)}{W(0)}$ для $\theta = 120, 135, 150, 165$ и 180° . В соответствии с теоретической функцией $A(\theta)$ для варианта последовательности переходов 3(2)2(2)0 (рис. 5) использовались кристаллы NaJ. Те же кристаллы использовались в работе [28] и в работе [29]. Для измерения спектров β использовались контейнеры со стеклянным окном, как и в работе [28]. В работе [6], а предварительно упоминали при измерении β - γ корреляции коэффициент усиления $K = 100$ и максимума

ИЗВЕСТИЯ АН СС СР

Т. XLX, № 3 СЕРИЯ Физ.

В. А. ШАХБАЗЯН и Л. Н. РУСИНОВ

ИССЛЕДОВАНИЕ УГЛОВОЙ КОРРЕЛЯЦИИ ЭЛЕКТРОНОВ ВНУТРЕННЕЙ КОНВЕРСИИ В⁸⁰Br

Введение

Исследование угловой корреляции электронов внутренней конверсии, искусственно возбужденных ядер, позволяет определять в одном опыте вероятности различных состояний, так и четности этих состояний. Для этого необходимо в параметрической функции угловой корреляции ввести зависимость от квантового числа (1).

$$W(\theta) = \sum_{\lambda} A_{\lambda} P_{\lambda}(\cos \theta) \quad (1)$$

где A_{λ} и P_{λ} зависят как от порядков мультипольностей последовательных переходов, так и от типов переходов, т. е. от спина ядра возбужденного состояния и от четности этих состояний. Множитель $P_{\lambda}(\cos \theta)$ — функция от порядков мультипольностей переходов и является основным фактором угловой корреляции для данного ядра. Предел измерения θ определяется на условия

$$\theta_{max} \leq 2J_1, 2J_2, 2J_3,$$

где J_1, J_2, J_3 — порядки мультипольностей последовательных переходов, возбужденных в промежуточном состоянии.

Угловая корреляция электронов внутренней конверсии в элементах Ta¹⁸¹, Hg²⁰³ в работе [2, 3]. В этих работах установлена зависимость угловой корреляции, по крайней мере, от квантовых характеристик уровней соответствующих ядер. На основе угловой корреляции электронов внутренней конверсии В⁸⁰Br изучено в работе [4] состояние ядра ⁸⁰Br. В работе [5] Чункина [4].

В результате исследований найдена угловая корреляция K- и L-электронов внутренней конверсии В⁸⁰Br, на основании которой сделаны выводы о спинах ядра в возбужденных состояниях и о четности этих состояний. Схема распада ядра В⁸⁰Br приведена на рис. 1.

В работе [6] изучены конверсии переходов В⁸⁰Br - В⁸⁰Br²⁺ и В⁸⁰Br - В⁸⁰Br³⁺ в виде угловой корреляции переходов В⁸⁰Br - В⁸⁰Br²⁺ и В⁸⁰Br - В⁸⁰Br³⁺ несколько

Схема прибора, в котором проводились опыты по угловой корреляции электронов внутренней конверсии брома, приведена на рис. 2. Источник радиоактивного вещества в виде сферического стеклянного сосуда ϕ 300 мкм, содержащего горючих электронов, помещен в камеру ϕ 300 мкм, в которой находится источник электронов, как вокруг центра. Источник в фильтр δ помещен на двух штифтах.

Источники при всех измерениях устанавливаются так, чтобы угол между нормалью к его поверхности и осью неподвижного счетчика равнялся 45°, расстояние от окна счетчика до источника — 50 мм, диаметр окна счетчика — 10 мм. Измерения проводились под углами $\theta = 75, 60, 45$ и 30° . Камера и счетчик были наполнены селенсодержащим конверсионным электроном брома газом — азотом гелия (90%) и паром этилового спирта (10%) при суммарном давлении ~ 50 мм рт.ст.

В этих условиях корень квадратный из среднеквадратического отклонения электронов энергии 23,5 keV, прошедших через слой смеси толщиной 1 мм, равнялся, согласно теории многократного рассеяния Вильямса — Воте [5], ~ 2,7 мм. Поправки на многократное рассеяние в значении коэффициента A_2 угловой корреляции в этих условиях электронов типа $1 + A_2 \cos^2 \theta$ при $A_2 = 0,5$ равнялись 10%.

Для исключения фона совпадения между электронными и альфа-конверсиями в ⁸⁰Br-электроном В⁸⁰Br окна электронных счетчиков были закрыты органическими пленками с поверхностной плотностью 2,1 мг/см². Поверхностная плотность наполняющего прибора газа азота гелия 0,14 мг/см². Эта величина несколько превышает величину поверхностной плотности ⁸⁰Br-электронов брома, максимальный эффект которых не превышает 12,5 keV. Наклон плато счетчиков равнялся 1,25% на 100V. Эффективность счетчиков составляла 80% от эффективности тех же счетчиков, наполненных смесью аргона (90%) и паров этилового спирта (10%).

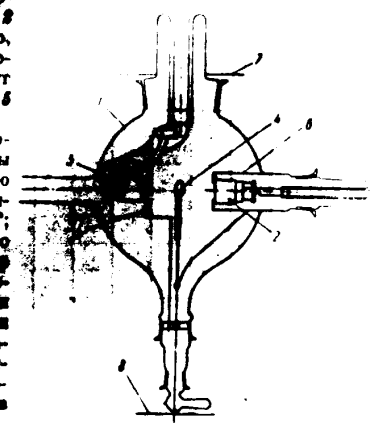


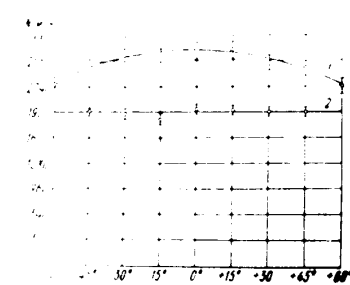
Рис. 2. Схема прибора для исследования угловой корреляции электронов внутренней конверсии брома: 1 — камера, 2 — радиоактивный источник, 3 — неподвижный счетчик, 4 — источник конверсионных электронов, 5 — фильтр (поверхностная плотность 2,1 мг/см²), 6 — электродатчик, 7 — радиоактивный источник, 8 — источник питания, 9 — шкала.

при давлении 100 мм рт. ст. Фильтр толщиной 4,2 мг см⁻² и сферический все конверсионные электроны брома, применялся при измерениях фона совпадений от других излучений при распаде Вг²¹².

Импульсы от электронных счетчиков подавались на двухканальный усилитель, формировались триггерными схемами и после дифференцирования подавались на схему совпадений. Одновременно с измерением числа совпадений и мерных числа отсчетов в одиночных счетчиках, для контроля устойчивости работы триггеров через катодные повторители подавались на осциллографные схемы. Рабочее время схемы совпадений составляло 10 мин.

Рис. 1. Вид источника

Радиоактивный источник представлял собой диск AgBr с диаметром 2 мм, нанесенного на целлофановую подложку толщиной 0,4 мг см⁻². Диаметр и поверхностная плотность источника составляли 0,1 мг см⁻². Угловое распределение электронов от излучения источника представлено на рис. 1. Это обстоятельство свидетельствует о слабом поглощении и рассеянии электронов в активном слое и о слабом обратном рассеянии электронов от подложки.



Угловое распределение электронов от излучения радиоактивного источника при суммарной поверхностной плотности источника в целлофановой подложке 1 — 105 мг см⁻², 2 — < 0,1 мг см⁻². Видно окно счетчика из источника, составившего 0,00248 от величины полного телесного угла и изменялась менее чем на 0,01% при изменении угла между осями счетчиков.

толщины в виде диска AgBr с диаметром 2 мм, нанесенного на целлофановую подложку толщиной 0,4 мг см⁻².

Диаметр и поверхностная плотность источника составляли 0,1 мг см⁻². Угловое распределение электронов от излучения источника представлено на рис. 1. Это обстоятельство свидетельствует о слабом поглощении и рассеянии электронов в активном слое и о слабом обратном рассеянии электронов от подложки.

Принятые в опытах размеры источника и геометрические условия измерений обусловили отсутствие зависимости числа импульсов излучений в подложном счетчике от угла между осями счетчиков.

В проведенных опытах диаметр источника равнялся 2 мм.

При диаметре окна счетчика 10 мм и расстоянии от окна счетчика до источника 50 мм величина телесного угла, под которым видно окно счетчика из источника, составляла 0,00248 от величины полного телесного угла и изменялась менее чем на 0,01% при изменении угла между осями счетчиков.

Результаты эксперимента

Для получения значения функции угловой корреляции конверсионных электронов Вг²¹² из измерений совпадений можно было определить величину фона случайных совпадений от других видов излучений. Измерения фона проводились следующим образом. При определенном угле между осями счетчиков в течение 10 мин измерялись совпадения и затруднения от случайных совпадений. Затем закрывалось фильтром толщиной 4,2 мг см⁻² и вновь в течение 10 мин измерялись совпадения и мерные отсчеты счетчиков. При каждой установке угла между осями счетчиков измерения проводились три раза.

Полученные значения функции угловой корреляции вычитаются из числа совпадений $N(\sigma - \sigma)$, $N(\sigma - R, \gamma)$, $N(R - R, \gamma)$, числа совпадений всех остальных комбинаций $N(\sigma - R, \gamma)$ и числа совпадений между всеми комбинациями $N(\sigma - R, \gamma) - N(R - R, \gamma)$, числа случайных совпадений N_{cc} , $N_{\sigma\sigma}$, $N_{\sigma R}$, $N_{R\sigma}$, N_{RR} , $N_{R\gamma}$, $N_{\gamma R}$, $N_{\gamma\gamma}$ совпадений от распада ядра Вг²¹² — $N_{\text{св}}$:

$$N = N(\sigma - \sigma) + N(\sigma - R, \gamma) + N(R - R, \gamma) + N_{cc} + N_{\text{св}} \quad (2)$$

Толщина применяемого нами фильтра достаточна для полного поглощения всех электронов внутренней конверсии, поэтому при измерении с фильтром первое слагаемое исчезает, а второе — уменьшается вдвое в соответствии с уменьшением вероятности ренгитрансформации $N(\sigma - R, \gamma)$ в два раза при закрытии окна одного счетчика.

Измерения показали, что в условиях проведенных опытов величина фона от Вг²¹² составляет 14,9%. Расчет показывает, что более 94% совпадений приходится на совпадения $N(\sigma - R, \gamma)$. Число совпадений $N(R - R, \gamma)$ составляет величину менее 1,5% от полного числа совпадений при $\theta = 90^\circ$. Число совпадений при измерениях с фильтром вычисляется следующим образом:

$$N' = \frac{1}{2} N(\sigma - R, \gamma) + N(R - R, \gamma) N'_{cc} + N'_{\text{св}} \quad (3)$$

Числа N_{cc} и $N'_{\text{св}}$ измерялись через 48 час после начала опыта в соответствии с периодом полураспада Вг²¹², равным 36 час. Поглощением электронов и γ -квантов в фильтре можно пренебречь. Число совпадений за единицу времени между конверсионными электронами Вг²¹² выражается следующим образом:

$$n(\theta) = \frac{1}{T} \sum ((N - N_{cc} - N_{\text{св}}) - 2(N' - N'_{cc} - N'_{\text{св}})) \quad (4)$$

T — время измерения при угле θ . В наших опытах $T = 30$ мин. Числом при удвоении второй скобки слагаемым $N(R - R, \gamma)$ можно пренебречь ввиду его малости. Таким образом, выражение (4) позволяет при принятой методике измерения удается отделить совпадения от конверсионных электронов внутренней конверсии от фона случайных совпадений от других видов излучений. Для нахождения истиннейшего значения $l(\theta)$ из ряда измерений различной толщины фильтрались средневзвешенные ряда измерений для каждого угла. При этом волись измерения, причем $l(\theta)$ приводились ко времени измерения T . Значения функции угловой корреляции определялись по формуле (5):

$$W(\theta) = \frac{n_{\text{ср}}(\theta)}{n_{\text{ср}}(90^\circ)}$$

В ряде случаев вводились поправки на нецентральность расположения источника, которые определялись экспериментальным путем. Для этого проводились средневзвешенные ряда значений функции угловой корреляции, полученных из всех опытов.

Результаты четырех серий опытов сведены в таблицу. Относительная погрешность значений функции угловой корреляции в окончательном результате равна 6%.

Результаты определения значений функции угловой корреляции K_{α} для переходов V_{35}^{60} на счетах серии опыта

θ	Серия опытов				Среднее значение функции K_{α}
	№ 1	№ 2	№ 3	№ 4	
90	1,00 ± 0,02	1,00 ± 0,02	1,00 ± 0,02	1,00 ± 0,02	1 ± 0,02
75	0,96 ± 0,02	0,96 ± 0,02	0,96 ± 0,02	0,96 ± 0,02	1,04 ± 0,02
60	1,00 ± 0,02	1,00 ± 0,02	1,00 ± 0,02	1,00 ± 0,02	1,17 ± 0,07
45	1,28 ± 0,05	1,28 ± 0,05	1,28 ± 0,05	1,28 ± 0,05	1,24 ± 0,07
30	1,49 ± 0,05	1,49 ± 0,05	1,49 ± 0,05	1,49 ± 0,05	1,35 ± 0,08

Среднее значение функции K_{α} для переходов V_{35}^{60} равно $1 + 0,49 \cos^2 \theta$

Из рисунка видно, что экспериментальные значения функции типа K_{α} для переходов V_{35}^{60} на счетах серии опыта в целом совпадают с теоретическими значениями. График функции для V_{35}^{60} приведен на рис. 5.

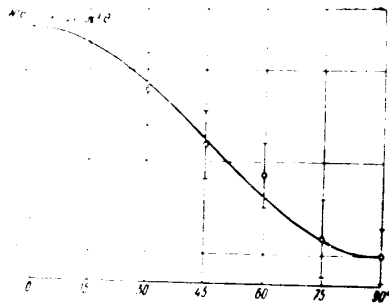


Рис. 5. График функции угловой корреляции K_{α} и L_{α} электронов внутренней конверсии V_{35}^{60} .

Сопоставление результатов экспериментов с теоретическими расчетами и выводы

Известно, что при измерении угла корреляции K_{α} для переходов V_{35}^{60} на счетах серии опыта в целом совпадают с теоретическими значениями. График функции для V_{35}^{60} приведен на рис. 5.

В предположении, что переходы V_{35}^{60} являются дипольными, электрического типа, и что для переходов $V_{35}^{60} \rightarrow V_{35}^{60}$ типа M функции угловой корреляции K_{α} с убыванием угла от 90 до 0°, т. е. знак при L_{α} должен быть отрицательным, что противоречит данным опыта. Предположение о мультипольности перехода $V_{35}^{60} \rightarrow V_{35}^{60}$ как о дипольном, так и магнитного типов, исключаются при сопоставлении экспериментальных значений полного коэффициента внутренней конверсии с теоретическим.

Экспериментальное значение полного коэффициента внутренней конверсии N_{α}/N_{γ} перехода $V_{35}^{60} \rightarrow V_{35}^{60}$ равно $1,44 \pm 0,23$. Вычисленное значение N_{α}/N_{γ} для переходов типа $E1$ и $M1$ равно соответственно 1,54 и 1,23. Неточность вычисления коэффициента внутренней конверсии для энергии перехода $V_{35}^{60} \rightarrow V_{35}^{60}$ равно 17 keV, не превосходит 20%. Между тем величины коэффициента внутренней конверсии в предположении, что переход $V_{35}^{60} \rightarrow V_{35}^{60}$ должен быть квадрупольного или дипольного типа, разнятся примерно в 20 раз. Следовательно, этот переход должен быть дипольным.

В предположении, что переходы V_{35}^{60} являются дипольными, электрического типа, и что для переходов $V_{35}^{60} \rightarrow V_{35}^{60}$ типа M функции угловой корреляции K_{α} с убыванием угла от 90 до 0°, т. е. знак при L_{α} должен быть отрицательным, что противоречит данным опыта. Предположение о мультипольности перехода $V_{35}^{60} \rightarrow V_{35}^{60}$ как о дипольном, так и магнитного типов, исключаются при сопоставлении экспериментальных значений полного коэффициента внутренней конверсии с теоретическим.

Результаты определения значений функции угловой корреляции K_{α} для переходов V_{35}^{60} на счетах серии опыта в целом совпадают с теоретическими значениями. График функции для V_{35}^{60} приведен на рис. 5.

Сопоставление результатов экспериментов с теоретическими расчетами и выводы

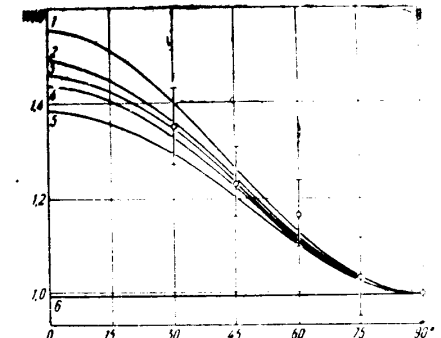


Рис. 5. Сопоставление экспериментальных (точки) и теоретических (кривые) результатов по угловой корреляции K_{α} и L_{α} электронов внутренней конверсии V_{35}^{60} . Теоретические кривые рассчитаны для различных типов коррелирующих переходов: 1 - E2 - E2; $W(\theta) = 1 + 0,490 \cos^2 \theta + 0,0585 \cos^4 \theta$; 2 - E4 - E4; $W(\theta) = 1 + 0,487 \cos^2 \theta$; 3 - M4 - E1; $W(\theta) = 1 + 0,460 \cos^2 \theta$; 4 - E3 - E1; $W(\theta) = 1 + 0,438 \cos^2 \theta$; 5 - M3 - E1; $W(\theta) = 1 + 0,382 \cos^2 \theta$; 6 - M3 - M1; $W(\theta) = 1 - 0,0073 \cos^2 \theta$.

Переход $V_{35}^{60} \rightarrow V_{35}^{60}$ — дипольный, электрического типа, и что для переходов $V_{35}^{60} \rightarrow V_{35}^{60}$ типа M функции угловой корреляции K_{α} с убыванием угла от 90 до 0°, т. е. знак при L_{α} должен быть отрицательным, что противоречит данным опыта. Предположение о мультипольности перехода $V_{35}^{60} \rightarrow V_{35}^{60}$ как о дипольном, так и магнитного типов, исключаются при сопоставлении экспериментальных значений полного коэффициента внутренней конверсии с теоретическим.

Экспериментальное значение полного коэффициента внутренней конверсии N_{α}/N_{γ} перехода $V_{35}^{60} \rightarrow V_{35}^{60}$ равно $1,44 \pm 0,23$. Вычисленное значение N_{α}/N_{γ} для переходов типа $E1$ и $M1$ равно соответственно 1,54 и 1,23. Неточность вычисления коэффициента внутренней конверсии для энергии перехода $V_{35}^{60} \rightarrow V_{35}^{60}$ равно 17 keV, не превосходит 20%. Между тем величины коэффициента внутренней конверсии в предположении, что переход $V_{35}^{60} \rightarrow V_{35}^{60}$ должен быть квадрупольного или дипольного типа, разнятся примерно в 20 раз. Следовательно, этот переход должен быть дипольным.

В предположении, что переходы V_{35}^{60} являются дипольными, электрического типа, и что для переходов $V_{35}^{60} \rightarrow V_{35}^{60}$ типа M функции угловой корреляции K_{α} с убыванием угла от 90 до 0°, т. е. знак при L_{α} должен быть отрицательным, что противоречит данным опыта. Предположение о мультипольности перехода $V_{35}^{60} \rightarrow V_{35}^{60}$ как о дипольном, так и магнитного типов, исключаются при сопоставлении экспериментальных значений полного коэффициента внутренней конверсии с теоретическим.

Экспериментальное значение полного коэффициента внутренней конверсии N_{α}/N_{γ} перехода $V_{35}^{60} \rightarrow V_{35}^{60}$ равно $1,44 \pm 0,23$. Вычисленное значение N_{α}/N_{γ} для переходов типа $E1$ и $M1$ равно соответственно 1,54 и 1,23. Неточность вычисления коэффициента внутренней конверсии для энергии перехода $V_{35}^{60} \rightarrow V_{35}^{60}$ равно 17 keV, не превосходит 20%. Между тем величины коэффициента внутренней конверсии в предположении, что переход $V_{35}^{60} \rightarrow V_{35}^{60}$ должен быть квадрупольного или дипольного типа, разнятся примерно в 20 раз. Следовательно, этот переход должен быть дипольным.

В предположении, что переходы V_{35}^{60} являются дипольными, электрического типа, и что для переходов $V_{35}^{60} \rightarrow V_{35}^{60}$ типа M функции угловой корреляции K_{α} с убыванием угла от 90 до 0°, т. е. знак при L_{α} должен быть отрицательным, что противоречит данным опыта. Предположение о мультипольности перехода $V_{35}^{60} \rightarrow V_{35}^{60}$ как о дипольном, так и магнитного типов, исключаются при сопоставлении экспериментальных значений полного коэффициента внутренней конверсии с теоретическим.

6. Серия опытов, № 8

Таким образом, возрастание функции угловой корреляции при внутренней конверсии B_{β}^{2+} указывает, что характер B_{β}^{2+} дипольного характера этого перехода.

2. Согласно рис. 5 мультипольность перехода $B_{\beta}^{2+} \rightarrow B_{\beta}^{0+}$ была бы ниже установленной. В пределах ошибки опыта возможны варианты $L = M1, E3, M3$. Согласно данным Л. Русанова и А. С. Фоминина [10] мультипольность B_{β}^{2+} определяет коэффициент внутренней конверсии

$$C_{int} = \frac{1}{2} \left(\frac{V_K}{V_{\beta}} \right)^2 \left(\frac{E_{\beta}}{E_K} \right)^{2L+1} \left(\frac{E_{\beta}}{E_K} \right)^{2L+1} \left(\frac{E_{\beta}}{E_K} \right)^{2L+1}$$

где V_K и V_{β} — скорости электронов К и β соответственно, E_{β} и E_K — энергии электронов β и К соответственно. Следовательно, мультипольность L не может быть больше 3.

3. Согласно рис. 5 мультипольность B_{β}^{2+} определяет коэффициент внутренней конверсии C_{int} . Согласно рис. 5 мультипольность B_{β}^{2+} определяет коэффициент внутренней конверсии C_{int} .

$$C_{int} = \frac{1}{2} \left(\frac{V_K}{V_{\beta}} \right)^2 \left(\frac{E_{\beta}}{E_K} \right)^{2L+1} \left(\frac{E_{\beta}}{E_K} \right)^{2L+1} \left(\frac{E_{\beta}}{E_K} \right)^{2L+1}$$

4. Согласно рис. 5 мультипольность B_{β}^{2+} определяет коэффициент внутренней конверсии C_{int} . Согласно рис. 5 мультипольность B_{β}^{2+} определяет коэффициент внутренней конверсии C_{int} .

$$\tau_{\beta}^{2+} = 3.5 \cdot 10^{-7} \text{ сек.}$$

5. Согласно рис. 5 мультипольность B_{β}^{2+} определяет коэффициент внутренней конверсии C_{int} . Согласно рис. 5 мультипольность B_{β}^{2+} определяет коэффициент внутренней конверсии C_{int} .

$$\tau_H \approx 10^{-10} \text{ сек.}$$

Известно [10], что для возможности наблюдения показаний угловой корреляции необходимо вычислить время жизни ядра брома в состоянии B_{β}^{2+} .

Это условие для брома выполняется. С другой стороны, вычисление времени жизни электронов внутренней конверсии B_{β}^{2+} требует знания времени жизни ядра брома в состоянии B_{β}^{2+} .

Следует заметить, что вычисление угловой корреляции излучений может дать в ряде случаев информацию о верном предельном продолжительности жизни электронов в состоянии B_{β}^{2+} .

Выражаем глубокую благодарность К. А. Тер-Мартirosianу за большую помощь во время теории.

1. Давидович, В. В. *Физ. Журн.*, 35, 5 (1962).
2. Вайсман, А. *Физ. Журн.*, 35, 5 (1962).
3. Хаббард, Р. *Phys. Rev.*, 23, 855 (1950).
4. Русанов, Л. *Физ. Журн.*, 35, 1029 (1962).
5. Вейсман, А. *Физ. Журн.*, 35, 5 (1962).
6. Березин, В. *Физ. Журн.*, 35, 5 (1962).
7. Березин, В. *Физ. Журн.*, 35, 5 (1962).
8. Русанов, Л. *Физ. Журн.*, 35, 5 (1962).
9. Фоминин, А. *Физ. Журн.*, 35, 5 (1962).
10. Hamilton, J. *Phys. Rev.*, 66, 122 (1940).

ПРИЛОЖЕНИЕ
 ПЕРВЫЙ ПОЯВЛЕНИЕ ФОРМУЛ ДЛЯ ВЫЧИСЛЕНИЯ КОЭФФИЦИЕНТОВ
 УГЛОВОЙ КОРРЕЛЯЦИИ ЭЛЕКТРОНОВ ВУТРИНЕЙ КОНВЕРСИИ
 И КОЭФФИЦИЕНТОВ ВУТРИНЕЙ КОНВЕРСИИ

(по К. А. Тер-Мартirosianу)

Электрический 2^l-польный переход

Коэффициенты внутренней конверсии:

$$\begin{aligned} \gamma_{K^0}^{2+} &= \frac{l}{l+1} q(l, n_K), \\ \gamma_{L^0}^{2+} &= \frac{l}{l+1} q_0(l, n_L), \\ \gamma_{L,III}^{2+} &= \frac{l}{l+1} \left[\frac{l}{2l-1} q_1(l, n_L) + \frac{l+1}{l+1} q_2(l, n_L) \right]. \end{aligned}$$

Коэффициенты угловой корреляции электронов внутренней конверсии:

$$\begin{aligned} b_K(K) &= 1 + \frac{k(k+1)}{2l(l+1) - k(k+1)}, \\ b_{L^0}(L) &= b_K(K), \\ b_{L,III}(L) &= 1 + \frac{k(k+1)}{2l(l+1) - k(k+1)} \frac{l(l+1)}{2l+1} \frac{1 - 2T_l \cos(\tau_{l+1} - \tau_l) + T_l^2}{l+1+l^2}. \end{aligned}$$

Магнитный 2^l-польный переход

Коэффициенты внутренней конверсии:

$$\begin{aligned} \gamma_{K^0}^{2+} &= \lambda + \mu, \\ \gamma_{L^0}^{2+} &= \frac{\left(1 + \frac{n_L^2}{4}\right)^2}{16n_L^2} \left[\frac{l+1}{2l+1} \lambda_0 + \frac{l}{2l+1} q_0(l+1, n_L) \right], \\ \gamma_{L,III}^{2+} &= \frac{\left(1 + \frac{n_L^2}{4}\right)^2}{16n_L^2} \left\{ \frac{l-1}{4l^2-1} \lambda_1 + \frac{l(l+1)}{(2l+1)(2l-1)} q_1(l+1, n_L) \right. \\ &\quad \left. + \left[\frac{l(l+1)}{(2l+1)(2l+3)} + \frac{l}{(2l+1)^2} \right] \lambda_2 + \frac{l(l+1)}{(2l+1)^2} q_2(l+1, n_L) \right\}. \end{aligned}$$

Коэффициенты угловой корреляции электронов внутренней конверсии:

$$\begin{aligned} b_K(K) &= 1 + \frac{k(k+1)}{2l(l+1) - k(k+1)} \frac{l(l+1)}{2l+1} \frac{1 - 2T_l \cos(\tau_{l+1} - \tau_l) + T_l^2}{l+1+l^2}, \\ b_{L^0}(L) &= 1 + \frac{k(k+1)}{2l(l+1) - k(k+1)} \frac{l(l+1)}{2l+1} \frac{1 - 2T_l \cos(\tau_{l+1} - \tau_l) + T_l^2}{l+1+l^2}. \end{aligned}$$

И. И. ОБРАЗЦОВИЧ И В. И. ШАВТВАЛОВ
 ИССЛЕДОВАНИЕ ИЗМЕНЕНИЯ ГЛУБИНЫ МЕТОДОМ СОВПАДЕНИЯ

Исследованы изменения глубины в кристаллах германия и кремния при облучении γ -лучами. Измерения проводились с помощью совпадений β -спектров. Был изучен механизм изменения глубины при облучении γ -лучами. Измерения методом совпадений проводились с помощью спектрометра в режиме совпадений. Для γ -лучей использовались источники ^{60}Co и ^{137}Cs . В качестве детекторов использовались кремниевые и германиевые диоды. Результаты измерений приведены на рис. 1. Анализатор состоит из двух каскадов $L-8$ и $L-9$, выполненных по схеме одновибраторов с цепью обратной связи срабатывания. Амплитудно-частотная характеристика ограничителя выполнена по схеме малоиндуктивной цепи с обратной связью. Функция ограничителя выполнена по схеме ограничителя с обратной связью.



Рис. 1. Принципиальная схема совпадательного спектрометра. $R_1, R_2, R_3, R_4, R_5, R_6, R_7, R_8, R_9, R_{10}$ — резисторы; C_1, C_2, C_3, C_4 — конденсаторы; D_1, D_2, D_3, D_4 — диоды. $R_1 = 22 \text{ к}\Omega$; $R_2 = 10 \text{ к}\Omega$; $R_3 = 10 \text{ к}\Omega$; $R_4 = 10 \text{ к}\Omega$; $R_5 = 10 \text{ к}\Omega$; $R_6 = 10 \text{ к}\Omega$; $R_7 = 10 \text{ к}\Omega$; $R_8 = 10 \text{ к}\Omega$; $R_9 = 10 \text{ к}\Omega$; $R_{10} = 10 \text{ к}\Omega$; $C_1 = 10 \text{ пФ}$; $C_2 = 10 \text{ пФ}$; $C_3 = 10 \text{ пФ}$; $C_4 = 10 \text{ пФ}$; D_1, D_2, D_3, D_4 — 6Ж4.

Такие же измерения проводились и в кристаллах германия и кремния. Изменения глубины при облучении γ -лучами в кристаллах германия и кремния при облучении γ -лучами. Измерения проводились с помощью совпадений β -спектров. Был изучен механизм изменения глубины при облучении γ -лучами. Измерения методом совпадений проводились с помощью спектрометра в режиме совпадений. Для γ -лучей использовались источники ^{60}Co и ^{137}Cs . В качестве детекторов использовались кремниевые и германиевые диоды. Результаты измерений приведены на рис. 1. Анализатор состоит из двух каскадов $L-8$ и $L-9$, выполненных по схеме одновибраторов с цепью обратной связи срабатывания. Амплитудно-частотная характеристика ограничителя выполнена по схеме малоиндуктивной цепи с обратной связью. Функция ограничителя выполнена по схеме ограничителя с обратной связью.

Изменения глубины при облучении γ -лучами в кристаллах германия и кремния. Измерения проводились с помощью совпадений β -спектров. Был изучен механизм изменения глубины при облучении γ -лучами. Измерения методом совпадений проводились с помощью спектрометра в режиме совпадений. Для γ -лучей использовались источники ^{60}Co и ^{137}Cs . В качестве детекторов использовались кремниевые и германиевые диоды. Результаты измерений приведены на рис. 1. Анализатор состоит из двух каскадов $L-8$ и $L-9$, выполненных по схеме одновибраторов с цепью обратной связи срабатывания. Амплитудно-частотная характеристика ограничителя выполнена по схеме малоиндуктивной цепи с обратной связью. Функция ограничителя выполнена по схеме ограничителя с обратной связью.

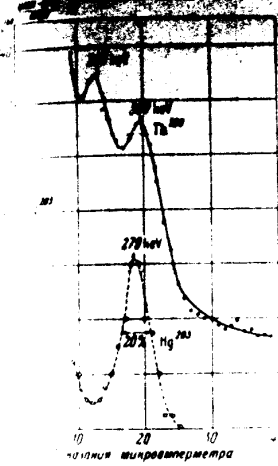


Рис. 2. Спектры ^{214}Pb и ^{203}Hg при помощи совпадений β -спектров. Размеры окна в микрометре 20×20 .

Анализатор состоит из двух каскадов $L-8$ и $L-9$, выполненных по схеме одновибраторов с цепью обратной связи срабатывания. Амплитудно-частотная характеристика ограничителя выполнена по схеме малоиндуктивной цепи с обратной связью. Функция ограничителя выполнена по схеме ограничителя с обратной связью.

Анализатор состоит из двух каскадов $L-8$ и $L-9$, выполненных по схеме одновибраторов с цепью обратной связи срабатывания. Амплитудно-частотная характеристика ограничителя выполнена по схеме малоиндуктивной цепи с обратной связью. Функция ограничителя выполнена по схеме ограничителя с обратной связью.

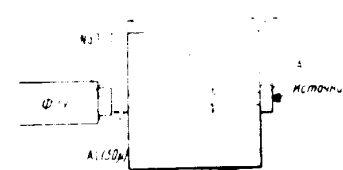


Рис. 3. Принципиальная схема совпадательного спектрометра. Размеры окна в микрометре 20×20 .

Такое решение, как можно показать, делает ширину пика спектра более стабильной по отношению к дрейфу характеристик $L-8$ и $L-9$. Каскад автоколебаний, характерный для анализа в данной схеме обеспечивает его функции выпрямления сигнала R_{10} .

Такие же измерения проводились и в кристаллах германия и кремния. Изменения глубины при облучении γ -лучами в кристаллах германия и кремния при облучении γ -лучами. Измерения проводились с помощью совпадений β -спектров. Был изучен механизм изменения глубины при облучении γ -лучами. Измерения методом совпадений проводились с помощью спектрометра в режиме совпадений. Для γ -лучей использовались источники ^{60}Co и ^{137}Cs . В качестве детекторов использовались кремниевые и германиевые диоды. Результаты измерений приведены на рис. 1. Анализатор состоит из двух каскадов $L-8$ и $L-9$, выполненных по схеме одновибраторов с цепью обратной связи срабатывания. Амплитудно-частотная характеристика ограничителя выполнена по схеме малоиндуктивной цепи с обратной связью. Функция ограничителя выполнена по схеме ограничителя с обратной связью.

дополнительных измерений γ -спектров Zn^{65} , Tb^{140} и Hg^{203} (рис. 4). Следовательно, из рис. 4 можно заключить, что при показанных параметрах, соответствующих энергии 300 keV, отношение числа импульсов от γ -лучей Tb^{140} к числу импульсов от γ -лучей Zn^{65} равно ~ 1 .

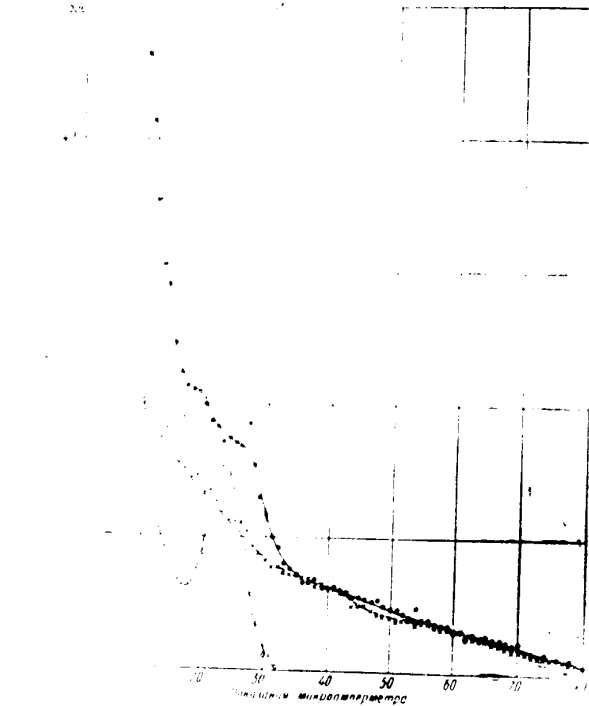


Рис. 4. Отношение числа импульсов от γ -лучей Tb^{140} к числу импульсов от γ -лучей Zn^{65} в зависимости от напряженности магнитного поля.

Совмещение Zn^{65} и Tb^{140} совмещено в качестве примера с β -спектром Zn^{65} ($T_{1/2} = 118$ MeV) близкой к энергии β -распада Tb^{140} ($T_{1/2} = 966$ keV и $E_{\beta} = 870$ keV), то ферромагнитный материал Zn^{65} должен примерно в 10 раз превышать по активности Tb^{140} , поэтому совмещение β -спектра Zn^{65} с γ -лучей Tb^{140} в спектре совмещения происходит в точке, близкой к точке β -распада Zn^{65} , доминирующая же точка γ -лучей, доминирующая же точка β -распада Tb^{140} жесткие

Измерения совмещения β -спектра Tb^{140} и γ -лучей Zn^{65} проводились следующим образом. В качестве источника Tb^{140} использовался источник Tb^{140} с активностью 10^5 кюри, который регистрировался жестким β -спектрометром. В качестве источника Zn^{65} использовался источник Zn^{65} с активностью 10^5 кюри, который регистрировался жестким β -спектрометром по

комптоновскому эффекту. Энергия β -лучей Tb^{140} 966 keV. Чтобы избежать влияния магнитного поля на β -спектрометр, на фотоэлектронный умножитель использовался метод расположения фотоэлектронного

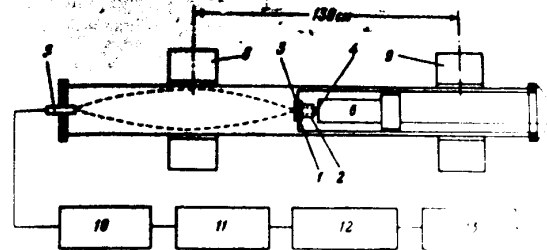


Рис. 5. Схема опытов по β - γ совпадению. 1 — источник, 2 — сцинтиллятор, 3 — кристалл, 4 — фотоэлектронный умножитель, 5 — ФЭУ, 7 — светозащитная трубка, 8 — магнитная линза, 9 — ФЭУ, 10 — ФЭУ, 11 — блок совпадений, 12 — промежуточный блок, 13 — схема совпадений, 14 — дифференциальный усилитель.

удлилось, чтобы компенсировалось при помощи магнитного поля. В результате пропускания в обратном направлении электронов в вакуумной камере использовались магнитные линзы и фотоэлектронный умножитель. Сигнал от счетчика Гейгера-Мюллера и люминесцентного спектрометра по схеме совпадений связующим временем

Рис. 6 сплошной кривой β -спектр, короткими жесткими лучами рис. 7 сплошными линиями график Ферми приведенного на рис. 6 сплошной кривой. Видно, что β -спектр сложный и состоит из компонента с границами энергиями 550 и 880 keV. В результате, на наш взгляд, можно предположить, что β -распад Tb^{140} происходит примерно по схеме $Tb^{140} \rightarrow Tm^{140} + e^- + \bar{\nu}_e$. Результат противоречит общепринятому мнению, что Tb^{140} распадается в основном в Tm^{140} с использованием в люминесцентном спектрометре интегрального анализатора, что позволило провести измерения совпадений β -распада Tb^{140} с γ -лучами Zn^{65} . β -Спектр полученный таким образом, был измерен с помощью анализатора. Число β -лучей, зарегистрированных анализатором, было примерно в 4 раза больше, чем при изучении совпадений, создаваемых β -лучами Tb^{140} и γ -лучами Zn^{65} и электронами β -распада, люминесцентным спектрометром.

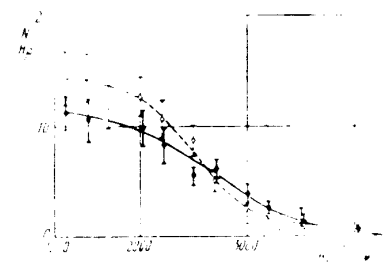
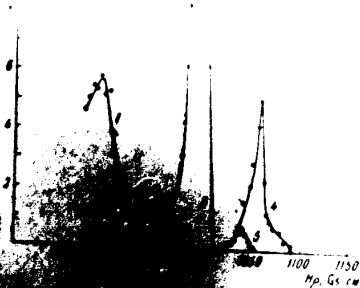


Рис. 6. β -спектр Tb^{140} полученный с помощью люминесцентного спектрометра. Сплошная кривая β -спектр, короткими жесткими лучами рис. 7 сплошными линиями график Ферми приведенного на рис. 6 сплошной кривой.

Г. М. Дробкин, В. И. Орлов и Л. И. Ручинко

Se^{79*}

Энергетических переходов ядер Se^{79*} и Se^{81*} представлены на рис. 1. Энергетическая интерпретация уровней этих изомеров сазана на рис. 2. Энергетические уровни ядерных оболочек.



1 - фотоэлектронный эффект; 2 - фотоэлектронный эффект на фотоэффекте; 3 - фотоэлектронный эффект на фотоэффекте; 4 - фотоэлектронный эффект на фотоэффекте; 5 - фотоэлектронный эффект на фотоэффекте; 6 - фотоэлектронный эффект на фотоэффекте; 7 - фотоэлектронный эффект на фотоэффекте; 8 - фотоэлектронный эффект на фотоэффекте; 9 - фотоэлектронный эффект на фотоэффекте; 10 - фотоэлектронный эффект на фотоэффекте; 11 - фотоэлектронный эффект на фотоэффекте; 12 - фотоэлектронный эффект на фотоэффекте; 13 - фотоэлектронный эффект на фотоэффекте; 14 - фотоэлектронный эффект на фотоэффекте; 15 - фотоэлектронный эффект на фотоэффекте; 16 - фотоэлектронный эффект на фотоэффекте; 17 - фотоэлектронный эффект на фотоэффекте; 18 - фотоэлектронный эффект на фотоэффекте; 19 - фотоэлектронный эффект на фотоэффекте; 20 - фотоэлектронный эффект на фотоэффекте; 21 - фотоэлектронный эффект на фотоэффекте; 22 - фотоэлектронный эффект на фотоэффекте; 23 - фотоэлектронный эффект на фотоэффекте; 24 - фотоэлектронный эффект на фотоэффекте; 25 - фотоэлектронный эффект на фотоэффекте; 26 - фотоэлектронный эффект на фотоэффекте; 27 - фотоэлектронный эффект на фотоэффекте; 28 - фотоэлектронный эффект на фотоэффекте; 29 - фотоэлектронный эффект на фотоэффекте; 30 - фотоэлектронный эффект на фотоэффекте; 31 - фотоэлектронный эффект на фотоэффекте; 32 - фотоэлектронный эффект на фотоэффекте; 33 - фотоэлектронный эффект на фотоэффекте; 34 - фотоэлектронный эффект на фотоэффекте; 35 - фотоэлектронный эффект на фотоэффекте; 36 - фотоэлектронный эффект на фотоэффекте; 37 - фотоэлектронный эффект на фотоэффекте; 38 - фотоэлектронный эффект на фотоэффекте; 39 - фотоэлектронный эффект на фотоэффекте; 40 - фотоэлектронный эффект на фотоэффекте; 41 - фотоэлектронный эффект на фотоэффекте; 42 - фотоэлектронный эффект на фотоэффекте; 43 - фотоэлектронный эффект на фотоэффекте; 44 - фотоэлектронный эффект на фотоэффекте; 45 - фотоэлектронный эффект на фотоэффекте; 46 - фотоэлектронный эффект на фотоэффекте; 47 - фотоэлектронный эффект на фотоэффекте; 48 - фотоэлектронный эффект на фотоэффекте; 49 - фотоэлектронный эффект на фотоэффекте; 50 - фотоэлектронный эффект на фотоэффекте; 51 - фотоэлектронный эффект на фотоэффекте; 52 - фотоэлектронный эффект на фотоэффекте; 53 - фотоэлектронный эффект на фотоэффекте; 54 - фотоэлектронный эффект на фотоэффекте; 55 - фотоэлектронный эффект на фотоэффекте; 56 - фотоэлектронный эффект на фотоэффекте; 57 - фотоэлектронный эффект на фотоэффекте; 58 - фотоэлектронный эффект на фотоэффекте; 59 - фотоэлектронный эффект на фотоэффекте; 60 - фотоэлектронный эффект на фотоэффекте; 61 - фотоэлектронный эффект на фотоэффекте; 62 - фотоэлектронный эффект на фотоэффекте; 63 - фотоэлектронный эффект на фотоэффекте; 64 - фотоэлектронный эффект на фотоэффекте; 65 - фотоэлектронный эффект на фотоэффекте; 66 - фотоэлектронный эффект на фотоэффекте; 67 - фотоэлектронный эффект на фотоэффекте; 68 - фотоэлектронный эффект на фотоэффекте; 69 - фотоэлектронный эффект на фотоэффекте; 70 - фотоэлектронный эффект на фотоэффекте; 71 - фотоэлектронный эффект на фотоэффекте; 72 - фотоэлектронный эффект на фотоэффекте; 73 - фотоэлектронный эффект на фотоэффекте; 74 - фотоэлектронный эффект на фотоэффекте; 75 - фотоэлектронный эффект на фотоэффекте; 76 - фотоэлектронный эффект на фотоэффекте; 77 - фотоэлектронный эффект на фотоэффекте; 78 - фотоэлектронный эффект на фотоэффекте; 79 - фотоэлектронный эффект на фотоэффекте; 80 - фотоэлектронный эффект на фотоэффекте; 81 - фотоэлектронный эффект на фотоэффекте; 82 - фотоэлектронный эффект на фотоэффекте; 83 - фотоэлектронный эффект на фотоэффекте; 84 - фотоэлектронный эффект на фотоэффекте; 85 - фотоэлектронный эффект на фотоэффекте; 86 - фотоэлектронный эффект на фотоэффекте; 87 - фотоэлектронный эффект на фотоэффекте; 88 - фотоэлектронный эффект на фотоэффекте; 89 - фотоэлектронный эффект на фотоэффекте; 90 - фотоэлектронный эффект на фотоэффекте; 91 - фотоэлектронный эффект на фотоэффекте; 92 - фотоэлектронный эффект на фотоэффекте; 93 - фотоэлектронный эффект на фотоэффекте; 94 - фотоэлектронный эффект на фотоэффекте; 95 - фотоэлектронный эффект на фотоэффекте; 96 - фотоэлектронный эффект на фотоэффекте; 97 - фотоэлектронный эффект на фотоэффекте; 98 - фотоэлектронный эффект на фотоэффекте; 99 - фотоэлектронный эффект на фотоэффекте; 100 - фотоэлектронный эффект на фотоэффекте.

... с периодом полураспада $T_{1/2} \approx 6,5 \cdot 10^4$ лет превращается в стабильный изотоп Se⁷⁸. Ввиду малого периода полураспада Se^{79*} преобразован в камеру β-спектрометра через вакуумный шлюз. Схема спектрометра, которая давала возможность проводить в промежуток времени измерения магнитное поле. Результаты измерения спектра конверсионных электронов Se^{79*} представлены на рис. 2. Изображенные на этом рисунке максимумы (1, 2, 3) соответствуют энергиям конверсионных электронов соответствующего перехода Se^{79*}, энергии фотоэлектронных электронов соответствующего перехода Se^{79*}, энергии фотоэлектронных электронов соответствующего перехода Se^{79*}. Энергия возбуждения метастабильного уровня Se^{79*}, в соответствии с

Исследования по Se^{79*}, Se^{81*}, Se^{83*}, Se^{85*}, Se^{87*}, Se^{89*} и Ba^{130*} 327

полученных ранее, равны 96 ± 1 keV. Отношение α_K/α_L для Se^{79*} равно $3 \pm 0,5$. Для определения коэффициента конверсии α_K был использован метод измерения [5]. При помощи магнитного β-спектрометра в определенных экспериментальных условиях определялись отношения интенсивностей конверсионных электронов, искусственно радиоактивными препаратами Se^{79*} и Se^{81*} ($T_{1/2}$ Se^{81*} = 56 мин). Для Se^{81*} α_K был определен ранее методом сравнения [6], который находится в радиоактивном равновесии с Se^{79*}. Определение отношения интенсивностей конверсионных электронов на переходах Se^{79*} и Se^{81*} проводилось на конверсионных электродах, выбиваемым из равновесия магнитным полем. Результаты представлены на рис. 2. Коэффициент конверсии α_K для Se^{79*} — $\alpha_{K,Se^{79}}$ — определен по выражению

$$\alpha_{K,Se^{79}} = \frac{I_{K,Se^{79}}}{I_{L,Se^{79}}}$$

отношение чисел конверсионных электронов к числу электронов в спектре. По отношению интенсивностей конверсионных электронов к числу электронов в спектре для Se^{79*} и Se^{81*} получены значения $\alpha_{K,Se^{79}} = 3,1 \pm 0,5$ и $\alpha_{K,Se^{81}} = 7,1 \pm 1,5$. Проведено несколько измерений, из которых было получено лучшее значение $\alpha_{K,Se^{79}} = 3,1 \pm 0,5$. Сравнение полученных значений с данными работы [2] значения α_K равны: для E2 и M2 $\alpha_K \sim 10$, для E3 $\alpha_K \sim 7$, для M3 $\alpha_K \sim 30$. При сопоставлении этих значений α_K с экспериментальными значениями, полученными в случае предположения, что переход Se^{79*} типа E3. Расхождение, возможно, обусловлено тем, что экстрипольный α_K в область энергии 160 keV. Для определения мультипольности перехода были также использованы данные по приведенные в работе [3]. Для $Z = 34$, $A = 79$ keV согласно [3] значения α_K таковы: для M2 ~ 8 , M3 ~ 6 , M4 ~ 3 , E2 ~ 4 , E3 ~ 1 . Приведенные в настоящей работе для Se^{79*} значения α_K и $\alpha_{K,Se^{79}}$ совпадают одновременно с теми, что рассчитаными значениями α_K при предположении, что основной переход в Se^{79*} соответствует излучению типа E3. Ввиду того, что в основном состоянии Se^{79*} можно принять конфигурацию $4d^5 5s^2$ [6]. Мета-стабильный уровень Se^{79*} находится в основном состоянии с мультипольностью излучения, соответствующей переходу Se^{79*} в основное состояние Se⁷⁹. Период полураспада метастабильного уровня Se^{79*} составляет 10^5 лет. Энергия возбуждения Se^{79*} составляет 10^5 keV. Энергия возбуждения Se^{79*} в радиоактивном распаде Se^{79*} ($T_{1/2}$ Se^{79*} = $6,5 \cdot 10^4$ лет) находится в пределах ошибок опыта в пределах 96 ± 1 keV. Данное обстоятельство указывает на то, что энергия возбуждения Se^{79*} совпадает с радиоактивному равновесию с Se^{79*}. Энергия возбуждения Se^{79*} распадается с $T_{1/2}$ Se^{79*} = $6,5 \cdot 10^4$ лет. Основной распад и переходит в основном состоянии Se⁷⁸.

И. И. Давыдов, И. И. Руднев

излучению с энергией E_{α} в процессе электронного перехода. Коэффициент K_{α} определялся методом сравнения с Co^{59} ($T_{1/2} = 5,27$ лет).

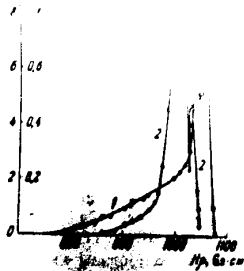


Рис. 2. Зависимость коэффициента K_{α} от энергии E_{α} для Co^{59} и Se^{78} в спектре α -излучения. Кривая 1 — для Co^{59} , кривая 2 — для Se^{78} .

В работе [3] приведены значения коэффициента K_{α} для Co^{59} и Se^{78} в спектре α -излучения. Значения K_{α} для Co^{59} приведены в таблице 1. Значения K_{α} для Se^{78} приведены в таблице 2.

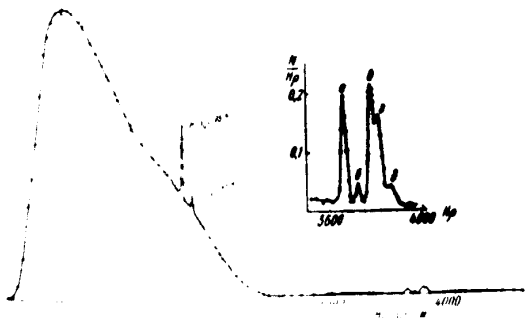
где K_{α} — отношение K_{α} для исследуемых препаратов Se^{78} к коэффициенту K_{α} для Co^{59} в спектре α -излучения; E_{α} — энергия α -частицы; $E_{\alpha}^{Co^{59}}$ — энергия α -частицы для Co^{59} .

В работе [3] приведены значения коэффициента K_{α} для Co^{59} и Se^{78} в спектре α -излучения. Значения K_{α} для Co^{59} приведены в таблице 1. Значения K_{α} для Se^{78} приведены в таблице 2.

Методы измерения ядерной изомерии Zn^{65} , Se^{78} , Se^{81} , Nb^{95} , Mo^{99} и Mo^{100}

В результате проведенных измерений для коэффициента захвата электронов α_K на K -оболочку было получено значение $\alpha_K = 0,5$ для Se^{78} в спектре α -излучения. Значения α_K для Se^{78} в спектре α -излучения приведены на рис. 4. Для α_K и α_L получены значения $\alpha_K = 0,5$ и $\alpha_L = 0,5$. Значения α_K , рассчитанные по [2] для Se^{78} для $E2$ и $M2 \sim 0,5$, $E3 \sim 0,5$, $M3 \sim 0,5$. Ввиду отсутствия теоретических расчетов для Se^{78} эти формулы были использованы в работе [3]. По этим формулам для Zr^{90} при разных мультипольностях $E2 \sim 4$, $E3 \sim 3$, $E4 \sim 1$. Значения α_K , полученные в настоящей работе, совпадают с полученными в работе [3] с точностью до 1,5. Значения α_K для Se^{78} совпадают с рассчитанными по формулам [2] для Se^{78} в спектре α -излучения при $\alpha_K = 0,5$ в состоянии Se^{78} . Значения α_K для Se^{78} в спектре α -излучения совпадают с полученными в настоящей работе с точностью до 1,5.

В работе [3] приведены значения коэффициента захвата электронов α_K для Se^{78} в спектре α -излучения. Значения α_K для Se^{78} в спектре α -излучения приведены на рис. 4. Для α_K и α_L получены значения $\alpha_K = 0,5$ и $\alpha_L = 0,5$.



В работе [3] приведены значения коэффициента захвата электронов α_K для Se^{78} в спектре α -излучения. Значения α_K для Se^{78} в спектре α -излучения приведены на рис. 4. Для α_K и α_L получены значения $\alpha_K = 0,5$ и $\alpha_L = 0,5$.

Регистрация электронов в β -спектрометре производится с помощью двух счетчиков, работающих по схеме совпадения. В спектре β -электронов и конверсионных линиях в области малых энергий (рис. 6) использован одиночный счетчик с оконной схемой.

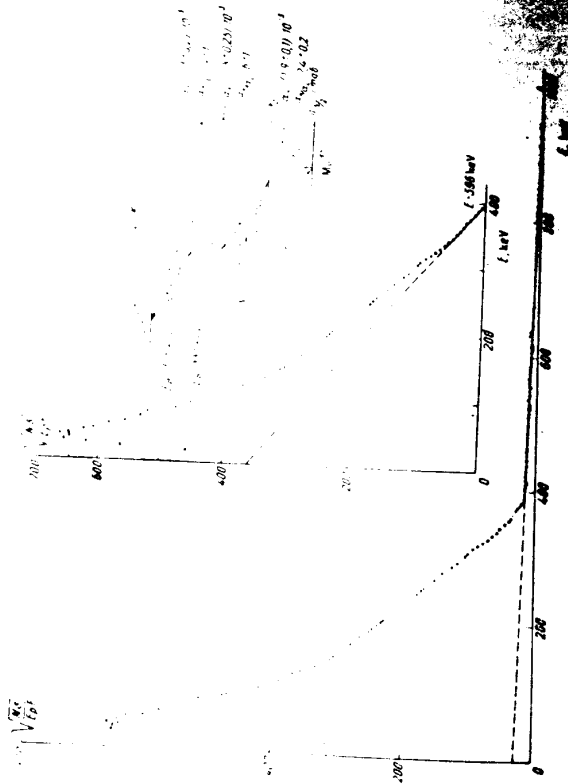


Рис. 6. График Ферми—Кюри β -спектра и схема распада Zr^{90}

В таблице 1 приведены относительные интенсивности радиоактивных препаратов Zr^{90} и Nb^{95} . В спектре β -электронов Zr^{90} приведены конверсионные линии K и L конверсионные линии Nb^{95} с энергией 237 keV. Кроме того, на правой стороне спектра Zr^{90} приведены конверсионные линии K и L Zr^{90} с энергией 760 keV. В спектре β -электронов Nb^{95} приведены конверсионные линии K и L Nb^{95} с энергией 770 keV. В спектре β -электронов Zr^{90} приведены конверсионные линии K и L Zr^{90} с энергией 760 keV. Идентификация этих конвер-

сией Zr^{90} и Nb^{95} контрольных измерений с источниками Zr^{90} и Nb^{95} . На спектре β -электронов Ферми—Кюри этого спектра (рис. 6) получены компоненты Zr^{90} с $E_{\beta} = 885 \pm 10$, 396 ± 5 и 360 ± 5 keV. Интенсивность Zr^{90} соответственно составляет 2 ± 0.5 , 55 ± 5 , 43 ± 5 ед., а также конверсионных линий β -спектра, относящихся к Nb^{95} . Данные по спектру β -электронов Zr^{90} и энергии линии β -электронов построены для спектра Zr^{90} , представленную на рис. 6. По отношению числа электронов β -электронов и числа электронов в конверсионных линиях спектра Zr^{90} были установлены полные и частичные коэффициенты внутренней конверсии:

$$E_{\gamma} = 770 \pm 3 \text{ keV}, \quad \alpha_K = (1.3 \pm 0.2) \cdot 10^{-3}, \quad \alpha_L = (1.8 \pm 0.2) \cdot 10^{-3}$$
$$E_{\gamma} = 760 \pm 3 \text{ keV}, \quad \alpha_K = (1.8 \pm 0.25) \cdot 10^{-3}, \quad \alpha_L = (1.8 \pm 0.25) \cdot 10^{-3}$$

Следует отметить, что вследствие совпадения β -лучей Zr^{90} с $E_{\beta} = 760$ keV и Nb^{95} с $E_{\beta} = 770$ keV Zr^{90} энергией 760 keV определено, а также в работе отношения α_K и α_L для Zr^{90} . Используя данные о K- и L-конверсионных линиях Nb^{95} на спадающей части β -спектра Zr^{90} , мы установили, что энергия β -лучей Nb^{95} составляет 770 keV.

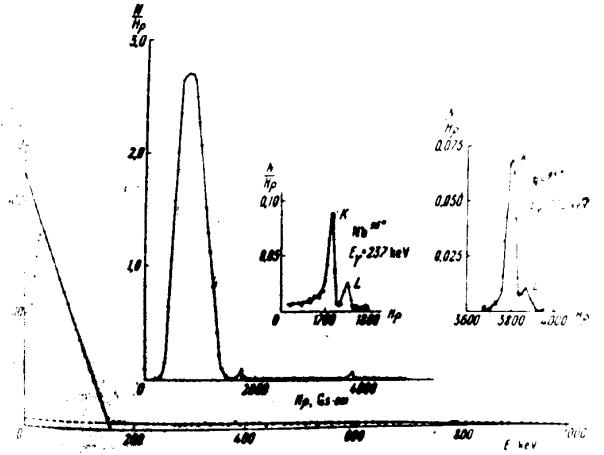


Рис. 7. β -Спектр и график Ферми—Кюри Nb^{95}

Для измерения β -спектра Nb^{95} ($T_{1/2} = 35$ дн) был приготовлен радиоактивный препарат Nb^{95} , не содержащий Zr^{90} . Результаты измерений β -спектра Nb^{95} приведены на рис. 7. Конверсионные линии K и L-линии, соответствующие γ -лучам с энергией 237 keV, относятся к переходу Nb^{95} . Интенсивность этих линий уменьшилась в течение 90 \pm 2 час. Для этого перехода отношение $\alpha_K/\alpha_L = 0.75$. Этот результат совпадает с полученным ранее.

Г. М. Дробин, В. И. Орлов и Л. Н. Гурьев

На рис. 7 видны конверсионные K - и L -линии, соответствующие энергии 770 ± 2 keV. Интенсивность этих линий в спектре образца примерно в 35 дней, соответствующая активности ^{90}Nb , совпадает с графиком Ферми-Кюри. Из анализа спектра ^{90}Nb выделены следующие компоненты β -спектра ^{90}Nb :

$$\beta_1 \text{ — } E_{\beta_1} = 3 \text{ keV} \quad (80 \pm 0,5 \%),$$

$$\beta_2 \text{ — } E_{\beta_2} = 2 \text{ keV} \quad (1 \pm 0,5 \%).$$

Характеристики компонентов было подтверждено на спектре ^{90}Nb , полученном из коинтегрированного источника ^{90}Nb , с помощью метода Ферми-Кюри. В этих измерениях интенсивности β -лучей были измерены. Показано, что полученные данные, характеризующие β -спектр, совпадают с данными на рис. 6. Для ^{90}Nb вычислены следующие значения:

$$\alpha_K/\alpha_L = 4,15 \pm 0,2,$$

Таким образом, в работе предложена схема распада ^{90}Nb , в которой метастабильные ядра $^{90}\text{Nb}^m$ распадаются в основном состоянии ядра ^{90}Nb .

Для изомерного перехода $^{90}\text{Nb}^m \rightarrow ^{90}\text{Nb}$ ($E_{\gamma} = 498$ keV) на кривых работы (3) при предположении равенства вероятностей γ -перехода следует:

$$\text{для } M3 \quad \alpha_K/\alpha_L \sim 4,15, \quad \text{для } M4 \quad \alpha_K/\alpha_L \sim 2,2,$$

$$\text{для } E3 \quad \alpha_K/\alpha_L \sim 7,3, \quad \text{для } M1 \quad \alpha_K/\alpha_L \sim 4,7.$$

Сопоставив полученные экспериментальными данными значения α_K/α_L с теоретическими значениями для различных типов переходов, можно высказать предположение о типе перехода. Рассчитали время жизни метастабильного ядра $^{90}\text{Nb}^m$ ($T_{1/2} = 40$ мин) относительно испускаемых γ -лучей. Эти вычисленные результаты сопоставили с известными значениями времени жизни, полученными для изомерных переходов $^{90}\text{Nb}^m$ для определения времени жизни $^{90}\text{Nb}^m$. Расчеты были выполнены по таблице в [2].

Таблица 1

Переход	E_{γ}	$T_{1/2}$	λ	$M3$	$M4$
γ переход	498	40	$8,7 \cdot 10^6$	2,2	
β переход	3	40	$1,1 \cdot 10^6$	5,10	

В соответствии со значением α_K/α_L для $^{90}\text{Nb}^m$ и данными работы [2] следует, что тип изомерного перехода $^{90}\text{Nb}^m$ должен быть $M4$. Используя полученные в настоящей работе значения α_K/α_L для внутренней конверсии для других γ -переходов $^{90}\text{Nb}^m$ и ^{90}Nb с теоретически рассчитанными значениями, мы определили полноты γ -лучей

$E_{\gamma} = 498$ keV — тип перехода — $M1$,
 $E_{\gamma} = 280$ keV — тип перехода — $F2$,
 $E_{\gamma} = 770$ keV — тип перехода — $F2$.

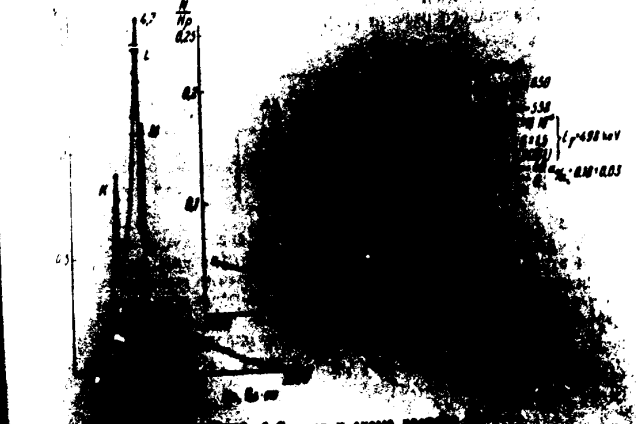
Мультиплетность этих γ -переходов указаны на приведенной на рис. 8 схеме распада $^{90}\text{Nb}^m$.

Rh^{106}

Изотопы ^{106}Rh получались в результате распада ^{106}Ru с периодом полураспада $T_{1/2} = 40$ дн. Метастабильные ядра $^{106}\text{Rh}^m$ с периодом полураспада $T_{1/2} = 57$ мин превращаются в ^{106}Rh .

Распаду $^{106}\text{Rh}^m \rightarrow ^{106}\text{Rh}$ соответствует несколько групп γ -лучей, интенсивности которых не согласуются между собой. В настоящей работе проведено более детальное исследование распада $^{106}\text{Rh}^m$ в связи с изучением изомерного перехода $^{106}\text{Rh}^m$. При помощи магнитного β -спектрометра измерили β -спектр $^{106}\text{Rh}^m$. Чистота источника составила $\sim 0,1$ мкг см^{-2} . Регистрация электронов производилась при помощи счетчика с окошком из открытой пленки, поверхностная плотность которой была не больше 1 мкг см^{-2} .

Результаты измерения представлены на рис. 8.



В спектре $^{106}\text{Rh}^m$ наблюдаются три пика — K -, L - и M -конверсионные линии $^{106}\text{Rh}^m$ с энергией 40 keV, с отношением $\alpha_K/\alpha_L = 0,18 \pm 0,03$ и $\alpha_L/\alpha_M = 7 \pm 1$. В спектре $^{106}\text{Rh}^m$ были обнаружены K - и L -конверсионные γ -лучи $^{106}\text{Rh}^m$ с энергией 498 keV. В спектре $^{106}\text{Rh}^m$ с помощью фотоэлемента была обнаружена конверсионная линия $^{106}\text{Rh}^m$ с энергией 280 keV (см. рис. 8). В работе [2] было отмечено, что β -спектр $^{106}\text{Rh}^m$ слож-

Исследования ядерной гамма-камеры Zn⁶⁵, Se⁷⁵, Sr⁹⁰, Nb⁹³, Ru¹⁰⁶, Ba¹³⁷

$E_{\gamma} = 104 \text{ keV} \quad (6 \pm 1\%)$

$E_{\gamma} = 104 \text{ keV} \quad (6 \pm 1\%)$

использованы относительно толстые источники радиоактивных элементов с граничной энергией $E_{\gamma} = 104 \text{ keV}$.

В спектре β -распада Ru¹⁰⁶ выделены компоненты с энергией $T_{\beta} \approx 20\%$. На основании спектров Ba¹³⁷ удалось определить энергию E_{β} для β -распада Ru¹⁰⁶ с энергией $E_{\gamma} = 104 \text{ keV}$.

С помощью спектров следует ожидать, что в спектре Ba¹³⁷ будут обнаружены компоненты с энергией $E_{\beta} \approx 104 \text{ keV}$.

В спектре β -распада Ru¹⁰⁶ выделены компоненты с энергией $T_{\beta} \approx 20\%$. На основании спектров Ba¹³⁷ удалось определить энергию E_{β} для β -распада Ru¹⁰⁶ с энергией $E_{\gamma} = 104 \text{ keV}$.

В табл. 2 приводятся значения E_{β} и E_{γ} для полученных изотопов нерелятивистского распада.

Таблица 2

Тип распада	E_{β}	E_{γ}	M_1	M_2	M_3	M_4
β^-	0,18	0,08				

В заключение следует отметить, что полученные значения E_{β} и E_{γ} для изотопов нерелятивистского распада Ru¹⁰⁶ и Ba¹³⁷ согласуются с данными [17].

Тип распада

Ba¹³⁷

Радиоактивный изотоп Cs¹³⁷ испускает β -излучение с периодом $T_{1/2} = 33$ года, превращается в Ba¹³⁷. В спектре β -распада Cs¹³⁷ выделены компоненты с энергией $T_{\beta} \approx 20\%$. На основании спектров Ba¹³⁷ удалось определить энергию E_{β} для β -распада Cs¹³⁷ с энергией $E_{\gamma} = 104 \text{ keV}$.

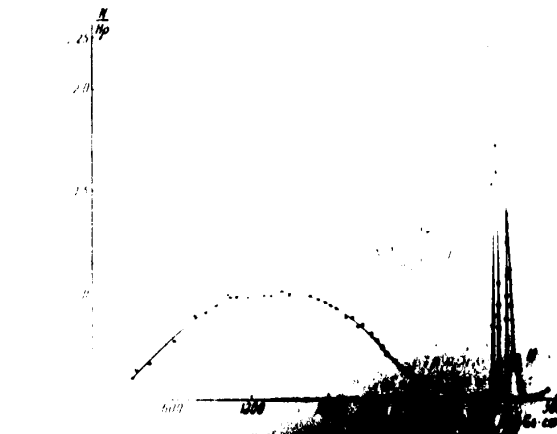


Рис. 9. β -спектр Ba¹³⁷

В спектре β -распада Ba¹³⁷ выделены компоненты с энергией $T_{\beta} \approx 20\%$. На основании спектров Ba¹³⁷ удалось определить энергию E_{β} для β -распада Ba¹³⁷ с энергией $E_{\gamma} = 104 \text{ keV}$.

В спектре β -распада Ba¹³⁷ выделены компоненты с энергией $T_{\beta} \approx 20\%$. На основании спектров Ba¹³⁷ удалось определить энергию E_{β} для β -распада Ba¹³⁷ с энергией $E_{\gamma} = 104 \text{ keV}$.

В заключение следует отметить, что полученные значения E_{β} и E_{γ} для изотопов нерелятивистского распада Ba¹³⁷ согласуются с данными [17].

И. М. Драбкин, В. И. Шарданов, И. Рузинов

Таблица 4

Свойства характеристических изомерных переходов и уровней метастабильных ядер Zn^{66} , Se^{78} , Se^{81} , Nb^{94} , Rh^{101} и Ba^{137}

Ядро	Время жизни, мин	Тип перехода	Инициальный уровень	Конечный уровень	Множит. к-т	Энергия, МэВ	Уровень в основном состоянии	Уровень в метастабильном состоянии	Уровень в основном состоянии	Уровень в метастабильном состоянии
Zn^{66}	1 мин	$M4$	2^+	0^+	2	0.11	2^+	0^+	2^+	0^+
Se^{78}	56 мин	$E3$	3^+	0^+	3	0.11	3^+	0^+	3^+	0^+
Se^{81}	90 час	$E3$	3^+	0^+	3	0.11	3^+	0^+	3^+	0^+
Nb^{94}	57 мин	$E3$	3^+	0^+	3	0.11	3^+	0^+	3^+	0^+
Rh^{101}	2,6 мин	$E3$	3^+	0^+	3	0.11	3^+	0^+	3^+	0^+
Ba^{137}	681 мин	$E3$	3^+	0^+	3	0.11	3^+	0^+	3^+	0^+

а стабильному состоянию, сведены в табл. 4. Переход изомерных ядер Zn^{66} , Nb^{94} и Ba^{137} в основное состояние сопровождается излучением типа $M4$, что согласуется с системой уровней, вытекающей из модели ядерных оболочек.

В ядрах Se^{78} , Se^{81} , Rh^{101} изомерный переход сопровождается излучением типа $E3$. Для объяснения типа $E3$ перехода у этих изомеров необходимо предположить возмущение уровней 3^+ и четвертой нуклонной оболочке. Можно считать, что этот уровень получается вследствие взаимодействия несвязанных четных нуклонов, находящихся на g -уровне второй нуклонной оболочки.

Следует отметить, что для Se^{78} основной уровень 3^+ , а метастабильный — 1^+ , а для Se^{81} основной уровень 3^+ , а метастабильный — 1^+ . Основное состояние Zn^{66} — 2^+ , а метастабильное — 0^+ ; основное состояние Nb^{94} — 3^+ , а метастабильное — 1^+ . Эти данные совпадают с характером заполнения уровней по модели ядерных оболочек.

В последнем столбце таблицы дано соотношение экспериментальных времен жизни по отношению к теоретическим (с учетом конверсии) с времен жизни, рассчитанными по системе уровней модели [13].

Для переходов типа $M4$ получены удовлетворительно согласные; это согласие наблюдается относительно удовлетворительно радиационных переходов и в соответствии с предсказаниями статистической модели.

Для переходов типа $E3$ (ядро Se^{78}) экспериментальные значения времени жизни в несколько раз меньше теоретически вычисленные значения. Это объясняется тем, что в этих ядрах излучение происходит главным образом за счет конверсии, если иметь в виду довольно высокие значения Z и A для этих времен жизни.

В заключение следует отметить, что экспериментальные значения времен жизни найдены для изомерных переходов в ядрах, которые являются деформированными ядрами, которые имеют сложную структуру.

Работа выполнена в лаборатории экспериментальной ядерной физики Института физики Академии наук СССР.

Получено в печать 10.05.68. Авторы: И. М. Драбкин и В. И. Шарданов за подписью И. Рузинов.

Исследования изомерных ядер Zn^{66} , Se^{78} , Se^{81} , Nb^{94} , Rh^{101} и Ba^{137}

Цитированная литература

Livingood J., Seaborg C., Phys. Rev., 55, 457 (1944).
 Rose H., Goertzel G., Spinrad R., Harr J., Streifel P., Phys. Rev., 83, 79 (1951).
 Goldhaber M., Sunyar A., Phys. Rev., 83, 906 (1951).
 Nuttledge W., Cork J., Burson S., Phys. Rev., 86, 175 (1951).
 Драбкин И., Рузинов И., ДАН СССР, 97, 317 (1954).
 Goldhaber M., Hill B., Rev. Mod. Phys., 24, 173 (1952).
 Bergström L., Thulin S., Phys. Rev., 76, 1718 (1949).
 Günther I., Huber O., Helv. Phys. Acta, 26, 588 (1953).
 Рузинов И., Драбкин И., Орлов В., Доклады Академии наук СССР, 121, 6, 4141 (1953).
 Шиндель В., ЖЭТФ, 21, 1170 (1954).
 Patis H., Zappa L., Ark. Fys., 5, 26 (1952).
 Cork J., Le Blanc J., Stamp B., Nuclear Phys., 86, 573 (1952).
 Weisskopf V., Phys. Rev., 83, 1073 (1952).
 Sandulak E., Phys. Rev., 79, 804 (1950).
 Cork J., Le Blanc J., Martin G., Nestor A., Brice M., Phys. Rev., 90, 579 (1953).
 Webb M., Nelson E., Phys. Rev., 58, 480 (1940).
 Owen L., Traill N., Phys. Rev., 75, 529 (1949); Phys. Rev., 76, 1541 (1949).

Активность с периодом 27 мсек могла быть связана с изотопом висмута Bi^{207} ($T_{1/2} = 27$ мсек, $E_{\beta} = 13,43$ MeV); Bi^{207} мог образоваться в реакции $N^{14}(n, \alpha)$ и $C^{12}(n, p)$. При помещении между исследуемого вещества, содержащего азот и углерод, не было обнаружено увеличения интенсивности этого излучения.

Между веществом и кристаллом фотомножителя использовались Zr и W , однако все эти вещества не давали заметной разницы в характер послесвечения. Удалось установить, с какими элементами связаны явления послесвечения.

Характер излучения грубо определялся при помощи спектрометра, попадающих на триггер.

При обнаружении активности трех типов с периодами 25, 27 и 35 мсек самым жестким излучением обладали периодной, а самым мягким — длиннопериодная.

По спектру спектрометра, проградуированного по γ -излучению Am^{241} , Co^{60} и Na^{24} , можно предположить, что короткопериодная активность испускала γ -луча с энергией $\sim 2,5$ MeV.

Мы полагаем, что обнаруженное γ -излучение не может быть связано какому-либо известному радиоактивному изотопу, а является излучением новых короткопериодных изотопов, возникающих в результате взаимодействия нейтронов с энергией 14 MeV с элементами.

Возможно, что именно образованием изотопов можно объяснить наблюдавшиеся разными авторами и не нашедшее объяснения короткопериодное γ -излучение. Так, в работе Бралей [4], выполненной на импульсном источнике нейтронов $Be + d$ ($E_d = 11$ MeV), был обнаружен короткопериодный фон с периодом полураспада в несколько десятков долей микросекунды. В другой работе [5], выполненной с использованием реакции $Li + d$ ($E_d = 0,9$ MeV, $E_{Li} \sim 14$ MeV), обнаружено γ -излучение с периодом 25—35 мсек. Интересно отметить, что в этой же работе, когда мишень была не литиевая, а борная (т. е. энергия нейтронов была небольшой), короткопериодный фон отсутствовал.

Для выяснения характеристик полученных изотопов и характеристик реакций, приводящих к их получению, в настоящее время ведутся работы.

Кроме указанных ранее элементов, нами были исследованы свинец и висмут. В работе Кембелла [6] был обнаружен короткопериодный изотоп Pb^{207} с периодом полураспада 0,9 сек. Этот изотоп получался при облучении свинца на реакторе медленными нейтронами по реакции $Pb^{208}(n, \alpha)Pb^{207}$. В дальнейшем, в работе [7] было показано, что период Pb^{207} был равен 0,82 сек. Мы обнаружили наличие короткопериодного излучения из свинца, облученного нейтронами с энергией 14 MeV, с периодом 0,83 сек.

По известной энергии излучения Pb^{207} (1,07 и 0,56 MeV) можно предположить, что нейтроннопроникновение для определения энергии излучения было выполнено. Для этой цели мы измерили число импульсов в спектре фотомножителя и с помощью спектрометра с известной разностью потенциалов. В качестве монитора использовался счетчик Гейгера-Мюллера, создающий ток, создаваемый из фотомножителя.

Далее мы обнаружили, что при помещении фотомножителя висмута возникает излучение с энергией $\sim 2,5$ MeV. Энергия этого γ -излучения, определенная на спектрометре, приблизительно 2,5 MeV.

Возникает вопрос, какому элементу должно принадлежать это жесткое излучение висмута?

В настоящее время существует один устойчивый изотоп Bi^{209} . В настоящее время изотоп висмута от Bi^{207} до Bi^{214} , кроме Bi^{209} , не был обнаружен. В таблицах Сиборга [8] есть сведения, что этот изотоп обладает коротким периодом (по Рейману и Перлману). Однако в дальнейшем автором сообщается. Есть основания предполагать, что Bi^{209} имеет короткий период полураспада [9] (т. е. Bi^{209} радиоактивен). Рассматривая взаимодействие нейтронов с ядрами Bi^{209} или Pb , можно ограничиться рассмотрением

реакции $Bi^{209}(n, \alpha)Pb^{206}$. В настоящее время изотоп висмута от Bi^{207} до Bi^{214} , кроме Bi^{209} , не был обнаружен. В таблицах Сиборга [8] есть сведения, что этот изотоп обладает коротким периодом (по Рейману и Перлману). Однако в дальнейшем автором сообщается. Есть основания предполагать, что Bi^{209} имеет короткий период полураспада [9] (т. е. Bi^{209} радиоактивен). Рассматривая взаимодействие нейтронов с ядрами Bi^{209} или Pb , можно ограничиться рассмотрением

реакции $Bi^{209}(n, \alpha)Pb^{206}$. В настоящее время изотоп висмута от Bi^{207} до Bi^{214} , кроме Bi^{209} , не был обнаружен. В таблицах Сиборга [8] есть сведения, что этот изотоп обладает коротким периодом (по Рейману и Перлману). Однако в дальнейшем автором сообщается. Есть основания предполагать, что Bi^{209} имеет короткий период полураспада [9] (т. е. Bi^{209} радиоактивен). Рассматривая взаимодействие нейтронов с ядрами Bi^{209} или Pb , можно ограничиться рассмотрением

реакции $Bi^{209}(n, \alpha)Pb^{206}$. В настоящее время изотоп висмута от Bi^{207} до Bi^{214} , кроме Bi^{209} , не был обнаружен. В таблицах Сиборга [8] есть сведения, что этот изотоп обладает коротким периодом (по Рейману и Перлману). Однако в дальнейшем автором сообщается. Есть основания предполагать, что Bi^{209} имеет короткий период полураспада [9] (т. е. Bi^{209} радиоактивен). Рассматривая взаимодействие нейтронов с ядрами Bi^{209} или Pb , можно ограничиться рассмотрением

реакции $Bi^{209}(n, \alpha)Pb^{206}$. В настоящее время изотоп висмута от Bi^{207} до Bi^{214} , кроме Bi^{209} , не был обнаружен. В таблицах Сиборга [8] есть сведения, что этот изотоп обладает коротким периодом (по Рейману и Перлману). Однако в дальнейшем автором сообщается. Есть основания предполагать, что Bi^{209} имеет короткий период полураспада [9] (т. е. Bi^{209} радиоактивен). Рассматривая взаимодействие нейтронов с ядрами Bi^{209} или Pb , можно ограничиться рассмотрением

реакции $Bi^{209}(n, \alpha)Pb^{206}$. В настоящее время изотоп висмута от Bi^{207} до Bi^{214} , кроме Bi^{209} , не был обнаружен. В таблицах Сиборга [8] есть сведения, что этот изотоп обладает коротким периодом (по Рейману и Перлману). Однако в дальнейшем автором сообщается. Есть основания предполагать, что Bi^{209} имеет короткий период полураспада [9] (т. е. Bi^{209} радиоактивен). Рассматривая взаимодействие нейтронов с ядрами Bi^{209} или Pb , можно ограничиться рассмотрением

реакции $Bi^{209}(n, \alpha)Pb^{206}$. В настоящее время изотоп висмута от Bi^{207} до Bi^{214} , кроме Bi^{209} , не был обнаружен. В таблицах Сиборга [8] есть сведения, что этот изотоп обладает коротким периодом (по Рейману и Перлману). Однако в дальнейшем автором сообщается. Есть основания предполагать, что Bi^{209} имеет короткий период полураспада [9] (т. е. Bi^{209} радиоактивен). Рассматривая взаимодействие нейтронов с ядрами Bi^{209} или Pb , можно ограничиться рассмотрением

реакции $Bi^{209}(n, \alpha)Pb^{206}$. В настоящее время изотоп висмута от Bi^{207} до Bi^{214} , кроме Bi^{209} , не был обнаружен. В таблицах Сиборга [8] есть сведения, что этот изотоп обладает коротким периодом (по Рейману и Перлману). Однако в дальнейшем автором сообщается. Есть основания предполагать, что Bi^{209} имеет короткий период полураспада [9] (т. е. Bi^{209} радиоактивен). Рассматривая взаимодействие нейтронов с ядрами Bi^{209} или Pb , можно ограничиться рассмотрением

реакции $Bi^{209}(n, \alpha)Pb^{206}$. В настоящее время изотоп висмута от Bi^{207} до Bi^{214} , кроме Bi^{209} , не был обнаружен. В таблицах Сиборга [8] есть сведения, что этот изотоп обладает коротким периодом (по Рейману и Перлману). Однако в дальнейшем автором сообщается. Есть основания предполагать, что Bi^{209} имеет короткий период полураспада [9] (т. е. Bi^{209} радиоактивен). Рассматривая взаимодействие нейтронов с ядрами Bi^{209} или Pb , можно ограничиться рассмотрением

реакции $Bi^{209}(n, \alpha)Pb^{206}$. В настоящее время изотоп висмута от Bi^{207} до Bi^{214} , кроме Bi^{209} , не был обнаружен. В таблицах Сиборга [8] есть сведения, что этот изотоп обладает коротким периодом (по Рейману и Перлману). Однако в дальнейшем автором сообщается. Есть основания предполагать, что Bi^{209} имеет короткий период полураспада [9] (т. е. Bi^{209} радиоактивен). Рассматривая взаимодействие нейтронов с ядрами Bi^{209} или Pb , можно ограничиться рассмотрением

реакции $Bi^{209}(n, \alpha)Pb^{206}$. В настоящее время изотоп висмута от Bi^{207} до Bi^{214} , кроме Bi^{209} , не был обнаружен. В таблицах Сиборга [8] есть сведения, что этот изотоп обладает коротким периодом (по Рейману и Перлману). Однако в дальнейшем автором сообщается. Есть основания предполагать, что Bi^{209} имеет короткий период полураспада [9] (т. е. Bi^{209} радиоактивен). Рассматривая взаимодействие нейтронов с ядрами Bi^{209} или Pb , можно ограничиться рассмотрением

реакции $Bi^{209}(n, \alpha)Pb^{206}$. В настоящее время изотоп висмута от Bi^{207} до Bi^{214} , кроме Bi^{209} , не был обнаружен. В таблицах Сиборга [8] есть сведения, что этот изотоп обладает коротким периодом (по Рейману и Перлману). Однако в дальнейшем автором сообщается. Есть основания предполагать, что Bi^{209} имеет короткий период полураспада [9] (т. е. Bi^{209} радиоактивен). Рассматривая взаимодействие нейтронов с ядрами Bi^{209} или Pb , можно ограничиться рассмотрением

реакции $Bi^{209}(n, \alpha)Pb^{206}$. В настоящее время изотоп висмута от Bi^{207} до Bi^{214} , кроме Bi^{209} , не был обнаружен. В таблицах Сиборга [8] есть сведения, что этот изотоп обладает коротким периодом (по Рейману и Перлману). Однако в дальнейшем автором сообщается. Есть основания предполагать, что Bi^{209} имеет короткий период полураспада [9] (т. е. Bi^{209} радиоактивен). Рассматривая взаимодействие нейтронов с ядрами Bi^{209} или Pb , можно ограничиться рассмотрением

реакции $Bi^{209}(n, \alpha)Pb^{206}$. В настоящее время изотоп висмута от Bi^{207} до Bi^{214} , кроме Bi^{209} , не был обнаружен. В таблицах Сиборга [8] есть сведения, что этот изотоп обладает коротким периодом (по Рейману и Перлману). Однако в дальнейшем автором сообщается. Есть основания предполагать, что Bi^{209} имеет короткий период полураспада [9] (т. е. Bi^{209} радиоактивен). Рассматривая взаимодействие нейтронов с ядрами Bi^{209} или Pb , можно ограничиться рассмотрением

реакции $Bi^{209}(n, \alpha)Pb^{206}$. В настоящее время изотоп висмута от Bi^{207} до Bi^{214} , кроме Bi^{209} , не был обнаружен. В таблицах Сиборга [8] есть сведения, что этот изотоп обладает коротким периодом (по Рейману и Перлману). Однако в дальнейшем автором сообщается. Есть основания предполагать, что Bi^{209} имеет короткий период полураспада [9] (т. е. Bi^{209} радиоактивен). Рассматривая взаимодействие нейтронов с ядрами Bi^{209} или Pb , можно ограничиться рассмотрением

реакции $Bi^{209}(n, \alpha)Pb^{206}$. В настоящее время изотоп висмута от Bi^{207} до Bi^{214} , кроме Bi^{209} , не был обнаружен. В таблицах Сиборга [8] есть сведения, что этот изотоп обладает коротким периодом (по Рейману и Перлману). Однако в дальнейшем автором сообщается. Есть основания предполагать, что Bi^{209} имеет короткий период полураспада [9] (т. е. Bi^{209} радиоактивен). Рассматривая взаимодействие нейтронов с ядрами Bi^{209} или Pb , можно ограничиться рассмотрением

реакции $Bi^{209}(n, \alpha)Pb^{206}$. В настоящее время изотоп висмута от Bi^{207} до Bi^{214} , кроме Bi^{209} , не был обнаружен. В таблицах Сиборга [8] есть сведения, что этот изотоп обладает коротким периодом (по Рейману и Перлману). Однако в дальнейшем автором сообщается. Есть основания предполагать, что Bi^{209} имеет короткий период полураспада [9] (т. е. Bi^{209} радиоактивен). Рассматривая взаимодействие нейтронов с ядрами Bi^{209} или Pb , можно ограничиться рассмотрением

Л. П. Березин

... резистора R_1 установить потенциал его зашпирки таким образом, чтобы совпадение импульсов от каждого из фотоумножителей было бы равно разрешению, сопоставляемым от обоих фотоумножителей импульсов. Таким образом, можно получить коэффициент отбора схемы двойной зашпирки, равный единице. Таким образом, при помощи скользящего импульса можно зашпирковать на нем, где происходит совпадение импульсов от фотоумножителей. Если импульсы в обоих фотоумножителях совпадают, то импульс совпадения происходит в средней части периода импульса зашпирки. Таким образом, импульсы удвоенной частоты (двойная зашпирка) возникают в среднем интервале между соседними импульсами зашпирки. Если же импульсы в обоих фотоумножителях разделены во времени, то импульсы совпадения возникают в промежутках между импульсами зашпирки. Таким образом, импульсы зашпирки от первого фотоумножителя и импульсы зашпирки от второго фотоумножителя имеют разную длину от момента их появления до момента окончания импульса зашпирки.

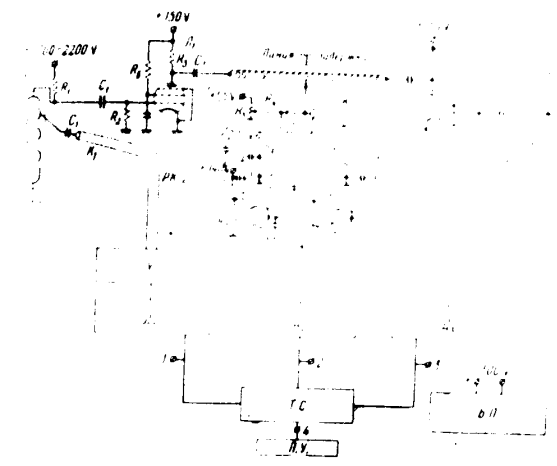
Если импульсы L_1 и L_2 импульсов зашпирки имеют разную длину, то импульсы зашпирки от одного из фотоумножителей будут проходить по кабелю с задержкой на величину разности длин импульсов зашпирки от обоих фотоумножителей. Импульсы зашпирки от всех трех фотоумножителей поступают в суммирующий узел устройства и взаимодействуют с магнетронным устройством.

Наличие сложной зашпирки дает возможность повысить надежность работы устройства и увеличить эффективность счета совпадений. Даже в том случае, когда эффективность счета совпадений следует дискриминаторам D_1 и D_2 устанавливается минимальная, что существенно для учета совпадений от слабых импульсов, которые могут запереть полностью импульсы L_1 (или L_2). Но в таком случае импульс одиночный импульс может быть зарегистрирован как двойной. При наличии же схемы тройной зашпирки такая возможность исключается. Кроме того, при помощи дискриминаторов D_1 и D_2 можно устранить существенную часть шумовых импульсов фотоумножителей, которые могут давать случайные совпадения. Это существенно повышает надежность работы при весьма высоком напряжении на фотоумножителях (до 2000 В). Последнее требование обусловлено тем, что для обеспечения большого амплитудного запаса сигнала необходимо использовать для зашпирки ограничительные устройства, которые обеспечивают уменьшения времени зашпирки. Таким образом, можно сделать вывод, что наличие сложной зашпирки существенно повышает надежность работы устройства.

Особенностью сложной зашпирки является то, что она позволяет обеспечить работу устройства при весьма высоком напряжении на фотоумножителях (до 2000 В). Кроме того, при помощи дискриминаторов D_1 и D_2 можно устранить существенную часть шумовых импульсов фотоумножителей, которые могут давать случайные совпадения. Это существенно повышает надежность работы при весьма высоком напряжении на фотоумножителях (до 2000 В). Последнее требование обусловлено тем, что для обеспечения большого амплитудного запаса сигнала необходимо использовать для зашпирки ограничительные устройства, которые обеспечивают уменьшения времени зашпирки. Таким образом, можно сделать вывод, что наличие сложной зашпирки существенно повышает надежность работы устройства.

Устройство имеет следующие составные элементы:

фотоумножители типа ФФУ-19, подбора делителей напряжения к ним, подбора германиевых диодов и ограничивающих пентодов. Параметры схемы быстрых совпадений, а также данные примененных элементов указаны на рис. 1.



Блок-схема экспериментального устройства (часть схемы, обведенной пунктиром, является частью линии задержки). Ф1, Ф2 — фотоэлектронные умножители; Д1 — Д10 — лампы 6БН; Д11 — Д12 — короткозамкнутый формировщик; Д13 — Д14 — лампы 6БН; Д15 — Д16 — германиевые диоды; Д17, Д18, Д19 — диоды; Д20 — Д21 — лампы 6БН; Д22 — Д23 — лампы 6БН; Д24 — Д25 — лампы 6БН; Д26 — Д27 — лампы 6БН; Д28 — Д29 — лампы 6БН; Д30 — Д31 — лампы 6БН; Д32 — Д33 — лампы 6БН; Д34 — Д35 — лампы 6БН; Д36 — Д37 — лампы 6БН; Д38 — Д39 — лампы 6БН; Д40 — Д41 — лампы 6БН; Д42 — Д43 — лампы 6БН; Д44 — Д45 — лампы 6БН; Д46 — Д47 — лампы 6БН; Д48 — Д49 — лампы 6БН; Д50 — Д51 — лампы 6БН; Д52 — Д53 — лампы 6БН; Д54 — Д55 — лампы 6БН; Д56 — Д57 — лампы 6БН; Д58 — Д59 — лампы 6БН; Д60 — Д61 — лампы 6БН; Д62 — Д63 — лампы 6БН; Д64 — Д65 — лампы 6БН; Д66 — Д67 — лампы 6БН; Д68 — Д69 — лампы 6БН; Д70 — Д71 — лампы 6БН; Д72 — Д73 — лампы 6БН; Д74 — Д75 — лампы 6БН; Д76 — Д77 — лампы 6БН; Д78 — Д79 — лампы 6БН; Д80 — Д81 — лампы 6БН; Д82 — Д83 — лампы 6БН; Д84 — Д85 — лампы 6БН; Д86 — Д87 — лампы 6БН; Д88 — Д89 — лампы 6БН; Д90 — Д91 — лампы 6БН; Д92 — Д93 — лампы 6БН; Д94 — Д95 — лампы 6БН; Д96 — Д97 — лампы 6БН; Д98 — Д99 — лампы 6БН; Д100 — лампы 6БН.

... напряжения к фотоэлектронным умножителям характерны...

$$\frac{R_{11}}{R_{12}} = 0,2; \frac{R_{11}-R_{12}}{R_{11}} = 2; \frac{R_{11}}{R_{12}} = 2,5.$$

... уменьшения третьего сопротивления связана с...

Измерения времени жизни возбужденных состояний ядер

В тех случаях, когда во возбужденном состоянии ядра обнаружены в результате α - или β -распада, или после предшествующего радиоактивного перехода на данный уровень, или путем перехода с переносом энергии из ядра оболочки атома (внутренний конверсия), времени жизни после...

двух уровня может быть определено измерением совпадений α — β — γ , γ — γ или e — γ совпадений в функции времени, введенной в одну из ветвей схемы совпадений.

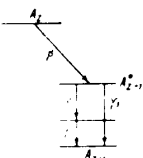


Рис. 2. Схема источника U и фотомножителя PM_1 .



Рис. 3. Схема расположения источника U и детекторов PM_1 и PM_2 с фотомножителями, фильтром F и источником I.

состояние разряжается выбрасыванием вторичного электрона, то соответственно излучаются совпадения β — γ или e — γ с этими электронами.

Предположим, что ядра источника I вещества с атомным номером Z, превращаясь путем β -распада в ядра с атомным номером Z + 1 (или Z - 1 при позитронном распаде), оказавшиеся в возбужденном состоянии, которое разряжается испусканием одного или нескольких γ -квантов (рис. 2). В нашей установке (рис. 3) источник помещался между двумя фотомножителями (PM_1 и PM_2), к фотокатодам которых приклеены пластинки монокристалла стильбена. Между источником U и фотомножителем PM_1 помещен алюминиевый фильтр, поглощающий все электроны света, порожденные в фосфоре a_1 при поглощении в нем γ -кванта, а на второй — вспышки от β - и от γ -лучей.

Пусть телесные углы, под которыми видны первый и второй фосфоры на источнике, равны соответственно ω_1 и ω_2 , числа квантов $\gamma_1, \gamma_2, \dots$ на акт распада соответственно равны P_1, P_2, \dots, P_n , а эффективности регистрации — $\epsilon_1, \epsilon_2, \dots, \epsilon_n$. Испускание γ -квантов, начиная с момента образования возбужденного состояния, должно происходить по экспоненциальному закону. Если постоянная времени равна L , разрешающее время схемы совпадений 2τ , число актов распада источника в единицу времени N_0 и время задержки от момента распада источника до регистрации β -частицы, t , то при условии $L \gg \tau$ число совпадений в единицу времени будет равно

$$N_{\text{сов}} = N_0 \sum_{i=1}^n P_i \epsilon_i \int_0^{\infty} e^{-t/L} dt = N_0 \sum_{i=1}^n P_i \epsilon_i L. \quad (1)$$

Вывод, сделанный из этого уравнения, является важным обстоятельством, что число совпадений в единицу времени (вспышек) атомов пропорционально числу актов распада в единицу времени (распада) атомов того типа к моменту времени t . Число актов распада в единицу времени атомов, способных испускать γ -кванты, равно числу распада в секунду, ибо именно процессы β -распада возбужденных ядра являются метастабильными, а нижние возбужденные состояния имеют значительно меньшие времена жизни.

В случае, когда условие $L \gg \tau$ не выполняется, число совпадений в единицу времени зависит от формы импульсов. В работах [9 — 11] рас-

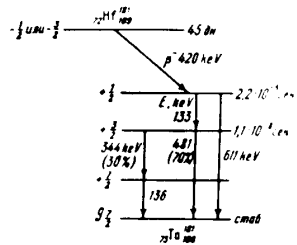
смотрены различные формы (треугольной, гауссовской) и выяснено, что при больших задержках t больших τ , скорость изменения числа совпадений падает экспоненциально в функции времени.

Из сказанного выше следует, что для определения времени жизни возбужденного состояния следует изучать зависимость числа совпадений от времени задержки. Проверив соответствующую кривую в полулогарифмическом масштабе, по наклону полученной прямой можно определить постоянную времени L .

Если время жизни состояния мало по сравнению с временем разрешения фотомножителя, получить экспоненциальную кривую не удастся. В этом случае постоянное время жизни можно определить по симметричной кривой совпадений по отношению к центру тяжести кривой совпадений, получаемой для каскадного процесса с известным временем жизни промежуточного состояния. Для повышения точности этого последнего метода выгодно производить измерения при использовании фильтра, поглощающего β -лучи: один раз — справа от источника (см. рис. 3). Это приведет к значительному смещению.

Измерение состояния Ta^{181}

На рис. 4 изображена схема превращения ^{181}Ta в ^{181}Hf (см. [12, 13]). β -Распад ядра ^{181}Ta приводит к первому метастабильному состоянию ядра Ta^{181} с периодом полураспада $2,2 \cdot 10^{-6}$ сек. и энергией возбуждения 611 keV. Помимо малоинтенсивной ветки прямого γ -перехода основное состояние наблюдается интенсивный переход через промежуточное состояние с энергией возбуждения 481 keV, которое, по данным [14], имеет период полураспада $1,08 \cdot 10^{-6}$ сек. Согласно [13] переход с энергией 133 keV между двумя метастабильными уровнями сильно конвертирован: коэффициент конверсии равен 11. Поэтому можно наблюдать совпадения конверсионных электронов с энергией 64 и 122 keV.



существовавших атому переходу, с энергиями 481, 344 и 136 keV. Для того чтобы уменьшить число быстрых совпадений от каскадных квантов 344 и 136 keV, между источником и первым фотомножителем помещался свинцовый фильтр толщиной 3 мм, который сильно ослаблял излучение с энергией 136 keV, слегка поглощал и излучение 344 keV и лишь мало ослаблял излучение основной ветки (70%) с энергией 481 keV. В этом опыте на фотомножителе PM_1 (см. рис. 3) регистрирующийся β -лучи, был наклеен толстый кристалл стильбена ($h = 2$ мм, $d = 33$ мм). Источник в виде окиси гафния наносился на дно медной пластины толщиной на пленку стекла толщиной 3 мм.

На рис. 5 показаны в обычном и логарифмическом масштабах зависимость числа совпадений от времени задержки t в мкс, в котором регистрирующую электронику конверсии. Время совпадений в логарифмическом масштабе, вдоль которой перемещается указатель, свинцовый экран и ленточный переключатель задержки. Так как скорость распространения импульса по длине ленточной задержки, то, определив смещение движка реохрда по проделанному смещению указателя на одно деление, можно

проградировать шкалу. Однако так как уровни введены в один из каналов спектра, смещение кривой совпадения по длине волны

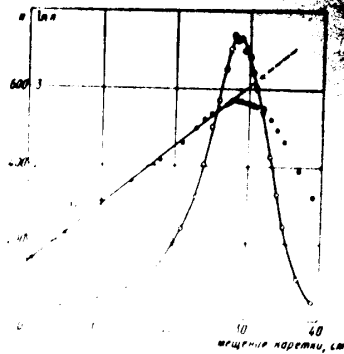


Рис. 5. Зависимость числа совпадений для уровня Sr^{90} с энергией 481 кэВ от времени задержки

(ρ) и емкости (C) кабеля соответствующее время задержки определяется соотношением:

$$t = \rho C. \quad (2)$$

В этом методе градуировка производится по шкале в оба канала схемы от одного фотоумножителя. Погрешность градуировки оказалась предельно малой. Точность градуировки по шкале в оба канала схемы составляет 0,1% и соотносится с погрешностью знания величин ρ и C .

Определенный по методу полуспектра для исследуемого уровня Sr^{90} период $T_{1/2}$ находится в соответствии с данными [14].

Схема привода преобразователя Sr^{90} показана на рис. 6. В качестве источника Sr^{90} использован источник Sr^{90} с активностью 100 мкюри.



Рис. 6. Схема привода преобразователя Sr^{90} . На уникальной форме местного β -источника, совмещенного с основным уровнем ядра Sr^{90} , заложено, что активность

получено в литературе [19]. Измерения совпадений для уровня Sr^{90} на возбужденном уровне Sr^{90} Майер и Риджуэй [19] и Шмидт [20] показали, что возможными являются уровни 7, 8 или 3. На рис. 7 представлены результаты наших измерений зависимости числа совпадений для уровня Sr^{90} от времени задержки.

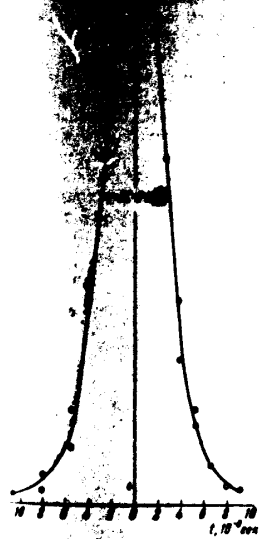


Рис. 7. Зависимость числа совпадений для уровня Sr^{90} от времени задержки

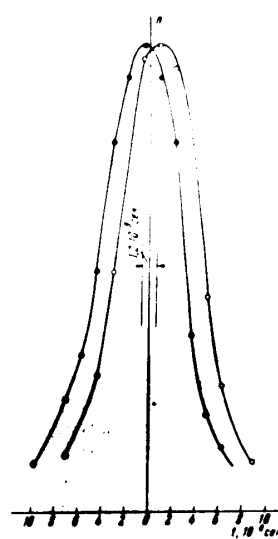


Рис. 9. Зависимость числа совпадений для уровня Tl^{208} от времени задержки

от времени задержки. В первом случае (левая кривая) для β -лучей стоит слева от пика, во втором (справа) — справа (см. рис. 3). Как видно из рис. 7, кривые совпадений для уровня Sr^{90} по точкам кривой (нормированные по отношению к центру референсного уровня Sr^{90}) имеют форму, характерную для экспоненциального смещения. Цена деления миллиметрового шкала составляет $2,2 \cdot 10^{-6}$ сек. Если бы период $T_{1/2}$ был бы именно такой величиной, взаимное смещение кривых было бы равно $2,2 \cdot 10^{-6}$ сек, что было бы вполне опутимым при измерении периода $T_{1/2}$. Из данных рис. 7 можно заключить, что период $T_{1/2}$ для уровня Sr^{90} по данным Майер и Риджуэй [19] и Шмидт [20] не совпадает с нашими данными. В работе [19] приведены значения $T_{1/2}$ для уровней 7, 8 и 3, которые не совпадают с нашими значениями $T_{1/2}$.

Список измерений

1, +	E1
2, +	E2
3, +	E3

Из этих данных однозначно следует, что явление не может быть отброшено, как противоречащее нашей теории, в течение времени жизни исследуемого состояния.

Возбужденное состояние T_1^{203}

Известно, что ядро Hg^{203} имеет простой β -спектр, состоящий из единственного возбужденного уровня ядра Tl^{203} . В работе [20] совпадения производились аналогично работе [19] с помощью фильтра, поглощающего β -лучи. Из результатов измерений, видно, что кривые совпадают, т. е. совпадают одна относительно другой, при этом период полураспада возбужденного состояния T_1^{203} равен $1,2 \cdot 10^{-10}$ сек. Скорость распада T_1^{203} имеет величину $6 \cdot 10^{10}$ сек. а период полураспада T_1^{203} равен $1,2 \cdot 10^{-10}$ сек. Ввиду малости этой величины можно считать ее верхним пределом для периода полураспада возбужденного состояния. Полученное число согласуется с оценкой верхней границы периода полураспада этого уровня, данной в работе [20].

Из кривых Мошковского для различных видов и мультипольностей излучения получаются следующие значения периодов полураспада при энергии перехода 280 keV:

Тип перехода	Период полураспада
E1	$1,2 \cdot 10^{-10}$ сек.
M1	$1,2 \cdot 10^{-10}$ сек.
E2	$1,2 \cdot 10^{-10}$ сек.

Таким образом, для различных видов излучения верхняя граница периода полураспада возбужденного состояния T_1^{203} равна $1,2 \cdot 10^{-10}$ сек.



Рис. 10. Схема превращения $\text{Fe}^{24} - \text{Co}^{26}$

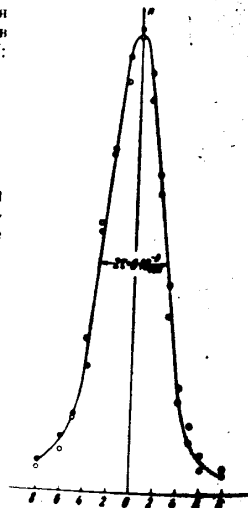


Рис. 11. Замеченный спектр для уровней T_1^{203}

Всего согласуется предположение об электрическом переходе. Однако ему не противоречат и предположения о полном переходе или о смешанном переходе $M1 + E1$.

... примерно 0,85 ...

... $\beta - \gamma$ совпадений, так и $\beta - \gamma$ совпадений, при этом в спектре был обнаружен мягкий β -спектр (271 keV) ...

При выполнении описанных в настоящей работе измерений большой помощью пользовался студент-дипломант ЛПИ В. Филимонов, при подборе делителя — студент ЛПИ К. Шилков, при подборе делителя — студент ЛПИ А. Саватеев и сотрудник ЛОТИ АН СССР Д. М. Ходяков.

1. D. ... (1948).
 2. E. ... (1948).
 3. W. ... (1946).
 4. M. ... (1946).
 5. D. ... (1946).
 6. E. ... (1946).
 7. D. ... (1946).
 8. P. ... (1946).
 9. V. ... (1946).
 10. S. ... (1946).
 11. N. ... (1946).
 12. G. ... (1946).
 13. J. ... (1946).
 14. F. ... (1946).
 15. K. ... (1946).
 16. M. ... (1946).
 17. S. ... (1946).
 18. L. ... (1946).
 19. R. ... (1946).
 20. H. ... (1946).
 21. G. ... (1946).
 22. I. ... (1946).
 23. O. ... (1946).
 24. F. ... (1946).
 25. A. ... (1946).
 26. ... (1946).

Н. Ф. БАРЧУК, Е. М. ГАЛКИН, М. В. ПАСЕЧНИК
О РАЗРЕШАЮЩЕЙ СПОСОБНОСТИ СЦИНТИЛЛЯЦИОННОГО СПЕКТРОМЕТРА

В последние годы получены существенные результаты в развитии магнитных спектрометров большой разрешающей способности и сцинтилляционных спектрометров большой светосилы, открывающих новые возможности в исследовании структуры энергетически возбужденного атомного ядра.

Препятствием на пути к широкому применению однокристаллических сцинтилляционных спектрометров является их низкая разрешающая способность. Полуширина спектральных линий в лучшем из сцинтилляционных спектрометров составляла 5—10 % [2, 3] (от γ -лучей Co^{60}). Наши измерения показали, что однокристаллический сцинтилляционный спектрометр, в котором применяется фотоумножитель ФЭУ-19, имеет еще более высокую разрешающую способность. Показано повысить ее путем подбора кристаллов и ФЭУ маломощных разряженных неонов.

Для выяснения причин столь высокой разрешающей способности мы провели две серии опытов. В первом из них сцинтилляционный спектрометр служил светочувствительным спектрометром, который использовался в качестве монохроматора люминесценции. На этих измерениях находилась степень монохроматизации луча люминесценции, которая определялась разрешающей способностью люминесцентного спектрометра. В другой серии опытов при помощи сцинтилляционного спектрометра снимался спектральный состав пучка электронов.

Оказалось, что энергия разброса и энергии электронов составляет 1 %, разброс амплитуд на выходе фотоумножителя ФЭУ-19 получается 10—30 % в зависимости от энергии электронов и режима работы фотоумножителя.

Для испытания ФЭУ при излучении на его фотокатод световых импульсов мы построили спектральный усилитель. В качестве модулятора света применялся ячея Керра, являющаяся практически безинерционным световым затвором.

Всю схему усилителя для определения разброса импульсов по амплитуде световых импульсов из источников света, ячейки Керра, ФЭУ-19, усилителя и 50-мегагерцового анализатора. Каждый элемент схемы тщательно проверялся. Стабильность и линейность выходного тракта систематически контролировались. Проверялась также стабильность работы генератора, для чего на схеме включалась ячейка Керра в ФЭУ, а импульсы от генератора, уменьшенные при помощи делителя, подавались на усилитель и анализатор. Так как при этом импульсы на протяжении длительного времени работы анализатора оставались в одном канале 50-мегагерцового анализатора, то принималось, что генератор дает стабильные во времени импульсы с разбросом в амплитуде, меньшим 2 %.

Подбор амплитуд световых импульсов производился с помощью осциллографа. На фотокатод ФЭУ-19 ставился собранный вместе с разряженным кристаллом иодистого натрия, активированным таллием, и калиевым перманганатом импульс при облучении кристалла γ -лучами Co^{60} . Длительность импульса

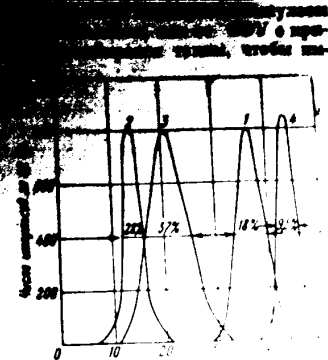


Рис. 1. Кривые световых импульсов ФЭУ при подбросе света. 1 — свет в 5 раз слабее, 2 — свет в 2,5 раза слабее, 3 — свет в 5 раз слабее, 4 — свет в 2,5 раза слабее, чем для кривой 1.

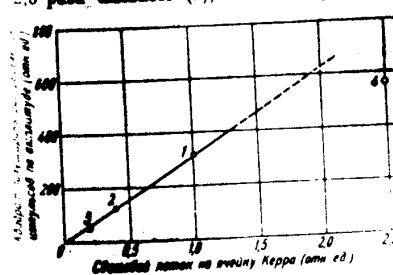


Рис. 2. Зависимость квадрата амплитуды импульсов ФЭУ от амплитуды света. При этом соответствуют нумерации кривых на рис. 1.

равномерным распределением потенциалов на формировании импульсов. На рис. 2 показана зависимость квадрата амплитуды импульсов от интенсивности светового потока на ячейку Керра (интенсивность светового потока на шкале амплитуд) для четырех кривых, приведенных на рис. 1. Точка с абсциссой 2,5 не доходит до порога чувствительности спектрометра ФЭУ, вызванных пространственными искажениями ФЭУ. Амплитуды импульсов на выходе сцинтилляционного спектрометра определяются статистическими флуктуациями в количестве фотоэлектронов, выходящих на первые эмиттеры, а также флуктуациями

С. М. Галкин, М. В. Пассоник и Н. Н. Пурков

... вторичной эмиссии. Следовательно, для повышения возможности сцинтилляционных спектрометров на фотоумножителях необходим фосфор с большим световым выходом и большим квантовым выходом, чем мы знаем сейчас. Дальнейшее усовершенствование электронной аппаратуры фотоумножители. Что касается последнего, то, как известно, в этой системе катод-диафрагма-диффузор...

... амплитудный разброс не менялся.

Институт физики Академии наук СССР

- 1. Башкиров А. М., Орлов Е. М., Борковский Л. В., Клеба В. С.
- 2. Borokowsky L. V.
- 3. Kleba V. S.

АКАДЕМИИ НАУК СССР
 ФИЗИЧЕСКАЯ
 1955
On the Question of the Measurement of Deformation of Nuclear Surfaces by
 L. A. Sliv & L. K. Peker
 Л. А. СЛИВ и Л. К. ПЕКЕР

К ВОПРОСУ ОБ ОПРЕДЕЛЕНИИ ДЕФОРМАЦИИ ЯДЕРНОЙ ПОВЕРХНОСТИ

Как известно, ядерная модель оболочек сферической симметрии не учитывает возможности деформации ядерной структуры и ядерных уровней. Вращательные уровни больших квадрупольных моментов у тяжелых ядер серьезные трудности даны в настоящее время, способной эти трудности преодолеть, модель, способная учитывать возможность деформации отдельных нуклонов в некотором среднем смысле, деформируемости поверхности ядра и колебательных и колебательных движений. Для объяснения различия вращательных уровней ядер, различных отклонений от модели оболочек, кроме того, объясняет на существование ядерных уровней сферической симметрии, как например, вращательных уровней [1]. Анализ процесса имеющихся данных, а также предыдущие опыты действительно привели к открытию у ядер редких тяжелых и тяжелых радиоактивных элементов системы уровней, энергии которых у четво-четных ядер определяется простой формулой:

$$E = \frac{A^2}{2J} I(I+1), \quad (1)$$

где J — момент инерции вращающейся части ядра, а I — спин или угловой момент вращения.

Намеренное время жизни таких уровней оказалось меньше времени жизни других, одночастичных уровней, что также указывает на их особую природу. Момент инерции J согласно теории [1, 2] равен

$$J = 33^2 B, \quad (2)$$

$$B = \frac{3}{5} M A R_0^2, \quad (2')$$

где M — масса нуклона, A — атомный вес, R_0 — радиус эквивалентной по объему сферы, β — параметр деформации, определяемый в простейшем предположении о форме ядра как отклонение от сферичности по формуле:

$$R = R_0 [1 + \beta Y_{2,0}(\theta)], \quad (3)$$

где $Y_{2,0}(\theta)$ — нормированная шаровая функция. Внутренний квадрупольный момент ядра, определяемый от β и равен

$$Q_0 = \frac{3}{\sqrt{5}} Z R_0^2 \beta.$$

Спектроскопическое значение квадрупольного момента

$$Q_s = P Q_0.$$

замыслим. Истинное значение β для U_0 и U_1 можно найти из соотношения между квадратурными моментами Q_0 и Q_1 в результате опытов.

Остается выяснить, почему справедливы уравнения (1) и (2), где применимо приближение сильной связи, для U_0 и U_1 в формуле (1), т. е. формуле для чисто ротационных уровней, что при переходе с основного на возбужденный уровень.

Таблица 1

Данные о β -переходах на уровни четво-четных ядер

Ядро и вылучен:	Тип перехода	$\lg(I)$	β , %
Разрешенные переходы			
Deut., p^2	+1-+0	4,7	0,39
	+1-+2	5,1	
	+1-+0	4,9	
	+1-+2	5,2	
He-4, p^2	+1-+0	4,8	0,08
	+1-+2	6,0	
	+1-+0	4,6	
	+1-+2	6,0	
He-4, p^2	+1-+0	6,0	0,04
	+1-+2	6,0	
He-4, p^2	+1-+0	6,0	<0,5
	+1-+2	6,0	
He-4, p^2	+1-+0	6,0	0,20
	+1-+2	6,0	
He-4, p^2	+1-+0	6,0	0,03
	+1-+2	6,0	
He-4, p^2	+1-+0	6,0	0,03
	+1-+2	6,0	
He-4, p^2	+1-+0	6,0	0,03
	+1-+2	6,0	

где β — коэффициент поверхностного натяжения, β — коэффициент поверхностного натяжения, β — коэффициент поверхностного натяжения, β — коэффициент поверхностного натяжения.

$$C = 4R_0^2 - \frac{2}{10\pi} \cdot \frac{2\sigma}{K_0}$$

где β — коэффициент поверхностного натяжения. Тогда по формуле (11.21) из [2] получим для E_4 выражение

$$E_4 = \left[\sqrt{\frac{I}{2\pi}} \sum_p \left| \frac{3Q_0^2 - I_p(U_p + 1)}{4U_p(U_p + 1)} \right| - C_1 \right] \frac{1}{2} I(U^2)$$

где Ω_p — проекция на ось симметрии ядра углового момента Ω в p -м квантовом состоянии, а I_p — угловой момент одной частицы. Видно, что E_4 также пропорционально $I(U+1)$. Там же.

деформации ядра при вращении. В этом случае β будет зависеть от деформации ядра.

В этом случае β будет зависеть от деформации ядра. В этом случае β будет зависеть от деформации ядра. В этом случае β будет зависеть от деформации ядра.

В этом случае β будет зависеть от деформации ядра. В этом случае β будет зависеть от деформации ядра. В этом случае β будет зависеть от деформации ядра.

В этом случае β будет зависеть от деформации ядра. В этом случае β будет зависеть от деформации ядра. В этом случае β будет зависеть от деформации ядра.

Цитированная литература

1. Bohr A., Dan. Mat. Fys. Medd., 26, 14 (1952).
 2. Bohr A., Mottelson R., Dan. Mat. Fys. Medd., 27, 18 (1953).
 3. Ford H., Phys. Rev., 95, 1250 (1954).
 4. King R., Peaslee D., Phys. Rev., 94, 1284 (1954).

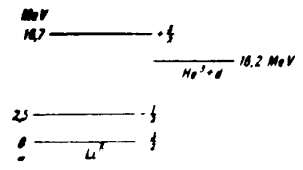
Видно, что E_4 также пропорционально $I(U+1)$. Там же.

СТРУКТУРА ВОЗБУЖДЕННОГО УРОВНЯ He^4 И Li^6

В последние годы в литературе появились сообщения, что и в случае самых легких ядер, таких как He^4 и Li^6 , состояния нуклонов можно характеризовать с помощью квантовых чисел их полных и орбитальных моментов (оболочечная модель), считая, что каждому состоянию ядра с не очень большой массой можно приписать определенную конфигурацию. Так, конфигурация основного состояния He^4 и He^3 есть $(1s)^4$ и $(1s)^3$ и $(1s)^2 1p_{1/2}$. Относительно ядер Li^6 и Li^7 известно, что их основные состояния имеют конфигурацию $(1s)^3 1p_{1/2}$, а первые возбужденные ($-1/2$) — конфигурацию $(1s)^2 1p_{3/2}$. Такая интерпретация первых возбужденных уровней Li^6 (мы будем говорить только о Li^6 , помня, что Li^6 и He^4 — зарядово-массово подобная система уровней) полностью согласуется с данными экспериментальных данных, относящихся к более тяжелым ядрам.

Покажем, каким образом следует интерпретировать с этой точки зрения возбужденный уровень Li^6 с энергией возбуждения 16,7 MeV.

Этот уровень проявляется в двух реакциях:
 1) $He^4 + d \rightarrow He^6 + p$ [1]. При этом зависимость сечения этой реакции от энергии имеет резонанс при энергии налетающих дейтронов $E_d = 420$ keV. Ширина резонансной кривой оказалась неожиданно малой для такой большой энергии возбуждения и легкого ядра — всего около 400 keV. При этом следует еще учесть, что большая часть ширины (приблизительно 300 из 400 keV) связана с кулоновским отталкиванием трех протонов в Li^6 . Это видно из того, что ширина подобного уровня



в He^4 с энергией возбуждения только два протона, меньше чем ~ 100 keV (помним, что энергия основного и первого возбужденного уровней He^4 и Li^6 порядка 1 MeV). Спин $3/2$ и четность $(-)$ проявляющегося в этой реакции уровня Li^6 установлены из угловых распределений продуктов реакции, и значения абсолютной величины сечения и из того, что в реакции участвуют лишь дейтроны с $l=0$ (дейтроны с $l=1$ имеют

таких же малых сечений, в реакции участвовать не могут из-за большого момента импульса). При бомбардировке He^4 дейтронами было обнаружено, что в спектре выходящих жестких γ -квантов, и кривая выхода γ -квантов минимум при энергии налетающих дейтронов $E_d = 0,4$ MeV. Энергетическая граница спектра γ -квантов при этой энергии оказалась равной $16,2 \pm 0,2$ MeV.

Из этих данных следует, что наличие жестких γ -квантов нужно приписать реакции $He^4 + d \rightarrow Li^6 + \gamma$, в которой возбужденное состояние Li^6 с энергией 16,7 MeV переходит в основное состояние с выходящим γ -квантом.

Совокупность приведенных выше данных не позволяет однозначно утверждать, что возбужденное состояние Li^6 с энергией возбуждения 16,7 MeV действительно, наличие γ -перехода между этим и основным состоянием Li^6 в основном состоянии указывает на то, что конфигурация этих состояний различаются не более чем переходом одного нуклона в другое ядро. Это следует из того, что оператор электрических переходов имеет вид: $F_1 = \sum \frac{1}{r}$, где F_1 — оператор, действующий только на

ординаты i -го нуклона, и суммирование ведется по всем нуклонам ядра. Нетрудно показать, что матричные элементы такого оператора не равны нулю лишь для переходов, при которых меняется состояние не более одного нуклона. Отсюда непосредственно следует, что, поскольку конфигурация основного состояния есть $(1s)^3 1p_{1/2}$, конфигурация этого возбужденного состояния может быть либо $(1s)^2 n_1$, что соответствует переходу внешнего нуклона из состояния $1p_{1/2}$ в какое-то более высокое состояние n_1 , либо $(1s)^3 1p_{3/2}$, что соответствует переходу внутреннего нуклона из состояния $1s$ в состояние $1p_{3/2}$. Первая возможность, т. е. конфигурация $(1s)^2 n_1$, исключается, так как в этом случае невозможно объяснить наличие γ -перехода между $He^4 + d \rightarrow He^6$ и Li^6 по отношению к резонансу $He^4 + d \rightarrow He^6$, т. е. конфигурация $(1s)^3 1p_{3/2}$. Наиболее естественным является то, что нуклон с оболочкой $1p_{1/2}$ возбуждается в состояние $1p_{3/2}$, поэтому возбужденному уровню с $E = 16,7$ MeV следует приписать конфигурацию $(1s)^3 (1p_{1/2})^2$, что позволяет объяснить как и четность этого уровня, а также, как указывалось выше, и малую ширину этого уровня.

Заслуживает внимания следующее необычное обстоятельство. Уровень Li^6 с $E = 16,7$ MeV имеет спин $3/2$ с первым возбужденным состоянием He^4 , конфигурация которого $(1s)^3 1p_{1/2}$. Дело в том, что оба состояния возникают в результате перехода одного нуклона из замкнутого состояния $1p_{1/2}$ в состояние $1p_{3/2}$ и, следовательно, энергию возбуждения и оболочки $(1s)^3$ можно определить двумя независимыми методами: из данных о первом возбужденном уровне He^4 и из данных о первом возбужденном состоянии Li^6 . Из данных об энергии первого возбужденного состояния He^4 энергии возбуждения He^4 и Li^6 отличаются на величину ~ 22 MeV. Аналогичная оценка получается из данных о состоянии Li^6 с $E = 16,7$ MeV.

Действительно, разность энергий первого возбужденного состояния Li^6 и He^4 приблизительно равна разности энергий основного и первого возбужденного состояния He^4 минус энергия связи двух нуклонов в состоянии $1p_{3/2}$ и плюс энергия взаимодействия между нуклонами в состоянии $1p_{3/2}$ и $1p_{1/2}$ в состоянии $1s$, так как это взаимодействие сравнительно мало по сравнению с тем, что разность энергий $(He^4 + p)$ и He^5 , а также He^4 и He^6 из-за того, что разность энергий $(He^4 + p)$ и He^5 и He^4 и He^6 не превышает ~ 2 MeV. Энергию связи двух нуклонов в состоянии $1p_{3/2}$ можно считать равной $\sim 4,7$ MeV (по разности масс $(He^4 + p)$ и Li^6).

194

откуда и получается, что...

(12) приближенные значения (14)...

Такое близкое совпадение...
ждает правильность наших предположений...
состояния Li с энергией возбуждения 18,7...

Считаю своим приятным долгом выразить...
родняскому за постоянный интерес к работе и...
Н. А. Власову, сделавшему ряд важных замечаний...

Цитированная литература

1. Yarnell J., Lowberg H., Stratton W., Phys. Rev., 66, 205 (1949).
2. Hintz N., Brail J., Van Peter D., Phys. Rev., 63, 624 (1948).
3. Баян А., Смородинский Н., ЖЭФФ, 27, 9, 382 (1954).

194

В. А. Баян

ОБЪЯСНЕНИЕ С ПРОМЕЖУТОЧНОЙ СВЯЗЬЮ
β-РАСПАДА He⁶

В... с опытом лучше всего согласуется оболочечная модель... промежуточной связи. Согласно этой модели... находятся в состояниях с определенным орбитальным моментом... характер связи моментов отдельных нуклонов... ядра является промежуточным между предельными... и // -связью. Эта модель оказалась очень удобной... свойства легких ядер, как порядок возбужденных состояний... энергии между ними, магнитные моменты... работе оболочечная модель с промежуточной связью... элементов β-распада He⁶ → Li⁶... матричных элементов... для более точного... для проверки существования... ядер. При расчете... Можно показать, что... работы и привести... результатов.

С... соответственно 1 и 0... чность и измененность... матричные элементы... требуется вычислять только... Для вычисления необходимо знать угловые волновые функции... Li⁶. Для построения волновых функций... обычной методами атомной спектроскопии.

Согласно... модели с промежуточной связью основные состояния... конфигурацию (1s)²(1p)², а волновые функции... суперпозиции волновых функций с разными орбитальными моментами и спинами:

$$\left. \begin{aligned} \psi_{He} &= a\psi(^1S_0) + \beta\psi(^3P_0), \\ \psi_{Li} &= a\psi(^3S_1) + b\psi(^1P_1) + c\psi(^3D_1). \end{aligned} \right\} (1)$$

Здесь ψ_{He} есть волновая функция состояния ¹S₀. Коэффициенты... зависят от параметра u , который... соответствует LS-связи, $u = \infty$ — jj-связь, а $u = 0$ — промежуточная связь и определяется... взаимодействия, а F_2 — радиальная волновая функция... при P_1 , а разложениями... волнам Лежандра:

$$V(r_1 - r_2) = \sum_{\lambda, \mu} P_{\lambda}(\cos \omega) V_{\lambda}$$

Вспомогательные функции типа теоремы о зарядовой инвариантности Дирака [1] для He^4 и для Li^6 . Ее можно определить из экспериментальных значений магнитного момента $M_{\text{эксп}} = 0,82$ н.э.м. и магнитного момента $M_{\text{теор}} = 0,5047 \pm 0,31$ н.э.м.

Из равенства $M_{\text{теор}} = M_{\text{эксп}}$ для Li^6 получаем, что $M_{\text{теор}} = M_{\text{эксп}}$ для Li^6 приводит к соотношению

где α и β — матричный элемент, связывающий нас матричный элемент $\langle \alpha | \sigma_x | \beta \rangle$ в возбужденном состоянии квадрата момента Q . Используя следующую формулу:

$$\langle \alpha | \sigma_x | \beta \rangle = \frac{b\beta}{\sqrt{3}}$$

В случае $\alpha = \beta$ получаем $\langle \alpha | \sigma_x | \alpha \rangle = 1/\sqrt{3}$ и это выражение равно 6. В случае $\alpha \neq \beta$ получаем $\langle \alpha | \sigma_x | \beta \rangle = 0,611$, $b = 0,745$ и $\alpha = \sqrt{2}/3$, $\beta = \sqrt{1/3}$ и т.д. Из соотношения 3,34. При $u = 1,5$, которое следует из данных [2] о магнитном моменте Li^6 , $|\langle \alpha | \sigma_x | \beta \rangle|^2 = 5,25$. Это значение квадрата модуля матричного элемента согласуется с последними данными о величинах I для β -распада He^4 [1, 2]. Именно из этих данных следует, что при имеющемся сейчас значении $I = 815 \pm 70$ для He^4 [3] величина $|\langle \alpha | \sigma_x | \beta \rangle|^2$ не может быть больше чем $5,25$.

Заметим тут же, что ограничение $|\langle \alpha | \sigma_x | \beta \rangle|^2 \leq 5,25$ является решающим доводом против предлагаемой ранее для Li^6 конфигурации $(1s)^4(2s)^2$ в случае которой $|\langle \alpha | \sigma_x | \beta \rangle|^2 = 6$.

Нами был также вычислен квадрупольный момент Q для него получалась следующая формула:

$$Q = -e^2 \bar{r}^2 (0,85c^2 - 0,50I^2) \approx -1,5 \cdot 10^{-24} \text{ см}^2$$

где \bar{r}^2 — средний квадрат радиуса орбиты протона, находящегося в p -состоянии, а c — заряд протона. При $u = 1,5$ для квадрупольного момента получается значение $Q = 0,040 \bar{r}^2 e \text{ см}^2$, что противоречит экспериментальной оценке $|Q| < 0,0008 e \cdot 10^{-24} \text{ см}^2$.

Наши выводы можно резюмировать следующим образом: данные о β -распаде He^4 и о магнитном и квадрупольном моментах Li^6 могут быть объяснены в рамках оболочечной модели с промежуточной связью. В пользу этой модели свидетельствует также совпадение величин $u = 1,5$ с величиной u для Li^6 [2]. Таким образом, совпадение величин u между нижними оболочками и из данных о разности энергий между ними [2] — это не случайное совпадение.

Пользуясь данными [2] и [3] И. А. Смородинского, предложившего эту модель, мы предлагаем следующие замечания.

Цитированная литература

[1] В. В. Барановский, *Изв. АН СССР* (1952).

[2] В. В. Барановский, *Изв. АН СССР* (1952).

[3] H. A. J. G. M. van der Vliet and J. L. F. J. de Groot, *Phys. Rev.*, **87**, 1140 (1952).

[4] В. В. Барановский, *Изв. АН СССР* (1952).

Д. А. МАКСИМОВ и Я. А. СМОРОДИНСКИЙ
К ТЕОРИИ ДВОЙНОГО β -РАСПАДА

§ 1. Введение

Изучение двойного β -распада может привести к выяснению природы нейтрино и антинейтрино. Недавно двойной β -распад обнаружен у ядра Ca^{48} Маккарти [1]. Анализ результатов изучения двойного β -распада у различных ядер и распада Ca^{48} были сделаны в статье Я. Зельдовича, С. Тулунова и Я. Смородинского [2]. В этой статье было указано, что особая особенность двойного β -распада Ca^{48} , так как из всех изотопов Ca только Ca^{48} распадается на Ti^{48} и продукт его распада Ti^{48} обладают одинаковым средним числом нуклонов и поэтому в состоянии $1s^2$ сверхзаполненной оболочки Ca^{48} . Поэтому ядерный матричный элемент для распада Ca^{48} может быть большим по сравнению с распадом более тяжелых ядер. В этом случае можно вычислить матричный элемент перехода между оболочек. Этому и посвящена настоящая работа. Влияние взаимодействия с другими нуклонами (сердцевинной) можно учесть, вводя некоторый поправочный фактор, как будет выяснено ниже в § 7.

Вероятность безнейтринного двойного β -распада сильно зависит от энергии перехода, в связи с чем представляется интересным рассмотреть переходы на основании теории [2]. В настоящей работе рассматриваются только переходы на $1s^2$ оболочку.

Итак, наша задача — вычислить матричный элемент для спаривания двух нуклонов вычисленные элементы для спаривания двух нуклонов

$$\langle \alpha | \sigma_x | \beta \rangle = \frac{b\beta}{\sqrt{3}}$$

для тензорной связи

$$\langle \alpha | \sigma_x | \beta \rangle = \langle F | \sum_{i,j} \hat{\sigma}_i \hat{\sigma}_j (a_{ij}) | F \rangle$$

здесь $\hat{\sigma}_i$ — оператор перехода от нейтрона в протон, $\hat{\sigma}_j$ — оператор спина нуклона, F и F' — начальное (Ca^{48}) и конечное (Ti^{48}) состояния ядра. Оба состояния обладают одинаковым внутренним ядром Ca^{40} , которое в переходе не участвует и может быть включено на рассмотрение. Поэтому начальное состояние F и конечное состояние F' можно описать индивидуальными моментами $j = 7/2$ и $j = 5/2$ соответственно. Начальное состояние F — замкнутую относительно нуклонов оболочку $1s^2$ с магнитным моментом $M = 0$. Начальный момент конечного состояния F' — 4 с магнитным моментом $M = 4$. Начальный момент начального ядра, конечно, $M = 0$. Ti^{48} — замкнутый полный

* Важность изучения Ca^{48} была отмечена в [1].

61/241 = 15 членам N_6 — нормировка. Пользово...
стоят функции четырех нуклонов, соответствующие...
нам $T = 0$ и $T = 2$.

$$\varphi_{T=0}(12|34) = 2 \left[\frac{1}{2} \left[\frac{3}{4} \right] + \left[\frac{1}{3} \left[\frac{2}{4} \right] - \left[\frac{1}{4} \left[\frac{2}{3} \right] \right] \right] \quad (12)$$

... (12|34) разделяет группы, внутри которых...

$$\varphi_{T=2}(12|34) = \left[\frac{5}{3} \left[\frac{6}{8} \right] + \left[\frac{5}{8} \left[\frac{6}{7} \right] \right] \quad (13)$$

... (12|34) можно построить полностью...

$$\varphi_{T=0}(12|34) = \sum_{ik} \chi(ik) \Phi_F(ik) =$$

$$= \frac{1}{128} (\chi(12)\Phi_F(12) + \chi(13)\Phi_F(13) + \chi(14)\Phi_F(14) + \chi(34)\Phi_F(34) + \dots) \quad (14)$$

где $\Phi_F(ik)$ получается из $\Phi_F(12)$ простым изменением нумерации. Например, функция $\Phi_F(47)$ соответствует схеме Юнга (рисунки, д).

Набору квантовых чисел $J=0, T_z=2, s=0$ соответствуют лишь два состояния из (3) — I и II. Первое состояние описывается функцией (8). Функция (14) ортогональна к (8), что можно проверить непосредственно, вычисляя скалярное произведение функций, но это ясно уже из того, что (8) и (14) принадлежат к различным сечениям Юнга. Следовательно, функция (14) действительно представляет состояние $T=2$.

Две функции, соответствующие $J=2, s=4$, имеют вид (14), но более сложными $\Phi_F(ik)$. Задание функции можно свести к задаче четырех частей, представив ее в виде (11), но теперь функции в первой скобке не будут иметь прежний смысл $[[1][1]] = [1] \times [1]$, который имелся в случае $s=0$. Функции с $s=4$ строить не будем. Укажем лишь, что, строя функции для двух частей методом [4], можно непосредственно убедиться, что функции (8) действительно исчерпывают все возможные варианты функций в N_6 .

3.5. Задача нормировки

Чтобы функцией (14) можно было пользоваться, нужно еще вычислить нормировку N_6 . Это вычисление не тривиально, поскольку в $\Phi_F(12)$ имеются члены, например,

$$\varphi_{T=0}(1) \varphi_{T=0}(2) \varphi_{T=0}(3) \varphi_{T=0}(4) \varphi_{T=0}(5) \varphi_{T=0}(6) \varphi_{T=0}(7) \varphi_{T=0}(8),$$

которые, ввиду \hat{A}_4 , по три раза, другие вообще взаимно уничтожаются.

Произведем явную антисимметризацию \hat{A}_4 по (345678). Для этого удобно записать (11) в виде

$$\Phi_F(12) = N_6 \hat{A}_4 \varphi_{T=0}(12|34) \varphi_{T=0}(5678) \quad (15)$$

Вертикальными чертами разделены группы, внутри которых уже произведена явная антисимметризация.

$$\begin{aligned} & \varphi_{T=0}(12|34) \varphi_{T=0}(5678) \quad 1 \text{ член} \\ & \varphi_{T=0}(12|35) \varphi_{T=0}(4678) \quad 4 \text{ члена} \\ & \varphi_{T=0}(12|36) \varphi_{T=0}(5478) \quad 4 \text{ члена} \\ & \varphi_{T=0}(12|54) \varphi_{T=0}(3678) \quad 4 \text{ члена} \\ & \varphi_{T=0}(12|56) \varphi_{T=0}(3478) \quad 4 \text{ члена} \\ & \varphi_{T=0}(12|57) \varphi_{T=0}(3648) \quad 4 \text{ члена} \end{aligned}$$

для большей наглядности подчеркнуты члены, которые при произведении (16) не сокращаются или (вид B):

$$\Phi_F(12) = -N_6 \{ \varphi_{T=0}(12|34) \varphi_{T=0}(5678) + \varphi_{T=0}(12|35) \varphi_{T=0}(4678) + \varphi_{T=0}(12|36) \varphi_{T=0}(5478) \} \quad (16)$$

Получаем следующие равенства:

$$\begin{aligned} (12), \Phi(12) &= N_6 \{ \varphi_{T=0}(12|34) \varphi_{T=0}(5678), \Phi_F(12, \text{вид A}) \} - \\ &= N_6 \{ \varphi_{T=0}(12|35) \varphi_{T=0}(4678), \Phi_F(12, \text{вид B}) \} - \\ &= 15 N_6 \{ \varphi_{T=0}(12|34) \varphi_{T=0}(5678), \Phi_F(12, \text{вид A}) \}. \end{aligned}$$

где, как обычно, (Φ_1, Φ_2) означает скалярное произведение.

Введем обозначения:

$$\begin{aligned} \varphi_{T=0}^2 &= (\varphi_{T=0}(12|34), \varphi_{T=0}(12|34)) \\ \varphi_{T=0}^2 &= (\varphi_{T=0}(5678), \varphi_{T=0}(5678)) \\ p &= (\varphi_{T=0}(12|34) \varphi_{T=0}(5678), \varphi_{T=0}(12|35) \varphi_{T=0}(4678)) \\ q &= (\varphi_{T=0}(12|34) \varphi_{T=0}(5678), \varphi_{T=0}(12|56) \varphi_{T=0}(3478)). \end{aligned} \quad (18)$$

Ввиду того, что

$$(\varphi_{T=0}(12|34) \varphi_{T=0}(5678), \varphi_{T=0}(12|35) \varphi_{T=0}(4678)) = 0$$

и т. п., получим

$$(\Phi_F(12), \Phi_F(12)) = 15 N_6^2 (\varphi_{T=0}^2 + p^2 + q^2)$$

Вычисления $\varphi_{T=0}^2, p^2$ и q^2 значительно облегчаются тем, что в $\varphi_{T=0}(12|34) \varphi_{T=0}(5678)$ существенны лишь члены, не содержащие одинаковых индивидуальных моментов внутри каждой группы нуклонов.

§ 5. Вычисление матричных элементов $\int \sigma \{ \sigma \}$

Оператор $L = \sum_{i,j,k} \sigma_i^+ \sigma_j \sigma_k$ входит одночастичные операторы

$$\sigma_i^+ \sigma_j \sigma_k = \sigma_i^+ \sigma_j \sigma_k + \frac{1}{2} \sigma_i^+ \sigma_j \sigma_k + \frac{1}{2} \sigma_i^+ \sigma_j \sigma_k, \quad (27)$$

$$\sigma_i^+ \sigma_j \sigma_k = \sigma_i^+ \sigma_j \sigma_k.$$

... матрицы обозначены f_{ij} , т. е. полные моменты ... до и после перехода

$$f(m) = \sqrt{(j-m+1)(j+m)} \dots (29)$$

Ниже будут использованы равенства:

$$\begin{aligned} \sum m^2 &= 42; \quad \sum m^4 = 1/6 777; \\ \sum_{m_1, m_2} m_1 m_2 &= -42; \quad \sum_{m_1, m_2} m_1^2 m_2 = 0; \quad \sum_{m_1, m_2} m_1^2 m_2^2 = 1/2 2751; \\ f(-m) &= f(m+1); \quad \sum f^2(m) = 84; \\ \sum f^2(m+1) f^2(m) &= 1608; \quad \sum m(m-1) f^2(m) = 241. \end{aligned} \quad (30)$$

Матричные элементы от оператора L удобно записывать как скалярное произведение

$$\langle \sigma \rangle = \langle P | L | J \rangle = \langle \Psi_r | L | \Psi_s \rangle \quad (31)$$

Вычислим этот матричный элемент для перехода

$$J=0, T=4, T_z=4 \rightarrow J=0, T=2, T_z=2, s=0.$$

Результат действия операторов $\sigma_i^+ \sigma_j \sigma_k$ равен

$$\langle \Psi_r (T=2, s=0) | L | \Psi_s \rangle = \frac{1}{\sqrt{2}} \langle \Phi_r(12), \sigma_1^+ \sigma_2 \Phi_0 \rangle. \quad (32)$$

Оператор $\sigma_i^+ \sigma_j \sigma_k$ действует на индивидуальные функции первого и второго нуклонов. Поэтому при вычислении матричных элементов для краткости мы будем явно выписывать лишь ту часть функций Φ_r и $\Phi_s(12)$, которая содержит 1-й и 2-й нуклоны. При этом нужно помнить, что Φ_0 полностью антисимметрична и не содержит членов с одинаковыми проекциями моментов у двух нуклонов. Иско, что при такой сокращенной записи равенства должны пониматься в условном смысле. Если раз

$$\Phi_0 = \frac{1}{\sqrt{6}} \left(\begin{bmatrix} 1 \\ 2 \end{bmatrix} \begin{bmatrix} 2 \\ 2 \end{bmatrix} - \begin{bmatrix} 2 \\ 2 \end{bmatrix} \begin{bmatrix} 1 \\ 2 \end{bmatrix} + \begin{bmatrix} 2 \\ 2 \end{bmatrix} \begin{bmatrix} 2 \\ 2 \end{bmatrix} \right).$$

Начиная с этого момента будем проводить в виде

$$\Phi_0 = \frac{1}{\sqrt{6}} \left(\begin{bmatrix} 1 \\ 2 \end{bmatrix} \begin{bmatrix} 2 \\ 2 \end{bmatrix} - \begin{bmatrix} 2 \\ 2 \end{bmatrix} \begin{bmatrix} 1 \\ 2 \end{bmatrix} + \begin{bmatrix} 2 \\ 2 \end{bmatrix} \begin{bmatrix} 2 \\ 2 \end{bmatrix} \right).$$

где суммирование производится по существенно различным функциям, не равным друг другу с точностью до знака. Тогда вычисление матричного элемента от $\sigma_i^+ \sigma_j \sigma_k$ сводится к нахождению следующего

$$\begin{aligned} \left(\begin{bmatrix} 1 \\ 2 \end{bmatrix}, \sigma_1(1) \sigma_2(2) \begin{bmatrix} 1 \\ 2 \end{bmatrix} \right) &= \left(\frac{1}{\sqrt{2}} \right)^2 \sum_{m_1, m_2} m_1 m_2 \\ \left(\begin{bmatrix} 1 \\ 2 \end{bmatrix} \begin{bmatrix} 2 \\ 2 \end{bmatrix}, \sigma_1(1) \sigma_2(2) \begin{bmatrix} 1 \\ 2 \end{bmatrix} \begin{bmatrix} 2 \\ 2 \end{bmatrix} \right) &= \sum_{m_1, m_2} m_1 m_2 \end{aligned}$$

ида

$$\langle \Phi_r(12), \sigma_1(1) \sigma_2(2) \Phi_0 \rangle = \frac{1}{\sqrt{6}} \left(2 \dots 6 \dots 15 \right). \quad (34)$$

... N_0 и $\frac{1}{\sqrt{6}}$ — нормировки, 2 — коэффициент при $\begin{bmatrix} 1 \\ 2 \end{bmatrix} \begin{bmatrix} 3 \\ 4 \end{bmatrix}$, 6 — число пов на $\begin{bmatrix} 3 \\ 4 \end{bmatrix}$ при данном $\sigma_m(1) \sigma_{-m}(2)$ из $\begin{bmatrix} 1 \\ 2 \end{bmatrix}$, 4! — число членов в антисимметричной функции от (5678), 15 — множитель из-за λ_0 . Вычисление матричного элемента от $\sigma_i^+ \sigma_j \sigma_k$ проведем несколькими шагами:

$$\left(\begin{bmatrix} 1 \\ 2 \end{bmatrix}, \sigma_1(1) \sigma_2(2) \begin{bmatrix} 1 \\ 2 \end{bmatrix} \right) = \left(\begin{bmatrix} 1 \\ 2 \end{bmatrix}, \sigma_1(1) \sigma_2(2) \right).$$

$$\left(\frac{1}{\sqrt{2}} \right)^2 \sum_{m_1, m_2} (-1)^{m_1 + \frac{1}{2}} f(m_1 + 1) f(-m_2) \sigma_{m_1+1}(1) \sigma_{-m_2}(2) =$$

$$\frac{1}{2} \sum_{m_1, m_2} (-1)^{m_1 + m_2 + 1} f(m_1 + 1) f(-m_2) = -\left(\frac{1}{\sqrt{2}} \right)^2 \sum f^2(m) = -\frac{84}{2}. \quad (35)$$

$$\dots = \frac{1}{\sqrt{6}} \left(\begin{bmatrix} 1 \\ 2 \end{bmatrix} \begin{bmatrix} 2 \\ 2 \end{bmatrix} \right) =$$

$$\left(\frac{1}{\sqrt{2}} \right)^2 \sum_{|m_1| \leq 1, |m_2| \leq 2} (-1)^{m_1 + m_2 + 1} f(m_1 + 1) f(m_2) \sigma_{m_1+1}(1) \sigma_{m_2}(2) \sigma_{-m_1}(3) \sigma_{-m_2}(4). \quad (36)$$

Опять равенство написано с учетом того, что функция $\begin{bmatrix} 1 \\ 2 \end{bmatrix} \begin{bmatrix} 3 \\ 4 \end{bmatrix}$ антисимметрична как часть Φ_0 , присутствующая лишь в членах, не исчезающих при антисимметризации по (1234).

Иско, что

$$\left(\begin{bmatrix} 1 \\ 2 \end{bmatrix} \begin{bmatrix} 2 \\ 2 \end{bmatrix}, \sigma_1 \sigma_2 \begin{bmatrix} 1 \\ 2 \end{bmatrix} \begin{bmatrix} 2 \\ 2 \end{bmatrix} \right) =$$

в отличие от нуля член вида

$$\left(\begin{bmatrix} 1 \\ 2 \end{bmatrix} \begin{bmatrix} 2 \\ 2 \end{bmatrix}, \sigma_1 \sigma_2 \begin{bmatrix} 1 \\ 2 \end{bmatrix} \begin{bmatrix} 2 \\ 2 \end{bmatrix} \right) =$$

$$\dots = \frac{1}{\sqrt{6}} \sum_{m_1, m_2} (-1)^{m_1 + m_2 + 1 + (m_1+1) + 1} f(m_1 + 1) f(m_2) \dots + \frac{84}{2}. \quad (38)$$

Собирая подобные члены, получим:

$$\langle \Phi_s | (12), \sigma_+(1)\sigma_-(2) | \Phi_0 \rangle = \frac{N_s}{\sqrt{8!}} \left(2 \left(-\frac{84}{49} \right) \delta + \left(\frac{84}{49} \right) \right)$$

Здесь нужно иметь в виду, что в Φ_s (12) члены вида $\sigma_+(1)\sigma_-(2)$ имеют четности перестановки. Окончательно

$$\langle \Phi_s | (12), \sigma_+(1)\sigma_-(2) | \Phi_0 \rangle = -\frac{N_s}{\sqrt{8!}} \cdot \frac{84}{49} \cdot 10 \cdot 41 \cdot 15$$

Важно отметить, что

$$\langle \Phi_s | (12), \sigma_-(1)\sigma_+(2) | \Phi_0 \rangle = \langle \Phi_s | (12), \sigma_+(1)\sigma_-(2) | \Phi_0 \rangle$$

Отношение матричных элементов (41) и (40) равно:

$$\frac{\langle \Phi_s | (12), \sigma_-(1)\sigma_+(2) | \Phi_0 \rangle}{\langle \Phi_s | (12), \sigma_+(1)\sigma_-(2) | \Phi_0 \rangle} = \frac{3}{37}$$

Теперь можно написать полный матричный элемент:

$$M_s \equiv \langle \Psi_s (T=2, s=0), \sum_{k=1}^3 \sigma_k^+ \sigma_k^- (\bar{\sigma}_k \bar{\sigma}_k) \Psi_0 \rangle = -\frac{N_s \sqrt{8!} \cdot 48}{7 \sqrt{7}}$$

$$M_s^2 = \frac{28 \cdot 22}{49 \cdot 21} = 0,18$$

Соответственно для матрицы $\Psi_s (T=4)$ вычисляются:

$$\langle \Phi_s, \sigma_+ \sigma_+ \Phi_0 \rangle = \left(\frac{1}{7} \right) \frac{1}{2} \sum_{k=1}^3 \sigma_k^+ \sigma_k^+ \Phi_0 = -\frac{1}{56} \cdot \frac{42}{49}$$

$$\langle \Phi_s, \sigma_+ \sigma_- \Phi_0 \rangle = -\left(\frac{1}{7} \right) \frac{1}{2} \sum_{k=1}^3 \sigma_k^+ \sigma_k^- \Phi_0 = -\frac{1}{56} \cdot \frac{84}{49}$$

Минус в (46) получается из-за того, что результат, не исчезающий из-за антисимметричности Φ_0 , отличен от нуля лишь для переходов $m \rightarrow m-1$, которые меняют четность перестановки. Из (45) и (46) находим:

$$M_s \equiv \langle \Psi_s (T=4), \sum_{k=1}^3 \sigma_k^+ \sigma_k^- (\bar{\sigma}_k \bar{\sigma}_k) \Psi_0 \rangle = -\frac{9}{7 \sqrt{7}}$$

$$M_s^2 = 0,24$$

§ 6. Переходы в состояния с $s=4$

Как легко показать, оператор $L = \sum_{k=1}^3 \sigma_k^+ \sigma_k^- (\bar{\sigma}_k \bar{\sigma}_k)$ коммутирует с оператором полного момента $J = \sum (l_k + \bar{s}_k)$, где l_k и \bar{s}_k — операторы орбитального и спинового моментов k -го нуклона. Это обстоятельство дает возможность косвенным путем получить некоторые сведения о матричных элементах в эти состояния.

В самом деле, из того, что полный момент сохраняется, можно написать разложение

$$\langle \Psi_s (T=4, T_z=4) + \Psi_s (T=4, T_z=0) + \Psi_s (T=2, s=4) + \Psi_s (T=2, T_z=2, s=4) \rangle$$

(49)

поэтому, как указывалось, других состояний, кроме Ψ_s , нормированы на 1, то ясно, что матричные элементы переходов в соответствующие состояния являются производные выражения (49) самого на себя

$$\langle \mathcal{L} \Psi_s | \mathcal{L} \Psi_s \rangle = M_s^2 + M_s^2 + M_s^2 + M_s^2$$

или

$$M_s^2 + M_s^2 = \langle \mathcal{L} \Psi_s | \mathcal{L} \Psi_s \rangle - M_s^2 - M_s^2$$

Формула (54) дает возможность найти полусумму $\frac{1}{2}(M_s^2 + M_s^2)$ без использования сложных функций с $s=4$.

Вычисления $\langle \mathcal{L} \Psi_s | \mathcal{L} \Psi_s \rangle$ полностью аналогично вычислениям § 5

$$\langle \mathcal{L} \Psi_s | \mathcal{L} \Psi_s \rangle = 1,43$$

тсюда

$$\frac{1}{2}(M_s^2 + M_s^2) = 0,5$$

Приводим таблицу матричных элементов матричных элементов. Для двух последних переходов квант из нулю сумму. Выделен переход в наиболее вероятное основное состояние.

Обозначение начального состояния	Начальное состояние	Конечное состояние	Матричный элемент
$\{1\}1$	$J=0, T=4, T_z=4$	$J=0, T=4, T_z=2$	11,2
$\{1\}0$	$J=0, T=4, T_z=4$	$J=0, T=4, T_z=0$	0,24
	$J=0, T=4, T_z=4$	$J=0, T=2, T_z=2$	0,28
	$J=0, T=4, T_z=4$	$J=0, T=2, T_z=0$	0,28

Из таблицы видно, что наиболее вероятное значение квадрата матричного элемента равно 0,2.

Для представления собой реальную величину матричного элемента достаточно, только в самых легких ядрах вычисление по формуле (54) приводит к правильному значению матричного элемента. Выводом, заключающимся в изменении формы матрицы, проведенный Бором и Моттельсоном

ном [6], показывает, что в области оболочки $f_{1/2}$ значение времени жизни больше теоретического примерно в 100 раз (для Ca^{48} — в 100, для Sc^{49} — в 80). Этот же множитель надо, очевидно, внести и в матричный элемент двойного β -распада. Могло бы показаться, что в матричный элемент двойного β -распада этот множитель должен входить в квадрате. Это, однако, не так. Переход в промежуточном состоянии (после испускания одного нейтрона) будет происходить по тем же причинам, аналогичным принципу Кондона — переходу из основного состояния. произойдет деформация ядра, которая приведет к изменению соотношения между заданными основными состоя-

ниями. Мы можем ожидать только, что теоретическая оценка времени жизни, полученная в [6], представляет собой нижнюю границу. Отклонения от схемы независимости могут быть и в обратную сторону. Фактор формы также может быть меньше 100. Сравнение с опытом показывает, что в матричном факторе, очевидно, надо учесть еще один фактор, что, очевидно, формула (1) должна быть дополнена [2], она имеет вид:

$$T_{1/2} \approx \frac{1}{G_{\beta\beta}^2} \left(\frac{1}{M_{\beta\beta}^2} \right) \exp(-2\pi V_0) \quad (2)$$

Где для энергии 4,3 MeV $V_0 \approx 1,4$.

Подставив значения остальных величин, входящих в формулу, получим для периода полураспада значения

$$T_{1/2} \approx 0,5 \cdot 10^{10} \text{ лет (при энергии 4,3 MeV)}$$

Ошибки расчета могут привести к тому, что реальное время окажется на порядок больше.

В заключение мы выражаем благодарность И. Зельдовичу и А. Базилю за полезное обсуждение работы.

Примечание при корректуре. Маккарти [7] в 1953 г. сообщил новое значение $T_{1/2} \approx (1,6 \pm 0,7) \cdot 10^{10}$ лет, что дает для деформационного фактора величину 500 ± 1000 .

Цитированная литература

1. McCarthy J., Phys. Rev., 100, No. 2, 1952.
2. Зельдович И. Я., Сайферман Я., УФН, 54, 361 (1954).
3. Fowler G., Phys. Rev., 76, No. 2, 1950.
4. Митчелл Г., Phys. Rev., 80, 37 (1952).
5. Зельдович И. Я., Сайферман Я., УФН, 111, 1, М., 1948.
6. Вольфенштейн Е. М., УФН, 27, No. 16 (1953).
7. Маккарти Дж., Phys. Rev., 91, 21 (1954).

* Эти значения очень грубы. Они указывают только на то, что результативный множитель должен быть меньше квадрата множителя обычного распада. В пользу этого говорит и то обстоятельство, что формы двух членов двойного распада различаются меньше, чем формы четно-четного и четно-нечетного ядер.

В. А. КРАВЦОВ

НОВЫЕ ДАННЫЕ ПО СОПОСТАВЛЕНИЮ ЭНЕРГИИ СВЯЗИ СРЕДНИХ ЯДЕР

Большое число экспериментальных данных по энергии связи, энергиям ядерных реакций и энергии протонных реакций дает возможность перекрестного контроля значений энергий и энергий связи их ядер. В области средних ядер можно контролировать экспериментально значения энергии связи. В ряде случаев расхождение значений энергии связи ядер, вычисленными по формулам, с экспериментальными значениями, ставит под сомнение возможность установить правильную величину разности энергий связи.

В работе [1] мы показали, что при установлении правильности экспериментальных данных может быть полезным изучение поведения энергетических поверхностей. Этот метод позволил нам в [1, 2] убедиться и разрешить некоторые сомнительные случаи и выбрать наиболее надежные экспериментальные данные. Как известно, зависимость энергии связи E от порядкового номера Z и массового числа A может быть представлена в виде четырех энергетических поверхностей в пространстве (Z, A) : поверхностей для четно-четных, четно-нечетных, нечетно-четных и нечетно-нечетных ядер. Для удобства построения графиков удобно рассматривать энергетические поверхности с уменьшенным масштабом. Например для легких и средних ядер эти поверхности могут быть представлены уравнением

$$9A - E(Z, A) \text{ MeV} = \text{const.}$$

Чтобы рассматривать сечения этих поверхностей плоскостями $Z = \text{const}$ (изотопическое сечение), $N = A - Z = \text{const}$ (изонейтронное сечение) или $Z - A - 2Z = \text{const}$ (сечение по ядрам с равными избытками нейтронов). Как было установлено в [1], имеется ряд свойств сечений энергетических поверхностей, которые позволяют контролировать сомнительные энергии связи путем сопоставления их с другими энергиями связи. Свойства эти таковы:

- 1) отсутствуют пересечения между поверхностями для четно-четных и нечетно-нечетных ядер, а также их пересечения с оставшимися двумя поверхностями;
- 2) поверхности равной четности не пересекаются между собой и с поверхностями другой четности;
- 3) сечения одинаковой четности и массы для соседних значений Z , или T к соседнему $Z \pm 2$, $N \pm 2$ или $T \pm 2$ имеют вид парабол, сходство по форме и взаимному расположению кривых;
- 4) кривые изотопических ($Z = \text{const}$) и изонейтронных ($N = \text{const}$) сечений имеют выпуклость, обращенную только к Z и T или Z .

В результате критического сопоставления экспериментальных данных нами составлены таблицы масс средних атомов и энергии связи их ядер [1]. Недавно появились новые, более точные, масс-спектрометри-

Примечание

... [11, 9], позволяющие уточнить ... значениями 68 ± 104 .

... на основании этих более ... (в начале и в конце статьи), ... энергии связи Sc^{46} , ... изменениям ... энергии связи

... энергии связи ... не просто ... энергии реакции ... энергии связи ... энергии связи ... энергии связи

... энергии ... энергии ... энергии ... энергии ... энергии

Из значения энергии ... чекских измерений ... опубликованной в [11, 13] ... энергии связи ядра Sr^{86} . Энергия связи ... спектрометрических данных [3] ... энергии связи ядра Sr^{86} , можно установить, что ... не меньше $11,0 \pm 0,1$ MeV. Таким образом, ... в Sr^{86} , полученная из масс-спектрометрических изме ... больше, чем та же энергия, полученная из реакции

Среди использованных в расчетах величин наиболее важными являются: энергия β -распада Kr^{86} , измеренная независимо ... тремя группами авторов [11—13], и нижняя граница энергии ... ного захвата Sr^{86} , также измеренная в трех работах [11, 13, 14]. Масса устойчивого Sr^{86} хорошо согласуется с масс-спектрометрическими значениями масс Kr^{86} , Rb^{87} , Sr^{87} , Sr^{88} , Y^{88} , Zr^{90} и Nb^{93} по [13] и с массами энергиям реакций и распадов. Значение массы Sr^{86} ... шиванием всех этих масс и энергий реакций по способу ... ратов и поэтому наличие систематических ошибок ... массы Sr^{86} мало вероятно. Энергия связи Kr^{86} ... всех видов, описываемые далее, и поэтому ... тическая ошибка в ее измерении меньше ... никаком расхождении в значениях ... могут быть три величины: энергия ... Rb^{86} из [3] и порог реакции ...

Рассмотрим рис. 1, содержащий ... по $Z = 36$, содержащий ... Кривая 2 привнесена ... ведена черточкой ... численной по ... соответ ... гия [4] ... пер ... с ... н ...

... энергии ... энергии ... энергии ... энергии ... энергии

Rb^{86} . Пунктирная часть кривой 2 и точка 3 построены по энергии связи Rb^{86} , вычисленной по энергии (d, p)-реакции. Сплошная часть кривой

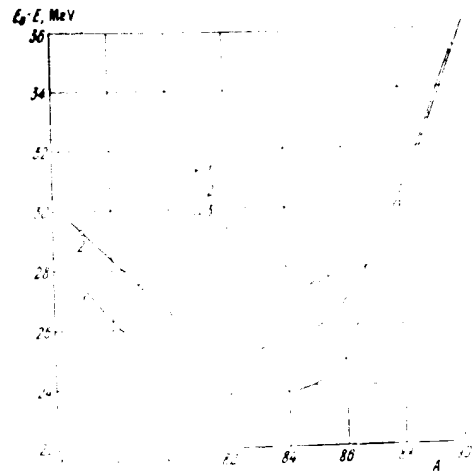
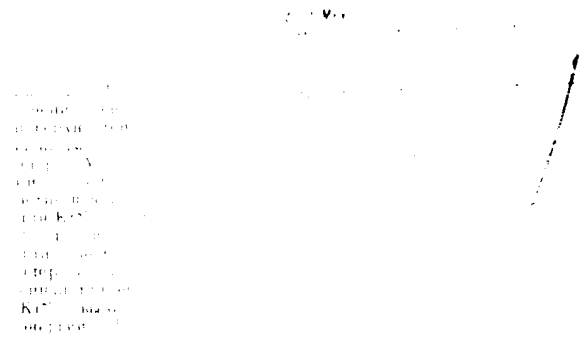


Рис. 1. Энергетическое сечение энергетических ... с уменьшенным уклоном для изотопов ... ($Z = 36$): 1 — точки, построенные по энергиям связи для четно-четных ядер; 2 — точки, построенные по энергиям связи для четно-нечетных ядер; 3 — точка, построенная по энергии связи Rb^{86} , вычисленной по энергии (d, p)-реакции

... точки относится к нечетно-четным ядрам и ... Rb^{86} вычисленной из масс-спектрометрических данных. Р ...



... значения ... для выяснения ... может служить рис. 1 ...

шим энергию связи ядра Sr^{88} . Пунктирная часть кривой относится к четно-нечетным ядрам и к энергии связи ядра Rb^{85} . Пунктирная часть кривой Γ устанавливает ошибочность измерений энергии связи ядра Rb^{85} .

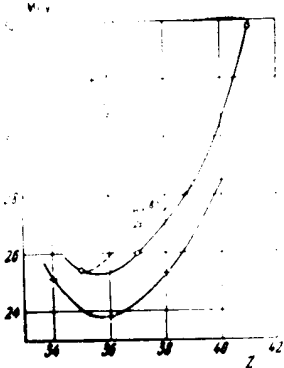


Рис. 3. Изометрическое сечение энергетических поверхностей с уменьшением уклоном для ядер с $N=48$: 1 — точки, построенные для четно-четных ядер; 2 — точки для нечетно-нечетных ядер для Rb^{85} , построенные по масс-спектрометрическим данным; 3 — точки, построенные для энергии связи Rb^{85} , вычисленной по энергии (d, p) -реакции

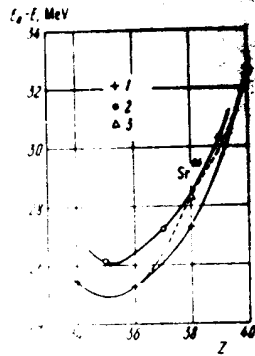


Рис. 4. Изометрическое сечение энергетических поверхностей с уменьшенным уклоном для ядер с $N=47$: 1 — точки, построенные для четно-нечетных ядер, а для Bt^{87} — по массе Rb^{85} ; 2 — точки, построенные для нечетно-нечетных ядер; 3 — точка, построенная для энергии связи Sr^{88} , вычисленной из массы Sr^{88} по энергии (γ, n) -реакции

Таким образом, все рассмотренные сечения и все другие, которые не приводятся здесь, устанавливают наличие ошибок в измерениях энергий реакций $Kr^{84}(d, p)Kr^{85}$ и $Sr^{86}(p, n)Sr^{87}$ и подтверждают правильность измерений массы Rb^{85} в работе [4]. Энергии связи последних нейтронов следует считать равными

$$S_n(Kr^{85}) = 0,97 \pm 0,05 \text{ МэВ}$$

$$S_n(Sr^{87}) = 0,97 \pm 0,05 \text{ МэВ}$$

Эти выводы полностью согласуются с данными нами в [4] относительно энергии связи ядра Kr^{85} и Sr^{87} . Это различие вызвано всеми новыми измерениями масс и энергий связи, отказом авторов работы [13] от использования Kr^{85} в качестве эталона, ранее Коллинсом в [17]. Эти данные, как правило, согласуются с другими новыми данными, например с энергией связи ядра Bt^{87} , приведенной в [9]. Новые данные об энергии связи ядра Rb^{85} также в таблице дают более плавные кривые энергетических поверхностей. Это дает уверенность, что значения энергии связи и энергии связи ядер в интервале $68 \leq A \leq 104$ являются наиболее достоверными ранее.

Получены в ЦОЯФ им. П. П. Кузнецова

Использованная литература

1. ... 25, 630 (1953).
2. ... 54, 3 (1954).
3. ... Nier A., Phys. Rev., 94, 98 (1954).
4. ... van den Bold H., Endt P., Physica, 20, 1 (1954).
5. ... K., Phys. Rev., 94, 1713 (1954).
6. ... Phys. Rev., 90, 67 (1954).
7. ... Farmer D., Bull. Am. Phys. Soc., 29, 1 (1954).
8. ... Phys. Rev., 95, 410 (1954).
9. ... Wiedenbeck M., Phys. Rev., 94, 108 (1954).
10. ... Schwartz R., Watson W., Phys. Rev., 94, 108 (1954).
11. ... Mihelich J., Scharif G., Phys. Rev., 94, 108 (1954).
12. ... Wall N., Deutsch M., Phys. Rev., 94, 108 (1954).
13. ... Ketelle B., Brosi M., Phys. Rev., 94, 108 (1954).
14. ... Ark. Fys., 5, 191 (1952).
15. ... Mann A., Phys. Rev., 94, 108 (1954).
16. ... Porter E., Phys. Rev., 94, 108 (1954).
17. ... Kurbatov J., Phys. Rev., 94, 108 (1954).
18. ... Mass-spectroscopy in Physics, 1953, p. 67.
19. ... (1953).
20. ... Papineau J., C. R. Acad. Sci. Paris, 278, 108 (1953).

ПРИЛОЖЕНИЕ

Массы средних атомов и энергии связи ядер от цинка до кадмия, вычисленные по масс-спектрометрическим данным работ [3—8, 18]

радиоактивный элемент	Массовое число A	Число нейтронов N	Вид радиоактивности	Масса атома (атомных единиц массы)	Энергия связи (МэВ)
1	2	3	4	5	6
Zn	68	38	уст.	67,946 71 ± 11	595,40 ± 0,10 мэВ
	69	39	β ⁻	68,946 68 ± 6	601,61 ± 0,06 мэВ
	70	40	уст.	69,947 50 ± 8	611,01 ± 0,08 мэВ
	71	41	β ⁻	70,949 7 ± 3	617,4 ± 0,3
	72	42	β ⁻	71,950 5 ± 3	625,0 ± 0,3
Ga	68	37	β ⁺	67,949 83 ± 11	591,42 ± 0,10 мэВ
	69	38	уст.	68,947 72 ± 6	601,73 ± 0,06 мэВ
	70	39	β ⁺ , β ⁻	69,948 27 ± 8	609,50 ± 0,08 мэВ
	71	40	β ⁺	70,947 42 ± 15	618,75 ± 0,14 мэВ
	72	41	β ⁺	71,948 79 ± 7	625,85 ± 0,07
	73	42	β ⁺	72,948 1 ± 2	634,8 ± 0,2
	Ge	69	37	β ⁺	67,946 71 ± 11
70		38	β ⁺	68,946 68 ± 6	601,61 ± 0,06 мэВ
71		39	β ⁺	69,947 50 ± 8	611,01 ± 0,08 мэВ
72		40	β ⁺	70,949 7 ± 3	617,4 ± 0,3
73		41	β ⁺	71,950 5 ± 3	625,0 ± 0,3
74		42	β ⁺	72,948 1 ± 2	634,8 ± 0,2
75		43	β ⁺	73,948 1 ± 2	643,8 ± 0,2
76		44	β ⁺	74,948 1 ± 2	652,8 ± 0,2
77	45	β ⁺	75,948 1 ± 2	661,8 ± 0,2	
78	46	β ⁺	76,948 1 ± 2	670,8 ± 0,2	

Примечания: «уст.» — электронно-стабильное; «β⁺» — β⁺-распад; «β⁻» — β⁻-распад; «β⁺, β⁻» — β⁺-распад и β⁻-распад; «β⁺, β⁻, α» — β⁺-распад, β⁻-распад и α-распад; «β⁺, α» — β⁺-распад и α-распад; «β⁻, α» — β⁻-распад и α-распад; «β⁺, β⁻, α» — β⁺-распад, β⁻-распад и α-распад; «β⁺, β⁻, α, γ» — β⁺-распад, β⁻-распад, α-распад и γ-излучение; «β⁺, β⁻, α, γ, ε» — β⁺-распад, β⁻-распад, α-распад, γ-излучение и ε-излучение; «β⁺, β⁻, α, γ, ε, ν» — β⁺-распад, β⁻-распад, α-распад, γ-излучение, ε-излучение и ν-излучение; «β⁺, β⁻, α, γ, ε, ν, π» — β⁺-распад, β⁻-распад, α-распад, γ-излучение, ε-излучение, ν-излучение и π-излучение.

В. А. Брайков

(Продолжение)

Элемент	Массовое число А	Энергия связи нуклонов в ядре, МэВ	Вид радиоактивности	Масса атома (атомных единиц массы)	Энергия связи нуклонов в ядре, МэВ
Rb	84	614,88 ± 0,15	β	83,9410	614,88 ± 0,15
	85	623,93 ± 0,05	уст.	84,9210	623,93 ± 0,05
	86	631,5 ± 0,2 ■	β	85,9010	631,5 ± 0,2 ■
	87	642,33 ± 0,09	уст. β	86,9010	642,33 ± 0,09
	88	652,40 ± 0,05	β	87,9010	652,40 ± 0,05
	89	660,71 ± 0,07	β	88,9010	660,71 ± 0,07
	90	669,44 ± 0,05	β	89,9010	669,44 ± 0,05
	91	678,5 ± 0,2	β	90,9010	678,5 ± 0,2
	92	687,9 ± 0,2 ■	β	91,9010	687,9 ± 0,2 ■
	93	697,54 ± 0,08	β	92,9010	697,54 ± 0,08
Sr	84	699,75 ± 0,05	уст.	83,9067	699,75 ± 0,05
	85	701,94 ± 0,05	уст.	84,9067	701,94 ± 0,05
	86	709,36 ± 0,05	уст.	85,9067	709,36 ± 0,05
	87	719,84 ± 0,05	β	86,9067	719,84 ± 0,05
	88	729,84 ± 0,06	β	87,9067	729,84 ± 0,06
	89	739,83 ± 0,05	β	88,9067	739,83 ± 0,05
	90	749,83 ± 0,05	β	89,9067	749,83 ± 0,05
	91	759,83 ± 0,05	β	90,9067	759,83 ± 0,05
	92	769,83 ± 0,05	β	91,9067	769,83 ± 0,05
	93	779,83 ± 0,05	β	92,9067	779,83 ± 0,05
Y	86	780,57 ± 0,08	β	85,9041	780,57 ± 0,08
	87	790,57 ± 0,08	β	86,9041	790,57 ± 0,08
	88	800,57 ± 0,08	β	87,9041	800,57 ± 0,08
	89	810,57 ± 0,08	β	88,9041	810,57 ± 0,08
	90	820,57 ± 0,08	β	89,9041	820,57 ± 0,08
	91	830,57 ± 0,08	β	90,9041	830,57 ± 0,08
	92	840,57 ± 0,08	β	91,9041	840,57 ± 0,08
	93	850,57 ± 0,08	β	92,9041	850,57 ± 0,08
	94	860,57 ± 0,08	β	93,9041	860,57 ± 0,08
	95	870,57 ± 0,08	β	94,9041	870,57 ± 0,08
Zr	87	870,4 ± 0,2	β	86,9045	870,4 ± 0,2
	88	880,4 ± 0,2	β	87,9045	880,4 ± 0,2
	89	890,4 ± 0,2	β	88,9045	890,4 ± 0,2
	90	900,4 ± 0,2	β	89,9045	900,4 ± 0,2
	91	910,4 ± 0,2	β	90,9045	910,4 ± 0,2
	92	920,4 ± 0,2	β	91,9045	920,4 ± 0,2
	93	930,4 ± 0,2	β	92,9045	930,4 ± 0,2
	94	940,4 ± 0,2	β	93,9045	940,4 ± 0,2
	95	950,4 ± 0,2	β	94,9045	950,4 ± 0,2
	96	960,4 ± 0,2	β	95,9045	960,4 ± 0,2
Nb	87	960,4 ± 0,2	β	95,9045	960,4 ± 0,2
	88	970,4 ± 0,2	β	96,9045	970,4 ± 0,2
	89	980,4 ± 0,2	β	97,9045	980,4 ± 0,2
	90	990,4 ± 0,2	β	98,9045	990,4 ± 0,2
	91	1000,4 ± 0,2	β	99,9045	1000,4 ± 0,2
	92	1010,4 ± 0,2	β	100,9045	1010,4 ± 0,2
	93	1020,4 ± 0,2	β	101,9045	1020,4 ± 0,2
	94	1030,4 ± 0,2	β	102,9045	1030,4 ± 0,2
	95	1040,4 ± 0,2	β	103,9045	1040,4 ± 0,2
	96	1050,4 ± 0,2	β	104,9045	1050,4 ± 0,2
Mo	88	1050,4 ± 0,2	β	104,9045	1050,4 ± 0,2
	89	1060,4 ± 0,2	β	105,9045	1060,4 ± 0,2
	90	1070,4 ± 0,2	β	106,9045	1070,4 ± 0,2
	91	1080,4 ± 0,2	β	107,9045	1080,4 ± 0,2
	92	1090,4 ± 0,2	β	108,9045	1090,4 ± 0,2
	93	1100,4 ± 0,2	β	109,9045	1100,4 ± 0,2
	94	1110,4 ± 0,2	β	110,9045	1110,4 ± 0,2
	95	1120,4 ± 0,2	β	111,9045	1120,4 ± 0,2
	96	1130,4 ± 0,2	β	112,9045	1130,4 ± 0,2
	97	1140,4 ± 0,2	β	113,9045	1140,4 ± 0,2
Tc	88	1140,4 ± 0,2	β	113,9045	1140,4 ± 0,2
	89	1150,4 ± 0,2	β	114,9045	1150,4 ± 0,2
	90	1160,4 ± 0,2	β	115,9045	1160,4 ± 0,2
	91	1170,4 ± 0,2	β	116,9045	1170,4 ± 0,2
	92	1180,4 ± 0,2	β	117,9045	1180,4 ± 0,2
	93	1190,4 ± 0,2	β	118,9045	1190,4 ± 0,2
	94	1200,4 ± 0,2	β	119,9045	1200,4 ± 0,2
	95	1210,4 ± 0,2	β	120,9045	1210,4 ± 0,2
	96	1220,4 ± 0,2	β	121,9045	1220,4 ± 0,2
	97	1230,4 ± 0,2	β	122,9045	1230,4 ± 0,2
Ru	89	1230,4 ± 0,2	β	122,9045	1230,4 ± 0,2
	90	1240,4 ± 0,2	β	123,9045	1240,4 ± 0,2
	91	1250,4 ± 0,2	β	124,9045	1250,4 ± 0,2
	92	1260,4 ± 0,2	β	125,9045	1260,4 ± 0,2
	93	1270,4 ± 0,2	β	126,9045	1270,4 ± 0,2
	94	1280,4 ± 0,2	β	127,9045	1280,4 ± 0,2
	95	1290,4 ± 0,2	β	128,9045	1290,4 ± 0,2
	96	1300,4 ± 0,2	β	129,9045	1300,4 ± 0,2
	97	1310,4 ± 0,2	β	130,9045	1310,4 ± 0,2
	98	1320,4 ± 0,2	β	131,9045	1320,4 ± 0,2
Rh	90	1320,4 ± 0,2	β	131,9045	1320,4 ± 0,2
	91	1330,4 ± 0,2	β	132,9045	1330,4 ± 0,2
	92	1340,4 ± 0,2	β	133,9045	1340,4 ± 0,2
	93	1350,4 ± 0,2	β	134,9045	1350,4 ± 0,2
	94	1360,4 ± 0,2	β	135,9045	1360,4 ± 0,2
	95	1370,4 ± 0,2	β	136,9045	1370,4 ± 0,2
	96	1380,4 ± 0,2	β	137,9045	1380,4 ± 0,2
	97	1390,4 ± 0,2	β	138,9045	1390,4 ± 0,2
	98	1400,4 ± 0,2	β	139,9045	1400,4 ± 0,2
	99	1410,4 ± 0,2	β	140,9045	1410,4 ± 0,2
Pd	91	1410,4 ± 0,2	β	140,9045	1410,4 ± 0,2
	92	1420,4 ± 0,2	β	141,9045	1420,4 ± 0,2
	93	1430,4 ± 0,2	β	142,9045	1430,4 ± 0,2
	94	1440,4 ± 0,2	β	143,9045	1440,4 ± 0,2
	95	1450,4 ± 0,2	β	144,9045	1450,4 ± 0,2
	96	1460,4 ± 0,2	β	145,9045	1460,4 ± 0,2
	97	1470,4 ± 0,2	β	146,9045	1470,4 ± 0,2
	98	1480,4 ± 0,2	β	147,9045	1480,4 ± 0,2
	99	1490,4 ± 0,2	β	148,9045	1490,4 ± 0,2
	100	1500,4 ± 0,2	β	149,9045	1500,4 ± 0,2
Ag	92	1500,4 ± 0,2	β	149,9045	1500,4 ± 0,2
	93	1510,4 ± 0,2	β	150,9045	1510,4 ± 0,2
	94	1520,4 ± 0,2	β	151,9045	1520,4 ± 0,2
	95	1530,4 ± 0,2	β	152,9045	1530,4 ± 0,2
	96	1540,4 ± 0,2	β	153,9045	1540,4 ± 0,2
	97	1550,4 ± 0,2	β	154,9045	1550,4 ± 0,2
	98	1560,4 ± 0,2	β	155,9045	1560,4 ± 0,2
	99	1570,4 ± 0,2	β	156,9045	1570,4 ± 0,2
	100	1580,4 ± 0,2	β	157,9045	1580,4 ± 0,2
	101	1590,4 ± 0,2	β	158,9045	1590,4 ± 0,2
Cd	93	1590,4 ± 0,2	β	158,9045	1590,4 ± 0,2
	94	1600,4 ± 0,2	β	159,9045	1600,4 ± 0,2
	95	1610,4 ± 0,2	β	160,9045	1610,4 ± 0,2
	96	1620,4 ± 0,2	β	161,9045	1620,4 ± 0,2
	97	1630,4 ± 0,2	β	162,9045	1630,4 ± 0,2
	98	1640,4 ± 0,2	β	163,9045	1640,4 ± 0,2
	99	1650,4 ± 0,2	β	164,9045	1650,4 ± 0,2
	100	1660,4 ± 0,2	β	165,9045	1660,4 ± 0,2
	101	1670,4 ± 0,2	β	166,9045	1670,4 ± 0,2
	102	1680,4 ± 0,2	β	167,9045	1680,4 ± 0,2
In	94	1680,4 ± 0,2	β	167,9045	1680,4 ± 0,2
	95	1690,4 ± 0,2	β	168,9045	1690,4 ± 0,2
	96	1700,4 ± 0,2	β	169,9045	1700,4 ± 0,2
	97	1710,4 ± 0,2	β	170,9045	1710,4 ± 0,2
	98	1720,4 ± 0,2	β	171,9045	1720,4 ± 0,2
	99	1730,4 ± 0,2	β	172,9045	1730,4 ± 0,2
	100	1740,4 ± 0,2	β	173,9045	1740,4 ± 0,2
	101	1750,4 ± 0,2	β	174,9045	1750,4 ± 0,2
	102	1760,4 ± 0,2	β	175,9045	1760,4 ± 0,2
	103	1770,4 ± 0,2	β	176,9045	1770,4 ± 0,2
Sn	95	1770,4 ± 0,2	β	176,9045	1770,4 ± 0,2
	96	1780,4 ± 0,2	β	177,9045	1780,4 ± 0,2
	97	1790,4 ± 0,2	β	178,9045	1790,4 ± 0,2
	98	1800,4 ± 0,2	β	179,9045	1800,4 ± 0,2
	99	1810,4 ± 0,2	β	180,9045	1810,4 ± 0,2
	100	1820,4 ± 0,2	β	181,9045	1820,4 ± 0,2
	101	1830,4 ± 0,2	β	182,9045	1830,4 ± 0,2
	102	1840,4 ± 0,2	β	183,9045	1840,4 ± 0,2
	103	1850,4 ± 0,2	β	184,9045	1850,4 ± 0,2
	104	1860,4 ± 0,2	β	185,9045	1860,4 ± 0,2
Sb	96	1860,4 ± 0,2	β	185,9045	1860,4 ± 0,2
	97	1870,4 ± 0,2	β	186,9045	1870,4 ± 0,2
	98	1880,4 ± 0,2	β	187,9045	1880,4 ± 0,2
	99	1890,4 ± 0,2	β	188,9045	1890,4 ± 0,2
	100	1900,4 ± 0,2	β	189,9045	1900,4 ± 0,2
	101	1910,4 ± 0,2	β	190,9045	1910,4 ± 0,2
	102	1920,4 ± 0,2	β	191,9045	1920,4 ± 0,2
	103	1930,4 ± 0,2	β	192,9045	1930,4 ± 0,2
	104	1940,4 ± 0,2	β	193,9045	1940,4 ± 0,2
	105	1950,4 ± 0,2	β	194,9045	1950,4 ± 0,2
Te	97	1950,4 ± 0,2	β	194,9045	1950,4 ± 0,2
	98	1960,4 ± 0,2	β	195,9045	1960,4 ± 0,2
	99	1970,4 ± 0,2	β	196,9045	1970,4 ± 0,2
	100	1980,4 ± 0,2	β	197,9045	1980,4 ± 0,2
	101	1990,4 ± 0,2	β	198,9045	1990,4 ± 0,2
	102	2000,4 ± 0,2	β	199,9045	2000,4 ± 0,2
	103	2010,4 ± 0,2	β	200,9045	2010,4 ± 0,2
	104	2020,4 ± 0,2	β	201,9045	2020,4 ± 0,2
	105	2030,4 ± 0,2	β	202,9045	2030,4 ± 0,2
	106	2040,4 ± 0,2	β	203,9045	2040,4 ± 0,2
I	98	2040,4 ± 0,2	β	203,9045	2040,4 ± 0,2
	99	2050,4 ± 0,2	β	204,9045	2050,4 ± 0,2
	100	2060,4 ± 0,2	β	205,9045	2060,4 ± 0,2
	101	2070,4 ± 0,2	β	206,9045	2070,4 ± 0,2
	102	2080,4 ± 0,2	β	207,9045	2080,4 ± 0,2
	103	2090,4 ± 0,2	β	208,9045	2090,4 ± 0,2
	104	2100,4 ± 0,2	β	209,9045	2100,4 ± 0,2
	105	2110,4 ± 0,2	β	210,9045	2110,4 ± 0,2
	106	2120,4 ± 0,2	β	211,9045	2120,4 ± 0,2
	107	2130,4 ± 0,2	β	212,9045	2130,4 ± 0,2
Xe	99	2130,4 ± 0,2	β	212,9045	2130,4 ± 0,2
	100	2140,4 ± 0,2	β	213,9045	2140,4 ± 0,2
	101	2150,4 ± 0,2	β	214,9045	2150,4 ± 0,2
	102	2160,4 ± 0,2	β	215,9045	2160,4 ± 0,2
	103	2170,4 ± 0,2	β	216,9045	2170,4 ± 0,2
	104	2180,4 ± 0,2	β	217,9045	2180,4 ± 0,2
	105	2190,4 ± 0,2	β	218,9045	2190,4 ± 0,2
	106	2200,4 ± 0,2	β	219,9045	2200,4 ± 0,2
	107	2210,4 ± 0,2	β	220,9045	2210,4 ± 0,2
	108	2220,4 ± 0,2	β	221,9045	2220,4 ± 0,2
Ba	100	2220,4 ± 0,2	β	221,9045	2220,4 ± 0,2
	101	2230,4 ± 0,2	β	222,9045	2230,4 ± 0,2
	102	2240,4 ± 0,2	β	223,9045	2240,4 ± 0,2
	103	2250,4 ± 0,2	β	224,9045	2250,4 ± 0,2
	104	2260,4 ± 0,2	β	225,9045	2260,4 ± 0,2
	105	2270,4 ± 0,2	β	226,9045	2270,4 ± 0,2
	106	2280,4 ± 0,2	β	227,9045	2280,4 ± 0,2
	107				

Порядковый номер элемента	Массовое число А	Число нейтронов N	Вид радиоактивности	Энергия (кэВ)	Интенсивность (%)
1	2	3	4	5	6
42 — Mo	91	49	β ⁺	90,939 66 ± 29	788
	92	50	уст.	91,934 51 ± 27	797
	93	51	э.э.	92,935 3 ± 5	808
	94	52	уст.	93,934 37 ± 20	814, 78 ± 0,1
	95	53	уст.	94,936 0 ± 4	821, 6 ± 0,2
	96	54	уст.	95,935 2 ± 4	830, 75 ± 0,09
	97	55	уст.	96,936 8 ± 5	837, 6 ± 0,6
	98	56	уст.	97,936 0 ± 4	846, 7 ± 0,4
	99	57	β ⁻	98,938 6 ± 5	852, 6 ± 0,5
	100	58	уст.	99,938 3 ± 3	861, 2 ± 0,3
	101	59	β ⁻	100,941 2 ± 5	866, 9 ± 0,5
43 — Tc	93	50	β ⁺	92,938 6 ± 5	801, 6 ± 0,5
	94	51	β ⁺	93,938 98 ± 22	809, 66 ± 0,21
	95	52	э.э.	94,937 5 ± 4	819, 4 ± 0,4
	96	53	э.э.	95,938 1 ± 5	827, 2 ± 0,5
	97	54	э.э.	96,936 9 ± 5	836, 7 ± 0,5
	98	55	β ⁺	97,937 7 ± 6	844, 3 ± 0,6
	99	56	β ⁺	98,937 2 ± 5	853, 2 ± 0,5
	100	57	β ⁺	99,938 6 ± 6	860, 2 ± 0,6
	101	58	β ⁺	100,938 8 ± 6	868, 4 ± 0,6
	44 — Ru	96	50	β ⁺	94,940 3 ± 6
97		51	β ⁺	95,938 1 ± 5	826, 4 ± 0,5
98		52	β ⁺	96,937 8 ± 6	835, 1 ± 0,6
99		53	уст.	97,936 2 ± 7	844, 9 ± 0,7
100		54	уст.	98,936 8 ± 7	852, 7 ± 0,7
101		55	уст.	99,935 6 ± 8	860, 2 ± 0,8
102		56	уст.	100,937 4 ± 6	868, 2 ± 0,6
103		57	уст.	101,936 10 ± 9	878, 00 ± 0,09
104		58	β ⁻	102,938 3 ± 2	884, 8 ± 0,2
105		59	уст.	103,937 6	891, 8 ± 0,3
45 — Rh	98	53	β ⁺	92,937 6	820, 1 ± 0,8
	99	54	β ⁺	93,938 7	829, 2 ± 0,7
	100	55	β ⁺	94,938 8	837, 8 ± 0,8
	101	56	β ⁺	95,938 9	846, 1 ± 0,6
	102	57	β ⁺	96,939 0	854, 4 ± 0,09
	103	58	β ⁺	97,939 1	861, 85 ± 0,12
46 — Pd	100	50	β ⁺	90,938 8	855, 2 ± 0,8
	101	51	β ⁺	91,939 9	864, 0 ± 0,8
	102	52	β ⁺	92,940 0	870, 78 ± 0,09
	103	53	β ⁺	93,940 1	881, 51 ± 0,12
	104	54	β ⁺	94,940 2	893, 44 ± 0,10
	105	55	β ⁺	95,940 3	901, 12 ± 0,12
	106	56	β ⁺	96,940 4	909, 8 ± 0,3
	107	57	β ⁺	97,940 5	918, 38 ± 0,12
	108	58	β ⁺	98,940 6	927, 75 ± 0,14
	109	59	β ⁺	99,940 7	937, 12 ± 0,14

ОБЪЕДИНЕННЫЕ

ИССЛЕДОВАНИЯ ПО β-γ СПЕКТРОСКОПИИ

Аризонский университет В. С., Жуковский Н. Н., Приходцева В. П. и Хольнов Ю. В. — Исследование спектров в области распада La^{140}

Давыдов В. С., Жуковский Н. Н., Приходцева В. П. и Хольнов Ю. В. — Исследование спектров в области распада La^{140}

Христенко В. П. — Исследование уровней легких ядер методом

Газулов В. С., Жуковский В. С. и Хольнов Ю. В. — Исследование спектров в области распада La^{140}

Давыдов В. С., Жуковский Н. Н. и Недовесов В. Г. — Исследование спектров в области распада La^{140}

Гришберг А. П. и Зинберг Н. Х. — Исследование спектров в области распада La^{140}

Шахбалин В. А. и Русинов Л. И. — Исследование спектров в области распада La^{140}

Степанов И. П. и Шапталов Л. Я. — Исследование спектров в области распада La^{140}

Трабкин Г. М., Орлов В. И. и Русинов Л. И. — Исследование ядерной структуры Zn^{66} , Se^{78} , So^{116} , Nb^{93} , Rh^{103} и Ru^{101}

Импольский П. А., Лейбуцкий О. И., Ген М. Я. и Тихомиров А. М. — Обнаружение короткопериодных изомеров

Ирлюк Э. Е. — Времена жизни возбужденных состояний некоторых ядер

Ирлюк И. Ф., Галкин Е. М., Пасечник М. В. и Пуцеров Н. Н. — О разрешении способности сдвигалиционного спектрометра

Иванов Л. А. и Песер Л. К. — К вопросу об определении деформации ядерных поверхностей

Иванов Л. А. — Структура второго возбужденного уровня Ne^8 и Ce^{14}

Иванов Л. А. — Оболочечная модель с промежуточной связью и β-распад Ne^8

Иванов Л. А. и Смородинский Я. А. — К теории двойного β-распада

Иванов В. А. — Новые данные по составлению энергий связи средних ядер